

# KRYPTA GROBOWA RODU WEJHERÓW W KOŚCIELE PARAFIALNYM W PUCKU



**KRYPTA GROBOWA  
RODU WEJHERÓW  
W KOŚCIELE PARAFIALNYM  
W PUCKU**

Źródła archeologiczne do dziejów Pucka  
Archäologische Quellen zur Geschichte Pucks  
Archaeological Sources to the History of Puck

**KRYPTA GROBOWA  
RODU WEJHERÓW  
W KOŚCIELE PARAFIALNYM  
W PUCKU**

red. K. Blusiewicz, M. Starski



**Warszawa 2023**

**Redakcja:**

Karolina Blusiewicz, Michał Starski

**Recenzenci:**

Tomasz Kozłowski, Marcin Majewski

**Tłumaczenia:**

Maciej Talaga

**Opracowanie graficzne i projekt okładki:**

Drukarnia Biały Kruk

Magdalena Bartoszuć

Dofinansowano ze środków Ministra Kultury i Dziedzictwa Narodowego  
pochodzących z Funduszu Promocji Kultury



Ministerstwo Kultury  
i Dziedzictwa Narodowego

---

© Wydział Archeologii, Uniwersytet Warszawski



WYDZIAŁ  
ARCHEOLOGII  
Uniwersytet  
Warszawski

ISBN: 978-83-66210-38-7

**Druk i oprawa:**

Drukarnia Biały Kruk, ul. Tygrysia 50, Sobolewo  
15-509 Białystok, tel. 85 740 47 04, e-mail: drukarnia@bialykruc.com

# SPIS TREŚCI

## TABLE OF CONTENTS

<b>Słowo wstępne</b> .....	<b>9</b>
<b>Introduction</b> .....	<b>11</b>
<b>I. Badania archeologiczne krypty Wejherów w kościele pw. św. św. Apostołów Piotra i Pawła w Pucku. <i>Karolina Blusiewicz</i> .....</b>	<b>13</b>
Archaeological research in the crypt of the Wejher family in the Saint Apostles Peter and Paul Church in Puck (summary). <i>Karolina Blusiewicz</i> .....	81
<b>II. Szczątki ludzkie z krypty Wejherów w kościele pw. św. św. Apostołów Piotra i Pawła w Pucku. <i>Rafał Fetner, Elżbieta Jaskulska, Michał Golubiński, Martyna Molak</i> .....</b>	<b>85</b>
Human remains from the crypt of the Wejher family in the Saint Apostles Peter and Paul Church in Puck (summary). <i>Rafał Fetner, Elżbieta Jaskulska, Michał Golubiński, Martyna Molak</i> .....	107
<b>III. Wybrane ubiory grobowe z krypty Wejherów w kościele pw. św. św. Apostołów Piotra i Pawła w Pucku. <i>Małgorzata Grupa, Dawid Grupa</i> .....</b>	<b>111</b>
Selected funeral dresses from the crypt of the Wejher family in the Saint Apostles Peter and Paul Church in Puck (summary). <i>Małgorzata Grupa, Dawid Grupa</i> .....	151
<b>IV. Rola roślin w pochówkach trumiennych z krypty rodziny Wejherów w kościele pw. św. św. Apostołów Piotra i Pawła w Pucku. <i>Monika Badura, Agnieszka M. Noryśkiewicz</i> .....</b>	<b>153</b>
Plants and their role in coffin burials in the crypt of the Wejher family in the Saint Apostles Peter and Paul Church in Puck (summary). <i>Monika Badura, Agnieszka M. Noryśkiewicz</i> .....	169
<b>V. Interpretacja pochówków złożonych w krypcie Wejherów w kościele pw. św. św. Apostołów Piotra i Pawła w Pucku. <i>Karolina Blusiewicz</i> .....</b>	<b>171</b>
Interpretation of the burials from the crypt of the Wejher family in the Saint Apostles Peter and Paul Church in Puck (summary). <i>Karolina Blusiewicz</i> .....	189





## WYKAZ AUTORÓW

### **Monika Badura**

Uniwersytet Gdański  
Wydział Biologii  
Katedra Ekologii Roślin  
e-mail: monika.badura@ug.edu.pl  
ORCID: 0000-0001-6124-0997

### **Karolina Blusiewicz**

Uniwersytet Warszawski  
Wydział Archeologii  
e-mail: k.blusiewicz@uw.edu.pl  
ORCID: 0000-0002-2771-9336

### **Rafał Fetner**

Uniwersytet Warszawski  
Wydział Archeologii  
Katedra Bioarcheologii  
e-mail: rafetner@uw.edu.pl  
ORCID: 0000-0002-9489-0424

### **Michał Golubiński**

Uniwersytet Warszawski  
Centrum Nowych Technologii  
e-mail: m.golubinski@cent.uw.edu.pl  
ORCID: 0000-0001-9714-9730

### **Małgorzata Grupa**

Uniwersytet Mikołaja Kopernika w Toruniu  
Instytut Archeologii  
e-mail: mgrupa@umk.pl  
ORCID: 0000-0001-5128-9754

### **Dawid Grupa**

e-mail: d.m.grupa@gmail.com  
ORCID: 0000-0002-6393-8528

### **Elżbieta Jaskulska**

Uniwersytet Warszawski  
Wydział Archeologii  
Katedra Bioarcheologii  
e-mail: ejaskulska@uw.edu.pl  
ORCID: 0000-0001-8786-5602

### **Martyna Molak**

Uniwersytet Warszawski  
Centrum Nowych Technologii  
e-mail: martyna.molak@gmail.com  
ORCID: 0000-0001-5068-8649

### **Agnieszka M. Noryskiewicz**

Uniwersytet Mikołaja Kopernika w Toruniu  
Instytut Archeologii  
Katedra Archeologii Środowiskowej  
i Paleoekologii Człowieka  
e-mail: agnieszka.noryskiewicz@umk.pl  
ORCID: 0000-0002-9481-8684



## SŁOWO WSTĘPNE

Niniejszym oddajemy do rąk Czytelników kolejny tom poświęcony badaniom archeologicznym puckiego zespołu osadniczego. Stanowi on szóstą już publikację w serii *Źródła archeologiczne do dziejów Pucka*, w której omawiane są prace badawcze prowadzone przez badaczy z Uniwersytetu Warszawskiego na terenie Pucka. Przez ponad 30 lat objęły one obszar założenia zamkowego, placu rynkowego, parceli mieszczańskich, a ostatnio także teren najstarszej fary puckiej. Prace te przyniosły nieoceniony zasób źródeł do badań dziejów i kultury materialnej miasta i jego otoczenia.

Wydany obecnie tom jest wyjątkowy, ponieważ poświęcony został badaniom krypty grobowej rodu Wejherów, znajdującej się w kościele p.w. św. św. Apostołów Piotra i Pawła. Jest on miejscem szczególnym na historycznej mapie miasta. Co najmniej od końca XIII wieku był jednym z najważniejszych punktów średniowiecznej osady przedlokacyjnej, a w kolejnych stuleciach stanowił ważny element zespołu osadniczego, jako kościół parafialny dla miasta i osad wiejskich w jego okolicy. W końcu XVI wieku stał się miejscem pochówku starosty puckiego Ernesta Wejhera oraz członków jego najbliższej rodziny. Ród ten, należący do najznacniejszych i najzamożniejszych w Prusach Królewskich, odcisnął swoje wyraźne piętno zarówno w historii Rzeczypospolitej, jak i fary puckiej.

Badania archeologiczne krypty rodowej Wejherów nie były planowane – wymuszone zostały pracami remontowymi prowadzonymi w kościele w 2021 roku, otwarciem w ich trakcie krypty i związanym z tym zagrożeniem dla zachowanych szczątków. Już wstępny ogląd pozwolił na określenie zagrożeń, wynikających nie tylko z postępujących naturalnych procesów rozkładu, lecz także z działalności ludzi i zwierząt. Pozosta-

łości pochówków zachowane były w bardzo złym stanie, a postępująca i przyspieszona otwarciem krypty degradacja mogła doprowadzić do całkowitej utraty i tak już znacznie ograniczonych danych na temat osób pochowanych w krypcie. Dlatego też podjęto działania mające na celu zadokumentowanie, zbadanie i zabezpieczenie reliktyw pochówków oraz zachowanie tej wiedzy dla potomnych. Również z tego względu zdecydowano się na formę publikacji, której podstawową część stanowią pozyskane źródła oraz wyniki ich specjalistycznych analiz. W ostatnim rozdziale natomiast zebrano uzyskane informacje w jedną opowieść – interpretację owych źródeł, otwartą na uzupełnienia i weryfikację. Mamy nadzieję, że oddana do rąk Czytelników monografia będzie przyczynkiem do poznania kultury funeralnej dawnych elit Rzeczypospolitej oraz przyczyni się do zachowania pamięci o pochowanych w puckiej krypcie przedstawicielach rodu Wejherów.

Niniejsza publikacja jest wynikiem pracy wielu osób, których zaangażowanie i wiedza umożliwiły przeprowadzenie prac, zachowanie nawet niewielkich strzępków informacji i zabezpieczenie zachowanych reliktyw. Prace wewnątrz krypty prowadzone były przez studentów i pracowników naukowych Katedry Archeologii Średniowiecza i Nowożytności oraz Katedry Bioarcheologii Wydziału Archeologii Uniwersytetu Warszawskiego pod kierownictwem dr Karoliny Blusiewicz i dr Michała Starskiego. Dokumentację fotogrametryczną przygotowali mgr Marek Truszkowski i mgr Maciej Miścicki. Analizy ludzkich szczątków kostnych, a na tej podstawie próby identyfikacji osób złożonych w krypcie podjął się zespół złożony z dr Elżbiety Jaskulskiej i dr Rafała Fetnera z Katedry Bioarcheologii WA UW oraz dr Martyny Molak i Michała Golubińskiego

z Centrum Nowych Technologii UW. Analizę i konserwację reliktyw odzieży grobowej przeprowadziła dr hab. Małgorzata Grupa, prof. UMK oraz dr Dawid Grupa. Szczątki archeobotaniczne zbadane zostały przez zespół złożony z dr hab. Moniki Badury, prof. UG oraz dr hab. Agnieszki M. Noryśkiewicz, prof. UMK. Analizy dendrochronologiczne próbek drewna pobranych z trumien wykonane zostały przez prof. dr hab. Tomasza Ważnego i mgr Annę Elzanowską z Uniwersytetu Mikołaja Kopernika w Toruniu. Konserwację wybranych zabytków metalowych przeprowadził mgr Maciej Miścicki z WA UW. Wszystkim tym osobom pragnę złożyć gorące podziękowania. Pragnę również podziękować ks. Prałatowi Jerzemu Kuncy za udostępnienie przestrzeni krypty i kaplicy na potrzeby badań oraz zapewnienie niezbędnego wsparcia organizacyjnego.

Publikacja wyników badań nie byłaby możliwa bez dofinansowania Ministerstwa Kultury i Dziedzictwa Narodowego z Funduszu Promocji Kultury w ramach programu rządowego Ochrona Zabytków Archeologicznych, realizowanego przez Narodowy Instytut Dziedzictwa.

Wsparcie finansowe Ministerstwa umożliwiło także konserwację zachowanej unikatowej odzieży grobowej, która udostępniona zostanie szerszej publiczności. Gorące podziękowania pragnę złożyć władzom Wydziału Archeologii UW, które podjęły się opieki nad projektem, zapewniając także wsparcie finansowe ze środków Uniwersytetu Warszawskiego.

Przeprowadzenie badań archeologicznych w tak specyficznej przestrzeni jaką jest krypta grobowa, a także analiza uzyskanych danych i osadzenie ich w kontekście nowożytniej kultury funeralnej było sporym wyzwaniem. Dlatego w tym miejscu chciałam serdecznie podziękować Małgorzacie Grupie oraz Marcinowi Majewskiemu, którzy hojnie dzielili się swoim bogatym doświadczeniem badań nowożytnych krypt. Podziękować pragnę także Autorom za przełożenie swojej specjalistycznej wiedzy na słowo pisane oraz obojgu Recenzentom za ich cenne wskazówki i uwagi. Podziękowania składam również studentom, którzy brali udział w tych badaniach, dzielnie znosząc trudne warunki pracy.

*Karolina Blusiewicz*

## INTRODUCTION

We herewith hand over to the Readers another volume devoted to the archaeological research of the Puck settlement complex. It is the sixth publication in the series *Archaeological Sources to the History of Puck*, discussing investigations conducted by the University of Warsaw over the course of more than 30 years. The area investigated so far includes the foundations of the town's castle, the market square, urban plots, and, more recently, the oldest parish church. Collectively, the outcomes of this research are an invaluable resource for the study of the history and material culture of the town and its surroundings.

The present volume is unique in that it is devoted to the study of the crypt of the Wejher family, located in the Saint Apostles Peter and Paul Church. This temple has long held a special position on the historical map of the town. Prior to the chartering, at least as early as at the end of the 13th century, it was one of its most important points. In the following centuries, it retained its importance as the parish church serving the town and the rural settlements around it. At the end of the 16th century, it became the burial place of the Puck starost Ernest Wejher and his closest relatives. This family, among the most prominent and wealthiest in Royal Prussia, left its distinct mark on both the history of the Polish-Lithuanian Commonwealth and the Puck parish church.

The archaeological investigation of the crypt of the Wejher family was not planned – it was necessitated by the renovation works carried out in the church in 2021. The renovation required the crypt to be opened, thus directly threatening the preserved remains. The threat, identified already during the initial inspection, stemmed not only from natural processes of

decay, but also from human and animal activity. The remains of the burials were preserved in a very poor state and their degradation accelerated radically with the opening of the crypt, potentially leading to the complete loss of data, already very limited, on the people buried in it. Therefore, the situation called for taking steps aimed at studying and documenting the burial remains in order to preserve the knowledge embodied in them for posterity. The same objective informed our choices regarding the form of the publication, the main part of which presents the sources obtained during the discussed research and the results of their specialised analyses. The final chapter, in turn, compiles the thus-gathered information into a coherent story – an interpretation of these sources, grounded strongly in the data but open to additions and future verification. We hope that the monograph will contribute to the knowledge of the funerary culture of the former elites of the Polish-Lithuanian Commonwealth and help preserve the memory of the Wejher family buried in the Puck crypt.

The present book is a fruit of labour of many people whose knowledge and commitment to preserving the smallest shreds of information and securing the surviving relics made the whole endeavour viable. The work inside the crypt was carried out by students and employees of the Department of Medieval and Early Modern Archaeology and the Department of Bioarchaeology of the Faculty of Archaeology of the University of Warsaw (hereafter as WA UW), under the direction of Dr Karolina Blusiewicz and Dr Michał Starski. The photogrammetric documentation was prepared by Marek Truszkowski, MA, and Maciej Miścicki, MA. The anthropological analysis of

the human remains and identification of the individuals buried in the crypt were undertaken by a team composed of Dr Elżbieta Jaskulska and Dr Rafał Fetner from the Department of Bioarchaeology (WA UW) and Dr Martyna Molak and Michał Golubiński from the Centre for New Technologies of the University of Warsaw. The analysis and conservation of the surviving funeral attire was carried out by Prof. Małgorzata Grupa from the Nicolaus Copernicus University in Toruń (hereafter as UMK) and Dr Dawid Grupa. Archaeobotanical remains were examined by a team composed of Prof. Monika Badura from the University of Gdańsk and Prof. Agnieszka M. Noryśkiewicz from the UMK. Dendrochronological analyses of the wood samples taken from the coffins were carried out by Prof. Tomasz Ważny and Anna Elzanowska, MA, from the UMK. The conservation of selected metal artefacts was carried out by Maciej Miścicki, MA, from the WA UW. I would like to express my sincere thanks to all these people. Likewise, I owe gratitude to Prelate Jerzy Kunca, who kindly granted permission for investigation inside the crypt and the chapel, and offered invaluable support in practical matters.

The publication would not see the light of day without the funding from the Ministry of

Culture and National Heritage's Culture Promotion Fund, granted within the framework of the government programme 'Protection of Archaeological Monuments' implemented by the National Heritage Institute. The Ministry's financial support enabled also the thorough conservation of the unique remains of funeral attire retrieved during excavations, which will be made available to a wider audience. I would like to express my warmest gratitude to the authorities of the WA UW, who have supported the project with its own resources at all stages, including financially.

Conducting archaeological research in such a specific space as a family crypt, as well as analysing the obtained data and placing it in the context of the period's funerary culture, was quite a challenge. Therefore, at this point, I would like to express my sincere thanks to Małgorzata Grupa and Marcin Majewski, who generously shared their extensive experience in researching post-medieval crypts. I would also like to thank the co-authors for translating their specialist knowledge into the written word and both reviewers for their valuable guidance and comments. My thanks go also to the students who took part in this research, bravely enduring the hardships of archaeological work.

*Karolina Blusiewicz*

Karolina Blusiewicz

## BADANIA ARCHEOLOGICZNE KRYPTY WEJHERÓW W KOŚCIELE PW. ŚW. ŚW. APOSTOŁÓW PIOTRA I PAWŁA W PUCKU

### Kaplica rodowa i dzieje rodu Wejherów

Kaplica rodziny Wejherów mieści się w kościele pw. św. św. Apostołów Piotra i Pawła w Pucku, w zachodnim krańcu nawy południowej. Jest to jasne, dwuprzęsłowe pomieszczenie po południowej stronie wieży, oddzielone od nawy ozdobną, kutą kratą (**ryc. I.1**). Znajduje się ono w obrysie kościoła gotyckiego, jednak u schyłku XVI wieku zostało przebudowane i przystosowane do pełnienia funkcji kaplicy rodowej i rodzinnego grobu<sup>1</sup>. Jej fundatorami byli **Ernest Wejher** wraz z żoną, **Anną Ludwiką z Mortęskich**, protopłasci katolickiej linii Wejherów osiadłej w Prusach Królewskich (**ryc. I.2**).

Ród Wejherów z linii Ernesta w końcu XVI i w pierwszej połowie XVII wieku należał do najznacniejszych na Pomorzu Gdańskim. Wejherowie nie dorównywali wprawdzie wpływami ani fortuną magnaterii koronnej i litewskiej, lecz byli magnatami na skalę prowincji (Achremczyk 1983, 331). W latach 1600–1660 dzierżyli przez jakiś czas aż 14 starostw w Prusach Królewskich, cedując dzierżawy na kolejnych członków rodu. W tych latach przedstawiciele rodu pełnili sześć wyższych urzędów dających prawo do zasiadania



**Ryc. I.1.** Kaplica Wejherów w kościele pw. św. św. Apostołów Piotra i Pawła w Pucku (źródło: Wikimedia Commons).

**Fig. I.1.** Chapel of the Wejher family in the Saint Apostles Peter and Paul Church in Puck (source: Wikimedia Commons).

<sup>1</sup> Dzieje i architektura kościoła p.w. św. św. Apostołów Piotra i Pawła w Pucku – patrz Katalog 1989, 34-43; Styp-Rekowska 2008.

w senacie, a funkcje te utrzymywali łącznie przez największą liczbę lat spośród innych rodów, zdecydowanie dominując w piastowaniu krzesła senatorskich. Najważniejsze w Prusach krzesło wojewody chełmińskiego trzech kolejnych Wejherów zajmowało przez 29 lat bez przerwy (Czaplewski 1921, 5–6, 229–230; Ciara 1980, 61; Achremczyk 1983, 331–333; Dygała, Mikulski 1993; Nowosad 2014, 328–330). Odegrali oni także istotną rolę w zabezpieczaniu północnych granic i realizacji militarnych zamierzeń kolejnych królów Rzeczypospolitej. Wspieranie polityki królewskiej było dewizą rodu oraz fundamentem jego awansu do magnaterii pruskiej. Wysoka pozycja tego przecież „mało starodawnego” rodu była dziełem życia Ernesta, który związał swój los z Rzeczpospolitą, poświęcił się służbie wojskowej i wspieraniu polityki trzech kolejnych królów – Zygmunta II Augusta, Stefana Batorego i Zygmunta III Wazy. Łupy wojenne i nadania królewskie pozwoliły mu

na zbudowanie fortuny zapewniającej Wejherom dominującą pozycję majątkową wśród rodów Prus Królewskich, umożliwiającą awans w strukturze społecznej i politycznej (Ciara 1980).

Dzieje katolickiej linii rodu Wejherów – Ernesta i jego męskich potomków doczekały się już obszernych opracowań, poczynając od spisanego w XVIII wieku przez ks. Kacpra Niesieckiego *Herbarza Polskiego* (wydanego w 1842 r. z dodatkami; Niesiecki 1842). Na podstawie skrupulatnej kwerendy archiwaliów powstała barwna monografia rodu autorstwa Stefana Ciary (1980), która doczekała się licznych recenzji, komentarzy i uzupełnień (Wrede 1981; Kotarski 1982; Achremczyk 1983; Dygała, Szczucka 1983; Szultka 2017). Dzieje trzeciego pokolenia w sposób rozszerzony scharakteryzowane zostały w monografii Józefa Włodarskiego (2016). Natomiast intelektualny obraz Wejherów jako mecenasów sztuki za-



**Ryc. I.2.** Ernest i Anna Wejherowie, ok. 1597 r. Portrety zawieszono w kaplicy Wejherów w kościele parafialnym w Pucku (kopie obrazów autorstwa Hermana Hana). Fot. M. Miścicki.

**Fig. I.2.** Ernest and Anna Wejher, ca. 1597. The portraits are displayed in the chapel of the Wejher family in the parish church in Puck (copies of paintings authored by Herman Han). Photo by M. Miścicki.



rysowany został przez Danutę Dettlaff w monografii poświęconej farze puckiej (Dettlaff 2019). Niniejsze opracowanie nie rości sobie zatem pretensji do syntezy i przedstawienia wyczerpującej historii rodu. Dla podjętego tematu i problemu identyfikacji pochówków złożonych w krypcie rodowej kluczowe wydaje się jednak przedstawienie skróconych biografii poszczególnych członków rodu ze szczególnym zaznaczeniem ich związków z Puckiem i pucką farą, kondycji zdrowotnej oraz okoliczności śmierci i pochówku.

Przodkowie Ernesta Wejhera, wywodzący się z rycerstwa niemieckiego, od końca XIV wieku związani byli z ziemią łęborsko-bytowską, zdobywając stopniowo majątek i urzędy, jednocześnie rozradzając się w szereg linii i odgałęzień (Ciara 1980, 12; Bruski, Śliwiński 1998). Ojciec Ernesta – Klaus (Mikołaj) Wejher herbu Skarżyna, poprzez małżeństwo z Sophią von Ramel<sup>2</sup> i pełniący urząd starosty książęcego w Słupsku awansował do elity ekonomiczno-politycznej Księstwa Pomorskiego (Szultka 2017, 154–155). Posiadał dobra w ziemi łęborskiej oraz dzierżawił Gniszewo w Prusach Królewskich (Ciara 1980, 12; Bruski, Śliwiński 1998, 48). **Ernest Wejher**, urodzony około 1517 r. był trzecim synem Klauza<sup>3</sup>. Otrzymał wykształcenie uniwersyteckie oraz najpewniej dziedziczne dobra w ziemi łęborskiej. Około połowy lat 50. XVI wieku powołany został przez księcia Barnima IX na starostę łęborskiego, który to urząd z przerwami pełnił do 1569 r. lub 1571 r. (Ciara 1997a, 243; Szultka 2017, 154–160). Jednocześnie swoją uwagę kierował w stronę Prus Królewskich, zacieśniając kontakty z dworem polskim i szlachtą pruską. Od 1557 r. prowadził na Pomorzu Zachodnim werbunki żołnierzy dla Rzeczypospolitej zaangażowanej w wojnę w Inflantach, a w 1560 r. zapisany został w poczcie dworzan Zygmunta Augusta. Udział w wojnie

inflanckiej oraz zdobycie w 1563 r. zamku Dahlen wraz ze skarbem 100 tysięcy talarów uczyniły go niezwykle majątnym człowiekiem (Ciara 1980, 14). Sytuacja materialna umożliwiła Ernestowi zawarcie około połowy lat 60. XVI wieku małżeństwa z **Anną Ludwiką Mortęską**<sup>4</sup>, podkomorzanką malborską i nawiązanie tym samym związków z jednym z możniejszych, starych rodów pruskich. W kolejnych latach Ernest u boku Stefana Batorego przystąpił do wojny z Gdańskiem (1576–1577), w której „[...] najprzód pod Tczewem, gdy obóz rebellizujących temu Panu Gdańszczan, i z strzelbą odjął, ludzi jednych pobił, drugich do ucieczki przymusił, sam z tej okazji mężstwa swego dowód ranę wyniósł.” (Niesiecki 1842, 267). Jako komisarz królewski dowodził zorganizowaną przez siebie flotą kaperską z portem macierzystym w Pucku. Później jako komisarz, dowódca oddziałów polskich i posłaniec z misją dyplomatyczną brał udział w polsko-rosyjskiej wojnie o Inflanty (1577–1582). Jednocześnie nie zaniedbywał w tych latach starań o swój majątek. W 1579 r. uzyskał starostwo nowodworskie, a w kolejnym roku nowskie. W czasie kampanii pskowskiej usilnie zabiegał o uzyskanie dochodowego starostwa puckiego, gdzie stacjonował w czasie wojny z Gdańskiem. Ostatecznie starostwo puckie otrzymał 27 marca 1582 r., pod koniec zaś życia również starostwo sobowidzkie (Czaplewski 1921, 162, 229; Ciara 1980, 18). Dzierżenie starostw promowało ród do najbogatszych w prowincji i stwarzało szansę dojścia do fortuny, zamożność natomiast otwierała drogę do kariery politycznej. Tę Ernest Wejher kontynuował po śmierci króla Stefana Batorego. W czasie elekcji w 1587 r. zdecydowanie poparł Zygmunta III, któremu towarzyszył później na czele zbrojnego pocztu w drodze na koronację do Krakowa. W 1594 r., mimo podeszłego już wieku, wyruszył z wojskowym wsparciem na koronację Zygmunta III na króla Szwecji (Ciara 1980; 1997a).

<sup>2</sup> Córka radcy książęcego i dziedzicznego marszałka sejmiiku władztwa biskupów kamięnskich (Szultka 2017, 154).

<sup>3</sup> Rodzeństwo Ernesta to: Franciszek, założyciel protestanckiej linii rodu osiadłej w księstwie słupskim (zm. 1550–1554); Marcin (zm. 1556), ostatni katolicki biskup kamięński; Barbara, poślubiona Joachimowi Jakubowi von Zitzewitz, a następnie Reinholdowi Krokowskiemu i Małgorzata (Szultka 2017, 154).

<sup>4</sup> Według Małgorzaty Borkowskiej, benedyktyнки i badaczki życia zakonnego, Anna Mortęska urodziła się około 1550 r. Po śmierci matki od 1558 r. wychowywała się w klasztorze norbertanek w Strzelnie, a za Ernesta wydana została w 1566 r. Źródło: <https://www.benedyktynki-zarnowiec.pl/bratanice-i-siostrzenice/> dostęp z dn. 26.11.2023 r.

Ernest Wejher nie zaniedbał także budowania włości dziedzicznych. Po 1579 r. przejął od kupiecko-bankierskiej rodziny Loitzów za niespłacone zobowiązania finansowe majątek Rzucewo w starostwie puckim. Do 1592 r. powiększył go o Sławutowo, Sławutówko, Zelistrzewo, Śmiechowo, Nanice i Mrzezino. Rzucewo, w którym Wejherowie wystawili później swoją rezydencję, stało się ośrodkiem tych dóbr (Groth 2015, 36; Dargacz 2021).

W dość późnym już wieku w prywatnym życiu Ernesta zaszła istotna zmiana – na początku lat 80. XVI wieku przeszedł na katolicyzm. Siłą sprawczą tej decyzji przypisuje się pobożnej żonie Annie, choć zapewne odzwierciedla ona także świadomą politykę i zamiar Ernesta większej integracji ze szlachtą polską (Ciara 1980, 20–21). W tym czasie, od 1556 r. kościół w Pucku należał do ewangelików. Ernest prawdopodobnie włączył się do akcji rewindykacyjnej, a w 1589 r. kościół parafialny w Pucku stał się na powrót naczelną świątynią katolicką dekanatu puckiego (Kowalski 1998, 167, 172; Kropidłowski 2007, 44). Fara pucka była również kościołem parafialnym dla rzucewskiego klucza dóbr rodowych.

Ernest Wejher zmarł na początku 1598 r. i złożony został w krypcie grobowej przygotowanej pod kaplicą rodową w farze puckiej, gdzie wedle przekazu „[...] Mając przed oczyma godzinę śmierci / Tu swe prochy w ostatniej chwili / Złożyć polecił. Któremu pogrążeni w głębokim smutku synowie / Ten pomnik przywiązania i pamięci wykonać nakazali.”<sup>5</sup> (Kowalski 1998, 185–186).

Nie jest znany dokument fundacyjny kaplicy rodowej, lecz w 1597 r. Ernest Wejher ustanowił legat 300 grzywien na kaplicę pw. Najświętszej Marii Panny z obowiązkiem utrzymania kapłana (Kropidłowski 2007, 51; Dettlaff 2019, 81–82). Zdaniem D. Dettlaff to właśnie kaplica mariacka gotyckiej świątyni puckiej przekształcona została w kaplicę grobową rodu Wejherów – na wzór mauzoleum Stefana Batorego w kaplicy mariackiej katedry wawelskiej (Dettlaff 2019, 82). Realizacja tego założenia przypadła zapewne

już żonie i synom Ernesta. W świetle badań architektonicznych w końcu XVI wieku dokonano znacznej przebudowy ścian nawy południowej kościoła. Do wzniesienia ścian kaplicy wykorzystano stare fundamenty i mury (do wysokości rolki wyrównawczej) południowego aneksu przywieszowego (Styp-Rekowska 2008), który zapewne mieścił wspomnianą kaplicę mariacką. Wykonano również sklepienie kaplicy – gwiaździste z zębem przewodnim, wzbogacone o dekoracyjne zebro w kształcie czteroliścia (Katalog 1989, 36; Dettlaff 2019, 84–85). Pod kaplicą wymurowano kryptę grobową. Wejście do niej umieszczone w posadzce zakryto kamieniem nagrobnym z inskrypcją „CONIVNX MARTIO FILIOQUE / LIBERI PARENTI FRATRIQVE / SENIORI SIBI VIVENTE SET POS / TERIS, MONUMENTUM STATVERE / ANNO DOMINI 1599” (ryc. I.3).



Ryc. I.3. Kamień nagrobny zamykający wejście do krypty Wejherów. Fot. M. Miścicki.

Fig. I.3. Gravestone closing the entry to the crypt of the Wejher family. Photo by M. Miścicki.

<sup>5</sup> Fragment epitafium publikowanego w 1655 r. przez ks. Szymona Starowolskiego, w tłumaczeniu B. Ślaskiego, cytowany za K. M. Kowalskim (1998, 185–186).

Życie Ernesta Wejhera ściśle związane było z karierą wojskową w służbie królewskiej. Zaczynał ją jako średniozamożny szlachcic, kończył zaś jako właściciel dóbr nie ustępując pod względem majątności czołowym rodom Prus Królewskich. Jako „homo novus” nie osiągnął krzesła senatora, otworzył jednak takie możliwości przed swoimi potomkami.

Ernest Wejher z żoną Anną doczekał się licznego potomstwa: sześciu synów oraz czterech córek (**ryc. I.4**). W ślady ojca poszedł **Jan Wejher**, czwarty syn Ernesta, urodzony w 1580 r. i zaliczany do najwybitniejszych przedstawicieli rodu (Ciara 1980, 38; 1997b). W największym stopniu spośród braci związany był także z ziemią pucką. Jego kariera nabrała rozpędu gdy w 1598 r. u boku króla Zygmunta III wziął udział w drugiej wyprawie do Szwecji, „[...] gdy kulą z działa raniony, w bok i ramię, ledwie życiem nie zapieczętował, swojej ku temu Królowi przychylności.” (Niesiecki 1842, 268). Wówczas to, w wieku zaledwie 18 lat otrzymał od króla dożywotnio starostwo puckie i sobowidzkie<sup>6</sup>. Już w 1597 r. otrzymał także od rodziców dobra rzucewskie, do których w 1620 r. dołączył Osłonino i Bładzikowo, powiększając klucz dziedzicznych włości w ziemi puckiej. Jemu także przypisuje się wystawienie w Rzucewie pierwszej murowanej siedziby rodowej – *Weierhoff* (Schultz 2011, 712; Dargacz 2021, 77–83). W Pucku przejął nie tylko obowiązki starosty, ale także dowódcy oddziałów strzegących wybrzeża Zatoki Gdańskiej przed rosnącym zagrożeniem szwedzkim, udaremniając niejednokrotnie próby desantu (Ciara 1980, 38–44). Nadzorował budowę floty wojennej oraz wznosił na terenie zamku puckiego budynek dobrze zaopatrzonego arsenału (Kruppé, Milewska 2014, 69). W 1605 r. został podkomorzym chełmińskim, w kolejnych zaś latach obsypany został licznymi awansami: w 1613 r. został kasztelanem elbląskim, w 1615 r. wojewodą malborskim, a na koniec wojewodą chełmińskim (1618 r.). Otrzymał także starostwa: radzyńskie (1612 r.) i po śmierci brata

Ludwika – najbardziej dochodowe człuchowskie (1619 r.; Czaplewski 1921, 230). Jak pisał ks. Niesiecki „Męstwo nieustraszone, z którym się nie raz w różnych bataliach popisał, do tych mu krzesel drogę torowało.” (Niesiecki 1842, 268). Do batalii tych z pewnością zaliczyć należy udział w II wojnie polsko-rosyjskiej i oblężenie Smoleńska (1609–1611), kiedy to trafiony został pociskiem i tylko wytrzymałości pancerza zawdzięczał życie (Ciara 1980, 42–46; 1997b, 427).

Jan Wejher dał się poznać nie tylko jako znakomity dowódca, ale także jako sprawny gospodarz, fundator i mecenas sztuki. Do jego osiągnięć należy m.in. sprowadzenie osadników ołędzskich na nieużytki Karwieńskie Błoto i zakładanie nowych folwarków. W dziejach fary puckiej zapisał się jako kontynuator podjętej przez rodziców przebudowy rodowej kaplicy. Ufundował w niej także okazały ołtarz erygowany 18 sierpnia 1623 r., zaprojektowany i namalowany przez cenionego gdańskiego malarza Hermana Hana. Według ustnej tradycji w obrazie głównym ołtarza *Ukrzyżowanie* uwieczniono wizerunki protoplastów rodu: Anny w obliczu Marii oraz Ernesta jako setnika. W centralnym miejscu gzymsu umieszczono zaś kartusz z herbem Wejherów (Kowalski 1998, 174–175; Dettlaff 2019, 111, 187). Na niemal równocześnie namalowanym przez Hermana Hana obrazie *Koronacja Najświętszej Marii Panny* dla cystersów oliwskich przedstawiona jest postać fundatora i jego rodziny: Jana Wejhera w asyście dwóch braci oraz trzech kilkuletnich synów (**por. ryc. III.37**; Dettlaff 2019, 253).

Jan Wejher zmarł 14 stycznia 1626 r. w wieku 46 lat „zmożony podagrą” (Ciara 1980, 48). Pochowany został w krypcie rodowej w Pucku. Pogrzeb odbył się dopiero 31 marca 1626 r. i niewątpliwie miał charakter wydarzenia publicznego. Kazanie (wydane w 1627 r. drukiem) opiewające cnoty i męstwo Wejhera wygłosił najwybitniejszy kaznodzieja epoki – dominikanin ks. Fabian Birkowski<sup>7</sup>.

<sup>6</sup> „[...] Pan Jan Waier z działa postrzelony w rękę, ale nieszkodliwie, i dał mu J. K. M. dwa plastry na te rany: Sobowic i konsens na Puck [...]” (Tyszkowski 1927, 46).

<sup>7</sup> Całość kazania ks. Birkowskiego *Pamięć sprawiedliwego abo na pogrzebie Jaśnie Wielmożnego Pana, Pana Jana*

*Wejhera, wojewody chełmińskiego, puckiego, człuchowskiego, radzińskiego, sobowickiego etc. starosty*, dostępna w repozytorium pomorskiej biblioteki cyfrowej <https://pbc.gda.pl/dlibra/publication/790/edition/370?language=pl>



Jeszcze w pierwszych latach XVII wieku Jan zawarł małżeństwo z **Anną Szczawińską**, córką starosty mirachowskiego, a ze związku tego narodziło się czterech synów i trzy córki. Anna, której po śmierci Jana przypadło starostwo puckie zmarła 1 marca 1627 r. i pochowana została w dominikańskim kościele św. Mikołaja w Gdańsku, dokąd uciekła z nieletnimi dziećmi w obliczu inwazji szwedzkiej (Ciara 1980, 49; 1997b, 428; Szybkowski 2020, 61). Starostwo puckie po jej śmierci otrzymał Jan Działyński, co stało się jedną z osi konfliktu Wejherów z Działyńskimi (Ciara 1980, 55–56, 60–61).

Nie mniej interesujące są życiorysy pozostałych synów Ernesta. Prześledzenie ich karier wskazuje na zgodne współdziałanie w interesie rodu, pomnażanie majątku i utwierdzanie magnackiej pozycji poprzez zaangażowanie polityczne, cedowanie urzędów, kumulowanie włości dziedzicznych i fundacje kościelne. W mniejszym jednak stopniu związani byli z opieką nad dobrami rzucewskimi i kaplicą rodową w kościele farnym w Pucku.

Pierworodny syn Ernesta – **Franciszek Wejher**, urodzony około 1565 r. zmarł młodo, na początku swojej kariery na dworze Zygmunta III (Ciara 1980, 37). Nie ma pewności, co do daty jego śmierci, a pochowany został w Krakowie u oo. dominikanów (Niesiecki 1842, 268).

Drugi syn, **Melchior Wejher**, urodził się w 1574 r. Jego główna działalność toczyła się przede wszystkim na niwie politycznej (od młodości w sejmikach pruskich obierany jako poseł na sejm Rzeczypospolitej), podczas gdy jego młodszy bracia zdobywali sławę i urzędy w wojskowej służbie królewskiej. Dopiero po śmierci brata Ludwika (1616 r.) objął po nim urzędy podskarbiego pruskiego i ekonoma malborskiego oraz starostwa nowodworskie i tczewskie (Czaplewski 1921, 230; Ciara 1980, 53)<sup>8</sup>. Udział w misjach dyplomatycznych Zygmunta III opłaciły mu się w postaci dochodowego starostwa wałeckiego w województwie

poznańskim<sup>9</sup>. Od 1619 r. wchodził też do senatu Rzeczypospolitej, najpierw jako kasztelan elbląski, a po śmierci Jana w 1626 r. jako wojewoda chełmiński, z uposażeniem w starostwa kowalewskie i człuchowskie. Pierwsze lata urzędowania wojewody naznaczone były wojną ze Szwedami, kolejne zaś politycznymi i sądowymi sporami z Działyńskimi, których podstawową przyczyną było zapewne niezadowolone z kumulacji wysokich urzędów w rękach Wejherów (Ciara 1980, 63; 1997c). Spore dochody pozwoliły mu na rozbudowę zamku starościńskiego w Człuchowie i fundacje dla fary człuchowskiej, kaplicy jezuickiej w Wałczu oraz franciszkanów chełmińskich (Dettlaff 2019, 215). Melchior Wejher pojął za żonę **Annę von Proenen**, córkę rajcy gdańskiego i starosty sobowidzkiego (Czaplewski 1921, 176–177), która zmarła bezpotomnie w 1635 r. Sam bezdzietny, objął opieką osierocone potomstwo Jana, zarządzając w ich imieniu dziedzicznym majątkiem i powiększając go o własną schedę. Zmarł 8 maja 1643 r. w dostojnym wieku 69 lat, a pochowany został obok żony w kościele franciszkańskim w Chełmnie (Niesiecki 1842, 273; Ciara 1997c).

Kolejny syn – **Dymitr Wejher**, urodzony około 1578 r., jako starosta kościerski (od 1611 r.) i lignowski (od 1621 r.) zajmował się głównie gospodarowaniem na swoich dobrach. Dwukrotnie zawierał związek małżeński. Jego pierwsza żona – **Gertruda Konarska** (córka Krzysztofa Konarskiego, komisarza morskiego i starosty jurborskiego) poślubiona przed 1603 r. zmarła w drugiej dekadzie XVII wieku bezpotomnie. Drugie małżeństwo zawarte przed 1619 r. z **Katarzyną Opalińską**, córką Piotra Opalińskiego, krajczego koronnego i Anny ze Zborowskich świadczy już o znacznej pozycji i zamożności Wejherów. Narodzona z tego związku jedyna córka Anna była kolejno żoną Andrzeja Grudzińskiego, wojewody rawskiego i Pawła Gembickiego, kasztelana łęczyckiego. W 1626 r. Dymitr objął

<sup>8</sup> W 1624 r. urzędy te i dzierżawy zostały mu odebrane. Jak przypuszcza S. Ciara mogło to wynikać z nadużyć finansowych (Ciara 1980, 54).

<sup>9</sup> Kluczem do otrzymania starostwa było zapewne posiadanie już w Wielkopolsce dóbr koźmińskich odziedziczonych po młodszym bracie Ludwiku i jego żonie Katarzynie (por. niżej) (Ciara 1980, 55).

kasztelanę gdańską, nie cieszył się jednak tym urzędem długo. Zmarł w 25 sierpnia 1628 r. w Kościerzynie i pochowany został u karmelitów w Gdańsku<sup>10</sup> (Ciara 1980, 38; 1997d).

Młodszy brat Jana, **Ludwik Wejher** również rozpoczął karierę od służby wojskowej. Nie znamy jego daty narodzin – nastąpiło to między 1580 a 1586 r. (Ciara 1980, 49). Już w pierwszych latach XVII wieku brał udział w wojnach inflanckich, później zaś wraz z braćmi w wojnie moskiewskiej. W 1603 r. ożenił się z wdową **Katarzyną Rozdrażewską z Potulickich**, która wniosła mu w posagu znaczną fortunę w Wielkopolsce – klucze koźmiński i krotoszyński. Wkrótce także otrzymał starostwo kościerskie (1603 r.) i nowodworskie (1606 r.), ale dobra wielkopolskie ściślej związały go z tą dzielnicą. W 1610 r. został starostą człuchowskim, a kościerskie scedował na brata Dymitra. W 1612 r. dostał starostwo tczewskie, a po śmierci Jerzego Kostki zajął także urząd podskarbiego pruskiego i ekonoma malborskiego (1612 r.). Od 1613 r. został także podkomorzym chełmińskim. Zmarł bezpotomnie w 1616 r., a pochowany został w Koźminie w Wielkopolsce, gdzie od 1613 r. spoczywała jego żona Katarzyna (Ciara 1980, 53; 1997e).

Najmłodszy **Marcin Władysław Wejher** otrzymał staranne wykształcenie uniwersyteckie, jednak podobnie jak ojciec i bracia zdecydował się na karierę wojskową. Zginął w wieku 24 lat, 24 czerwca 1610 r. pod Carowym Zajmiszczem podczas wyprawy smoleńskiej. Jego śmierć odnotował hetman Stanisław Żółkiewski: „[...] a między innymi pan Marcin Wajher, dworzanin króla jegomości, młodzieniec grzeczny, postrzelony głowę tamże położył.” (Żółkiewski 1920, 35). Towarzyszący mu bracia, Jan i Ludwik Wejherowie sprowadzili ciało do Pucka.

Niewiele wiadomo o córkach Ernesta Wejhera – nie odnotowywano ich dat narodzin, a informacje o nich zyskujemy wówczas, gdy wchodziły w korzystne związki małżeńskie. Stefan Ciara wymienia ich cztery: pierwsza to **Zofia**, żona

Jana Sapiehy, a następnie Fabiana Rudzkiego, druga **nieznana z imienia** poślubiona Jędrzejowi Kossowi, trzecia również **nieznana z imienia** zmarła w młodości oraz czwarta **Dorota**, norbertanka w Strzelnie, gdzie zmarła w 1622 r. (Ciara 1980, 25).

Ponieważ synowie Ernesta w większości umierali młodo lub bezpotomnie, trzecie pokolenie Wejherów w linii męskiej reprezentowane jest jedynie przez potomków Jana (**ryc. I.4**). Miał on czterech synów: Ernesta, Mikołaja, Jakuba i Ludwika oraz trzy córki – **Zofię**, poślubioną Janowi Potulickiemu z Chodzieży, później zaś Łukaszowi Oleskiemu, **Elżbietę** wydaną za Andrzeja Massalskiego, wojewodę mińskiego i brzeskolitewskiego oraz **Zuzannę**, mniszkę w Chełmnie (Ciara 1997b). Synowie kontynuowali regalistyczną doktrynę ojca i dziada, utrzymując dzięki majątkowi, wykształceniu i koneksjom wiodącą pozycję rodu w Prusach Królewskich. Sytuacja finansowa umożliwiła im także prowadzenie działalności fundacyjnej na rzecz instytucji kościelnych, co ugruntowywało ich magnacką pozycję w oczach współczesnych, podobnie jak owocne starania o koligacje z czołowymi rodami Rzeczypospolitej. Zapewne ze względu na utratę starostwa puckiego byli jednak mniej związani z pucką farą i rodzinną kaplicą.

**Ernest Wejher**, pierworodny syn Jana, nie zdążył zapisać się w dziejach rodu – zmarł prawdopodobnie w 1617 r., w młodym wieku „gorączką ciężką umorzony”<sup>11</sup>, gdy pobierał nauki w kolegium jezuickim w Braniewie (Ciara 1980, 82; Kotarski 1990, 289; Włodarski 2016, 34–35). Drugi z męskich potomków Jana – **Mikołaj Wejher** urodził się prawdopodobnie przed 1609 r. Podobnie jak wszyscy bracia otrzymał staranne wykształcenie. W 1626 r. objął po zmarłym ojcu starostwo radzyńskie, a po podziale majątku otrzymał dobra położone w województwie chełmińskim. Był zaangażowany zarówno w działania wojskowe, jak i życie polityczne kraju i prowincji. W 1641 r. otrzymał urząd wojewody malborskie-

<sup>10</sup> W 1629 r. wdowa po Dymitrze Katarzyna Opalińska powtórnie wyszła za mąż za Gerharda Denhoffa, z którym miała dwie córki, Katarzynę Jadwigę i Konstancję (Kotarski 1979, 198).

<sup>11</sup> Fragment wiersza ze zbioru *Planctus sepulchralis Eheu Ernestus Weiher, Pallatinides Marienburgensis obiit*, wydane w Braniewie w 1617 r., cytowany przez E. Kotarskiego (1990, 289).

go, a w dwa lata później awansował na stanowisko wojewody chełmińskiego. W województwie chełmińskim posiadał też dobra odziedziczone po podziale ojcowizny. Około 1628 r. ożenił się z **Małgorzatą Tuczyńską de Wedel**. Wspólnie odznaczyli się fundacjami na rzecz kościoła w Radzynie, kaplicy zamkowej w Kowalewie czy kolegium jezuickim w Grudziądzu. Mikołaj zmarł 9 lutego 1647 r., a pochowany został 9 kwietnia w kościele oo. franciszkanów w Chełmnie, gdzie około 1640 r. złożono jego żonę (Niesiecki 1842, 147; Ciara 1980, 82–85; 1997f, 431; Włodarski 2016, 35–52). Jedyna córka z tego związku **Anna Konstancja** została żoną kasztelana poznańskiego Franciszka Sędziwoja Czarnkowskiego, a następnie wojewody poznańskiego Wojciecha Konstantego Brezy (Brzustowicz 2005, 52).

Dziedziczne włości klucza rzucewskiego w ziemi puckiej przypadły trzeciemu z synów Jana – **Jakubowi Wejherowi**. Urodził się w 1609 r. i podążając śladami ojca i dziada, zdobył wykształcenie uniwersyteckie oraz doświadczenie wojskowe w wojnie trzydziestoletniej, dochodząc w służbie armii cesarskiej do rangi pułkownika. Po powrocie do Rzeczypospolitej brał udział w kampanii smoleńskiej, a następnie wspierał realizację królewskich planów morskich. W 1635 r. został komendantem twierdzy puckiej i nowo zbudowanych fortów na Helu – Kazimierzowa i Władysławowa (Ciara 1980; 1997g).

W 1636 r. Jakub poślubił w Ratyźbonie **Annę Elżbietę Schaffgotsch**, córkę Jana Ulryka, magnata śląskiego i dwórkę cesarzowej Eleonory oraz otrzymał od cesarza tytuł hrabiowski (Ciara 1980, 89). Dzięki protekcji królowej Cecylii Renaty w 1643 r. został kasztelanem chełmińskim, a w tym samym roku objął po bracie Mikołaju stanowisko wojewody malborskiego. Posiadając co najmniej 20 wsi dzierżawił również cztery intratne starostwa: od 1641 r. bytowskie (po rewindykacji ziemi lęborsko-bytowskiej), od 1643 r. człuchowskie oraz kiszporskie jako uposażenie wojewody malborskiego, a od 1655 r. również borzechowskie

(Czaplewski 1921, 230). Nie porzucił także starań o Puck – w 1648 r. włączył się czynnie do konfliktu o stanowisko starosty puckiego, wakujące po śmierci Jana Działyńskiego. Gdy stany pruskie sprzeciwiły się objęciu starostwa puckiego przez nieidygę Jana Ossolińskiego, zajął zbrojnie miasto. Choć sejmik generalny postulował nadanie Jakubowi starostwa puckiego, ostatecznie oddane zostało Janowi Zawadzkiemu, podkomorzemu parnawskiemu (Czaplewski 1921, 163; Ciara 1980; 1997g, 426; Włodarski 2016, 134–137).

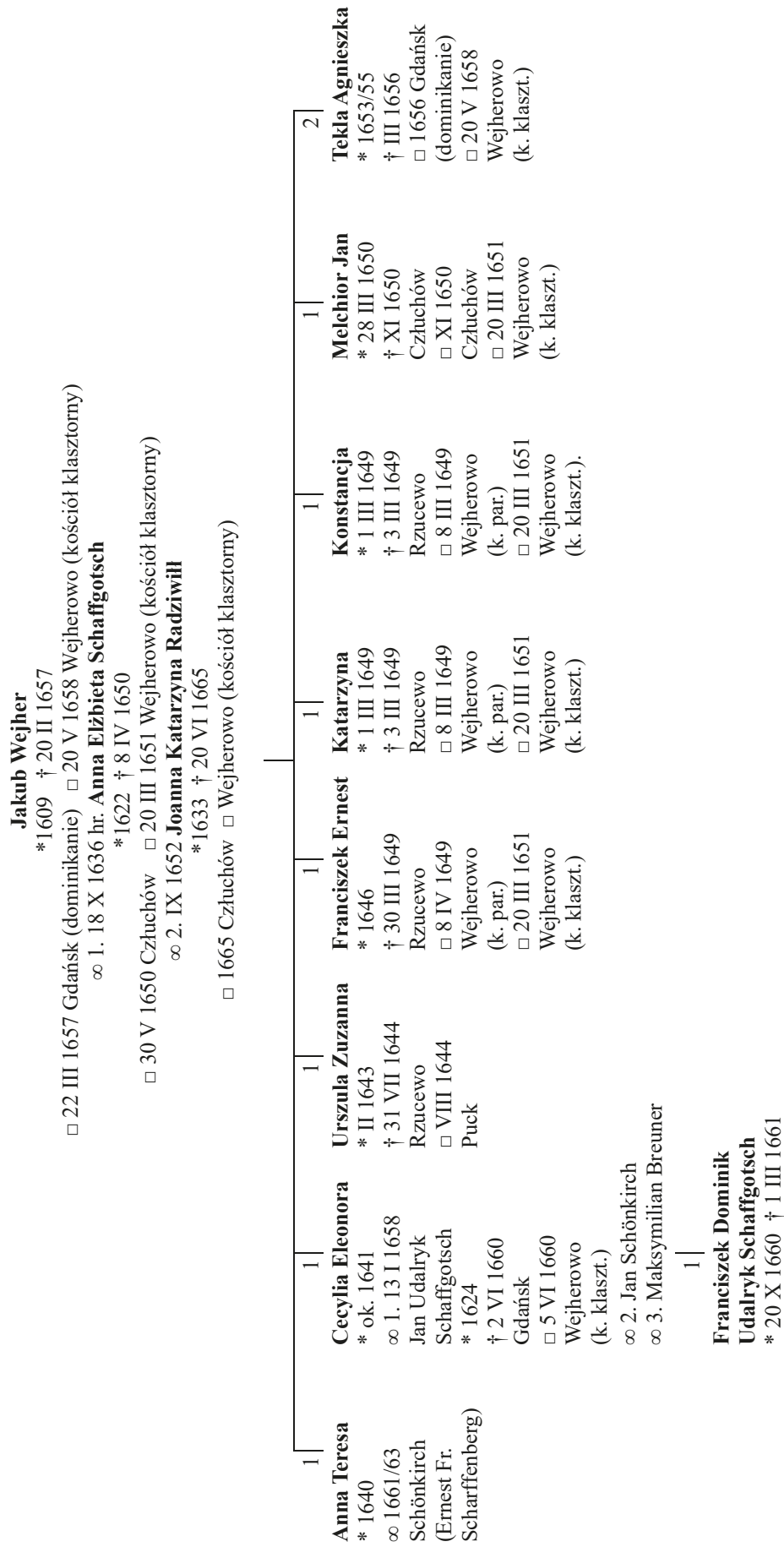
Znakomitej karierze Jakuba nie towarzyszyło powodzenie w życiu rodzinnym. Ze związku z Anną Schaffgotschówną narodziło się siedmioro dzieci, z których tylko dwie najstarsze córki dożyły dorosłości (**ryc. I.5**). Trzecia córka, Zuzanna Urszula przeżyła około 18 miesięcy, pierworodny syn Franciszek Ernest zmarł w wieku 3 lat, a bliźniaczki Konstancja i Katarzyna zmarły tuż po przedwczesnych narodzinach<sup>12</sup>. W 1650 r., w wieku 28 lat Anna zmarła w połogu, wydając na świat Jana Melchiora, który przeżył zaledwie kilka miesięcy. W dwa lata później, we wrześniu 1652 r. Jakub poślubił **Joannę Katarzynę z Radziwiłłów**, córkę ordynata nieświeskiego, marszałka wielkiego litewskiego, a narodzona z tego małżeństwa córka Tekla Agnieszka przeżyła zaledwie trzy lata (Kowalkowski 2011, 182).

Ostatnie lata życia upłynęły Jakubowi w kampaniach wojennych na Ukrainie i Litwie, a po wkroczeniu Szwedów powierzono mu dowództwo nad obroną Prus Królewskich. Dowodził obroną Pucka, Malborka i Chojnic. Wycieńczony trudami wojaczki zachorował i zmarł w Gdańsku 20 lutego 1657 r., a pochowany został w kościele oo. Dominikanów<sup>13</sup> (Grzegorz Gdański 1996, 186–198; Ciara 1980; 1997g; Włodarski 2016, 276–282).

Z losami Jakuba ściśle związane były dzieje najmłodszego z synów Jana – **Ludwika Wejhera**. Bracia wspólnie zdobywali wykształcenie oraz pierwsze doświadczenia wojskowe. Również przez większość życia byli towarzyszami w kampaniach wojennych królów Rzeczypospolitej.

<sup>12</sup> Córki Zuzanna Urszula, Konstancja i Katarzyna nie są wymieniane przez biografę rodu S. Ciarę. Informacje o nich na podstawie kroniki o. Grzegorza Gdańskiego

uporządkował i przedstawił Jacek Kowalkowski (2011).  
<sup>13</sup> Przeniesiony w 1658 r. do krypty rodowej w kościele franciszkańskim św. Anny w Wejherowie.



**Ryc. I.5.** Drzewo genealogiczne Wejherów, linia Ernesta – potomkowie Jakuba. Wg Kowalkowski 2011.  
**Fig. I.5.** Genealogical tree of the Wejher family, the line of Ernest – descendants of Jakub Wejher. Compiled by K. Blusiewicz, after: Kowalkowski 2011.



Po śmierci stryja Melchiora w 1643 r. Ludwik odziedziczył znaczne dobra, a także przejął po nim starostwo wałeckie w Wielkopolsce. W 1646 r. ożenił się z **Katarzyną Jadwigą Denhoff**, córką wojewody pomorskiego Gerarda Denhoffa i Katarzyny Opalińskiej (1<sup>o</sup> v. Wejher). W 1648 r. otrzymał kasztelanję elbląską, a po śmierci teścia na początku 1649 r. – urząd wojewody pomorskiego wraz ze starostwem skarszewskim jako uposażeniem. Po wkroczeniu Szwedów wraz z bratem dowodził obroną Prus. Zmarł w wyniku zarazy podczas oblężenia Malborka 18 lutego 1656 r., a pochowany został w kościele karmelitańskim w Gdańsku (Ciara 1997h; Grzegorz Gdański 1996, 176).

Wraz ze śmiercią Ludwika i Jakuba wygasła męska linia rodu Ernesta. Z potomstwa Jakuba wiek dorosły osiągnęły dwie córki. Starsza, Anna Teresa poślubiła Ernesta Scharffenberga. Młodsza, Cecylia Eleonora, wydana została w 1658 r. za swojego wuja, Jana Udalryka Schaffgotscha, który jednak zmarł już w 1660 r. Jego syn pogrobowiec Franciszek Dominik Udalryk zmarł 1 marca 1661 r. Cecylia Eleonora wyszła za mąż po raz drugi za hr. Maksymiliana Breinera<sup>14</sup> (Ciara 1980, 101). Osiadłe na Śląsku siostry ze względu na odległość wyzbyły się dziedzicznego majątku – w 1676 r. sprzedały dobra rzucewsko-wejherowskie Michałowi Kazimierzowi Radziwiłłowi, bratu drugiej żony Jakuba Wejhera, hetmanowi i podkanclerzemu litewskiemu, żonatemu z Katarzyną Sobieską (Ciara 1980, 101; Kowalkowski 2011, 188).

**Jakub Wejher** w sposób najbardziej trwały zapisał się na kartach historii licznymi fundacjami<sup>15</sup>. W obrębie włości dziedzicznych klucza rzucewskiego – wsi Śmiechowo i Nanice przed połową XVII wieku ufundował kościół parafialny pw. Św. Trójcy oraz kościół i klasztor franciszkanów reformatów, później zaś Kalwarię Wejherowską. Powołał do życia także

nową osadę, która 13 stycznia 1650 r. otrzymała prawa miejskie i znana jest dziś jako Wejherowo<sup>16</sup>. Było to działanie bezprecedensowe w Prusach Królewskich, o ogromnym znaczeniu prestiżowym.

W kościele klasztornym franciszkanów w Wejherowie umieszczono kryptę grobową rodziny fundatora. Złożono w niej Jakuba Wejhera (przeniesionego z Gdańska w 1658 r.) oraz osoby z jego najbliższej rodziny. 20 marca 1651 r. sprowadzono do niej prochy pierwszej żony Anny Elżbiety oraz czwórki jego dzieci z pierwszego małżeństwa: Franciszka Ernesta, bliźniaczek Konstancji i Katarzyny oraz Melchiora Jana, pochowanych wcześniej w Człuchowie i wejherowskim kościele parafialnym. Miejsce ostatniego pochówku znalazła tu także druga żona Jakuba – Joanna Katarzyna (zm. 1665 r.) wraz z córką Teklą Agnieszką oraz jej drugi mąż – Bogusław Leszczyński i ich córka Anna Teodora Leszczyńska. W 1660 r. pochowano tu także Jana Uldaryka Schaffgotscha, pierwszego męża córki Jakuba Cecylii Eleonory (Kowalkowski 2011).

Jakub Wejher zapisał się także jako fundator dzieł sztuki w farze puckiej i pozostawił także swój ślad w kaplicy rodowej. To jemu przypisuje się fundację w 1637 r. ozdobnej, kutej kraty, wykonanej najpewniej przez warsztat gdański (Katalog 1989, 40). Wydzielając kratą kaplicę grobową z przestrzeni wspólnej kościoła dopełnił intencję stworzenia mauzoleum rodowego (Dettlaff 2019, 253).

Lista członków rodu ostatecznie złożonych w krypcie Wejherów ufundowanej przez Ernesta i Annę Wejherów w kościele parafialnym w Pucku nie jest znana. Skromnych wskazówek dostarczają przytaczane wzmianki historyczne oraz treść trzynastu epitafiów, oryginalnie umieszczonych w kaplicy. Ich inskrypcje opublikowano w dziele Szymona Starowolskiego *Monumenta Sarmatarum* wydanym w 1655 r. w zbiorze *Pucensia*<sup>17</sup>. Epitafia nie zachowały się

<sup>14</sup> Według J. Kowalkowskiego Cecylia Eleonora miała trzech mężów: Jana Udalryka Schaffgotscha, Jana Schönkircha i Maksymiliana Breunera (Kowalkowski 2011, 188, przyp. 31).

<sup>15</sup> Należały do nich m.in. fundacja dla kaplicy w Debrznie, przebudowa kościoła w Człuchowie z kaplicą rodową, kryptą i chrzcielnicą, fundacje artystyczne dla klasztoru cystersów oliwskich (Dettlaff 2019, 223).

<sup>16</sup> Bardziej szczegółowo o wejherowskich fundacjach Jakuba Wejhera patrz m.in. Schultz 2011; Ciara 1980; Klemp 1998; Lubocki 2022.

<sup>17</sup> Dzieło w całości dostępne jest w repozytorium cyfrowym w domenie publicznej Polona. Interpretacje treści inskrypcji oraz komentarze do nich i dyskusje zamieścili K. M. Kowalski (1998, 180–197) oraz D. Dettlaff (2019, 81–94).

do dzisiejszych czasów; prawdopodobnie zostały usunięte z kaplicy podczas renowacji kościoła w XIX wieku, a *Monumenta Sarmatarum* są jedynym ich dokumentem (Kowalski 1998, 183). Autorstwo części z nich, sygnowanych „S. S.” przypisywane jest właśnie Starowolskiemu, a fundacja – Jakubowi Wejherowi (Kowalski 1998, 181–197; Dettlaff 2019, 223, 254). Plastyczna forma epitafiów nie jest znana – możliwe, że były malowane na drewnie, na co wskazuje rozbudowana treść inskrypcji. Dwanaście z nich poświęconych było Wejherom – również tym członkom rodu, którzy z całą pewnością nie zostali pochowani w Pucku, co potwierdza funkcję kaplicy jako rodzowego mauzoleum.

Z przytoczonych powyżej zyciorysów opartych na źródłach pisanych oraz treści epitafiów z pewnością można stwierdzić, że w 1599 roku w krypcie grobowej złożono Ernesta Wejhera, zmarłego w wieku 81 lat, później zaś jego żonę Annę, zmarłą również w dojrzałym już wieku prawdopodobnie w 1616 roku (Ciara 1980, 22). Z liczego potomstwa małżeństwa Wejherów wraz z rodzicami pochowano ich syna Jana (zm. 24 stycznia 1626 r.; pogrzeb 31 marca 1626 r.), który po śmierci ojca przejął starostwo puckie. Zapis w treści epitafium Marcina Władysława Wejhera „[...] Cum omnium moerore occubuit, cuius corpus sub hoc tumulo conditum, beatae animae ciniunctionem expectabit.” jednoznacznie wskazuje, iż w pochowano tu także najmłodszego z synów Ernesta. Zginął on w 1610 r. w bitwie pod Carskim Zajmiszczem, a ciało jego sprowadzone zostało przez braci Jana i Ludwika. Trzynaste z epitafiów – czterowierszowy napis prawdopodobnie z płyty nagrobnej – poświęcone jest Kacprowi Szczawińskiemu, bratu Anny Szczawińskiej, żony Jana. Zmarł w 1617 r., w wieku 37 lat. Umieszczenie poświęconego mu pomnika wśród epitafiów Wejherów może sugerować, że pochowany został wraz z nimi w rodzinnym grobie (Kowalski 1998, 197; Dettlaff 2019, 89; Szybkowski 2020, 71).

W świetle informacji źródłowych wydaje się, że lista osób pochowanych w krypcie rodowej zamyka się w drugim pokoleniu, z momentem śmierci Jana Wejhera. Jakub, choć silnie związany z dobrami rzucewskimi oraz farą pucką ostatecznie złożony został wraz z rodziną w ufundowanym przez siebie kościele klasztorным. Intrygujących informacji dostarczają jednak ustalenia Jacka Kowalkowskiego (2011). Wedle jego dociekań w dotychczasowych drzewach genealogicznych Wejherów pomijana była córka Urszula Zuzanna, urodzona na początku 1643 r. Zmarła 31 lipca 1644 r. w Rzucewie, na dwa miesiące przed poświęceniem kościoła parafialnego w Wejherowie i pochowana została w kaplicy Wejherów w Pucku. Uważa on, że pochówek ten nie został przeniesiony do Wejherowa i najprawdopodobniej pozostaje on w Pucku (Kowalkowski 2011, 182–184). W obliczu skromnych i niejednoznacznych informacji źródłowych badacze dziejów fary puckiej i rodziny Wejherów wyjaśnienia zagadki osób złożonych w krypcie rodowej upatrywali w jej otwarciu i przeprowadzeniu w niej badań archeologicznych.

### Przebieg prac archeologicznych

Badania archeologiczne krypty Wejherów podjęte zostały jako prace interwencyjne po zdjęciu kamienia nagrobego w trakcie remontu posadzki kaplicy wiosną 2021 r. Wezwani na miejsce archeolodzy z Uniwersytetu Warszawskiego w dniach 23–24 kwietnia 2021 r. przeprowadzili wizję lokalną, ocenili stan zachowania szczątków oraz wykonali dokumentację fotogrametryczną zastanej sytuacji<sup>18</sup> (**ryc. I.6**). Przedłużający się remont, a w konsekwencji otwarty dostęp do wnętrza komory i zmiana stabilnych warunków środowiskowych panujących w krypcie groziły całkowitym zniszczeniem zachowanych jeszcze szczątków pochówków i wyposażenia grobowego. Po ustaleniach z Wojewódzkim Urzędem Kon-

<sup>18</sup> W wizji lokalnej udział wzięli archeolodzy: dr K. Blusiewicz, dr R. Fetner, dr E. Jaskulska, dr M. Starski, mgr M. Truskowski, dr hab. W. Więckowski. Dokumentację

pomiarową i fotogrametryczną krypty wykonał mgr M. Truskowski.



Ryc. I.6. Dokumentacja fotogrametryczna krypty Wejherów przed podjęciem badań archeologicznych. Oprac. M. Truszkowski.

Fig. I.6. Photogrammetric documentation of the crypt of the Wejher family prior to the archaeological excavations. Compiled by M. Truszkowski.

serwatora Zabytków w Gdańsku w lipcu 2021 r. podjęto prace mające na celu zinwentaryzowanie, analizę i zabezpieczenie zachowanych szczątków.

Już wstępne oględziny wnętrza krypty pozwoliły stwierdzić, że była ona w przeszłości otwierana. Dostęp do niej po zdjęciu kamienia nagrobnego był swobodny. Do wnętrza prowadziła wąska klatka schodowa, która pokryta była tylko niezbyt grubą warstwą gruzu ceglanego, zaprawy i piasku, zsypaną zapewne w wyniku prac przy dawnej posadzce kaplicy (**ryc. I.6**). Źródła pisane oraz lokalny wywiad nie pozwoliły na dokładne ustalenie kiedy krypta była otwierana, a także czy i w jakim zakresie prowadzono w niej prace porządkowe. Z całą pewnością pewien zakres prac porządkowych przeprowadzono w 1894 roku, w trakcie tzw. wielkiej renowacji kościoła w latach 1892–1896 (Styp-Rekowska, 2008). Świadczy o tym napis wykonany na południowej ścianie krypty w brzmieniu <Revid. MDCCC-LXXXIV. XXVI. Quart. mens.>, wskazujący na dzienną datę rewizji – 26 kwietnia 1894 r. (**ryc. I.17**). Z innych przesłanek oraz ustnych informacji mieszkańców Pucka można wnioskować, że otwierano ją również w XX wieku. Odnotowano wyraźne ślady ingerencji, takie jak przemieszczenia pozostałości pochówków i szczątków kostnych, uszkodzenia trumien nie wynikające z naturalnych procesów rozpadu i inicjały pozostawione na sklepieniu. Wyłamane i rozbite deski trumien oraz pozostałości zdjętej z ciał i zwiniętej w kłęb odzieży grobowej świadczą o przeszukiwaniu krypty w przeszłości, prawdopodobnie w celach rabunkowych<sup>19</sup>. Zapewne także część szczątków, takich jak kości dzieci i fragmenty tkanin rozwleczone zostały na całej przestrzeni komory grobowej w wyniku działania zwierząt.

Komora krypty miała kształt prostokąta zorientowanego w osi wschód-zachód, z otworem wejściowym w ścianie wschodniej. Jej poziom

użytkowy stanowiła warstwa zbitego żwiru. Pomieszczenie tylko częściowo wypełnione było pozostałościami pochówków. Przestrzeń bezpośrednio na wprost klatki schodowej pozostawała wolna (**ryc. I.6**). Większość pochówków złożonych zostało w zachodniej części komory, położonej bezpośrednio pod ołtarzem znajdującej się powyżej kaplicy. W ścianach północnej i południowej umieszczono dwie żelazne sztaby, tworzące stelaż biegnący równoległe do ściany zachodniej na wysokości około 70 cm nad gruntem, podparty w połowie długości stojakami<sup>20</sup>. Drewniane trumny umieszczone były na stelażu, lecz w wyniku naturalnych procesów rozkładu rozpadły się, a ich dna przełamały w połowie. Szczątki trumien i ich zawartość zsunęła się na podłogę, tworząc wzdłuż ściany zachodniej pryzmę złożoną z fragmentów trumien, szczątków ludzkich, pozostałości tkanin i innych elementów wyposażenia (**ryc. I.7**). Kolejne działania ludzi i zwierząt doprowadziły do dalszego przemieszczenia i przemieszania szczątków pochówków. Stan zachowania trumien był bardzo zły. Możliwe było wyodrębnienie pojedynczych w większym stopniu zachowanych fragmentów, większość jednak stanowiły niewielkie ułamki drewna oraz zupełne drzazgi. Wyjątek stanowiła jedna trumna, umieszczona oddzielnie na osobnych, ruchomych stelażach, wzdłuż północnej ściany krypty (**ryc. I.8**). Dno i boki trumny zachowane były niemal w całości, wieko natomiast zostało wyłamane. W równie złym stanie co pozostałości trumien zachowały się szczątki kostne, zniszczone pod wpływem działania wapna i przemieszczone, w pojedynczych tylko sytuacjach zachowane w układzie anatomicznym.

Stan zachowania pozostałości pochówków uniemożliwiał określenie liczby osób złożonych w krypcie ani wyodrębnienia poszczególnych trumien przez podjęciem eksploracji. Zdecydowano zatem o podzieleniu przestrzeni krypty na

<sup>19</sup> Zjawisko to niestety nie jest przypadkiem odosobnionym; o problemach z rabowaniem krypt wspominają m.in. Tomasz Kozłowski i in. (2015, 215), a problemom konserwatorskim z tym związanym artykuł poświęcił Dawid Grupa (2019).

<sup>20</sup> Miejsce połączenia sztab rusztowania ze ścianą krypty

zostało zakryte i wzmocnione w nieokreślonym czasie warstwą zaprawy (por. ryc. I.48). Nie można zatem ocenić, czy było to oryginalne rozwiązanie zastosowane w trakcie budowy krypty, czy też, co wydaje się bardziej prawdopodobne, wykonane przy dokładaniu pochówków lub porządkowaniu krypty w późniejszym czasie.



Ryc. I.7. Widok zachodniej części krypty Wejherów przed podjęciem eksploracji. Fot. K. Blusiewicz.

Fig. I.7. View on the western part of the crypt of the Wejher family prior to the archaeological exploration. Photo by K. Blusiewicz.



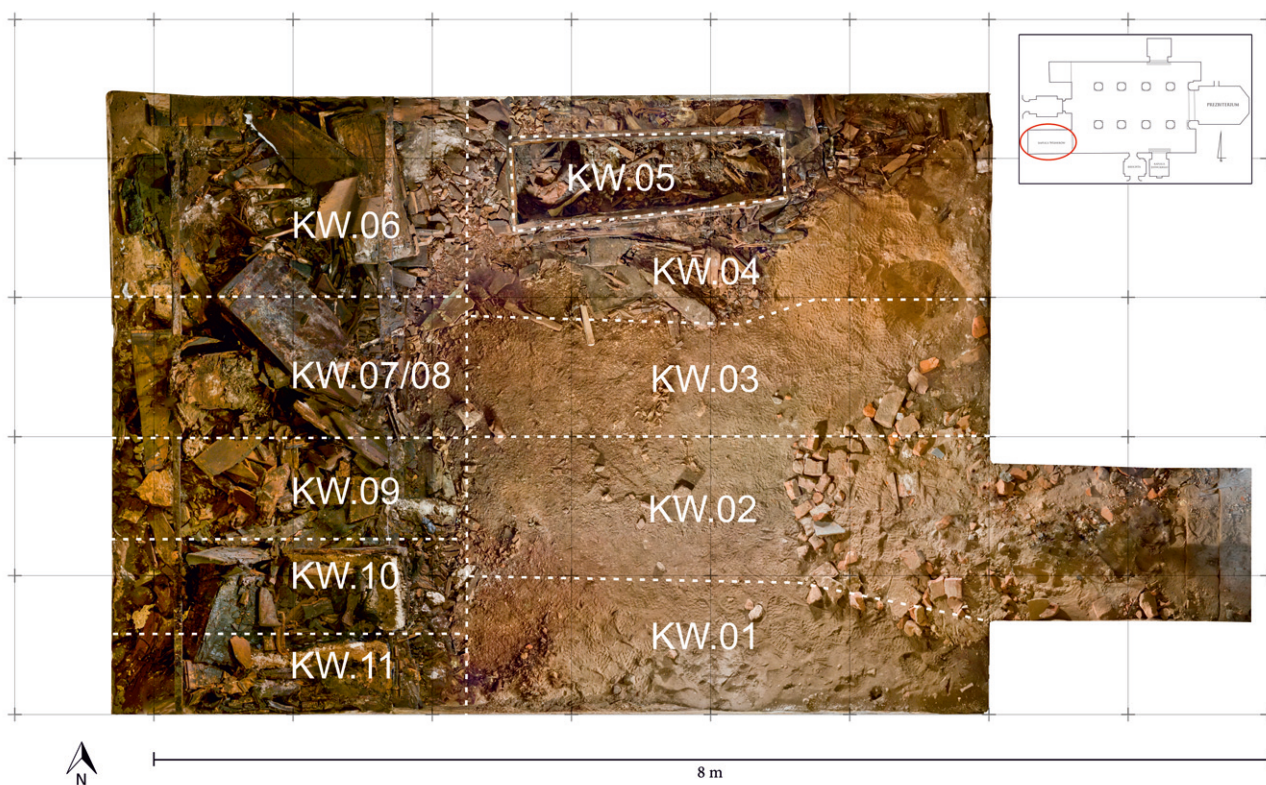
Ryc. I.8. Widok północnej ściany krypty Wejherów z oddzielnie umieszczoną trumną. Fot. M. Truskowski.

Fig. I.8. View on the northern wall of the crypt of the Wejher family with the stand-alone coffin. Photo by M. Truskowski.

sektory, wydzielane arbitralnie w trakcie prac na podstawie prowadzonych obserwacji rozmieszczenia zachowanych szczątków. W pierwszej kolejności oczyszczono klatkę schodową oraz niemal pustą część komory na wprost wejścia, przygotowując przestrzeń roboczą niezbędną do dalszych prac. Część tę podzielono na trzy sektory – podłużne pasy o szerokości 1,0 m i długości 3,5 m, o oznaczeniach – poczynając od ściany południowej – KW.01, KW.02 i KW.03 (**ryc. I.9**). Kolejny numer inwentarzowy (KW.04) otrzymał sektor o wymiarach 1,4 x 3,5 m przy północnej ścianie krypty, pod trumną na stelażach, która wraz z zawartością otrzymała odrębny numer inwentarzowy KW.05. Zachodnią część krypty w toku eksploracji dzielono na kolejne, nierów-

nej szerokości sektory, począwszy od kierunku eksploracji – od ściany północnej (sektory KW.06–KW.11). Szerokość sektorów wyznaczało rozmieszczenie zachowanych den lub podłużnych ścian trumien, w przybliżeniu wyznaczających odrębne pochówki.

Prace archeologiczne polegały na stopniowym, ręcznym zbieraniu szczątków w kolejnych sektorach przy użyciu delikatnego sprzętu, pędzli oraz sitowaniu pozostałości rumowiska (**ryc. I.10, I.11**). W trakcie prac stale obecni byli antropolodzy, którzy dokumentowali zachowane szczątki kostne, niezwykle rzadko obserwowane w układzie anatomicznym oraz na bieżąco przeprowadzali ich analizę<sup>21</sup>. Zbierany materiał zabytkowy był grupowany, inwentaryzowany



**Ryc. I.9.** Dokumentacja fotogrametryczna krypty Wejherów z naniesionymi granicami sektorów. Oprac. M. Truszkowski, K. Blusiewicz.

**Fig. I.9.** Photogrammetric documentation of the crypt of the Wejher family with marked sector boundaries. Compiled by M. Truszkowski, K. Blusiewicz.

<sup>21</sup> Na potrzeby analiz antropologicznych przystosowano odpowiednio przestrzeń kaplicy Wejherów. Szczątki rodziny

Wejherów nie opuściły kaplicy i pozostawione zostały w miejscu ich złożenia.



Ryc. I.10. Eksploracja krypty Wejherów. Fot. K. Blusiewicz.

Fig. I.10. Exploration of the crypt of the Wejher family. Photo by K. Blusiewicz.



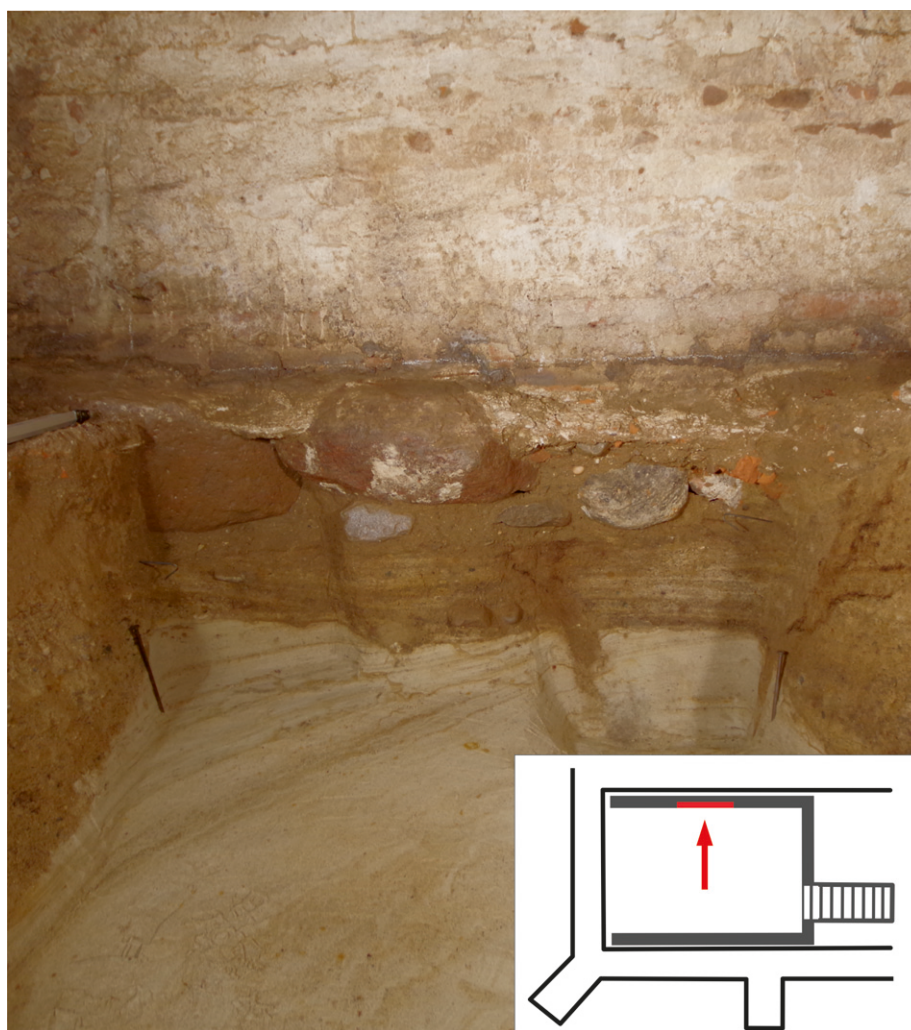
Ryc. I.11. Eksploracja krypty Wejherów. Fot. K. Blusiewicz.

Fig. I.11. Exploration of the crypt of the Wejher family. Photo by K. Blusiewicz.

i otrzymywał numer inwentarzowy sektora<sup>22</sup>. Takie podejście umożliwiało zgrupowanie w jednym numerze inwentarza większości szczątków pojedynczego pochówku oraz obserwację ich rozproszenia. Po usunięciu szczątków, górną warstwę poziomu użytkowego krypty – około 10–15 cm – przesiewano na sitach o grubości oczek 2 mm.

Po uporządkowaniu szczątków pochówków we wnętrzu krypty wykonano dwa sondáže archeolo-

giczne. Miały one na celu wykluczenie pochówków wgłębnych oraz ocenę stanu zachowania i posadowienia fundamentów krypty, m.in. na potrzeby ewentualnej rewitalizacji pomieszczenia. Pierwszy z sondáže o wymiarach 1,5 x 4,4 m wykonano w poprzek krypty, na 2,5 m od ściany wschodniej, kolejny, o wymiarach 1,5 x 1,5 m – w północno-zachodnim narożniku. Nie zarejestrowano w nich śladów pochówków, zadokumentowano natomiast wkopy fundamentowe ścian krypty<sup>23</sup> (**ryc. I.12**).



**Ryc. I.I.12.** Stopa fundamentowa północnej ściany krypty Wejherów. Fot. M. Miścicki.

**Fig. I.I.12.** Foundation footing of the northern wall of the crypt of the Wejher family. Photo by M. Miścicki.

<sup>22</sup> Numer inwentarza polowego zakodowany został zgodnie z systemem stosowanym dla badań archeologicznych prowadzonych na terenie Pucka od ponad 30 lat. Pełen numer zawiera wyczerpujące informacje o lokalizacji począwszy od ogółu do szczegółu. W przypadku krypty Wejherów pełen numer brzmi Pk.M.120.KW.01, gdzie skrót Pk.M

oznacza Puck – miasto, 120 to numer geodezyjny parceli w mieście (obszar kościoła), KW – Krypta Wejherów, 01 – numer sektora.

<sup>23</sup> Nawarstwieniom eksplorowanym w sondażach nadano kolejne numery inwentarzowe (Pk.M.120.KW.12–Pk.M.120.KW.16), kontynuując przyjęty system inwentaryzacji.



## Architektura krypty

Komora grobowa umieszczona została pod zachodnią częścią kaplicy Wejherów. Wejście do niej usytuowane jest w posadzce kaplicy, w jej wschodniej części w odległości 0,8 m od ściany południowej. Otwór wejściowy oryginalnie przysłonięto zachowaną do dziś płytą nagrobną o wymiarach 1,45 na 2,20 m, z inskrypcją potwierdzającą fundację oraz datą roczną 1599 (**ryc. I.3**; por. Kowalski 1998, 182). Do wnętrza komory prowadzi klatka schodowa o szerokości 1,1 m i długości 2,6 m z prostymi, jednobiegowymi schodami, zlokalizowana poza obrysem krypty (**ryc. I.6**). Dziewięć murowanych stopni o wysokości 22–23 cm każdy pokrytych było drewnianymi stopnicami wpuszczonymi w ściany. Zachowały się po nich jedynie szpary o wysokości 4 cm oraz odciski drewna. Otwór wejściowy na poziomie krypty zakończony jest łukiem odcinkowym i oryginalnie zamknięty był kratą otwierającą się do wnętrza, po której zachowały się haki zawiasowe wmurowane w ścianę po stronie prawej oraz skobel po stronie lewej (**ryc. I.13**).

Wnętrze komory ma plan prostokąta o wymiarach 6,4 x 4,5 m, zorientowanego w osi wschód-zachód. Podłogę stanowi warstwa ubitego na powierzchni żwiru, na poziomie 2,5 m poniżej poziomu posadzki kaplicy i wysokości bezwzględnej 5,1–4,9 m n.p.m. Wnętrze przesklepione jest sklepieniem kolebkowym koszowym, o maksymalnej wysokości 2,0 m w strzałce. Sklepienie, ściany wnętrza i klatki schodowej zatarte są dość grubą warstwą zaprawy wapienno-piaskowej.

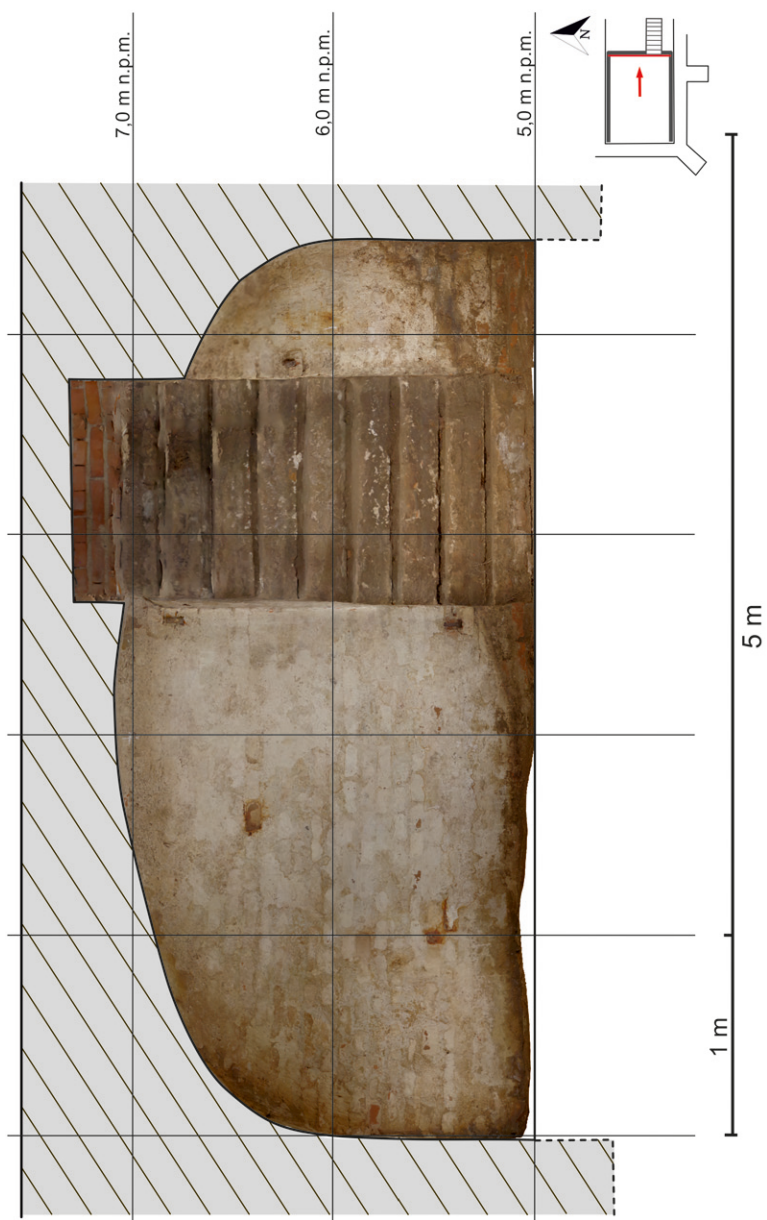
Wykonane sondáže archeologiczne przy zachodniej, północnej i południowej ścianie krypty umożliwiły określenie sposobu osadzenia jej w bryle kościoła. Przy budowie komory grobowej wykorzystano przestrzeń pomiędzy istniejącymi, głęboko posadowionymi fundamentami nawy południowej oraz wieży późnośredniowiecznej świątyni. Jako tarczową, zachodnią ścianę krypty wykorzystano bezpośrednio wewnętrzną stronę fundamentu zachodniego nawy południowej ko-

ścioła, pokrywając go jedynie warstwą zaprawy wapiennej (**ryc. I.14, I.15**). Zawilgocenie ściany dochodzące do wysokości 0,8–0,9 m od poziomu podłogi spowodowało zniszczenie i odspojenie części tynków do wysokości 0,7 m, odsłaniając na fragmencie jej strukturę. Fundament nawy wykonano z dużych, nieobrobionych głazów granitowych układanych warstwowo, z warstwami wyrównawczymi z mniejszych kamieni oraz gruzu ceglanego. Odsłonięta część fundamentu nawy – oryginalnie zagłębiona w gruncie we wkopie fundamentowym – przesypanya była piaskiem, który obecnie wysypywał się do wnętrza krypty przez ubytki w zaprawie i powodował dalszą degradację tynków i struktury ściany. Stopa fundamentu ściany zachodniej nawy posadowiona była na głębokości 4,9 m n.p.m., na której ustalono także poziom użytkowy krypty.

Do ściany zachodniej dochodziły długie ściany krypty – północna i południowa, które połączono sklepieniem. Ściany wymurowano z cegieł na płytce podwalinie kamiennej, umieszczonej we wkopie fundamentowym w żwirowym podłożu (**ryc. I.16, I.17**). Tworzył ją jeden rząd dużych kamieni granitowych, uzupełnianych kamieniem łamanym i fragmentami cegieł, spojonych zaprawą piaskowo-wapienną. Podwalinę ścian krypty umieszczono na głębokości 4,60 m n.p.m., nieco poniżej fundamentów ściany zachodniej późnośredniowiecznej nawy. Południową ścianę krypty dostawiono do wewnętrznej strony fundamentu południowej nawy kościoła. Ścianę północną krypty dostawiono natomiast do południowej, zewnętrznej ściany fundamentu wieży. Wąski sondaż wykonany pod fundamentem północnej ściany krypty pozwolił na uchwycenie stopy fundamentu wieży, cofniętej w stosunku do lica ściany krypty o około 50 cm w kierunku północnym. Posadowiona została na wysokości bezwzględnej około 3,8 m n.p.m.<sup>24</sup> (**ryc. I.18**). Zatem w trakcie budowy krypty w końcu XVI wieku opróżniono przestrzeń między fundamentem wieży i nawy południowej, a następnie wstawiono pomiędzy nie trzy ściany (północną, wschodnią i południową) zamykające komorę grobową.

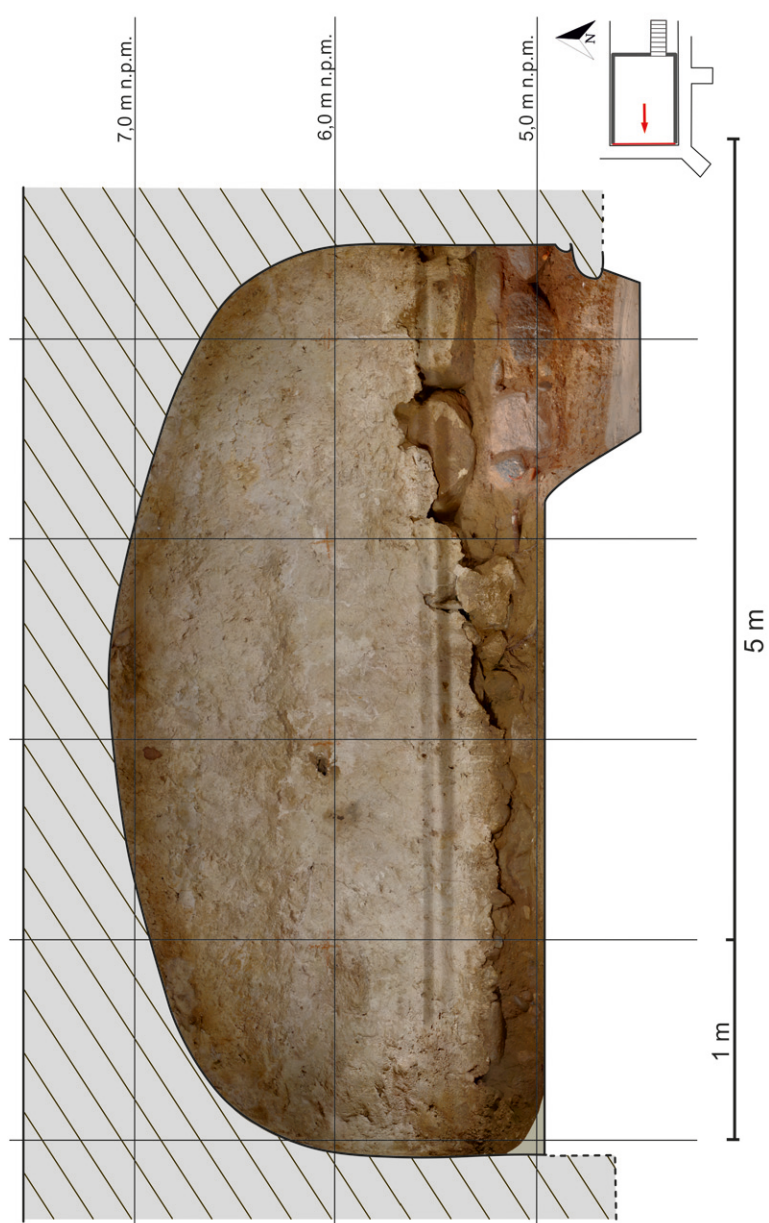
<sup>24</sup> Uchwyconą w wąskiej odkrywce stopę fundamentu wieży stanowił duży granitowy głaz w wąskoprzestrzennym

wkopie fundamentowym wypełnionym jasnożółtym piaskiem i fragmentami cegieł, w tym zendrówek.



**Ryc. I.13.** Dokumentacja fotogrametryczna wschodniej ściany krypty Wejherów. Oprac. M. Miścicki.

**Fig. I.13.** Photogrammetric documentation of the eastern wall of the crypt of the Wejher family. Compiled by M. Miścicki.



**Ryc. I.14.** Dokumentacja fotogrametryczna zachodniej ściany krypty Wejherów. Oprac. M. Miścicki.

**Fig. I.14.** Photogrammetric documentation of the western wall of the crypt of the Wejher family. Compiled by M. Miścicki.



**Ryc. I.15.** Widok północno-zachodniego narożnika krypty Wejherów z dostawioną północną ścianą komory grobowej do gotyckiego fundamentu nawy. Fot. M. Miścicki.

**Fig. I.15.** View of the north-western corner of the crypt of the Wejher family with the northern wall of the burial chamber added to the Gothic foundation of the nave. Photo by M. Miścicki.

W świetle badań architektonicznych wieża zachodnia należy do najstarszych części muranego kościoła, a jej wzniesienie datowane jest na przełom XIII i XIV wieku (Styp-Rekowska 2008). Pierwotny, halowy układ kościoła z dostawioną wieżą zachodnią rozbudowany został w czasach krzyżackich do formy trójnawowej, a wzniesienie nawy południowej datowane jest na 2. połowę XIV wieku. Odślonięty w sondażach żwirowo-piaskowy nasyp, zalegający na pokładach naturalnego drobnoziarnistego piasku i opadający w kierunku wieży świadczyć może o przekształceniu dużej części terenu w otoczeniu świątyni w trakcie któregoś z etapów budowy. Wąski zakres pola obserwacji nie pozwala jednak na sformułowanie jednoznacznych wniosków, a rozpatrywanie historii budowlanej kościoła wymaga prowadzenia dalszych badań wykopaliskowych na terenie przylegającym do wieży.

### Pozostałości pochówków i wyposażenia grobowego

Zalegające we wnętrzu krypty pozostałości pochówków znajdowały się w bardzo złym stanie, w dużym stopniu rozdrobnione, przemieszane i rozproszone po całym obszarze komory. Eksploracja przy podziale na sektory umożliwiła grupowanie znajdowanych szczątków i podjęcie próby rekonstrukcji na podstawie ich rozplanowania. W ten sposób, z utrzymaniem podziału na sektory prezentowane są pozyskane źródła.

W najlepszym stanie zachowania była trumna stojąca oddzielnie wzdłuż północnej ściany krypty, skierowana szczytem w kierunku zachodnim (**ryc. I.8**). Wraz z zawartością zinwentaryzowana została pod numerem Pk.M.120.KW.05 i potraktowana jako odrębny **sektor KW.05**. Umieszczona była około 70 cm nad ziemią na dwóch żelaznych, ruchomych stelażach. Dno trumny oraz większość



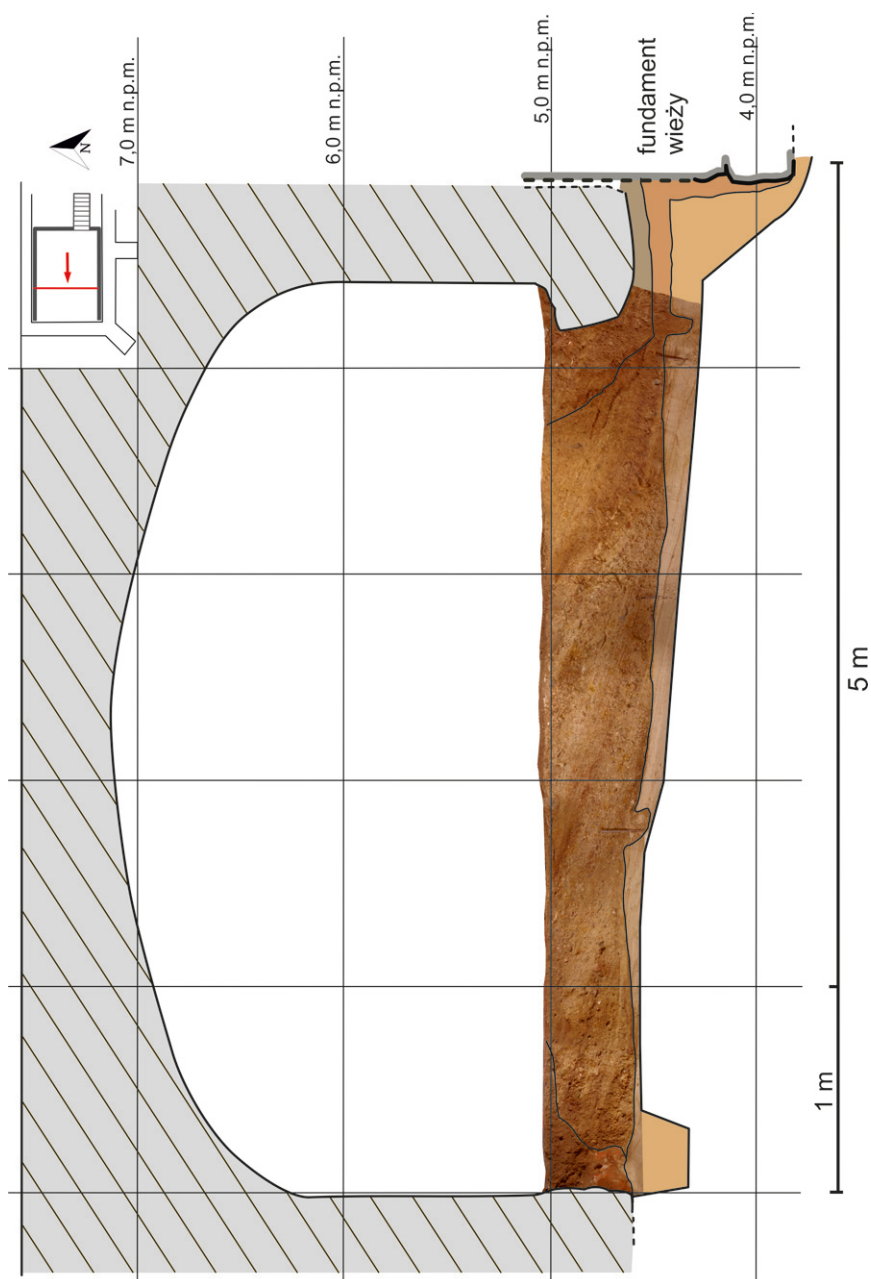
Ryc. I.16. Dokumentacja fotogrametryczna północnej ściany krypty Wejherów. Oprac. M. Miścicki.

Fig. I.16. Photogrammetric documentation of the northern wall of the crypt of the Wejher family. Compiled by M. Miścicki.



Ryc. I.17. Dokumentacja fotogrametryczna południowej ściany krypty Wejherów. Oprac. M. Miścicki.

Fig. I.17. Photogrammetric documentation of the southern wall of the crypt of the Wejher family. Compiled by M. Miścicki.



**Ryc. I.18.** Dokumentacja fotogrametryczna zachodniej ściany sondażu 1 biegnącego w poprzek krypty Wejherów. Oprac. M. Miścicki, K. Blusiewicz.

**Fig. I.18.** Photogrammetric documentation of the western wall of Trial Trench 1 running across the crypt of the Wejher family. Compiled by M. Miścicki, K. Blusiewicz.

ścian bocznych skrzyni zachowane były w stanie nienaruszonym. Była to trumna z płaskim wiekiem o przekroju czworobocznym, z bokami tylko nieznacznie odchylonymi od pionu (**ryc. I.19**). Długość wnętrza trumny przy dnie wynosiła 191 cm, szerokość zaś 56 cm przy głowie oraz 42 cm przy stopach (**tab. I.1:2**). Trumnę wykonano z desek dębowych (**tab. I.2:5**) o grubości 3,0–3,5 cm, łączonych ze sobą drewnianymi kołkami o przekroju czworobocznym. Boki ustawione były na dnie i również zamocowane kołkami. Narożniki krótkich i długich boków skrzyni łączone były ze sobą z zastosowaniem wpustowych łączy stolarskich na tzw. jaskółczy ogon (**ryc. I.20**). *In situ* zachował się także fragment płaskiego wieka, przybitego od góry do ścian bocznych żelaznymi kutymi gwoździami. Jego przeważająca część została wyłamana, a fragmenty zalegały w różnym miejscach krypty. Cała trumna wraz z wiekiem była starannie zabezpieczona od strony zewnętrznej – owinięta kilkoma (6–8) warstwami tkanin wykonanych w rzadkim splocie płóciennym i nasączonych lepiszczem, dziegciem lub smołą. W przekroju tworzyły one nieprzepuszczalną powłokę o grubości nawet 2,0 cm (**ryc. I.21**). Tego rodzaju uszczelnienie z 2–3 warstw tkanin wykonano również we wnętrzu trumny. Do lepiszcza uszczelniającego trumnę od zewnątrz przyklejone były fragmenty grubego filcu, obecnie w kolorze brązowym. Jego większe fragmenty leżały również luzem w jej wnętrzu, pod trumną oraz innych częściach krypty.

Filc miał grubość 0,6–0,7 cm, a zachowane prosto cięte krawędzie nosiły ślady szwów „na okrętkę” (**ryc. I.22**). Dno trumny w całości pokrywała warstwa szczątków roślinnych, stanowiących oryginalnie rodzaj chłonnego materaca. W miejscu, gdzie powinna znajdować się głowa, warstwa roślin była grubsza, tworząc rodzaj poduszki. Z różnych miejsc roślinnego materaca pobrano próbki do badań archeobotanicznych i palinologicznych<sup>25</sup>.

W przypadku tej trumny również pewna część szczątków pochówku zachowana była *in situ*. Dotyczy to pozostałości spodniej części jedwabnej spódnicy sukni, której boki przykleiły się do wewnętrznego uszczelnienia (**ryc. I.20**). Zawinięte w fałdy spódnicy zachowały się także kości kończyn dolnych. Pozostałe szczątki kostne zalegające w trumnie były przemieszczone i przemieszane. Na powyższej podstawie możliwe było przypisanie trumny do pochówku kobiety w wieku starszym<sup>26</sup>. W miejscu, gdzie powinna znajdować się czaszka odnotowano zwinięte w kłębek pozostałości górnej części odzieży grobowej – stanika i rękawów sukni damskiej szytej według wzorów zachodnich<sup>27</sup> (**ryc. III.6**). W wnętrzu trumny znaleziono też niewielki przedmiot, najprawdopodobniej okucie końca sznurówki. Wykonane zostało ze srebrnej blaszki<sup>28</sup> (**tab. I.3:80**) i miało postać zwężającej się tulei o długości 3,8 cm i średnicy u wylotu 5 mm (**ryc. I.23**). W jej środku zachował się strzęp jedwabnego sznurka.

<sup>25</sup> Próbki archeobotaniczne pobrane zostały przez dr hab. Monikę Badurę, prof. UG. Na ich podstawie przygotowane zostało odrębne opracowanie makro- i mikroskopowych szczątków roślin. Por. Badura, Noryśkiewicz, rozdz. IV w tym tomie.

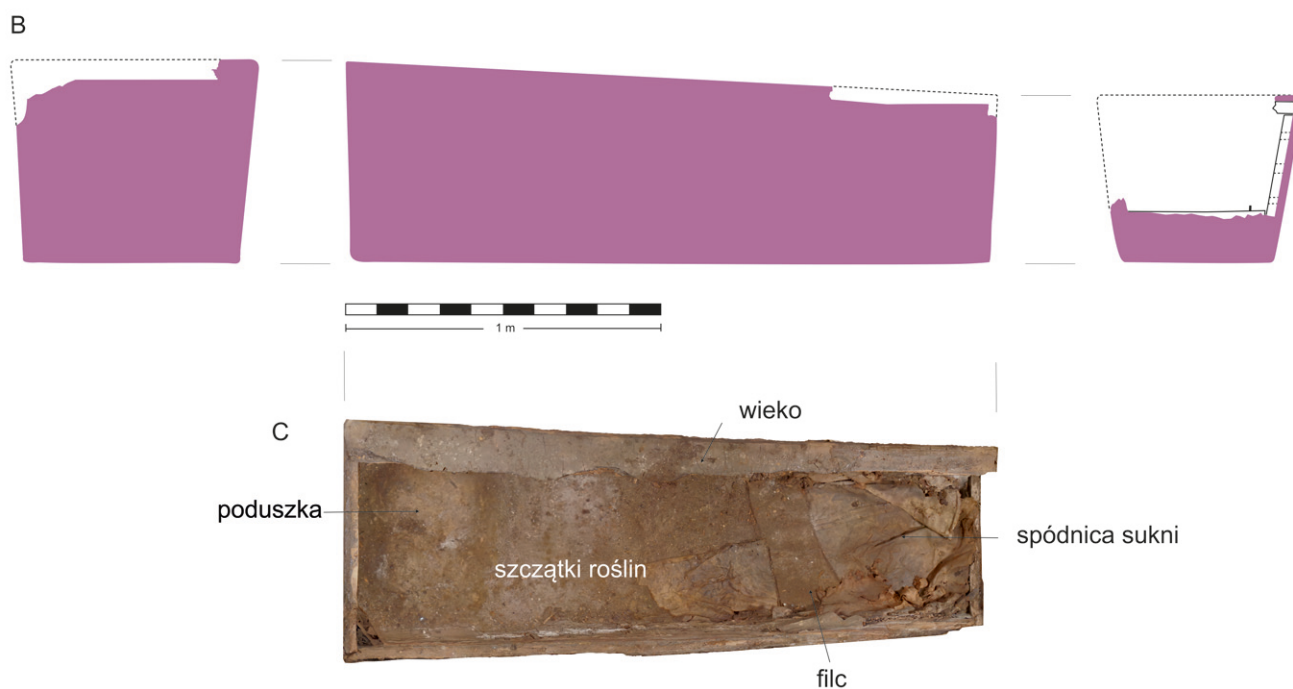
<sup>26</sup> Wszystkie przytaczane w opracowaniu informacje dotyczące oceny płci i wieku osób pochowanych w krypcie pochodzą z analizy osteologicznej, której pełne wyniki zaprezentowane są w tym tomie – patrz Fetner i in., rozdział II.

<sup>27</sup> Szczegółowe opracowanie zachowanych strojów grobowych wykonane zostało przez dr hab. Małgorzatę Grupę, prof. UMK i dr Dawida Grupę i stanowi oddzielne opracowanie – patrz Grupa M., Grupa D., rozdział III w tym tomie.

<sup>28</sup> Konserwację wybranych zabytków metalowych prze-

prowadził mgr Maciej Miścicki. Przy ocenie i opisie pozyskanych zabytków wykorzystano wyniki pomiarów wykonanych spektrometrem ręcznym XRF Vanta Series M, wyposażonym w lampę rentgenowską 8-50 kV (anoda rodowa Rh), detektor SDD z oknem grafenowym i automatyczną przesłoną oraz kolimatory o średnicy pomiaru 3 i 9 mm. Pomiaru wykonywano programem AlloyPlus-Extra, dedykowanym do analizy stopów metali. Wykonane pomiary miały przede wszystkim na celu wspomoczenie procesu konserwacji. Ich wyniki jednak dostarczyły interesujących spostrzeżeń, dotyczących oprawy pochówków, więc podstawowy skład pierwiastkowy udostępniony został w publikacji w postaci tabelarycznej (tab. I.3). Szczegółowa analiza będzie przedmiotem dalszych badań interdyscyplinarnego zespołu.





**Ryc. I.19.** Pozostałości trumny Pk.M.120.KW.05 złożonej przy północnej ścianie krypty: 1 – widok *in situ* (fot. M. Truskowski); 2 – rekonstrukcja (rys. K. Blusiewicz); 3 – zdjęcie fotogrametryczne z góry (oprac. M. Miścicki).

**Fig. I.19.** Remains of the coffin Pk.M.120.KW.05 deposited near the northern wall of the crypt: 1 – *in situ* view (photo by M. Truskowski); 2 – reconstruction (drawing by K. Blusiewicz); 3 – photogrammetric photo from above (compiled by M. Miścicki).



**Ryc. I.20.** Widok wnętrza trumny Pk.M.120.KW.05 po usunięciu luźnych szczątków. Widok od strony boku krótkiego przy stopach. Fot. M. Miścicki.











**Fig. I.20.** View of the interior of the coffin Pk.M.120.KW.05 after removal of loose remains. View from the short side at the feet. Photo by M. Miścicki.



**Ryc. I.21.** Krawędź deski bocznej ściany trumny Pk.M.120.KW.05 z zachowanymi zewnętrznymi (po lewej) i wewnętrznymi (po prawej) warstwami uszczelnienia. Fot. K. Blusiewicz.

**Fig. I.21.** Edge of the plank of the side wall of the coffin Pk.M.120.KW.05 with preserved outer (left) and inner (right) layers of sealing. Photo by K. Blusiewicz.

**Tabela I.1.** Zestawienie wyróżnionych trumien z krypty Wejherów. Oprac. K. Blusiewicz.  
**Table I.1.** Identified coffins from the crypt of the Wejher family. Compiled by K. Blusiewicz.

Lp	Nr inwentarza, opis	Przekrój poprzeczny	Dno	Bok krótki (głowa)						Bok krótki (stopy)						Obicie	Ryc.	
				Skrzynia (cm)			Wieżo (cm)			Skrzynia (cm)			Wieżo (cm)					
				Szer. górna*	Szer. dolna*	Wys.*	Szer. górna*	Szer. dolna*	Wys.*	Szer. górna*	Szer. dolna*	Wys.*	Szer. górna*	Szer. dolna*	Wys.*			
1.	Pk.M.120.KW.04 trumna sosnowa dziecięca		>86	-	-	16 w	40 w	12 w	-	-	-	17 w	>15 w	-	-	-	+	I.24
2.	Pk.M.120.KW.05 trumna dębowa		191 w 200 z	78 z	56 w 68 z	64 z	-	-	-	-	60 z	42 w 50 z	52 z	-	-	-	+	I.19
3.	Pk.M.120.KW.06 sarkofag jesionowy		207 z	-	58 z	-	-	-	-	-	-	51 z	-	-	-	-		I.28
5.	Pk.M.120.KW.06 trumna, iglaste		189 w	-	43 w	-	-	-	-	-	-	38 w	-	-	-	-		I.31
	Pk.M.120.KW.07/08 trumna świetkowa		-	>43	-	-	-	-	-	-	-	-	-	-	-	-		I.35
6.	Pk.M.120.KW.09 trumna dębowa dziecięca		91 z	26 w	38 w	25 w	-	-	-	19,5 w	28,5 w	18 w	-	-	-	-	+	I.38:1
7.	Pk.M.120.KW.09-11 trumna dziecięca		-	-	-	-	-	-	-	-	-	-	-	-	-	-		I.40
8.	Pk.M.120.KW.09 trumna dębowa, dłubanka		-	-	-	-	-	-	-	-	-	-	-	-	-	-		I.41
9.	Pk.M.120.KW.10 trumna dębowa		-	-	-	-	-	-	-	-	-	-	-	-	-	-	+	I.45
10.	Pk.M.120.KW.11 trumna, iglaste		-	-	-	-	-	-	-	-	-	30 w	24 w	-	-	-		

\* w – wymiar wewnętrzny, z – wymiar zewnętrzny

Tabela I.2. Wyniki analizy dendrochronologicznej próbek drewna trumien z krypty Wejherów. Za Ważny, Elżanowska 2022.

Table I.2. Results of the dendrochronological analysis of the wood samples from the crypt of the Wejher family. After: Ważny, Elżanowska 2022.

I.p.	Nr inv. pol. (sektor)	Opis	Liczba przyrostów rocznych*	Biel	Sój podkorowy	Synchronizacja	Datowanie	Gatunek drewna
1	Pk.M.120.KW.07/08	bok trumny dłubanki	187 (+1)	0	brak	AD 1358-1543	1559+x/-6	dąb
2	Pk.M.120.KW.08	fragm. trumny dłubanki	110 (+1)	0	brak	AD 1454-1563	1579+x/-6	dąb
3	Pk.M.120.KW.06	dno trumny dłubanki	80 (+1)	0	brak	AD 1495-1573	1589+x/-6	dąb
4	Pk.M.120.KW.06	deska z sarkofagu	117	brak	brak	brak	niedatowana	jesion
5	Pk.M.120.KW.05	deska z boku trumny	73	0	brak	brak	niedatowana	dąb
6	Pk.M.120.KW.07/08	deska, wieko z otworem	128	brak	brak	brak	niedatowana	jesion
7	Pk.M.120.KW.07/08	deska, wieko	69 (+1)	0	brak	brak	niedatowana	dąb
8	Pk.M.120.KW.07	dno trumny	<30	brak	brak	brak	niedatowana	świerk
9	Pk.M.120.KW.09	bok trumny dziecięcej	198	16	tak	AD 1435-1632	1632/1633 r.	dąb
10	Pk.M.120.KW.10	deska z boku trumny	49 (+1)	0	brak	AD 1521-1569	1585+x/-6	dąb
11	Pk.M.120.KW.09	dno trumny dłubanki	136 (+1)	0	brak	AD 1375-1510	1526+x/-6	dąb
12	Pk.M.120.KW.09	dno trumny dłubanki	84 (+1)	0	brak	AD 1491-1574	1590+x/-6	dąb
13	Pk.M.120.KW.10	dno trumny dłubanki	1604 (+1)	11	brak	AD 1550-1604	1605-1617 r.	dąb
14	Pk.M.120.KW.09	dno trumny dłubanki	81	0	brak	AD 1496-1576	1591+x/-6	dąb
15	Pk.M.120.KW.09	deska trumny	<30	brak	brak	brak	niedatowana	sosna
16	Pk.M.120.KW.09	deska trumny dziecięcej	<30	brak	brak	brak	niedatowana	sosna
17	Pk.M.120.KW.04	wieko trumny dziecięcej	<30	brak	brak	brak	niedatowana	sosna
18	Pk.M.120.KW.04	bok trumny dziecięcej	<30	brak	brak	brak	niedatowana	sosna
19	Pk.M.120.KW.09	dno trumny dziecięcej (ta sama co l.p.9)	127 (+1)	0	brak	AD 1488-1614	1630+x/-6	dąb
20	Pk.M.120.KW.08	dno trumny dłubanki	87 (+1)	6	brak	AD 1513-1599	1603-1617 r.	dąb

\* liczby w nawiasie podawane przy ogólnej ilości słoików oznaczają najmłodsze przyrosty na próbce, które nie były mierzone, tylko zarejestrowane

Poniżej ustawionej na stelażu trumny zalegała warstwa różnego rodzaju szczątków, których zasięg wyznaczył granice **sektora KW.04**. Część z nich pochodziła z jej wnętrza – znaleziono tu przednią część spódnicy jedwabnej sukni, oderwaną i przygniecioną deskami wyłamany z boku i wieka. Poza tym znajdowały się tu rozproszone fragmenty bardzo zniszczonej drugiej trumny dziecięcej o przekroju sześciokątnym (**ryc. I.24:1–5**). Zachował się z niej bok krótki skrzyni przy stopach oraz fragmenty wieka i ścian bocznych wykonanych z pojedynczych desek sosnowych o grubości 2,0–2,2 cm (**tab. I.2:17–18**). Zachowane elementy nie pozwalają na pełną rekonstrukcję wymiarów: długość skrzyni wynosiła co najmniej 86 cm, a szerokość dna przy stopach 17 cm (**tab. I.1:1**). Trumna obita była tkaniną jedwabną, mocowaną na krawędziach ćwiekami tapicerskimi i ozdobiona jedwabną pasmanteryjną taśmą z frędzlami (**ryc. I.25**). Na krótkim boku skrzyni przy stopach wybito ćwiekami datę roczną 1708, a na wieku wykonano w ten sposób symbole *IHS* z krzyżem wpisanym w poprzeczkę litery H. Na deskach boków skrzyni lub wieka (w tym fragmencie z sektora KW.09) umieszczono wybite ćwiekami herb (**ryc. I.24:6**). Z tej części krypty pozyskano także cztery toczone podpory, o wysokości 5 cm – dwie większe i dwie mniejsze, o średnicach odpowiednio 9,5 i 6,5 cm (**ryc. I.24:5**). W rozsypisku znajdowały się także dwa kute żelazne gwoździe o długości 8,3 cm, o prostokątnym w przekroju trzpieniu (7 x 5 mm), spłaszczonym na końcu, a także pojedyncze ćwieki tapicerskie, odnotowane w trumnach zlokalizowanych w innych częściach krypty.

Z pozostałości tekstyliów w obrębie sektora KW.04, prócz fragmentu spódnicy, odnotować należy liczne niewielkie strzępy tkanin jedwabnych, stanowiących pozostałości strojów grobowych, poszewek oraz obić trumien. Zachowały się wraz z nimi fragmenty wyrobów pasmanteryjnych z miedzianymi szpilkami upinającymi odzież. Odnotowano tu fragmenty koronek klockowych<sup>29</sup> oraz wąskiego galonu (szer. 4,5 mm),



**Ryc. I.22.** Pozostałości filcowego obicia trumny Pk.M.120.KW.05. Fot. K. Blusiewicz.

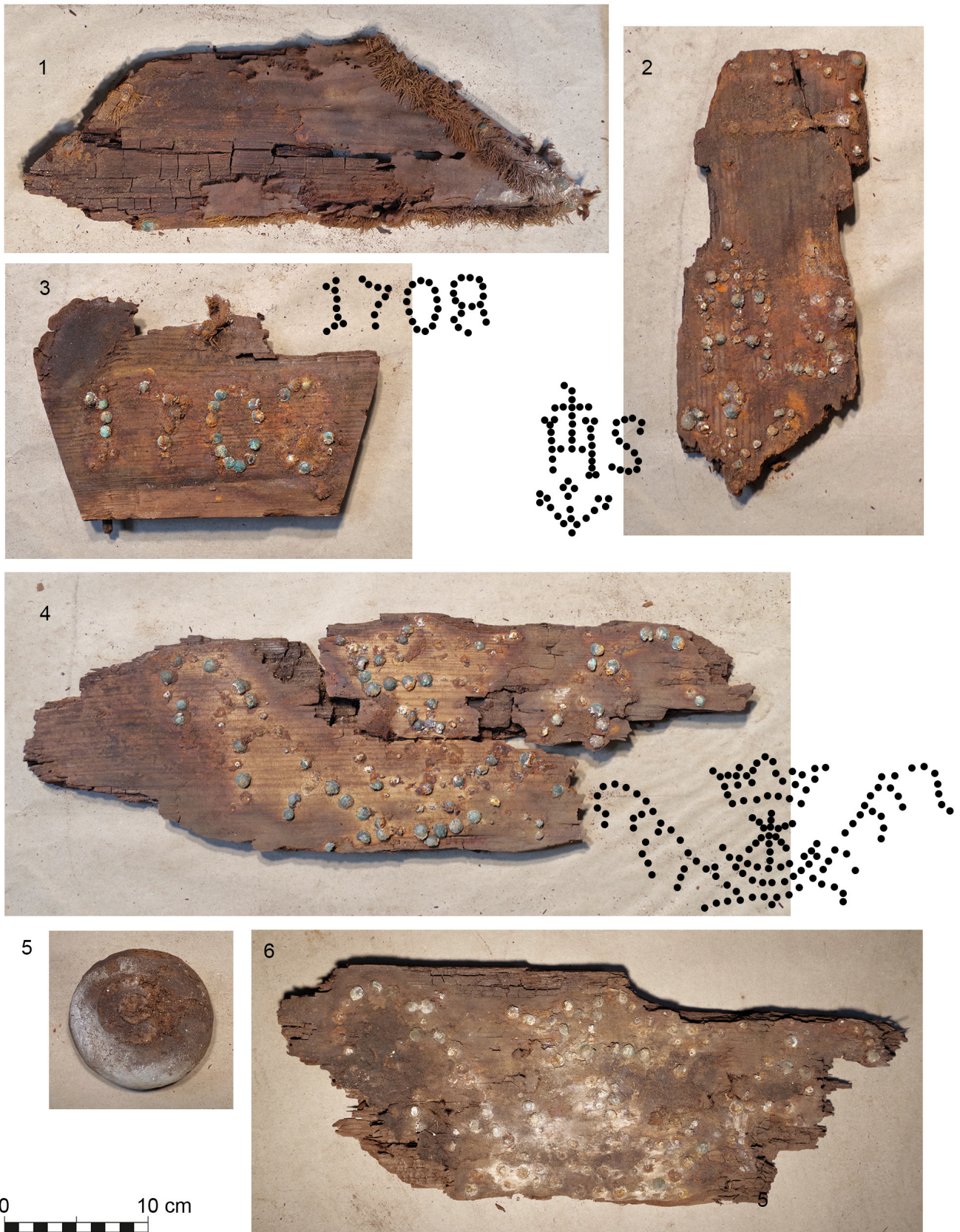
**Fig. I.22.** Remains of the felt padding of the coffin Pk.M.120.KW.05. Photo by K. Blusiewicz.



**Ryc. I.23.** Okucie końca sznurówki (Pk.M.120.KW.05). Fot. M. Miścicki.

**Fig. I.23.** Fitting of the end of the lace (Pk.M.120.KW.05). Photo by M. Miścicki.

<sup>29</sup> Wzór koronki jest taki sam, jak na dziecięcej sukni grobowej oraz obiciu trumny, znalezionych w sektorze KW.09 (**ryc. I.38:2**).



**Ryc. I.24.** Pozostałości trumny dziecięcej: 1 – wieko, bok krótki przy głowie; 2 – skrzynia, bok krótki przy stopach; 3 – pokrywa; 4, 6 – boki; 5 – podpora. 1–5 – Pk.M.120.KW.04; 6 – Pk.M.120.KW.09. Fot. M. Miścicki, oprac. K. Blusiewicz.

**Fig. I.24.** Remains of a child's coffin: 1 – lid, short side by the head; 2 – chest, short side by the feet; 3 – lid; 4, 6 – sides; 5 – base. 1–5 – Pk.M.120.KW.04; 6 – Pk.M.120.KW.09. Photos by M. Miścicki, compiled by K. Blusiewicz.

obu wykonanych z nici jedwabnych w metalowym oplocie (**ryc. I.26**). Szerokość taśmy w oplocie galonu wynosiła 0,25 mm, a XRF wskazały, że wykonana została z połączanego srebra (**tab. I.3:74–75**).

Przeszukiwanie rozsypiska w sektorze 04 dostarczyło także innych, drobnych znalezisk, do których należy niewielka obrączka o średnicy 13 mm, nosząca wyraźne ślady użytkowania (**ryc. I.27:3**). Wykonano ją ze stopu złota (>71%), srebra (>17%) i miedzi (>10%) (**tab. I.3:81**), z taśmy o szerokości 2 mm i grubości 0,7 mm, płaskiej od strony wewnętrznej i lekko wypukłej w przekroju. Znalaziono tu także bardzo drobne paciorki o intensywnej barwie pomarańczo-



**Ryc. I.25.** Pasmantaria z obicia trumny dziecięcej Pk.M.120. KW.04. Fot. K. Blusiewicz.

**Fig. I.25.** Haberdashery from the child's coffin Pk.M.120. KW.04. Photo by K. Blusiewicz.



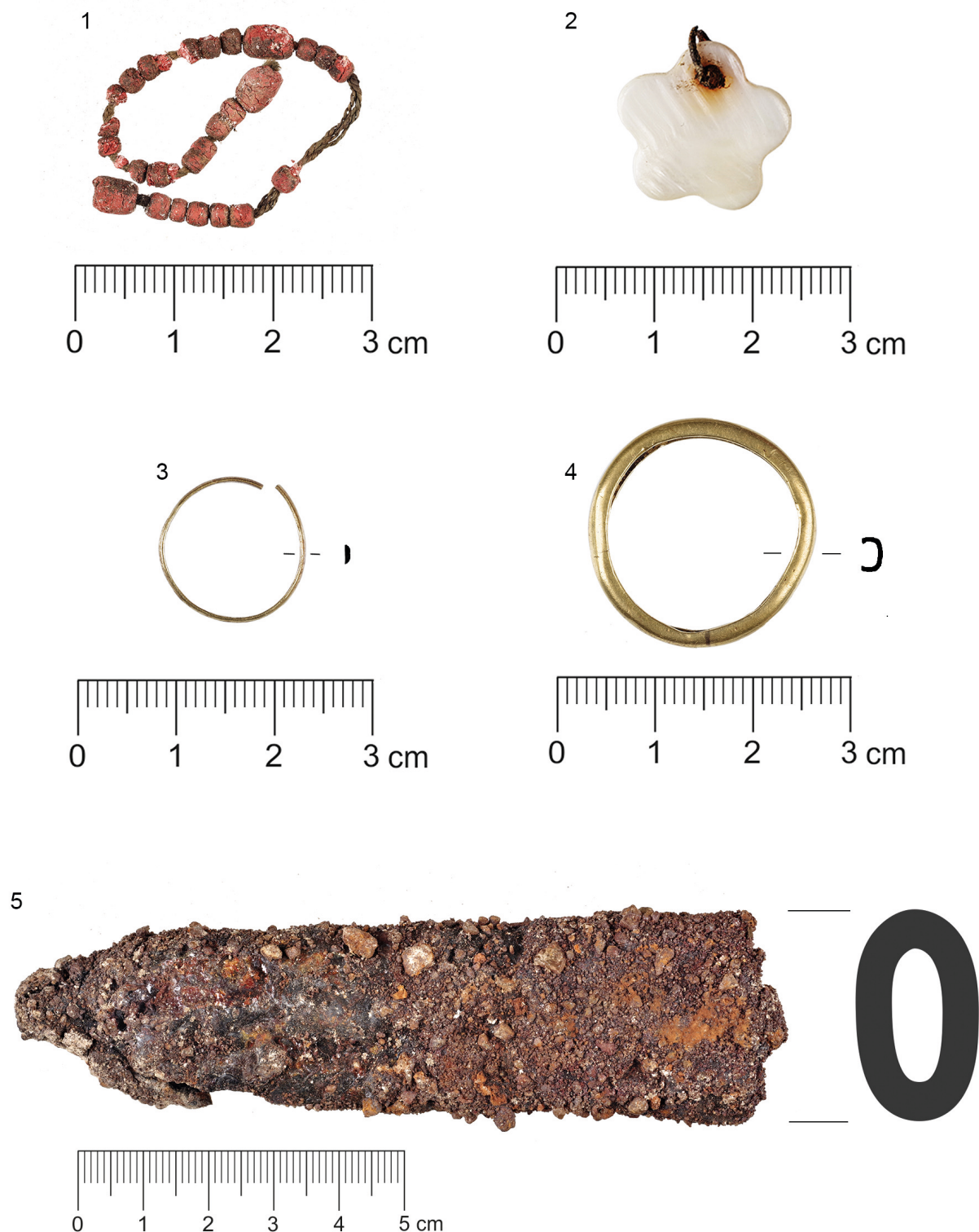
**Ryc. I.26.** Galon (Pk.M.120.KW.04). Widok w powiększeniu mikroskopowym. Fot. K. Blusiewicz.

**Fig. I.26.** Galon (Pk.M.120.KW.04). Microscopic view. Photo by K. Blusiewicz.

wo-czerwonej, nanizane na jedwabny sznurek (**ryc. I.27:1**). Wykonane zostały z nieokreślonego, obecnie bardzo kruchego surowca, prawdopodobnie zabarwionej glinki. Najmniejsze paciorki miały średnicę 2,4 mm, większe o beczułkowatym kształcie 3,6 mm. Układ większych i mniejszych paciorków nie pozwala jednoznacznie identyfikować przedmiotu jako pozostałości różańca, choć takie przeznaczenie wydaje się prawdopodobne.

Kolejne obszary eksploracji stanowiły odcinki na jakie podzielono skupisko szczątków wzdłuż zachodniej ściany krypty. **Sektor KW.06** w północno-zachodnim narożniku wyznaczał pas o szerokości około 140 cm. Znajdowały się tu pozostałości sarkofagu, z którego w lepszym stanie przetrwała dolna część: dno skrzyni sarkofagu z dnem trumny wewnątrz (**ryc. I.28:1–3**). Ściany boczne zachowane były w niewielkim stopniu, do wysokości 12–22 cm. Skrzynia była przełamana w połowie, a jej część była intencjonalnie przemieszczona – leżała na wierzchu rozsypiska w poprzek sektora, odwrócona do góry dnem. Sarkofag wykonano z drewna jesionowego, z desek o grubości 3,0–3,5 cm (**tab. I.2:4**). Jego dno miało kształt trapezu o długości zewnętrznej 207 cm i szerokości 58–51 cm (**tab. I.1:3**). Ściany boczne były lekko wychylone na zewnątrz, tworząc w przekroju poprzecznym kształt odwróconego trapezu. Deski ścian bocznych oraz łączenie ich z dnem wykonane było przy użyciu drewnianych kołków. Krótkie ściany szczytowe wpuszczone były w ściany boczne na pióro i wpust. Zewnętrzna i wewnętrzna powierzchnia sarkofagu pokryta była smołą lub dziegciem (**ryc. I.28:2**). Wewnątrz sarkofagu znajdowało się dno trumny wykonane z drewna iglastego, z desek o grubości 2 cm, łączonych kołkami drewnianymi. Jego długość wewnętrzna wynosiła 189 cm, szerokość zwężała się od 43 cm przy głowie do 38 cm przy stopach. Wnętrze trumny również pokryte było smołą lub dziegciem, odnotowano także ślady wapna.

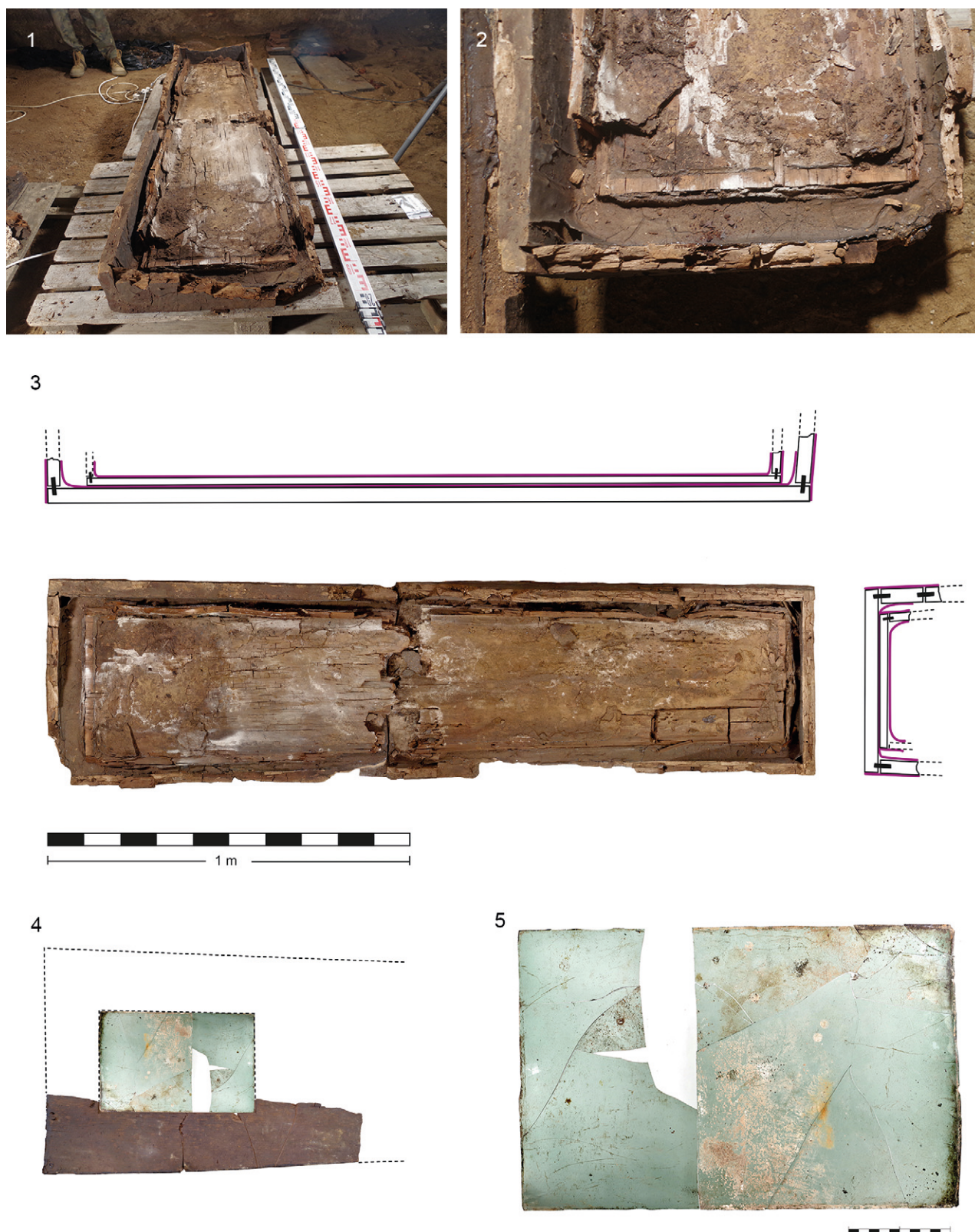
Z sektora KW.06 oraz sąsiadującego KW.07/08 pozyskano także fragmenty połamane płaskiego wieka, wykonanego z desek jesionowych o grubości 3,5–4,0 cm (**tab. I.2:6**), mocowanego do skrzyni niedużymi żelaznymi, kutymi gwoździami. Przy jego krawędziach



**Ryc. I.27.** Drobne ozdoby i przedmioty osobiste: 1 – paciorki (Pk.M.120.KW.04); 2 – ozdoba z masy perłowej (Pk.M.120.KW.01–03); 3–4 – obrączka (3 – Pk.M.120.KW.04; 4 – Pk.M.120.KW.10); 5 – przedmiot nieokreślony (Pk.M.120.KW.06). Fot. M. Miścicki.

**Fig. I.27.** Small ornaments and personal objects: 1 – beads (Pk.M.120.KW.04); 2 – mother-of-pearl ornament (Pk.M.120.KW.01–03); 3–4 – ring (3 – Pk.M.120.KW.04; 4 – Pk.M.120.KW.10); 5 – unspecified object (Pk.M.120.KW.06). Photos by M. Miścicki.





**Ryc. I.28.** Pozostałości sarkofagu z trumną Pk.M.120.KW.06: 1 – widok od strony stóp; 2 – zbliżenie na konstrukcję narożników; 3 – dokumentacja fotogrametryczna i przekroje; 4 – fragmenty wieka z przeszkleniem; 5 – tafla szklana ze śladami oprawy. Fot. M. Miścicki, oprac. K. Blusiewicz.

**Fig. I.28.** Remains of the sarcophagus with the coffin Pk.M.120.KW.06: 1 – view from the feet; 2 – close-up on the structure of the corners; 3 – photogrammetric documentation and cross-sections; 4 – fragments of the glass-paneled lid; 5 – glass pane with traces of binding. Photos by M. Miścicki, compiled K. Blusiewicz.

i na powierzchni główek gwoździ odnotowano ślady lepszycza uszczelniającego łączenie. W środkowej części wieka wykonany był prostokątny, frezowany otwór o długości 44 cm. Jego wypełnienie stanowiła tafla szklana, której fragmenty znaleziono w krypcie (większość w sektorach KW 06 i 07/08). Zrekonstruowana tafla miała kształt prostokąta o wymiarach 28 x 43,5 cm i nierównomierną grubość 1–2 mm (**ryc. I.28:4–5**). Wykonana została z jasnozielonego, przezrystego szkła z licznymi wydłużonymi pęcherzykami powietrza. Miała jedną zatopioną, pogrubioną krawędź (gr. 4 mm), pozostałe zaś cięte, wszystkie natomiast nosiły ślady oprawy. Lokalizacja szczątków i tożsamy gatunek drewna wskazują, że przeszklone wieko było najprawdopodobniej pokrywą sarkofagu. Odpowiadałaby temu również rekonstrukcja szerokości wieka (max. 64 cm), wykonana na podstawie wymiarów zachowanego elementu i szerokości tafla.

W obrębie sektora KW.06 pozyskano także liczne luźne, niewielkie fragmenty desek ze śladami po kołkach i pokrywane lepiszczem, pochodzących częściowo zapewne z sarkofagu, częściowo zaś z innych trumien w krypcie. Znaleziono także okucia narożne z dwóch żelaznych płaskowników. Pierwszy miał kształt prostokąta (dł. zach. 23,5 cm; szer. 4,8–5,3 cm, gr. ok. 5 mm) oraz pozostałości sześciu gwoździ z dużą, okrągłą główką. Drugi, mniejszy, miał szerokość 2,3–2,7 cm i zwężał się ku lekko zaokrąglonemu końcowi (**ryc. I.43:3**). Mocowany był pięcioma gwoździami z małymi, okrągłymi główkami. Na obu okuciach od strony wewnętrznej widoczne były resztki drewna przywartego do produktów korozji, od strony zewnętrznej zaś – ślady zmineralizowanej tkaniny w rzadkim splocie płóciennym, co jednoznacznie wskazuje, iż są to okucia trumien. Z rozsypiska pozyskano także dwa kute gwoździe żelazne o długości około 10 cm i prostokątnym przekroju trzpienia o wymiarach 7 x 6 mm przy nasadzie oraz nieokreślony, silnie skorodowany przedmiot przypominający pochewkę (**ryc. I.27:5**). Wykonany został z żelaza (**tab. I.3:103–104**)

w kształcie zwężającej się tulei o długości 10,5 cm i szerokości u wylotu 3,0–1,9 cm.

Po usunięciu luźnych elementów trumien w sektorze KW.06 odsłonięto zalegające na podłodze krypty skupisko szczątków kostnych z pozostałościami wapiennej podsypki (**ryc. I.29**). Większość z nich rozpoznana została jako szczątki mężczyzny w wieku dojrzałym, z patologicznymi zmianami typowymi dla wieku zaawansowanego. W sektorze odnotowano także pojedyncze kości drugiej osoby dorosłej i dwójki dzieci.



**Ryc. I.29.** Skupisko szczątków kostnych w sektorze KW.06. Widok w kierunku zachodnim. Fot. K. Blusiewicz.

**Fig. I.29.** Bone remains in the sector KW.06. View towards the west. Photo by K. Blusiewicz.

Z przesiewania podłoża w rejonie skupiska kości pozyskano także pokruszone fragmenty paciorków bursztynowych (**ryc. I.30**). Pomimo bardzo złego stanu zachowania i dalszego kruszenia się surowca, w części fragmentów zauważalny jest oryginalny kształt. Wyróżnić można większe

egzemplarze o kształcie nieco kanciastym, sześciobocznym, o średnicy około 8 mm i grubości około 6 mm oraz mniejsze, okrągłe w przekroju i lekko spłaszczone paciorki, o średnicy 5–6 mm

i grubości 3–4 mm. Wyraźnie czytelne dwa rozmiary paciorków są przesłanką za identyfikacją ich jako pozostałości różańca.



Ryc. I.30. Relikty paciorków bursztynowych (PkM.120.KW.06). Fot. M. Miścicki, K. Blusiewicz.

Fig. I.30. Relics of amber beads (PkM.120.KW.06). Photos by M. Miścicki, K. Blusiewicz.

**Sektory KW07 i KW08** wyznaczone zostały jako kolejny pas szerokości 1 m, zlokalizowany w odległości 1,4–2,4 m od ściany północnej krypty (ryc. I.9). W toku eksploracji rozdzielono zasypisko na dwie warstwy: górną (KW.07) i dolną (KW.08), podejrzewając, że stanowi ono pryzmę dwóch trumien. Przypuszczenia te nie znalazły wyraźnego potwierdzenia, a znaleziska zinwentaryzowane pod numerami Pk.M.120.KW.07 i Pk.M.120.KW.08 omawiane są łącznie.

Szerokość sektora wyznaczały pozostałości pochówku, zachowanego w bardzo złym stanie. Czytelne były w postaci górnej części dna trumny, opartego skośnie o ziemię i sztabę podestu (ryc. I.31). Do dna przywarły silnie zwapnione szczątki kostne górnej części ciała, pozostałe zaś tworzyły skupisko na podłodze krypty. Rozpoznane zostały jako szczątki dorosłego mężczyzny w wieku dojrzałym.

Niewiele można powiedzieć o sposobie jego pochówku i wyposażeniu grobowym. Z trumny zachował się fragment dna o szerokości 43 cm, wykonanego z deski świerkowej o grubości 2,5–3,0 cm (tab. I.2:8). Na nim, pod relikami szkieletu i wapna odnotowano fragmenty 3–4 warstw tkanin lnianych, wykonanych w rzadkim splocie płóciennym i nasączonych niezidentyfikowaną kremowo-żółtą substancją (ryc. I.32). Boki i wieko trumny rozpadły się w drzazgi. Z badanego obszaru pozyskano także cztery narożne okucia trumny, wykonane z szerokich na 5–7 cm żelaznych płaskowników o grubości 4–6 mm, zgiętych pod kątem zbliżonym do prostego lub lekko rozwartym (ryc. I.43:2). Po ich wewnętrznej stronie przywarte były resztki drewna, po zewnętrznej zaś fragmenty zmineralizowanej tkaniny. Do trumny zamocowane były kutymi gwoździemi,



Ryc. I.31. Pozostałości pochówku w sektorze KW.07/08. Widok w kierunku zachodnim. Fot. K. Blusiewicz.

Fig. I.31. Burial remains in the sector KW.07/08. View towards the west. Photo by K. Blusiewicz.



Ryc. I.32. Relikty tkanin na dnie trumny Pk.M.120.KW.07/08. Fot. E. Jaskulska.

Fig. I.32. Textile relics on the bottom of the coffin Pk.M.120.KW.07/08. Photo by E. Jaskulska.

które znaleziono także luzem. W badanym obszarze znaleziono także 5 fragmentów okrągłej szyby o średnicy 24 cm (**ryc. I.33**). Wykonano ją z przezrystego, lekko zielonkawego szkła o grubości 1,2–1,3 mm, z widocznymi wydłużonymi spłaszczonymi pęcherzykami powietrza. Na jej krawędziach widoczne są ślady załuskiwania i oprawy. Stanowiła ona najpewniej przeszklenie wieka jednej z trumien znalezionych w krypcie, nie jest jednak możliwe jednoznaczne ustalenie której.

Kolejne dwa sektory **KW.09** i **KW.10** to dwa dość wąskie obszary o szerokości około 0,8 m każdy (**ryc. I.9**). W ich obrębie nie odnotowano wyraźnych zasięgów pojedynczych pochówków, lecz przede wszystkim rumowisko niewielkich fragmentów desek, pochodzących z co najmniej czterech różnych trumien (**ryc. I.34**). Również znajdujące się tu przemieszane szczątki kostne należały do co najmniej dwóch osób dorosłych – dojrzałej kobiety i młodego mężczyzny oraz dziecka.



**Ryc. I.33.** Okrągła szyba ze śladami oprawy (Pk.M.120.KW.07). Fot. M. Miścicki.

**Fig. I.33.** Round glass pane with traces of binding (Pk.M.120.KW.07). Photo by M. Miścicki.



**Ryc. I.34.** Deski trumien z podsypką wapienną na podłodze krypty w sektorach KW.09 i KW.10 – widok w trakcie eksploracji. Widok w kierunku południowym. W tle skrzynia i wieko trumny Pk.M.120.KW.11. Fot. K. Blusiewicz.

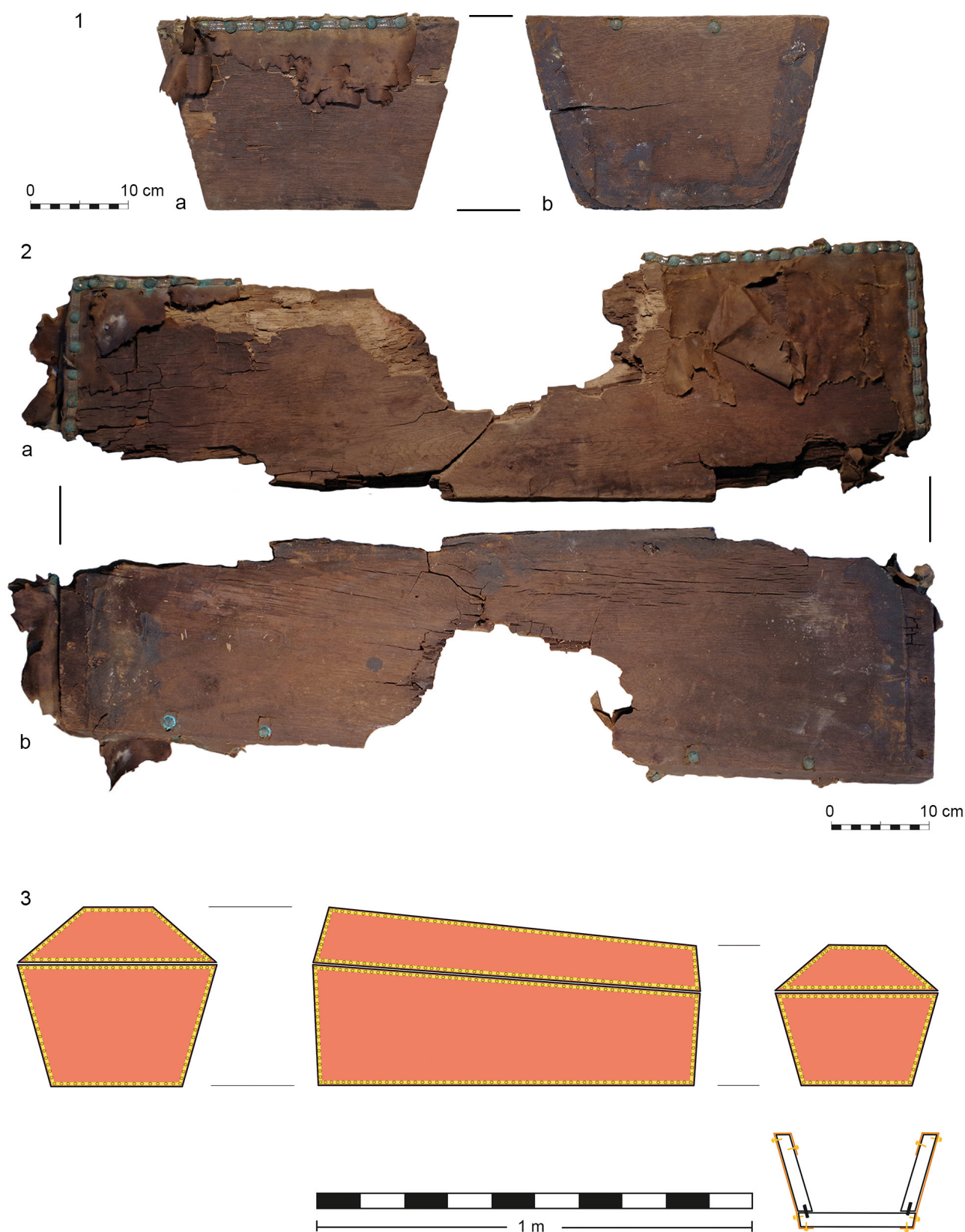
**Fig. I.34.** Coffin planks with lime ballast on the floor of the crypt during exploration of the sectors KW.09 and KW.10. View towards the south. In the background: the chest and lid of the coffin Pk.M.120.KW.11. Photo by K. Blusiewicz.

Eksploatacja sektora KW.09 dostarczyła licznych fragmentów trumien dziecięcych. Każdy ich element zachowany był osobno, a ich dopasowanie możliwe na podstawie relikwów obić i zdobień. Po zestawieniu pozyskanych fragmentów zrekonstruowano niewielką trumnę dziecięcą o przekroju sześciokątnym (**ryc. I.35**). Skrzynia miała w przekroju kształt równoramiennego odwróconego trapezu, o wyraźnie wychylonych ścianach bocznych. Przetrwały z niej fragmenty dna w kształcie trapezu o długości 86 cm (dł. wewn. 80 cm), zachowane niemal w całości dwa krótkie i jeden długi bok oraz fragmenty drugiego. Ściany boczne ustawione i zlicowane z dnem łączono ze sobą stykowo przy użyciu drewnianych kołeczek, bez stosowania bardziej złożonych łączeń stolarskich. Zachowane boki krótkie umożliwiły rekonstrukcję wymiarów wewnętrznych skrzyni: jej szerokość przy dnie wynosiła 26 cm przy głowie i 19,5 cm przy stopach, zaś wysokość odpowiednio 25 cm i 18 cm (**tab. I.1:4**). Po wewnętrznej stronie skrzyni odnotowano ślady uszczelniania łączeń w postaci wąskich pasów tkaniny w prostym splocie płóciennym nasączonych lepiszczem (dziegciem lub smołą) i wklejonych w narożniki (**ryc. I.35:1b**). Z wieka zachowały się niewielkie fragmenty drewna przy obiciu, znalezione w sektorze KW.11 (**ryc. I.36**). Zewnętrzna powierzchnia trumny pokryta była cienką tkaniną jedwabną w splocie atlasowym, obecnie w kolorze herbacianym oraz pomarańczowozłocistym w miejscach dobrze osłoniętych. Zamocowano ją przy użyciu ozdobnych ćwieków o wypukłych główkach o średnicy 1 cm, umieszczonych w odstępach co 1,5–2,0 cm wzdłuż wszystkich krawędzi boków. Brzegi obicia zawinięte były do wnętrza trumny i również przymocowane ćwiekami. Charakterystycznym elementem zdobienia był galon (szer. 0,8 cm) umieszczony od strony zewnętrznej między ćwiekami a jedwabnym obiciem (**ryc. I.37**). Wykonany

został z taśmy metalowej o szerokości 1,1 mm oraz nici jedwabnych w metalowym oplocie z taśmy o szerokości 0,4 mm. Pomiary XRF wykonane na 9 mikroobszarach galonu jednoznacznie wskazały, że surowcem taśm jest złoczone srebro – stwierdzono przeważający udział srebra (81–91%) przy 3–4% złota w miejscach dobrze zachowanej powłoki (**tab. I.3:1–9**). Część ćwieków tapicerskich wykonanych ze stopu miedzi również dawała wyraźne sygnały złota (**tab. I.3:10–34**), a złocista powłoka widoczna była również gołym okiem pod warstwami korozji w przypadku lepiej zachowanych egzemplarzy. Zrekonstruowana trumna dziecięca wykonana została z desek dębowych o grubości 3,0 cm. W jej przypadku możliwe było precyzyjne określenie daty ścięcia drzewa na 1632/1633 rok (**tab. I.2:9, 19**).

Z zasypiska pozyskano także pozostałości drugiej, niewielkiej trumny dziecięcej, zachowanej w znacznie gorszym stanie. Z drewnianej konstrukcji zachowały się jedynie małe fragmenty drewna do których przymocowane zostało ćwiekami obicie z jedwabnego atlasu oraz ozdabiająca ją koronka klockowa (**ryc. I.38:1**). Relikty tej trumny i strzępy obicia z koronką znajdowane były również w sąsiednich sektorach (KW.01, KW.10, KW.11). Rozdrobnienie uniemożliwiało rekonstrukcję któregośkolwiek z jej wymiarów. Jedyne uzyskane informacje dotyczą zdobienia. Koronka wykonana została z nici jedwabnych w oplocie z taśm o szerokości 0,35 mm (**ryc. I.39**). Pomiary XRF wskazują, że oplót wykonano z taśmy srebrnej powlekaanej złotem – zarejestrowano 90–95% srebra i około 3% złota (**tab. I.3:35–42**). Do tkaniny i drewna mocowana była ćwiekami ze stopu miedzi i cynku, o główkach średnicy 1 cm, również połączonych (**tab. I.3:43–50**). Taką samą koronką ozdobiona została dziecięca suknia grobowa, której relikty znaleziono w sektorze KW.10 (**ryc. I.38:2**). Wykonana została z jedwabnego rypsu, a zachowane wymiary wskazują, że była to odzież noworodka lub wcześniaka<sup>30</sup>.

<sup>30</sup> Informacja uzyskana od konserwatorki prof. dr hab. M. Grupy.



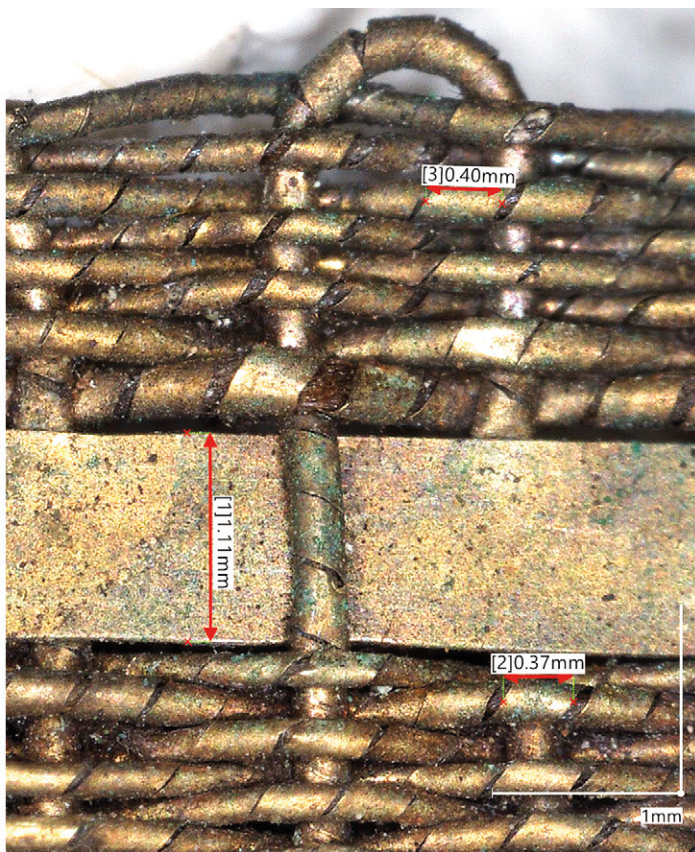
**Ryc. I.35.** Trumna dziecięca Pk.M.120.KW.09: 1 – bok krótki przy stopach; 2 – bok długi; 3 – rekonstrukcja; a – strona zewnętrzna; b – strona wewnętrzna. Fot. M. Miścicki, oprac. K. Blusiewicz.

**Fig. I.35.** Child's coffin Pk.M.120.KW.09: 1 – short side by the feet; 2 – long side; 3 – reconstruction; a – outer side; b – inner side. Photos by M. Miścicki, compiled by K. Blusiewicz.



Ryc. I.36. Jedwabne obicie wraz z relikdami wieka trumny Pk.M.120.KW.11 po wydobyciu. Fot. K. Blusiewicz.

Fig. I.36. Silk upholstery with relics of the lid of the coffin Pk.M.120.KW.11 after excavation. Photo by K. Blusiewicz.



Ryc. I.37. Galon z obicia trumny dziecięcej Pk.M.120.KW.09/11. Fot. K. Blusiewicz.

Fig. I.37. Galon from the upholstery of the child's coffin Pk.M.120.KW.09/11. Photo by K. Blusiewicz.





**Ryc. I.38.** Pozostałości pochówku dziecka: 1 – relikty trumny z jedwabnym obiciem i koronką klockową (Pk.M.120.KW.09–11); 2 – suknia grobowa zdobiona koronką klockową (Pk.M.120.KW.10). Stan po wydobywciu. Fot. K. Blusiewicz.

**Fig. I.38.** Remains of a child's burial: 1 – relics of the coffin with silk upholstery and bobbin lace (Pk.M.120.KW.09-11); 2 – funeral dress decorated with bobbin lace (Pk.M.120.KW.10). Photo by K. Blusiewicz.



**Ryc. I.39.** Koronka klockowa (galon) z obicia trumny dziecięcej Pk.M.120.KW.09–11. Widok w powiększeniu mikroskopowym. Fot. K. Blusiewicz.

**Fig. I.39.** Bobbin lace (galon) from the upholstery of the child's coffin Pk.M.120.KW.09-11. Microscopic view. Photo by K. Blusiewicz.

Poza relikdami dwóch trumien dziecięcych, w tej części krypty zlokalizowano także fragmenty trumny wydrążonej w drewnie dębowym. Zachowana była w bardzo złym stanie, spękana i pokruszona na drobne fragmenty. Jak się wydaje z układu szczątków, oryginalnie mogła zostać złożona w sektorze KW.09, choć jej rozproszone fragmenty znajdowane były we wszystkich

obszarach eksplorowanych wzdłuż zachodniej ściany krypty (ryc. I.40).

Trumna ta miała dość płaskie dno o grubości około 4 cm, które przechodziło łagodnie w boczne ściany ustawione pod kątem zbliżonym do prostego. Na płaskich powierzchniach wyraźnie czytelne były ślady obróbki ciesielskiej. Boki krótkie trumny stanowiły pozostawione ściany przeciętej

w poprzek kłody drewna, grube na 15 cm. Na podstawie zachowanych elementów nie można odtworzyć wymiarów skrzyni – jej wysokość wynosiła co najmniej 29 cm, a długość nie mniej niż 125 cm. Trumna od strony zewnętrznej pokryta była kilkoma warstwami tkanin pokrytych substancją o kremowo-żółtej barwie, nałożonych na pozbawioną kory i równo obrobioną powierzchnię. Ślady takiego wyłożenia odnotowano również na wewnętrznej stronie krótkiego boku trumny oraz niektórych powierzchniach wewnętrznych dna i boków. Zachowane w większym stopniu fragmenty trumny dębunki przekazano do analiz dendrochronologicznych. Większość prób nie przyniosła rozstrzygających datowań, z wyjątkiem dwóch, które pozwoliły zawęzić czas ścięcia drzewa do lat 1605–1617 (**tab. I.2:13, 20**). Nie jest także wykluczone, że analizowane fragmenty mogły pochodzić z różnych drzew, a fragmenty pochodzą z większej liczby tego rodzaju trumien (Ważny, Elzanowska 2022) lub, co wydaje się prawdopodobne – na wykonanie skrzyni i pokrywy z różnych pni.

W obszarze sąsiedniego sektora KW.10, poza dalszymi relikami opisanych wyżej trumien, uwagę zwracały pozostałości zdobionych desek, zachowanych w niewielkich, spękanych fragmentach, które ulegały dalszej degradacji w toku eksploracji. Były to relikty następnej trumny wykonanej z desek dębowych o grubości 3,0–3,5 cm (**tab. I.2:10**), od zewnątrz obitej dość grubą tkaniną aksamitną, oryginalnie być może w ciemnym kolorze burgundu lub purpury (**ryc. I.41; I.45**). Obicie zamocowane było przy użyciu dużych ćwieków tapicerskich, tworzących ozdobne rzędy wzdłuż krawędzi. Między nimi a tkaniną umieszczono jedwabną taśmę pasmanteryjną z frędzlami. Ćwieki o długości 19–23 mm i wadze 6,0–6,5 g wykonano z mosiądzu, a ich duże, grzybkowate główki o średnicy 22 mm pokryto dodatkowo złoceniem (**ryc. I.42**). Na obecność złota wskazały pomiary XRF wykonane przed konserwacją. Poza określeniem procentowej

zawartości stopu miedzi wykazały one od 3% do nawet 13% złota, w zależności od miejsca pomiaru i pokrycia powłokami korozyjnymi<sup>31</sup> (**tab. I.3:64–70**). Część zachowanych desek miała od wewnętrznej strony ślady uszczelniającego lepiszcza. Konstrukcja trumny wzmocniona została od zewnątrz narożnymi okuciami wykonanymi z żelaznych płaskowników o szerokości około 3 cm, z ozdobnie wykonanym zakończeniem. Trzy takie okucia znalezione zostały w sąsiednim sektorze KW.11, lecz na połączenie ich z tą trumną wskazuje egzemplarz z dużym tapicerskim ćwiekiem (**ryc. I.43:5**). Żaden z zachowanych elementów zdobionej trumny nie umożliwił rekonstrukcji jej kształtu i wymiarów, choć można uznać, że nie była to trumna małego dziecka.

W rumowisku eksplorowanym na omawianym obszarze zalegały również liczne, połamane, przesuszone i skruszone fragmenty desek z warstwami mineralnej, wapiennej podsypki (**ryc. I.34**). Ze względu na degradację drewna oraz przemieszany charakter zasypiska nie było możliwe wyróżnienie wśród nich pozostałości kolejnych trumien, choć niewątpliwie znajdowały się wśród nich fragmenty desek z drewna iglastego, inne niż opisane wyżej rozpoznane relikty.

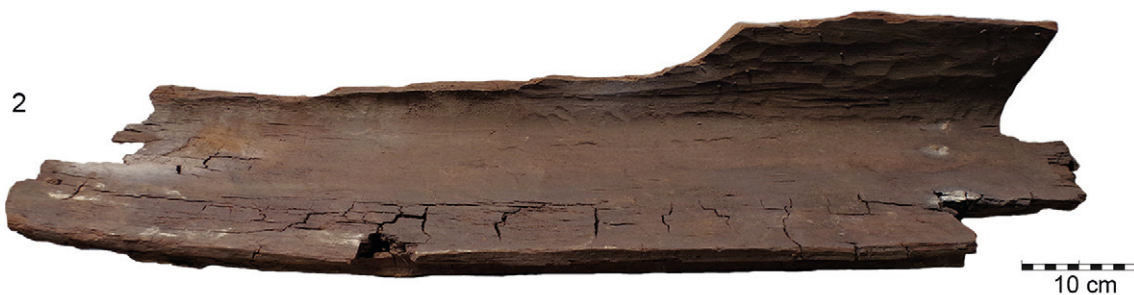
W obrębie sektorów KW.09 i KW.10 znaleziono jeszcze 9 okuć trumiennych oraz zniszczone złomki kolejnych. Pięć z nich to okucia narożne, wykonane z żelaznego płaskownika o szerokości 5,5–6,5 cm i grubości do 6 mm (mierzonej z powłokami korozyjnymi), analogiczne do znalezionych w sektorach KW.06 i KW.07/08. Były one zagięte pod kątem zbliżonym do prostego, lekko rozwartym, z ramionami o maksymalnej zachowanej długości 13–15,5 cm (**ryc. I.43:4**). Do desek mocowano je gwoździami sztabkowymi wbijanymi przez specjalne otwory w ramionach. Na okuciach od strony wewnętrznej widniały odciski słoików drewna, od zewnątrz zaś zmineralizowane fragmenty tkanin. W ich przypadku zarówno masywna forma okuć, jak i ślady tkanin je pokrywających wskazują, że miały one przede

<sup>31</sup> W trakcie procesu konserwacji zwracano szczególną uwagę na ślady złocenia, widoczne miejscami gołym okiem. Niemniej jednak, pomiary przeprowadzone na ćwiekach po konserwacji wskazały już jedynie śladowe

ilości złota, poza miejscami gdzie powłoka była szczególnie dobrze zachowana. Zjawisko ścięcia się złota jest normalne i związane z niezwykłą miękkością tego metalu (Miazga 2020, 187).



1



2



3



4



5

**Ryc. I.40.** Relikty trumny dębunki: 1 – widok *in situ*; 2–4 – fragm. trumny; 5 – zewnętrzna okleina trumny. 1, 3, 5 – Pk.M.120.KW.09; 2 – Pk.M.120.KW.06; 4 – Pk.M.120.KW.08. Fot. K. Blusiewicz, M. Miścicki.

**Fig. I.40.** Relics of the oak log coffin: 1 – *in situ* view; 2 – fragments of log coffin; 5 – layers of outer sealing. 1, 3, 5 – Pk.M.120.KW.09; 2 – Pk.M.120.KW.06; 4 – Pk.M.120.KW.08. Photos by K. Blusiewicz, M. Miścicki.



**Ryc. I.41.** Relikty trumny dębowej z aksamitnym obiciem i pasmanterią mocowaną dużymi złotymi ćwiekami tapicerskimi (Pk.M.120.KW.10). Fot. K. Blusiewicz, M. Miścicki.

**Fig. I.41.** Relics of the oak coffin with velvet upholstery and haberdashery attached with large gilded upholstery studs (Pk.M.120.KW.10). Photos by K. Blusiewicz, M. Miścicki.



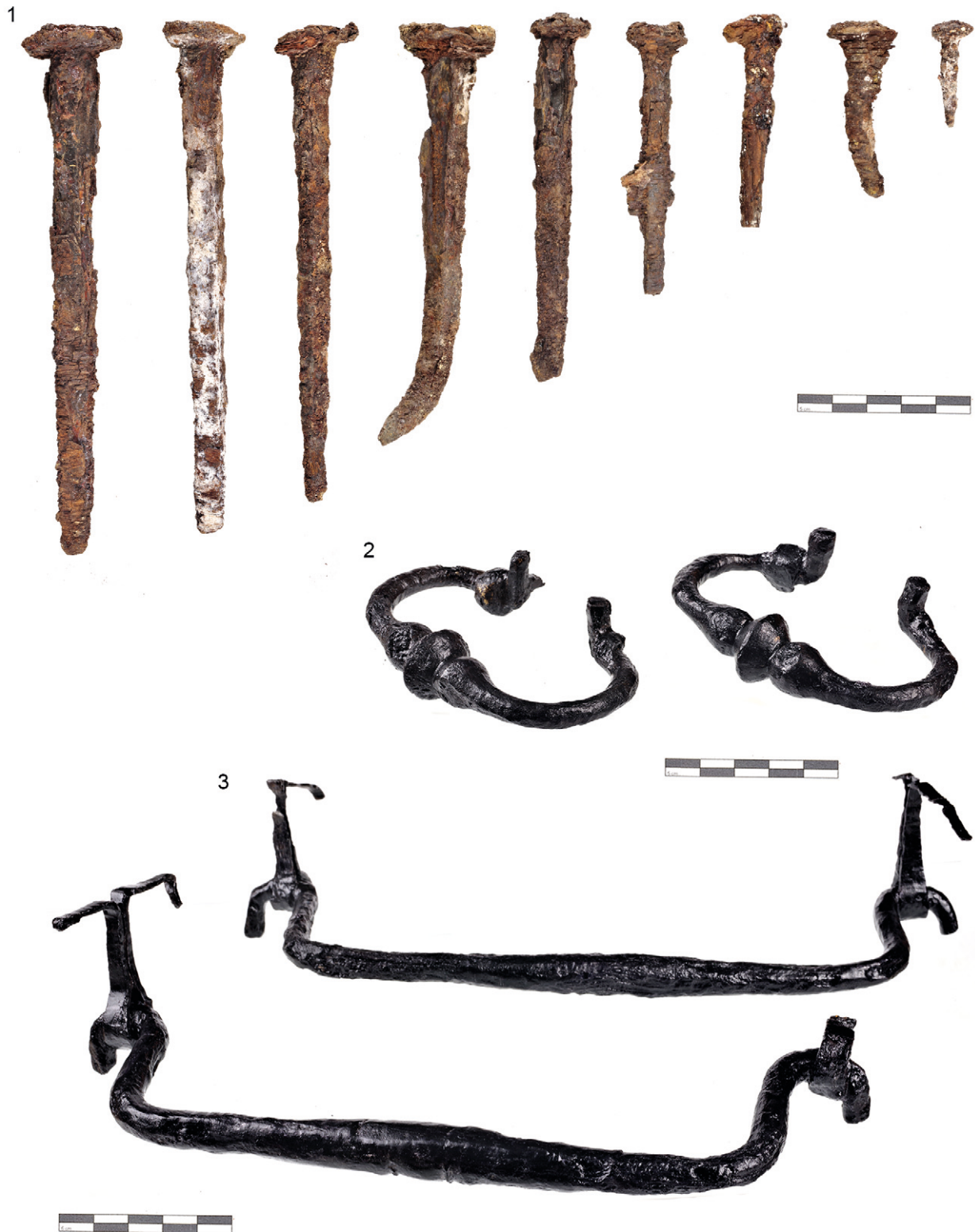
**Ryc. I.42.** Ćwieki tapicerskie z trumny Pk.M.120.KW.10 po konserwacji. Fot. M. Miścicki.

**Fig. I.42.** Upholstery studs from the coffin Pk.M.120.KW.10 after conservation. Photo by M. Miścicki.



**Ryc. I.43.** Okucia trumien z krypty Wejherów: 1, 4 – Pk.M.120.KW.09; 2 – Pk.M.120.KW.08; 3 – Pk.M.120.KW.06; 5 – Pk.M.120.KW.11; a – strona zewnętrzna, b – strona wewnętrzna. Fot. M. Miścicki.

**Fig. I.43.** Fittings of the coffins from the crypt of the Wejher family: 1, 4 – Pk.M.120.KW.09; 2 – Pk.M.120.KW.08; 3 – Pk.M.120.KW.06; 5 – Pk.M.120.KW.11; a – outer side, b – inner side. Photos by M. Miścicki.



Ryc. I.44. Wybór gwoździ (1) i antaby (2, 3) z krypty Wejherów (Pk.M.120.KW.09–10). Fot. M. Miścicki.

Fig. I.44. A selection of nails (1) and handles (2, 3) from the crypt of the Wejher family (Pk.M.120.KW.09-10). Photos by M. Miścicki.

wszystkim znaczenie konstrukcyjne, nie zaś dekoracyjne. Na podstawie odcisków słoików drewna, biegnących poprzecznie do długości ramion, można sądzić, że wzmacniały one łączenie dna i ścian bocznych.

Trzy to okucia płaskie, węższe, z płaskownika o szerokości około 4,5 cm i grubości do 4,5 mm, które być może służyły do wzmocnienia desek dna (**ryc. I.43:1**). Ponadto w rozsypisku znaleziono fragmenty żelaznych, kutych gwoździ różnej wielkości: największe o długości 15–12 cm, z trzpieniem o przekroju 11–10 x 8 mm i dużą główką o średnicy 2,5 cm oraz gwoździe średniej wielkości z trzpieniem o wymiarach 7 x 6 mm i główką o szerokości 10 mm (**ryc. I.44:1**).

Z tej części krypty pozyskano dwie pary uchwytów trumien: dwie mniejsze, owalne antaby z nodusem (**ryc. I.44:2**) oraz większych rozmiarów prostokątne z nodusem (**ryc. I.44:3**). Wykonano je z pręta żelaznego o okrągłym przekroju, którego wolne końce zagięto pod kątem prostym. Przy zagiętych końcach znajdowały się obejmujące przechodzące w płaskie trzpienie żelazne, wbijane lub montowane między deskami. Końce trzpieni rozginano po wewnętrznej stronie trumny.

Antaby owalne miały zbliżoną długość około 11 cm. Wykonano je z pręta o średnicy 8–9 mm, z maksymalną średnicą 25 mm na centralnie umieszczonym zgrubieniu. Ślady złączenia odnotowane punktowo w różnych miejscach antaby w toku konserwacji wskazują, że uchwyty były pozłacane<sup>32</sup> (**ryc. I.44:2**). Antaby prostokątne wykonano z pręta grubości 10 mm, z maksymalnym zgrubieniem 18 mm. Były większe od owalnych i choć wykonano je w ten sam sposób to różniły się nieznacznie długością: 24 cm i 21,5 cm. Może to wskazywać na umieszczenie ich na krótkich bokach trumien i dopasowanie ich długości do różnej szerokości boków zwężającej się w kierunku stóp trumny. Tego rodzaju uchwyty umieszczane były w różnej liczbie na krótkich i długich ścianach skrzyni i wiek (Janowski 2016,

295). Nie ma jednak jednoznacznych podstaw by łączyć znalezione antaby z konkretną trumną. Na podstawie ich lokalizacji można jedynie podejrzewać, że stanowiły one kolejny ozdobny element tapicerowanej trumny z dużymi, pozłaczanymi ćwiekami i żelaznymi okuciami (Pk.M.120.KW.10; **ryc. I.41**), bądź też były uchwytami pochodzącymi z trumien dziecięcych<sup>33</sup>. W przypadku trumny dziecięcej Pk.M.120.KW.09 pośrodku obu długich boków znajdowały się wyrwy, co może wskazywać na umieszczenie tam uchwytów (**ryc. I.24:2**).

Ostatni wyznaczony **sektor KW.11** obejmował pozostałości częściowo zachowanej trumny tuż przy południowej ścianie krypty. Przetrwiała z niej dolna część skrzyni – dno z częściowo zachowanymi bokami, przełamane na części. Skrzynia miała przekrój odwróconego trapezu oraz dno o szerokości wewnętrznej przy stopach 30 cm. Dolna, węższa część skrzyni spoczywała na ziemi, górna oparta była o żelazny reling i pryzmę szczątków (**ryc. I.34; I.45**). Obok zalegały relikty płaskiego wieka. Trumnę złożono w komorze nogami skierowanymi ku zachodowi. Wykonano ją z desek sosnowych łączonych ze sobą kołkami. Ściany boczne łączono w narożnikach przy użyciu wpustowych łączy stolarskich na tzw. jaskółczy ogon. Drewno trumny było rozeschnięte i w bardzo złym stanie, a jej ściany utrzymywane były przede wszystkim dzięki zewnętrznym uszczelnieniom. Była ona pokryta od strony zewnętrznej wieloma warstwami tkanin nasączonych lepiszczem, dziegciem lub smołą, tworzących grubą na 1,5 cm, nieprzepuszczalną powłokę. Część lepiszcza spłynęła na ziemię i zastygła. Proces płynięcia lepiszcza zaobserwowano także w trakcie eksploracji, gdy pod wpływem działania reflektorów podnosiła się temperatura powietrza. Pod dnem trumny odnotowano również pozostałości nie powiązanych z nią desek, ułożonych w osi wschód-zachód, które oryginalnie stanowiły najpewniej podest umieszczony na żelaznych sztabach.

<sup>32</sup> Antaby o analogicznym kształcie i pokrywane złoceniem znaleziono w krypcie rodu von Krockow w Stargardzie (Janowski 2016, 294).

<sup>33</sup> Nie jest to wykluczone, choć w świetle dotychczasowych badań mniej prawdopodobne. Dla przykładu,

analiza pochówków dziecięcych złożonych w kościele pw. Imienia NMP w Szczuczynie wskazała, że żadna z zachowanych 31 trumien dziecięcych nie miała antab (Grupa M. i in. 2014, 31).



Ryc. I.45. Relikty pochówku w sektorze KW.11. Widok z góry w kierunku południowym. Fot. K. Blusiewicz.

Fig. I.45. Remains of the burial in the sector KW.11. View from above and towards the south. Photo by K. Blusiewicz.



Ryc. I.46. Zbliżenie na narożnik trumny Pk.M.120.KW.11. Fot. M. Miścicki.

Fig. I.46. Close-up on the corner of the coffin Pk.M.120.KW.06. Photo by M. Miścicki.



Wnętrze trumny uszczelnione było tkaninami oraz wypełnione wapnem, które tworzyło nie tylko podsypkę na dnie, ale wypełniało grubą warstwą narożniki skrzyni (**ryc. I.46**). Szczątki zachowane we wnętrzu były przemieszczone, lecz odcinki dalsze kończyn dolnych spoczywały w układzie anatomicznym. Zidentyfikowane zostały jako szczątki mężczyzny w wieku dojrzałym, z dość charakterystycznymi zmianami chorobowymi w obrębie stóp (por. Fetner i in. w tym tomie). W pobliżu kości stóp zachowanych w układzie anatomicznym w trumnie odnotowano pozostałości obuwia skózanego (**ryc. I.47**). Było ono mocno zniekształcone w wyniku przesuszenia i skurczu, jednak analiza zachowanych elementów pozwoliła zidentyfikować je jako pozostałości dużych butów męskich, o cechach obuwia noszonego do stroju polskiego (Blusiewicz 2009). Było to obuwie wieloczęściowe, wykonane w konstrukcji pasowej. Zachowały się z niego dwie duże podeszwy (dł. > 26,5 cm; szer. w przedstopiu 11,5 cm) wykonane ze sztywnej i grubej na 6 mm skóry bydlęcej oraz dwie podpodeszwy, również ze skóry bydlęcej lecz delikatniejszej. Jedna z podpodeszew miała wycięcie w miejscu nasady dużego palca i nosiła ślady szycia, prawdopodobnie naprawy. Z wierzchu obuwia przetrwały zniszczone przyszwę, wykonane z grubej, ładnie wykończonej skóry koziej, które od strony wewnętrznej miały podszewkę z delikatniejszej skóry owczej, złożoną z dwóch połówek, zszytych pośrodku<sup>34</sup>. Na skórze przyszwę i podszewki widoczna była ciemnopąsowa barwa (**ryc. I.47:6**). Obuwie miało wyprofilowany, lekko spiczasty i uniesiony nosek. Tego rodzaju obuwie było zazwyczaj zaopatrzone w metalową podkówkę pod piętą, jednak ta jego część była zniszczona i nie została znaleziona w krypcie.

Południowo-zachodni narożnik krypty obfitował także w różnego rodzaju znaleziska wyposażenia grobowego, rozproszonego w sektorach KW.09, KW.10 i KW.11. W obszarze sektora KW.10, tuż przy ścianie trumny Pk.M.120.KW.11 znaleziono

skupisko tkanin jedwabnych (**ryc. I.48**). Wśród nich rozpoznano pozostałości stroju polskiego złożonego z delii i żupana (**ryc. III.6–7**), relikty koszuli grobowej (**ryc. III.30–31**), fragmenty dziecięcych sukni zdobionych koronkami (**ryc. I.38:2; III.18–20**) oraz niezidentyfikowane strzępy, pochodzące z odzieży lub obić. Ułożenie reliktyw odzieży wskazuje, że została ona zdjęta z ciała, zwinięta i złożona z boku. W pobliżu znaleziono także pozostałości obuwia dziecięcego (**ryc. I.49**). Przetrwała z niego jedynie para skórzanych podeszew o długości 13 cm, wykonanych z grubej na 4–5 mm ściślej skóry bydlęcej. Dwie składki obcasa z tego samego surowca przymocowane były pod piętą drewnianymi kołeczkami. Było to zatem obuwie wieloczęściowe, z wielowarstwowym spodem i niewysokim obcasem. Spód z wierzchem łączono w typowej dla nowożytności konstrukcji pasowej, ze szwem ukrytym w rysie skośnym. Nie znaleziono pozostałości wierzchu obuwia, który wykonany mógł być z delikatniejszej skóry lub całkowicie tekstylny i być może uległ degradacji. Wewnętrzna długość buta odpowiadałaby długości stopy rocznego lub kilkunastomiesięcznego dziecka.

W rozsypisku trumny w sektorze Pk.M.120.KW.10 znaleziono także pozostałości różańca z paciorków drewnianych, nanizanych na jedwabny sznurek (**ryc. I.50A; I.51**). Pętle różańca tworzyły paciorki w trzech różnych rozmiarach w powtarzającym się układzie: 10 średnich (Ø 0,9 cm) – 1 mały (Ø 0,5 cm) – 1 duży (Ø 1,3 cm) – 1 mały (Ø 0,5 cm), tworząc 6 dziesiątek paciorków *Ave Maria* rozdzielanych paciorkami *Paternoster*. Największe paciorki ozdobione zostały trzema wyrytymi dookołnymi liniami. Zachowany oddzielnie sznur składał się z trzech średnich paciorków rozdzielonych najmniejszymi, a na jego końcu umieszczony był krzyżyk. Zachowały się jego wyprofilowane ramiona poprzeczne (szer. 3,1 cm) oraz górne (wys. 1,4 cm).

<sup>34</sup> Gatunkowe pochodzenie surowca oznaczone zostało przez autorkę na podstawie trzech cech taksonomicznych skór wyprawionych: deseni licu, układu i sposobu rozmieszczenia na licu otworów włosowych oraz grubości i struktury splotów pęczków włókien kolageno-

wych mizdry na przekroju i wewnętrznej powierzchni skóry (Oborska 1977). Obserwacje prowadzono przy użyciu mikroskopu stereoskopowego Nikon SMZ800 w 16–25-krotnym powiększeniu.



**Ryc. I.47.** Obuwie z pochówku Pk.M.120.KW.11: 1 – widok *in situ*; 2 – widok po konserwacji; 3 – przyszwa z podeszwą, widok wnętrza; 4 – podeszwa; 5 – podpodeszwa; 6 – widok lica skóry przyszwy (A) i podeszwy (B) w powiększeniu mikroskopowym. Fot. M. Miścicki, K. Blusiewicz.

**Fig. I.47.** Footwear from the burial Pk.M.120.KW.11: 1 – *in situ* view; 2 – view after conservation; 3 – vamp with the lining, inside view; 4 – sole; 5 – insole; 6 – Grain sides of the vamp (A) and lining (B), microscopic view. Photos by M. Miścicki, K. Blusiewicz.



Ryc. I.48. Pozostałości odzieży grobowej *in situ* w sektorze KW.10. Fot. K. Blusiewicz.

Fig. I.48. *In situ* view of the remains of funeral attire in the sector KW.10. Photo by K. Blusiewicz.



Ryc. I.49. Pozostałości obuwia dziecięcego (Pk.M.120.KW.10). Widok *in situ* (a), dokumentacja strony wewnętrznej (b) i zewnętrznej (c), przekrój (d). Fot. K. Blusiewicz, M. Miścicki

Fig. I.49. Remains of children's footwear (Pk.M.120.KW.10): *in situ* view (a), documentation of the inner (b) and outer (c) sides, and cross-section (d). Photos by K. Blusiewicz, M. Miścicki.



Ryc. I.50. Pozostałości różańca (A) i relikty wianka (B) *in situ* w sektorze KW.10. Fot. K. Blusiewicz.

Fig. I.50. Remains of the rosary (A) and the wreath (B) in the sector KW.10 (*in situ*). Photo by K. Blusiewicz.



Ryc. I.51. Pozostałości różańca (Pk.M.120.KW.10). Fot. M. Miścicki.

Fig. I.51. Remains of the rosary (Pk.M.120.KW.10). Photo by M. Miścicki.



**Ryc. I.52.** Relikty wianka ze sztucznych kwiatów (Pk.M.120.KW.10/11). Fot. M. Miścicki.

**Fig. I.52.** Remains of the wreath of artificial flowers (Pk.M.120.KW.10/11). Photo by M. Miścicki.

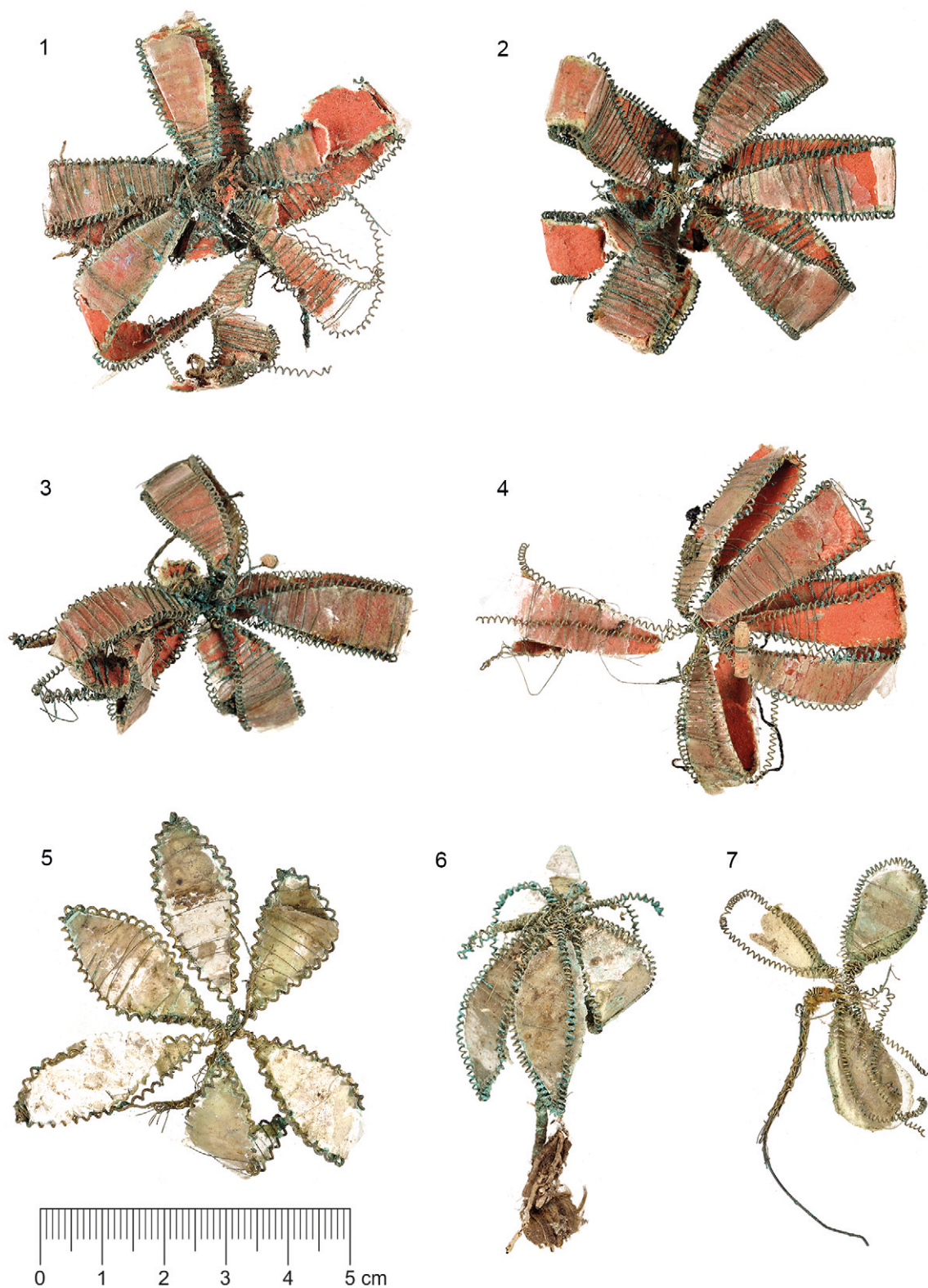
Z przesiewania podłoża w sektorze KW.10 pozyskano także dużą masywną obrączkę o średnicy wewnętrznej 20 mm i wadze 2,4 g (**ryc. I.27:4**). Wykonana została ze złota (>95%) z dodatkiem srebra (>3%) i miedzi (>1%) (**tab. I.3:82**). Obrączka, szeroka na 3,2 mm, miała przekrój profil wklęsło-wypukły, półksiężycowaty. Nosiła wyraźne ślady obróbki od strony wewnętrznej oraz użytkowania i wyświecenia po stronie zewnętrznej.

Spomiędzy fragmentów drewna i tekstyliów wydobyto liczne relikty sztucznych kwiatów i ozdób, które mogły być pozostałościami wianków lub bukietów. Przeważającą część pozyskano z sektorów KW.10 i KW.11, gdzie tworzyły niewielkie skupiska (**ryc. I.50B; I:52**). Pojedyncze znajdowane były także luzem na całym obszarze krypty.

Zachowane sztuczne kwiaty miały dość różnorodne formy. Wśród nich wyróżniają się kwiaty o sześciu płatkach (szer. 10–13 mm), tworzące duże, wyraziste ozdoby o średnicy 6–7 cm (**ryc. I.53**). Uformowane zostały ze spiralnie skręconego, cienkiego drutu miedzianego o średnicy 0,4 i 0,25 mm. Wnętrze płatków wypełniał pomarańczowoczerwony lub kremowy papier, umieszczony między dwoma przezroczystymi, połyskliwymi i bardzo cienkimi warstwami elastycznej i ulegającej zginaniu substancji, przypominającej klej lub żywicę<sup>35</sup>. Wypełnienie utrzymywane było przez poprzecznie przebiegający, przepleciony między krawędziami płatków delikatny drucik o średnicy 0,1 mm. Płatki kwiatów o barwie pomarańczowoczerwonej były podłużne i złożone w połowie, tworząc przestrzenną formę.

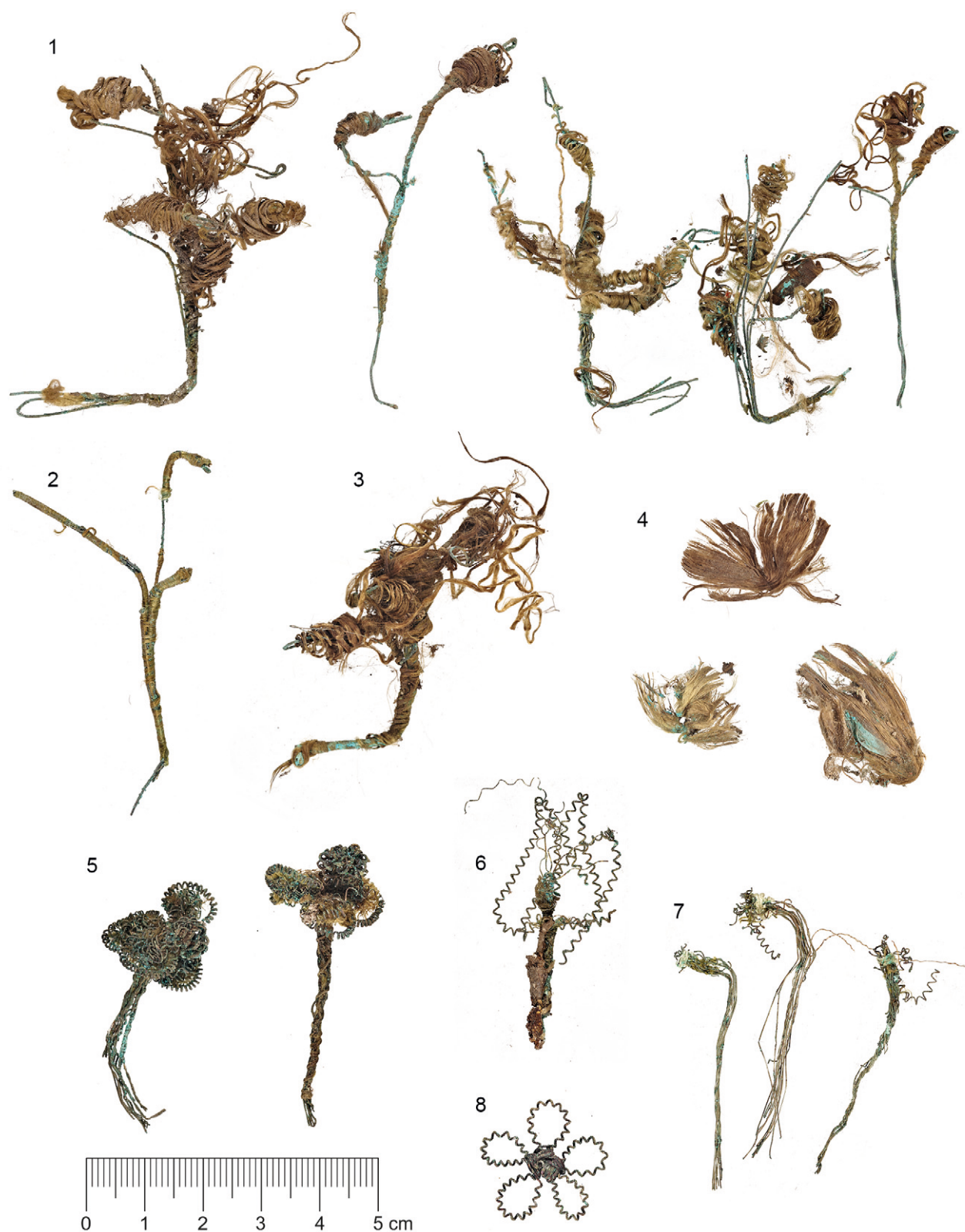
<sup>35</sup> Surowiec przezroczystych płatków w dużej mierze zawiera krzemionkę, jednak jego identyfikacja wymaga dalszych,

bardziej zaawansowanych analiz składu pierwiastkowego.



Ryc. I.53. Wybrane sztuczne kwiaty z relikwów wianka (Pk.M.120.KW.10/11). Fot. M. Miścicki.

Fig. I.53. Selected artificial flowers from the remains of the wreath (Pk.M.120.KW.10/11). Photos by M. Miścicki.



**Ryc. I.54.** Wybrane sztuczne kwiaty z relikwów wianka: 1–4, 6–7 – Pk.M.120.KW.10/11; 5 – Pk.M.120.KW.09, 8 – Pk.M.120.KW.04. Fot. M. Miścicki.

**Fig. I.54.** Selected artificial flowers from the remains of the wreath: 1–4, 6–7 – Pk.M.120.KW.10/11; 5 – Pk.M.120.KW.09; 8 – Pk.M.120.KW.04. Photos by M. Miścicki.

W niektórych w centralnej części odnotowano pręciki z drutu, z niewielką pomarańczową główką z papieru (**ryc. I.53:3–4**). Kwiaty białe miały 5–6 pojedynczych, szerszych płatków o soczewkowatym kształcie. Wszystkie zaopatrzone były w łożyski z pęczków skręconego cienkiego drutu, które licznie znalezione zostały również oddzielnie (**ryc. I.54.7**).

Druga najliczniej występująca forma ozdób miała postać rozwidlających się łożyszek lub

gałązek, wykonanych z pęczków grubszego drutu (0,4 mm) owiniętego jedwabną przędzą (**ryc. I.54:1–3**). Na końcach rozwidleń drut zaginano, a przędza nawinięta była wielokrotnie, tworząc zgrubienia przypominające pąki. Pozostałości kwiatów jedwabnych stanowiły fragmenty przędzy jedwabnej, ułożonej równoległe i odpowiednio przyciętej na kształt płatków, spiętej i mocowanej drutem<sup>36</sup> (**ryc. I.54.4**).



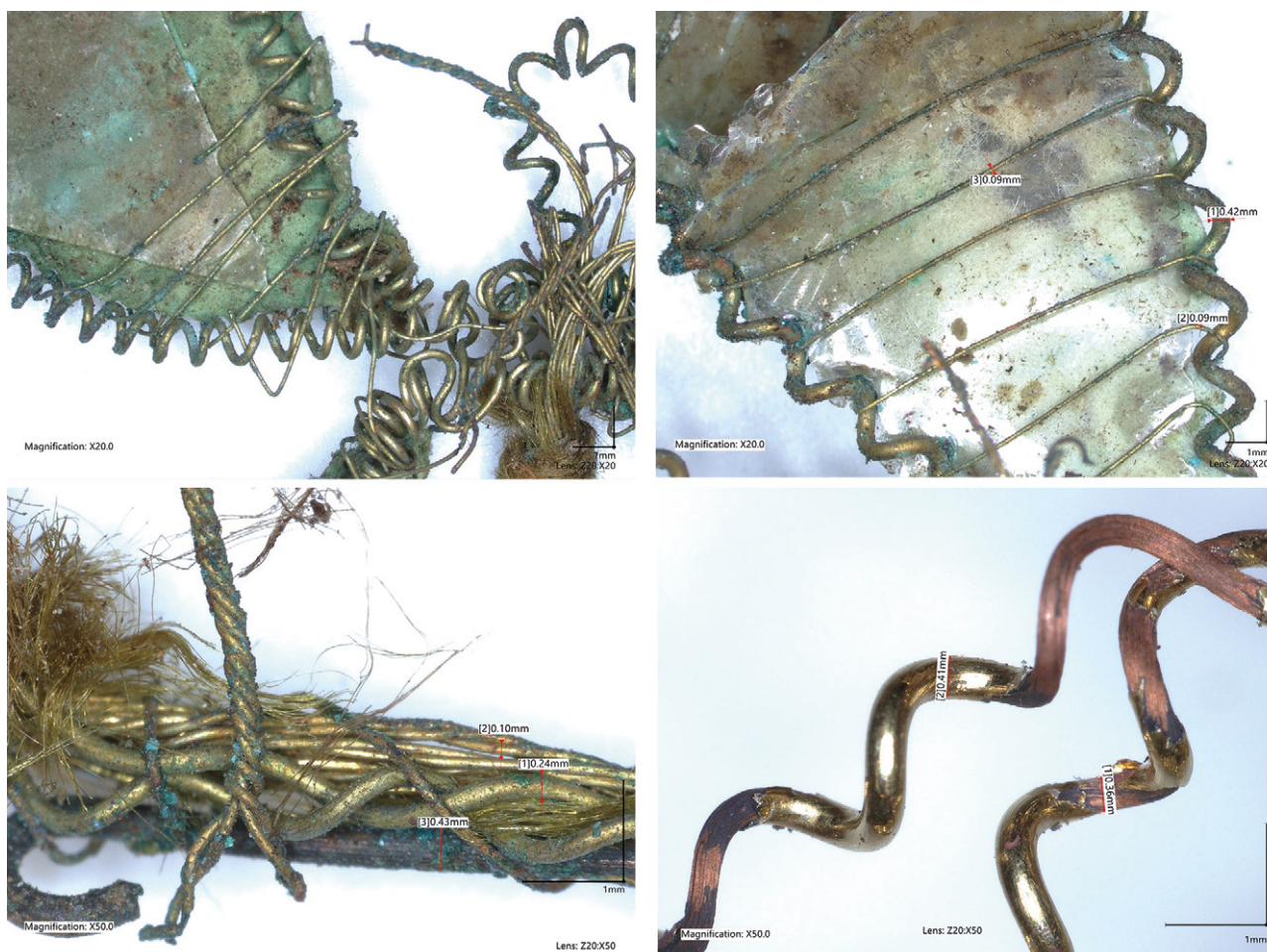
**Ryc. I.55.** Wybrane sztuczne kwiaty z relikwów wianka (Pk.M.120.KW.10/11). Fot. M. Miścicki.

**Fig. I.55.** Selected artificial flowers from the remains of the wreath (Pk.M.120.KW.10/11). Photos by M. Miścicki.

<sup>36</sup> Jedwabne płatki kwiatów wykonane z bezskrętowej przędzy jedwabnej, ułożonej równoległe do siebie i połączonej klejstem odnotowano w świetnie zachowanym wianku z krypty w kościele pw. św. Mikołaja w Gniewie (Grupa, Nowak 2017, 161). Coraz liczniejsze znaleziska wianków dostarczają wielu informacji dotyczących ich konstrukcji (por. m.in. Petrycka 2003;

Drązkowska 2006; Grupa, Nowak 2017; Witkowska 2018; tam dalsza literatura). Do ich wyrobu wykorzystywano różnej grubości drut lub taśmę miedzianą, przędzę i tkaniny jedwabne i papier, paciorki szklane i taśmy pasmanteryjne, lecz sposób wykonywania poszczególnych kwiatów i całych wianków był bardzo zróżnicowany i przeważnie niepowtarzalny.



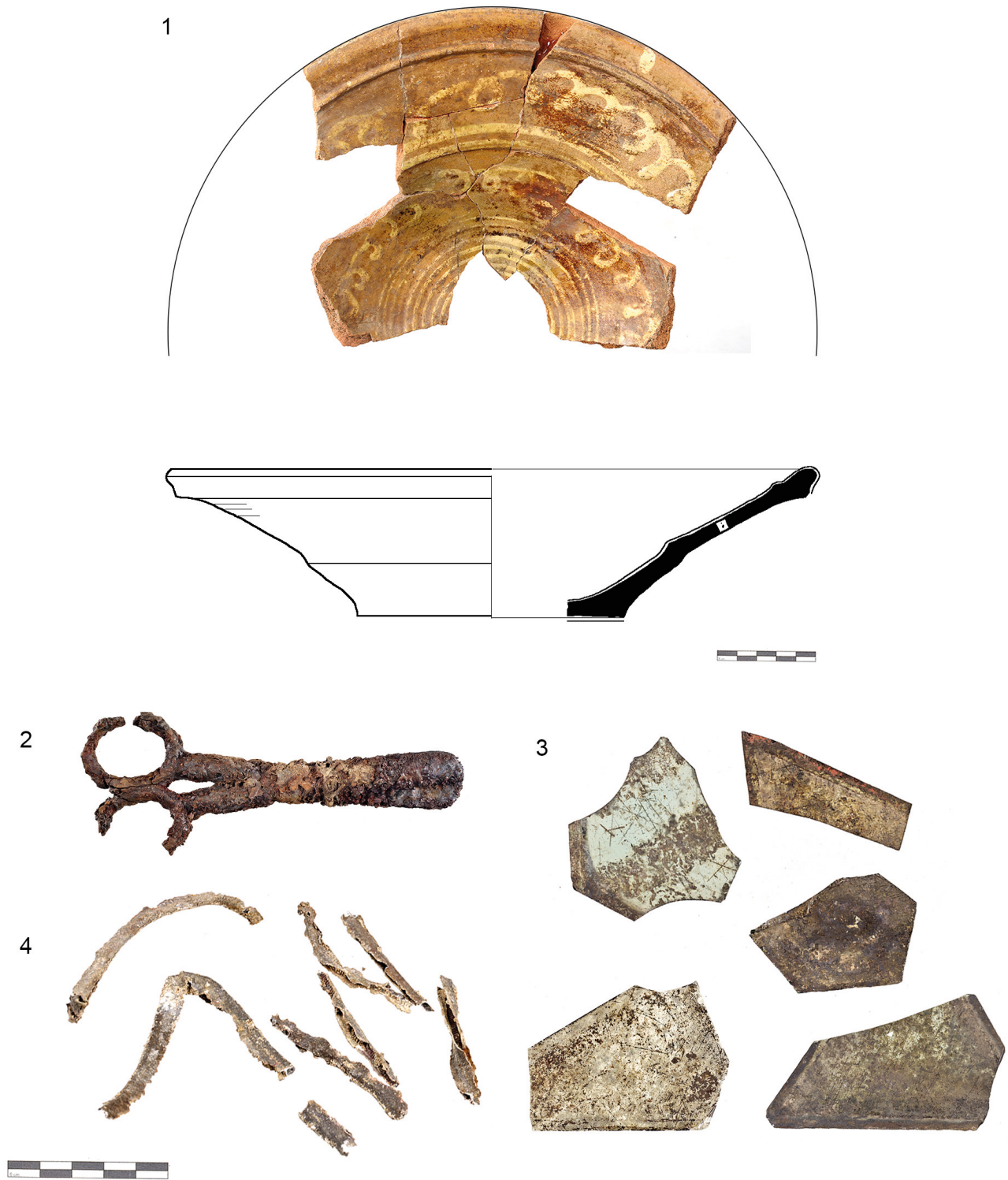


**Ryc. I.56.** Wybrane sztuczne kwiaty z reliktyw wianka (Pk.M.120.KW.10/11). Widok w powiększeniu mikroskopowym.  
Fot. K. Blusiewicz.

**Fig. I.56.** Selected artificial flowers from the remains of the wreath (Pk.M.120.KW.10/11). Microscopic view.  
Photos by K. Blusiewicz.

Miejscami przy łożkach zachowały się fragmenty tkaniny jedwabnej. Ponadto zachowały się liczne, trudne do zidentyfikowania fragmenty cienkich drutów, prostych i spiralnie skręconych, z pętelkami na końcach, z pozostałościami oplotów z taśmy lub przędzy. Grubsze pęczki drutów oraz jeden fragment drewnianej opaski (szer. 4,5 mm) stanowiły prawdopodobnie konstrukcje wianka – obręcz, do której mocowano drobniejsze elementy (ryc. I.55). W obserwacji mikroskopowej na powierzchni drutu opisanych sztucznych kwiatów widoczne były złuszczenia złotej powłoki (ryc. I.56). Pomiary XRF potwierdziły, że drut z którego wykonano kwiaty był wykonany z miedzi i pozłacany (tab. I.3:83–96).

W przypadku opisanych kwiatów zbliżony sposób ich wykonania pozwala przypuszczać, że stanowią one pozostałość jednego wianka lub ozdób jednej trumny, pochodzących z jednego warsztatu. Trzy inne znalezione luzem kwiatki odbiegały nieco sposobem wykonania. Z miedzianego drutu (bez śladów złocenia) uformowano dwa niewielkie kwiaty o pięciu płatkach i wypukłym środku, osadzone na długich łożkach (tab. I.3:97–100). Wplecione resztki nici wskazują, że miały one jedwabne płatki (ryc. I.54.5). Pojedynczy egzemplarz stanowił też nieduży kwiatek (22 mm) o pięciu płatkach. Masywny środek nawinięty z drutu otaczało pięć owalnych płatków, uformowanych z cienkiego, spiralnie zwiniętego drutu (ryc. I.54.8; tab. I.3:101–102).



**Ryc. I.57.** Zabytki z krypty Wejherów: 1 – talerz ceramiczny (Pk.M.120.KW.01–04, 09); 2 – nożyczki (Pk.M.120.KW.04); 3 – szkło okienne (Pk.M.120.KW.01); 4 – ramki ołowiane (Pk.M.120.KW.06). Rys. M. Starski, fot. M. Starski, M. Miścicki.

**Fig. I.57.** Artefacts from the crypt of the Wejher family: 1 – ceramic plate (Pk.M.120.KW.01–04, 09); 2 – scissors (Pk.M.120.KW.04); 3 – window pane (Pk.M.120.KW.01); 4 – lead frames (Pk.M.120.KW.06). Drawings by M. Starski, photos by M. Starski, M. Miścicki.

Z drobnych przedmiotów, które mogły stanowić ozdobę stroju lub trumny wymienić jeszcze należy zawieszkę w kształcie kwiatka o pięciu płatkach, o średnicy 17,5 mm i grubości 1,7–2,4 mm (**ryc. I.27:2**). Znaleziona została luzem w trakcie porządkowania okolic wejścia (KW.01–04). Zawieszka wykonana została z masy perłowej na co wskazywał charakterystyczny połysk, a potwierdzone zostało w badaniu składu pierwiastkowego (99,9% CaCO<sub>3</sub>). W jednym płatkach wykonano dziurkę, w której umieszczono kółko z drutu.

Z przestrzeni krypty pozyskano także kilka przedmiotów nie związanych raczej z wyposażeniem chowanych tam zmarłych. Należą do nich niewielkie dwuczęściowe nożyczki, z ostrzami zakończonymi półkuliście (dł. ramienia 11,5 cm; Pk.M.120.KW.04) (**ryc. I.57:2**). Na pokrywających je nawarstwieniach korozyjnych widoczne są pozostałości zmineralizowanej tkaniny, wykonanej w rzadkim splocie płóciennym. Z różnych sektorów krypty pozyskano także rozproszone fragmenty talerza z ceramiki malowanej podszkliwnie, którego cechy pozwalają datować go na 1. połowę XVII wieku (**ryc. I.57:1**). Ze środkowej części (sektor KW.01) pozyskano fragmenty szkła okiennego w kształcie trójkątów i sześcioboków, ze śladami załuskiwania krawędzi i oprawy (**ryc. I.57:3**). Dziewięć fragmen-

tów silnie zdegradowanych opraw ołowianych znaleziono w obrębie sektora KW.06. Miały one w przekroju kształt dwuteownika o jednej części spłaszczonej i zamkniętej (**ryc. I.57:4**). Pozostałości oszklenia najpewniej należy łączyć z pracami renowacyjnymi w obrębie kościoła, związanymi bądź z przebudową kaplicy Wejherów na przełomie XVI i XVII wieku, bądź też z przebudową otworów okiennych wykonaną w trakcie wielkiej renowacji kościoła w latach 1892–1986 (Styp-Rekowska 2008).

Dzięki podjętym badaniom interwencyjnym możliwe było zadokumentowanie i zabezpieczenie pozostałości pochówków członków ważnego dla historii Prus Królewskich rodu. Niestety, naturalne procesy rozkładu, a przede wszystkim brak poszanowania dla szczątków ludzkich sprawiły, że indywidualne pochówki były rozproszone, a duża część informacji dotyczących pochowanych osób i sposobu ich złożenia do grobu została zaprzepaszczona. Zaprezentowane źródła oraz zawarte w kolejnych rozdziałach specjalistyczne analizy mogą stanowić podstawę do interpretacji, identyfikacji i próby rekonstrukcji niektórych pochówków złożonych w kaplicy Wejherów. Będzie to jednak w dużym stopniu jedynie przypuszczenie, które być może z czasem, wraz z przyrostem wiedzy ulegnie potwierdzeniu lub reinterpretacji.

**Tabela I.3.** Zestawienie wyników pomiarów\* zawartości procentowej wybranych pierwiastków w zabytkach metalowych z krypty Wejherów. Oprac. M. Miścicki, K. Blusiewicz.  
\* Pomiar wykonano spektrometrem ręcznym XRF Vanta Series M, wyposażonym w lampę rentgenowską 8-50 kV (anoda rodowa Rh), detektor SDD z oknem grafenowym i automatyczną przesłoną oraz kolimatory o średnicy pomiaru 3 i 9 mm. Pomiar wykonywano programem AlloyPlus-Extra.

**Table I.3.** Measured percentages of select elements in metal artefacts from the crypt of the Wejher family. Compiled by M. Miścicki, K. Blusiewicz.

L. p.	Nr inv. polowego/opis	Opis	Fe	Cu	Zn	Sn	Pb	Ag	Au
1	Trumna dziecięca	galon z obicia trumny	0.64306	2.50096	3.48133	<LOD**	0.14338	88.49563	3.77011
2	Pk.M.120.KW.09		0.24547	2.29626	2.78293	<LOD	0.07004	89.78723	3.70360
3	drewno dębowe (1632/1633), obicie jedwabne z galonem		0.25586	2.66440	3.49766	<LOD	0.09915	88.77042	3.73236
4	mocowane ćwiekami		0.38513	3.09816	4.24850	<LOD	0.10711	81.61370	3.66961
5			0.20693	4.69442	2.77813	<LOD	0.17478	87.28683	3.73227
6			0.36639	6.27216	4.43913	<LOD	0.19917	83.82706	4.05820
7			0.17192	2.57247	0.93736	<LOD	0.11261	90.97560	3.91673
8			0.25570	5.36504	0.64802	<LOD	0.10814	88.52502	3.80773
9			0.19610	2.79226	1.20487	<LOD	2.05831	90.82949	0.57998
10		ćwieki tapicerskie z obicia trumny	1.04714	73.52761	16.59706	0.86740	5.40486	1.53113	0.86514
11			1.33952	75.29015	12.71794	1.00739	4.57414	3.45920	1.47727
12			1.79525	76.64496	11.03554	1.04527	5.20912	2.18876	1.86805
13			0.86113	68.90258	15.77061	1.60893	2.99692	1.66962	7.56963
14			2.02333	67.90945	16.75991	0.87694	8.81222	2.70136	0.75242
15			1.07171	62.29490	25.40241	1.06214	3.39035	3.57027	2.74651
16			1.05345	60.70897	30.62773	0.87500	4.92839	1.47613	<LOD
17			1.40995	76.60267	15.04915	1.02549	2.05061	0.62908	2.96693
18			1.39265	75.13799	9.40673	0.92813	2.28060	<LOD	<LOD
19			2.46776	77.66879	10.22804	1.06618	7.40990	<LOD	0.75163
20			3.59144	78.48680	7.24971	1.38190	9.20035	<LOD	<LOD
21			2.17851	82.56059	7.81611	1.14383	4.47677	<LOD	1.42748
22			1.58160	84.45983	6.74941	1.08503	3.94112	<LOD	1.83215
23			1.56050	77.67475	5.29748	0.62982	3.48360	<LOD	<LOD
24			0.48758	83.13458	10.42893	1.53461	0.86870	0.10540	3.10549
25			0.06002	98.73526	0.29725	0.70325	0.12917	<LOD	<LOD
26			0.34712	83.27948	14.21552	0.61068	0.44747	0.08998	0.92624
27			0.42710	78.89581	19.27880	0.56097	0.63949	0.06434	<LOD

L. p.	Nr inw. połowego/opis	Opis	Fe	Cu	Zn	Sn	Pb	Ag	Au
28	Trumna dziecięca	ćwieki tapicerskie z obicia trumny	2.16175	84.02824	8.74516	1.02060	2.44106	0.28252	0.83638
29	Pk.M.120.KW.09		0.81445	59.72878	32.15281	1.00221	4.80284	0.30232	0.82886
30	drewno dębowe (1632/1633), obicie jedwabne z galonem		0.88391	71.42411	18.36315	1.06459	3.37969	4.67786	<LOD
31	mocowane ćwiekami		1.05907	70.68033	14.78833	0.65052	4.69091	7.09401	0.88111
32			0.91184	66.93790	19.84697	1.27938	2.32026	1.21209	7.14308
33			0.97574	70.10489	20.89258	1.22562	2.92332	0.16067	3.24925
34			0.85002	70.41543	21.03789	1.18157	2.78497	0.05763	3.29952
35	Trumna dziecięca	koronka	0.07429	0.49811	0.74199	<LOD	0.22019	94.84731	2.79647
36	Pk.M.120.KW.09/11	z obicia trumny	0.07091	1.35704	3.49661	<LOD	0.31994	90.75954	3.03713
37	drewno iglaste,		0.10857	2.75023	2.71902	<LOD	0.30966	90.27576	2.94238
38	obicie jedwabne z koronką,		0.08218	0.52471	1.39458	<LOD	0.20748	93.84155	2.88793
39	mocowane ćwiekami		0.52029	4.70994	2.44129	<LOD	0.34506	87.13167	3.65926
40			2.77393	5.28338	8.03957	<LOD	0.55048	73.07005	3.07632
41			0.53903	2.69338	3.33883	<LOD	0.26118	89.30074	3.03633
42			0.35179	0.37213	0.34875	<LOD	0.19442	88.42992	2.98447
43		ćwieki tapicerskie z obicia trumny	1.87616	67.79836	20.54117	0.40032	1.89557	4.27847	2.97568
44			0.64352	64.28149	24.90367	0.61084	2.71489	3.72460	2.91306
45			1.10049	76.54372	13.90702	0.63001	2.64654	2.68632	2.22921
46			0.49075	69.59267	16.24677	0.62256	3.60753	5.09733	4.05729
47			1.61456	64.09588	21.27567	0.50155	3.96251	8.33557	<LOD
48			0.81450	64.43635	22.04395	0.44722	1.57107	6.04494	4.51838
49			0.90184	60.13352	35.48461	0.66391	2.19664	0.43484	<LOD
50			1.54049	68.82127	25.01505	0.59599	1.43304	0.08899	2.37365
51	Trumna dziecięca (1750)	ćwieki tapicerskie (mocowanie)	27.83226	20.21137	5.90144	0.53234	45.19585	<LOD	<LOD
52	Pk.M.120.KW.04/09		2.80170	38.01235	2.29031	1.01021	54.50403	<LOD	<LOD
53	drewno sosnowe,		27.80382	18.18083	5.51390	0.67204	47.12410	<LOD	<LOD
54	obicie jedwabne z taśmą pasmanteryjną,		61.24091	1.81810	0.71862	0.52280	35.63971	<LOD	<LOD
55	wzory nabijane ćwiekami	41.72420	3.29005	1.30157	<LOD	46.11551	<LOD	<LOD	
56		1.60988	64.10537	6.56827	0.79288	25.66349	<LOD	<LOD	
57		13.59966	46.97929	4.69887	0.63534	33.88946	<LOD	<LOD	

L. p.	Nr inw. połowego/opis	Opis	Fe	Cu	Zn	Sn	Pb	Ag	Au
58	Trumna dziecięca (1750)	ćwieki tapicerskie (napis)	4.55817	20.46361	4.55082	0.79935	69.45425	<LOD	<LOD
59	Pk.M.120.KW.04/09		4.27624	31.61856	6.63390	0.68583	56.73272	<LOD	<LOD
60	drewno sosnowe, obicie jedwabne		4.96021	45.59169	12.02026	0.40317	36.96917	<LOD	<LOD
61	z taśmą pasmanteryjną, wzory nabijane ćwiekami		12.76472	30.76291	3.33484	1.68749	51.38942	<LOD	<LOD
62			4.26844	57.35393	17.79344	0.31702	20.11229	<LOD	<LOD
63			4.92580	44.64363	19.25845	0.23465	23.24311	<LOD	<LOD
64	Trumna Pk.M.120.KW.10	ćwieki tapicerskie duże (główka)	1.68072	61.11929	27.95076	0.29468	1.72257	0.10013	6.82178
65	drewno dębowe, obicie aksaminne		0.75339	70.24501	22.88489	0.18176	1.29655	0.08558	4.36427
66	z taśmą pasmanteryjną, mocowane ćwiekami		0.67528	68.01151	27.43694	0.12751	0.80209	0.06864	2.71858
67			0.71360	74.51379	19.77736	0.13818	0.86948	0.10037	3.74283
68			0.47023	63.56684	21.11584	1.15372	2.01712	0.08215	10.82568
69			0.81386	63.76418	16.16866	0.34712	5.06609	0.12814	13.06164
70		0.40973	64.17224	20.65688	0.41454	8.21800	0.08757	4.70450	
71	Pk.M.120.KW.10	koronka	0.93046	1.17211	0.43749	<LOD	1.21090	92.73490	3.07407
72	dziecięca suknia grobowa w kroju wamsa, obszyta koronką		0.59690	0.29872	0.10215	<LOD	0.95491	95.22994	2.63680
73			1.42956	0.68504	0.14985	<LOD	0.96776	86.82091	2.48777
74	Pk.M.120.KW.04	galon	4.32168	2.30658	5.08240	<LOD	0.71208	83.53491	2.86583
75			1.17149	1.80577	4.89079	<LOD	0.37814	88.21225	2.36123
76	Pk.M.120.KW.04	koronka	1.13801	0.75257	0.39276	<LOD	0.26695	95.04387	2.02695
77			4.49601	1.40809	0.71719	<LOD	0.51328	90.68324	1.57900
78		szpilka	3.12313	1.10481	0.59177	<LOD	0.45292	92.62662	1.56411
79			0.65679	57.78685	34.42097	<LOD	5.41553	1.60565	<LOD
80	Pk.M.120.KW.05	okucie końca sznurowadła	0.37073	10.91975	0.71592	<LOD	0.71799	86.66595	0.50801
81	Pk.M.120.KW.04	obrączka (mała)	0.18684	10.17604	<LOD	<LOD	0.10242	17.73474	71.61779
82	Pk.M.120.KW.10	obrączka (duża)	0.09914	1.04811	<LOD	<LOD	<LOD	3.03419	95.71343

L. p.	Nr inw. połowego/opis	Opis	Fe	Cu	Zn	Sn	Pb	Ag	Au
83	Pk.M.120.KW.10/11	kwiatek biały	0.73829	87.96738	0.09370	<LOD	0.32616	5.17231	5.63355
84	relikty wianka - metalowe oploty	kwiatek czerwony	0.55749	75.36398	<LOD	<LOD	19.57965	2.07973	1.36384
85		kwiatek czerwony	0.31535	84.12515	0.04394	<LOD	10.91489	2.31907	1.67030
86		łodyżka	0.30797	71.38282	0.28451	<LOD	1.17315	0.35758	<LOD
87		łodyżka	0.37694	92.67651	0.56259	<LOD	3.45397	1.01467	0.85247
88		kwiatek biały	0.18703	89.58163	<LOD	<LOD	0.27841	3.71988	4.61067
89		kwiatek biały	0.09698	92.52834	0.09304	<LOD	0.85536	2.77694	3.15827
90		kwiatek biały	0.09143	94.18643	<LOD	0.12155	2.84682	1.86652	0.88724
91		kwiatek biały	0.53111	88.74578	<LOD	<LOD	2.43730	3.57867	3.09003
92		kwiatek biały	0.12930	91.09944	<LOD	<LOD	0.96027	3.10132	3.06270
93		kwiatek czerwony	0.46701	78.44497	<LOD	0.05455	17.68739	1.85237	1.43907
94		kwiatek czerwony	0.31836	90.43147	<LOD	<LOD	2.93481	2.39471	2.39478
95		kwiatek czerwony	0.53106	80.10668	<LOD	0.05690	15.85121	2.05949	1.34191
96		kwiatek biały	<LOD	81.66791	<LOD	<LOD	0.03536	5.28821	8.41035
97	Pk.M.120.KW.09	sztuczny kwiatek	0.00400	97.18580	0.06068	<LOD	0.03682	2.33805	<LOD
98			0.00557	97.73472	0.03315	<LOD	0.04701	1.82877	<LOD
99	Pk.M.120.KW.09	sztuczny kwiatek	0.00442	97.17555	<LOD	<LOD	0.03420	2.42899	<LOD
100			0.00560	97.58840	0.03117	<LOD	0.04375	1.96741	<LOD
101	Pk.M.120.KW.04	sztuczny kwiatek	0.00331	98.09766	<LOD	<LOD	0.02681	1.62804	<LOD
102			0.00330	98.10917	<LOD	<LOD	0.02727	1.57915	<LOD
103	Pk.M.120.KW.06	przedmiot nieokreślony (pochewka?)	98.84248	0.19529	0.13507	<LOD	0.17237	<LOD	<LOD
104			99.36373	0.34604	0.11310	<LOD	<LOD	<LOD	<LOD

\*\*LOD - limit of detection (granica wykrywalności)

## Bibliografia

- Achremczyk S. (rec.) 1983. „Kariera rodu Weiherów 1560–1657”, Stefan Ciara, Warszawa 1980. *Komunikaty Mazursko-Warmińskie* 2–3, s. 330–334.
- Achremczyk S. 2001. Szlachta Prus Królewskich w latach 1660–1720. *Echa Przeszłości* 2, s. 117–127.
- Birkowski F. 1627. Pamięć sprawiedliwego abo na pogrzebie Jaśnie Wielmożnego Pana, Pana Jana Wejhera, wojewody chełmińskiego, puckiego, słuchowskiego, radzińskiego, sobowickiego etc. Starosty. W: F. Birkowski, *Jan Karol Chodkiewicz i Jan Wejher, wielmożni, waleczni, pobożni wojewodowie pamięcią pogrzebną wspomnieni*, Kraków.
- Blusiewicz K. 2009. *Obuwie warszawskie w XIV–XVIII wieku*. W: W. Pela (red.). *Archeologia dawnej Warszawy* 1, Warszawa.
- Bruski K., Śliwiński B. 1998. Zanim powstało miasto. W: J. Borzyszkowski (red.). *Historia Wejherowa*. Wejherowo, s. 21–56.
- Brzustowicz G. J. 2005. Genealogia Tuczyńskich de Wedel. Część 1 (XVI – pocz. XVII w.). *Nadwarciański Rocznik Historyczno-Archiwalny* 12, s. 33–54.
- Ciara S. 1980. *Kariera rodu Weiherów 1560–1657*. Warszawa.
- Ciara S. 1997a. Wejher Ernest. W: Z. Nowak (red.). *Słownik biograficzny Pomorza Nadwiślańskiego*, t. IV (R–Ż). Gdańsk, s. 423–425.
- Ciara S. 1997b. Wejher Jan. W: Z. Nowak (red.). *Słownik biograficzny Pomorza Nadwiślańskiego*, t. IV (R–Ż). Gdańsk, s. 427–428.
- Ciara S. 1997c. Wejher Melchior. W: Z. Nowak (red.). *Słownik biograficzny Pomorza Nadwiślańskiego*, t. IV (R–Ż). Gdańsk, s. 430.
- Ciara S. 1997d. Wejher Dymitr. W: Z. Nowak (red.). *Słownik biograficzny Pomorza Nadwiślańskiego*, t. IV (R–Ż). Gdańsk, s. 423.
- Ciara S. 1997e. Wejher Ludwik. W: Z. Nowak (red.). *Słownik biograficzny Pomorza Nadwiślańskiego*, t. IV (R–Ż). Gdańsk, s. 428–429.
- Ciara S. 1997f. Wejher Mikołaj. W: Z. Nowak (red.). *Słownik biograficzny Pomorza Nadwiślańskiego*, t. IV (R–Ż). Gdańsk, s. 431.
- Ciara S. 1997g. Wejher Jakub. W: Z. Nowak (red.). *Słownik biograficzny Pomorza Nadwiślańskiego*, t. IV (R–Ż). Gdańsk, s. 425–427.
- Ciara S. 1997h. Wejher Ludwik. W: Z. Nowak (red.). *Słownik biograficzny Pomorza Nadwiślańskiego*, t. IV (R–Ż). Gdańsk, s. 429–430.
- Czaplewski P. 1921. *Senatorowie świeccy, podskarbio- wie i starostowie Prus Królewskich: 1454–1772*. Toruń.
- Dargacz J. 2021. Rezydencje Wejherów, Sobieskich i Przebendowskich w Rzucewie koło Pucka w świetle inwentarzy z lat 1676, 1711 i 1782. *Zapiski Historyczne* 86 (4), s. 71–97.
- Dettlaff D. 2019. *Morska Fara Rzeczypospolitej*. Bydgoszcz-Puck.
- Drażkowska A. 2006. Wianki wydobyte z krypty grobowej w kościele pw. Wniebowzięcia Najświętszej Marii Panny w Toruniu. *Rocznik Toruński* 33, s. 209–217.
- Dygała J., Mikulski K. 1993. Zmiany w elicie władzy Prus Królewskich w XV–XVIII wieku (czynniki awansu, trwania i upadku). W: J. Dygała (red.). *Szlachta i ziemiaństwo na Pomorzu w dobie nowożytnej XVI–XX wieku (Przemiany struktur wewnętrznych)*. Toruń, s. 7–30.
- Dygała J., Szczucka W. (rec.) 1983. „Kariera rodu Weiherów 1560–1657”, Stefan Ciara, Warszawa 1980. *Zapiski Historyczne* 48 (1–2), s. 281–285.
- Groth A. 2015. Nadmorskie wsie Rzucewo, Kruzwica, Osłonino i Beka w świetle inwentarza dóbr rzucewsko-wejherowskich z 1711 roku i katastru fryderycjańskiego z lat 1772–1773. *Nautologia* 152, s. 36–42.



- Grupa, D. 2019. Laying Waste in Archaeological Sites. The Problems of Damage to Historical Sacred Objects as a Result of Human Activity. *Fasciculi Archaeologiae Historicae* 32, s. 189–199. doi: 10.23858/FAH32.2019.012
- Grupa M., Grupa D., Kozłowski T., Krajewska M., Majorek M., Nowak M., Nowak S., Przymorska-Sztuczka M., Wojciechowska A., Dudziński T. 2014. *Tajemnice szczuczyńskich krypt (tom 2)*. Grajewo-Toruń.
- Grupa M., Nowak M. 2017. Wianki jako element wyposażenia grobowego. *Acta Universitatis Nicolai Copernici. Archeologia* 35, s. 159–172. [http://dx.doi.org/10.12775/AUNC\\_ARCH.2017.008](http://dx.doi.org/10.12775/AUNC_ARCH.2017.008)
- Grzegorz Gdański 1996. *O. Grzegorza Gdańskiego Kronika Klasztoru Franciszkanów Ściślejszej Obserwancji w Wejherowie w latach 1633-1676*. Wyd. G. Labuda. Wejherowo.
- Janowski A. 2016. Zabytki metalowe. *Archeologia Stargardu II (2)*. Stargard: Muzeum Archeologiczno-Historyczne, s. 293–355.
- Katalog 1989. *Katalog zabytków sztuki. Województwo gdańskie*, B. Rol, I. Strzelecka (red.). Warszawa.
- Klemp A. 1998. Wejherowo w latach 1643–1772. W: J. Borzyszkowski (red.). *Historia Wejherowa*. Wejherowo, s. 57–97.
- Kotarski E. 1979. Jan Episcopus i jego biografia Gerarda Denhoffa. *Rocznik Gdański* 39 (1), s. 189–202.
- Kotarski E. (rec.) 1982. „Kariera rodu Weiherów 1560–1657” Stefan Ciara, Warszawa 1980. *Rocznik Gdański* 42 (1), s. 276–279.
- Kotarski E. 1990. *Dziedzictwo i tradycja: szkice o literaturze staropolskiej*. Gdańsk.
- Kowalski K.M. 1998. Czasy Rzeczypospolitej szlacheckiej. W: A. Groth (red.). *Historia Pucka*. Gdańsk, s. 91–207.
- Kowalkowski J. 2011. Spisy pochowanych w kościele klasztornym franciszkanów reformatów w Wejherowie. *Studia Pelplińskie* 44, s. 177–214.
- Kozłowski T., Drązkowska A., Krajewska M., Jankauskas R., Reitsema L. R., Kozak-Zychman W., Szarlip A. 2015. Szczątki wybranych przedstawicieli dawnych elit Rzeczypospolitej w świetle badań antropologicznych i paleopatologicznych. W: A. Drązkowska (red.). *Kultura funeralna elit Rzeczypospolitej od XVI do XVIII wieku na terenie Korony i Wielkiego Księstwa Litewskiego*. Toruń, s. 167–215.
- Kropidłowski Z. 2007. *Dobra materialne, wyposażenie i dochody parafii duchowieństwa i służby kościelnej dekanatu puckiego w okresie staropolskim*. Gdańsk.
- Kruppé J., Milewska M. 2014. *Dzieje zamku w Pucku*. Warszawa.
- Miazga B. 2020. Studia archeometryczne wybranych tasiemek i koronek. W: A. Drązkowska (red.). *Krypty grobowe kościoła pw. Św. Franciszka z Asyżu w Krakowie w świetle badań interdyscyplinarnych. Tom 2: Antropologia – Archeobotanika – Mikrobiologia – Konserwacja*. Toruń, s. 186–204.
- Lubocki A. 2022. Wejherowo jako bezprecedensowy na Pomorzu Gdańskim przypadek miasta prywatnego w okresie nowożytnym. W: J. Możejko, A. Lubocki (red.). *Miasto i wieś na przestrzeni dziejów. Kultura – społeczeństwo – gospodarka*. Gdańsk, s. 57–75.
- Niesiecki K., 1842. *Herbarz polski Kaspra Niesieckiego S. J. powiększony dodatkami późniejszych autorów rękopismów, dowodów urzędowych i wydany przez Jana Nep. Bobrowicza, T. IX [T–W]*. Lipsk.
- Nowosad W. 2014. *Konopaccy herbu Odwaga – dzieje pomorskiej rodziny senatorskiej w XV–XVIII wieku: studium genealogiczno-majątkowe*. Warszawa.
- Oborska T. 1977. Próby oznaczenia metodą mikromorfologiczną przynależności gatunkowej skór wczesnośredniowiecznych zwierząt. *Roczniki Akademii Rolniczej w Poznaniu* 93, s. 40–47.

- Petrycka A. 2003. „Umrzeć w wianku”. Próba interpretacji nowożytnych pochówków z wiankami. *Kwartalnik Historii Kultury Materialnej* 51 (1), s. 17–25.
- Schultz F. 2011. *Dzieje powiatu wejherowskiego i puckiego*. Tłum. W. Sawicki i W. Szreniawski. Gdańsk-Puck-Wejherowo.
- Styp-Rekowska D. 2008. Kościół parafialny p.w. św. Piotra i Pawła w Pucku. Dokumentacja badań architektonicznych ścian wewnętrznych. Gdańsk. Maszynopis w archiwum parafialnym w Pucku.
- Szultka Z. 2017. Ernest Wejher z zachodniopomorskiej perspektywy. W: J. Karczewska, M. Tureczek (red.). *Pomerania et alia. Opuscula Joachimo Zdrenka dedicata*. Toruń, s. 153–172.
- Tyszkowski K. 1927. *Z dziejów wyprawy Zygmunta III do Szwecji w roku 1598 (relacje i diariusze)*. Lwów.
- Szybkowski S. 2020. Pochodzenie Szczawińskich herbu Dąbrowa z Prus Królewskich. W: S. Kościelak, S. Szybkowski, T. Rembalski (red.). *Genealogia, prozopografia i dzieje społeczeństw na historycznych obszarach Pomorza w okresie przedindustrialnym (od średniowiecza po wiek XIX)*. Gdańsk.
- Ważny T., Elzanowska A. 2022. Analiza dendrochronologiczna i identyfikacja gatunkowa próbek pochodzących z krypty Wejherów w kościele parafialnym pw. Św. Apostołów Piotra i Pawła w Pucku. Maszynopis w archiwum Wydziału Archeologii UW.
- Witkowska A. 2018. Rośliny w nowożytnych wiankach i koronach pogrzebowych, *Śląskie Sprawozdania Archeologiczne* 60 (2), s. 285–303. DOI: 10.34616/ssa.2018.60.2.285.303
- Włodarski J. 2016. *Jakub, Mikołaj i Ludwik Wejherowie. Mężowie stanu Prus Królewskich i dowódcy wojskowi Rzeczypospolitej*. Gdańsk.
- Wrede M. (rec.) 1981. „Kariera rodu Weiherów 1560–1657”, Stefan Ciara, Warszawa 1980. *Przeгляд Historyczny* 72/2, s. 325–328.
- Żółkiewski S. 1920. *Początek i progres wojny moskiewskiej*. Oprac. W. Sobieski, Kraków.

*Karolina Blusiewicz*

**ARCHAEOLOGICAL RESEARCH  
IN THE CRYPT OF THE WEJHER FAMILY  
IN THE SAINT APOSTLES PETER AND PAUL CHURCH IN PUCK  
– SUMMARY**

The chapel of the Wejher family is situated in the Saint Apostles Peter and Paul Church in Puck, in the western end of the southern nave. It is a bright, two-span room on the southern side of the tower, separated from the nave by an ornate wrought-iron grid (Fig. I.1). It lies within the outline of the Gothic church, but at the end of the 16th century it was rebuilt and adapted to serve as an ancestral chapel and family tomb. Its founders were Ernest Wejher and his wife, Anna Ludwika née Mortęska (Fig. I.2), the progenitors of the Catholic line of the Wejhers settled in Royal Prussia. Between the late 16th and mid-17th centuries, the Wejher family of the line of Ernest was among the most prominent houses in Pomerelia.

The full list of members of this family interred in the crypt is unknown. Based on the limited written sources, it can be taken that Ernest Wejher, deceased at the age of 81, was buried there in 1599, whereas his wife, Anna, who also lived to a ripe old age, joined him probably in 1616. From the numerous children of the Wejher couple, only two sons were buried in the crypt – Jan (deceased on 24 January 1626; buried on 31 March 1626) and Marcin Władysław (killed in the Battle of Tsaryovo-Zaymishche in 1610). An epitaph placed in the chapel to commemorate Kacper

Szczawiński, Jan's brother-in-law, suggests that he too was laid to rest in the crypt.

The archaeological research in the Wejher crypt began with rescue excavations after the gravestone was removed during renovation of the chapel's floor in 2021. The archaeologists from the University of Warsaw called to inspect the works on 23 and 24 April 2021 assessed the situation and prepared the photogrammetric documentation (Fig. I.6). The protracted renovation exposed the inside of the grave to external conditions, threatening complete destruction of the preserved human remains and grave goods. In consultation with the Provincial Office for the Preservation of Historical Monuments, archaeological works were initiated in July 2021, aiming to prepare a complete inventory of the preserved remains, conserve them, and perform analyses.

Already at the early stage of the investigation, it became clear that the crypt had been opened in the past. Some sort of cleaning certainly took place during the so-called 'great renovation' of the church in the years 1892–1896. Evidence of later interferences were also found, attested by scattered burial remains and bones, damage seen the coffins which could not have been caused by natural factors, and initials written on the ceiling. The broken and shattered planks of the coffins

and the remains of clothes, removed from the bodies and furled, indicate that the tomb had been ransacked in the past, likely by robbers.

The burial chamber was constructed under the western part of the Wejher chapel. It is accessed through an entry opening in the chapel's floor, originally covered with the still preserved gravestone bearing an inscription commemorating the act of foundation in the year 1599 (Fig. I.3). A staircase 1.1 metre wide and 2.6 metres long with straight one-flight stairs leads inside the chamber. At the level of the crypt, the entry was originally blocked with a grid opening inwards, as evidenced by preserved hooks and a staple.

The inside of the chamber measures 6.4 x 4.5 metres and is oriented along the E-W axis. The occupation layer consists of gravel, firm on the surface, situated 2.5 metres below the chapel's floor or 5.1–4.9 metres above sea level. The interior has a barrel vault, reaching the height of 2.0 metres at the rise of the arch. The vault, the walls of the interior, and the staircase are covered with a relatively thick layer of lime-sand mortar.

The room is only partly taken by the remains of burials. The majority of the deceased were laid to rest in the western part of the crypt situated directly under the altar of the chapel above it. Two iron bars were inserted into the northern and southern walls of the tomb, thus creating a rack running in parallel to the western wall at the height of 60 centimetres above the ground, supported with props in the middle part. The wooden coffins would rest on the rack above the ground, but they rotted away due to natural processes of decay and their bottoms broke in half. The remains of the coffins and their contents fell down on the floor and accumulated along the western wall, creating a pile made of fragments of coffins, human remains, pieces of cloth, and other items (Fig. I.7). Subsequently, human and animal activity led to further displacing and mixing of the burials. The coffins were preserved in very poor condition – the majority were small shards of wood or even splinters. The bones were preserved in a comparatively poor state, damaged with lime and only sporadically found in the anatomical order.

The state of the burial remains precluded determining the number of interred individuals or distinguishing particular burials prior to archaeological exploration. Therefore, the chamber was divided into sectors, demarcated arbitrarily in the course of the works based on the observed distribution of the preserved remains (Fig. I.9). First, the staircase was cleared, along with the almost empty part of the crypt straight after the entry, thus opening space for further works. This part was divided into three sectors – KW.01, KW.02, and KW.03. The next inventory number (KW.04) was given to the sector near the northern wall of the crypt, under the coffin lying on the rack. The coffin itself and its content received a separate number (KW.05; Fig. I.8). In the course of exploration, the western part of the crypt was gradually divided into unevenly-sized sectors, following the direction of exploration, that is, starting from the northern wall (sectors KW.06–KW.11). The width of the sectors depended on the distribution of the preserved bottoms or longitudinal walls of the coffins, which approximately demarcated particular burials.

The archaeological works involved gradual, manual gathering of the remains from the sectors of the rubble with the use of soft equipment, brushes, and sieves (Figs. I.10, I.11). These works were constantly supervised by anthropologists, documenting the preserved bones, hardly ever discovered in the anatomical order, and performing *in situ* analyses. The collected relics were then grouped, entered into the inventory, and given numbers representing their respective sectors. Such an approach enabled gathering the majority of finds related to a single burial under the same inventory number and observing their distribution within the crypt. After the remains were removed, the upper layer of the occupation level – about 10–15 centimetres – was passed through sieves with openings 2 millimetres in size.

The best-preserved coffin (KW.05) was rectangular in cross-section and stood alone, placed along the northern crypt wall (Figs. I.8, I.19). It lay approximately 60 centimetres above the ground on two mobile iron racks. It was made of oak planks and carefully reinforced with several layers of textiles soaked in birch tar (Fig. I.21). Fragments

of thick felt were glued to it from the outside (Fig. I.22). The bottom of the coffin was strewn with a layer of plant remains, originally serving as a sort of mattress. Thanks to the remains preserved inside, it was possible to associate the coffin with a burial of an elderly woman. Funeral attire was also retrieved – a silk dress sewn according to the Western patterns (Figs. III.5; III.34).

Below the coffin placed on the rack, there was a layer of different remains, whose distribution marked the boundaries of the sector KW.04. This layer included also dispersed fragments of a child's coffin, hexagonal in cross-section and made of pine planks. It was padded with a silk fabric, fixed on the edges with upholstery studs and decorated with haberdashery – a silk band with tassels. On its surface, studs were arranged into the year 1708, the IHS symbol, and the coat of arms (Fig. I.24). The sector KW.04 yielded also fragments of silk textiles and haberdashery goods, a small golden ring (Fig. I.27:3), and tiny beads, intensely orange in colour and threaded on a silk string (Fig. I.27:1).

The sector KW.06 contained remains of a sarcophagus made of ashwood and an inner coffin of pine wood, as well as fragments of a flat lid with a centrally-located milled opening, originally closed with a glass pane (Fig. I.28). Not far from them, remains of an adult male were found, bearing signs of pathological changes typical of advanced age (Fig. I.29). The rubble yielded also fittings from coffins, nails, and a heavily-corroded item resembling of a small sheath. Crushed amber bead fragments in two sizes and shapes were also recovered from sieving the substrate in the area of the bone assemblage (Fig. I.30).

The sectors KW.07 and KW.08 were demarcated as two levels of the next exploration strip. Its boundaries were determined by the remains of a burial – an upper part of a spruce coffin bottom lined with linen fabrics (Figs. I.31; I.32). Adjoining to the bottom were heavily calcified bony remains of the upper body, identified as those of an adult male of mature age. The sector yielded also corner fittings of a coffin, made of iron flat bars 5–7 centimetres wide, as well as fragments of a round glass pane 24 centimetres in diameter (Fig. I.33).

The next two sectors – KW.09 and KW.10 – are two quite narrow strips, each 0.8 metre wide. No clear-cut burials were recorded in them, but mainly a debris pile of small plank fragments from at least four different coffins. The pile contained also mixed human bony remains belonging to at least two adult individuals – a mature woman and a young man – and a child.

A small child's coffin with a hexagonal cross-section, made of oak wood and dendro-chronologically dated to 1632/1633, could be reconstructed from the retrieved elements (Fig. I.35). The coffin was lined with silk satin, with a galon fastened with upholstery studs at the edges. The galon was made of silk threads braided with gilded silver ribbons (Fig. I.37). Remains of another child's coffin were also found, albeit in much worse condition. Of the wooden structure, only fragments survived with studs fastening silk satin upholstery decorated with bobbin lace, also made of threads braided with gilded silver (Figs. I.38; I.39).

In addition, fragments of a coffin carved in oak wood were also recorded in this part of the crypt (Figs. I.40). It was preserved in a very poor state, cracked and crumbled into tiny fragments. This coffin had a fairly flat bottom approximately 4 centimetres thick, which transitioned gently into side walls set at near-right angles. The flat surfaces bore clear traces of carpentry work. On the outside, it was covered with several layers of fabric coated in a creamy-yellowish substance and put on the debarked and evenly-worked surface. Similar covering was also recorded on the inside. The time when the tree was felled was estimated to between 1605 and 1617.

Remains of another coffin were preserved in the form of fragments of oak planks, upholstered from the outside in thick velvet presumed to have been originally dark burgundy or purple in colour (Fig. I.41). The upholstery, together with a silk haberdashery ribbon, was attached with large studs with gilded heads. The coffin's structure was reinforced from the outside with corner fittings made of iron flat bars approximately 3 centimetres wide. The sectors KW.09 and KW.10 yielded additional nine coffin fittings as well as broken scraps of yet some more and two pairs of handles (Figs. I.43; I.44).

The last demarcated sector – KW.11 – covered the remains of a partially-preserved coffin found right beside the southern wall of the crypt. It was made of pine wood planks sealed from both sides. The inside of the coffin was filled with lime (Figs. I.45; I.46). The surviving human remains were identified as a mature male. Near the bones of the feet were recorded remains of leather footwear with features characteristic of the Polish dress (Fig. I.47). Beside them were remains of the funeral attire removed from the body – a *zupan* and a *delia* (Figs. III.6–7; III.21–22; III.38–39)

The south-western corner of the crypt contained fragments of children's funeral dresses and remains of children's footwear. Numerous artificial flowers and ornaments were also retrieved, possibly from garlands or bouquets (Figs. I.52–56). They were made of gilded wire, silk, coloured paper, and, presumably, resin. Moreover, the retrieved grave goods included a wooden rosary (Fig. I.51), a large golden ring (Fig. I.27:4), and a small mother-of-pearl trinket in the form of a flower (Fig. I.27:2).

Exploration of the crypt revealed also a number of items likely not belonging to the grave goods, such as scissors, fragments of a slipware plate, window panes, and leaden window frames (Fig. I.57). These finds should be probably linked with the renovation works within the church

undertaken either when the Wejher family chapel was rebuilt at the turn of the 16th and 17th centuries, or when the windows were replaced during the 'great renovation' of the church in the years 1892–1896.

After the burial remains were sorted out, two trial trenches were performed inside the crypt. They were meant to exclude the possibility of deeper burials and assess the condition and stability of the crypt's foundations. The first trench was situated across the crypt, 2.5 metres from the eastern wall, and the other in the north-western corner. They yielded no traces of additional burials, but revealed digs for the foundations of the crypt walls. The chamber was constructed using the space between the existing deep foundations of the late-medieval temple. The inner side of the western foundation of the church's nave was adapted as the western wall of the crypt by simply covering it with a layer of lime mortar. The long walls of the crypt – southern and northern – were then added to it and joined with the vault. The walls were built from bricks on a shallow stone ground sill, reinforced with fragmented bricks and lime mortar (Figs. I.12–18). They were inserted in between the foundation of the southern nave and the stone foundation of the tower, embedded at the height of 3.8 metres above sea level.

*Rafał Fetner, Elżbieta Jaskulska, Michał Golubiński, Martyna Molak*

## SZCZĄTKI LUDZKIE Z KRYPTY WEJHERÓW W KOŚCIELE PW. ŚW. ŚW. APOSTOŁÓW PIOTRA I PAWŁA W PUCKU

### **Materiały**

Analizie poddane zostały szczątki ludzkie pochodzące z badań przeprowadzonych w kwietniu i lipcu 2021 r. w krypcie Wejherów w kościele parafialnym w Pucku<sup>1</sup>. W momencie odkrycia szczątki ludzkie leżały na podłodze krypty pojedynczo oraz w skupiskach między fragmentami trumien. Największe skupisko szczątków znajdowało się w pasie wzdłuż zachodniej ściany krypty (sektory KW.06-11) oraz przy ścianie północnej (sektory KW.04-05). Szczątki zinwentaryzowane w zbiorach Pk.M.120.KW.01 do 03 rozrzucone były na podłodze pomiędzy wejściem a skupiskami przy ścianie zachodniej i północnej.

Celem analizy było przede wszystkim określenie liczby osób pochowanych w krypcie Wejherów oraz próba ich identyfikacji na podstawie morfologii szkieletu, przy zastosowaniu analiz pokrewieństwa, pochodzenia i diety.

### **Stan zachowania kości**

Stan zachowania kości był różny, od stanu bardzo dobrego po silnie zniszczony. Czyn-

nikiem decydującym była obecność wapna w trumnach, stosowanego prawdopodobnie w celach sanitarnych. Kości, które miały kontakt z wapnem, były ciemnobrązowe. Końce fragmentów tych kości były odgięte. Po kontakcie z wapnem tkanka kostna była bardziej podatna na zgniatanie, lecz zachowała właściwości elastyczne. Wskazuje to, że w wyniku procesów tafonomicznych zniszczeniu uległy komponenty nieorganiczne (mineralne) kości, które odpowiadają za wytrzymywanie nacisku, a zachowała się część organiczna, odpowiadająca za elastyczność tkanki kostnej. Należy zwrócić uwagę, że wskazane zniszczenie dotyczyło szczątków jedynie części osobników, w przypadku których bardzo utrudnione było zebranie informacji pozwalających zastosować dodatkowe metody analityczne, takich jak ocena płci i wieku w chwili śmierci. Stan zachowania również ograniczył znacznie możliwości przeprowadzenia zaawansowanych badań, takich jak analiza stanu zdrowia lub pobranie próbek do analiz chemicznych i genetycznych. Z tego powodu uzyskany zakres informacji dotyczących poszczególnych osób pochowanych w krypcie znacząco się różni.

<sup>1</sup> Szczegółowy opis przeprowadzonych prac oraz sposobu inwentaryzacji zbiorów - patrz Blusiewicz, rozdział I w tym tomie.

## Metody

### *Analiza osteologiczna*

Szczątki ludzkie zostały poddane analizie w sposób przyjęty dla materiału przemieszanego, tj. każda kość została opisana osobno. Jeśli było to możliwe, podano identyfikację kości, określenie strony oraz stanu zachowania (w skali 1-4 gdzie 1 odpowiada 1-25%, 2 odpowiada 26-50%, 3 odpowiada 51-75%, 4 to więcej niż 76%), określono wiek osobnika, a w przypadku osób dorosłych również płęć. Oprócz wcześniej wymienionych analiz opisano również zmiany patologiczne (spowodowane chorobami, które osoba przeszła w trakcie życia) i tafonomiczne (uszkodzenia, którym szczątki uległy po śmierci) zaobserwowane na kościach.

Wiek w chwili śmierci określono na podstawie stopnia dojrzałości szkieletu – wyróżniono kategorie wiekowe: niedorośli (szkielet w trakcie wzrostu) oraz dorośli (szkielet w pełni dojrzały). Dalsze uszczegółowienie było możliwe dzięki zastosowaniu osteologicznych metod określania wieku w chwili śmierci. Wiek osobników niedorośli został oszacowany na podstawie stopnia rozwoju i wyróżnienia zębów (Ubelaker 1989), stopnia rozwoju i przyrośnięcia nasad do trzonów kości (Schaefer, Black, Scheuer 2009). Wiek w chwili śmierci osobników dorosłych został oszacowany na podstawie: zmiany morfologii powierzchni spoiny łonowego (Brooks, Suchey 1990), powierzchni uchowatej kości biodrowej (Lovejoy i in. 1985; Buckberry, Chamberlain 2002), pierwszego żebra (DiGangi i in. 2009), czwartego żebra (Işcan, Loth, Wright 1984; Işcan, Loth, Wright 1985) oraz stopnia obliteracji szwów czaszkowych (Lovejoy i in. 1985).

Płęć osobników dorosłych została określona na podstawie morfologii kości miednicznej, w tym: morfologii wcięcia kulszowego większego (Buikstra, Ubelaker 1994), bruzdy przeduchowatej (Steckel i in. 2018), wcięcia podłonowego, obecności łuku brzuszego, morfologii gałęzi kulszowej kości łonowej (Phenice 1969) oraz na podstawie cech dymorfizmu płciowego czaszki: wyniosłości bródkowej, gładyszki, wyrostków sutkowatych, krawędzi nadoczodołowych, gu-

zowatości potylicznej zewnętrznej (Buikstra, Ubelaker 1994).

Cechami pomocniczymi były pomiary kości długich, w tym: średnica głowy kości ramiennej (Šlaus i in. 2003) oraz średnica głowy kości udowej (Šlaus i in. 2003).

Zmiany patologiczne zostały opisane, a następnie zdiagnozowane zgodnie z wytycznymi zawartymi w publikacjach Waldrona (2008), Ortnera (2003) oraz Steckla i in. (2018).

Tam, gdzie było to możliwe, oszacowano wysokość przeżyciową osobnika z wykorzystaniem równań regresji według Ruffa i in. (2012).

### *Analiza biochemiczna kolagenu*

Badania biochemiczne kolagenu kostnego zostały wykonane celem określenia diety osób pochowanych w krypcie Wejherów. Analiza proporcji izotopów trwałych węgla i azotu w kolagenie kostnym jest powszechnie stosowaną metodą pozwalającą na określenie udziału białka zwierzęcego w diecie osobnika. Następnie pozwala na rozróżnienie białka zwierząt morskich i lądowych oraz określenie udziału prosa (zboża o odmiennej ścieżce fotosyntetycznej) w diecie (Lee-Thorp 2008; Koch 2007).

Szczątki ludzkie pochodzące od 4 osobników zostały poddane procedurze ekstrakcji kolagenu (Longin 1971 z modyfikacjami). Mechanicznie oczyszczone fragmenty kości (ok. 500 mg każdy) zostały poddane demineralizacji w roztworze kwasu solnego o stężeniu 0,3 mol/l przez okres kilku tygodni. Po tym czasie próby zostały poddane trzykrotnemu płukaniu w wodzie dejonizowanej, a następnie podgrzane do temperatury 70 stopni Celsjusza w słabym roztworze kwasu solnego (pH 3). Po 48 godzinach próby zostały poddane filtracji z wykorzystaniem separatorów EzeeFilter (Elkay, UK) i zamrożone. W procesie liofilizacji woda znajdująca się w próbce została odparowana. Pozyskany kolagen został przekazany do badań analitycznych.

Pomiar proporcji izotopów trwałych węgla i azotu kolagenu kostnego został wykonany w Laboratorium Stabilnych Izotopów Instytutu Nauk Geologicznych Polskiej Akademii Nauk



z wykorzystaniem Flash 1112 HT EA w systemie Continuous Flow i połączonych ze spektrometrem mas Delta V Advantage (Thermo Scientific). W analizie wykorzystano następujące materiały standardowe: IAEA 600, USGS40 i USGS41. Wyniki zostały wyrażone jako  $\delta^{13}\text{C}$  i  $\delta^{15}\text{N}$  w promilach. Precyzja pomiaru (1 sigma) dla  $\delta^{13}\text{C}$  wynosi mniej niż 0,1‰ oraz 0,3‰ dla  $\delta^{15}\text{N}$ . Stosunek atomowy C/N został oszacowany na podstawie wcześniej wymienionych standardów. Precyzja oszacowania wynosi  $\pm 0,1$ .

### *Analiza biochemiczna szkliwa*

Badania biochemiczne szkliwa zębów pozwalają na określenie przynależności osoby do środowiska, w którym została znaleziona, co na późniejszym etapie może być interpretowane w kontekście jej pochodzenia. Zazwyczaj możliwe jest określenie lokalności pochodzenia, natomiast w przypadku osób o pochodzeniu nielokalnym, dochodzenie miejsca ich pochodzenia jest trudniejsze. Najczęściej stosowanym tutaj systemem izotopowym jest relacja między izotopami: radiogenicznym izotopem  $^{87}\text{Sr}$  i trwałym izotopem  $^{86}\text{Sr}$ . Wartość proporcji izotopów biodostępnego strontu jest wynikiem mieszania strontu obecnego w glebie, naniesionego wraz z wodami powierzchniowymi i opadami atmosferycznymi. Wartość ta jest zmienna w zależności od regionu i pozwala na przypisanie osobnika do konkretnego obszaru. Podobne wartości mogą jednak występować w wielu miejscach, zatem wyniki pochodzenia mogą być niejednoznaczne. Istotny jest tutaj również stan zmapowania wartości proporcji izotopów strontu danego regionu.

Pomiar stosunków izotopów strontu został wykonany w Poznańskim Laboratorium Izotopowym Uniwersytetu Adama Mickiewicza w Poznaniu. Fragment szkliwa zęba został oczyszczony mechanicznie i umieszczony w myjce ultradźwiękowej celem usunięcia pozostałych zabrudzeń w ultraczystej wodzie. Zanieczyszczenia diagenetyczne zostały usunięte zgodnie z procedurą przedstawioną w publikacji Dufoura i in. (2007). Stront został wyizolowany z wykorzystaniem technik chromatografii przedstawionej przez Pina i in.

(1994) z modyfikacjami Dopieralskiej (2003). Pomiar został wykonany za pomocą spektrometru mas Finnigan MAT 261 z wykorzystaniem materiału standardowego NBS 987 ( $^{87}\text{Sr}/^{86}\text{Sr} = 0.710238 \pm 10$ ). Pomiary zostały skalibrowane do  $^{86}\text{Sr}/^{88}\text{Sr} = 0.1194$  i znormalizowane do wartości NIST-987 = 0.710240.

### *Analiza genetyczna*

Próbę analizy genetycznej przeprowadzono dla pięciu osobników. DNA wyizolowany został z cementu zęba poprzez trawienie zewnętrznej warstwy korzenia (Harney i in. 2021) oraz metody ekstrakcji opartej na kulkach magnetycznych opłaszczonych złożem krzemionkowym (Rohland i in. 2018). Następnie ekstrakty DNA poddano godzinnemu enzymatycznemu (USER, New England Biolabs) wycinaniu powstających w wyniku degradacji DNA uracyli, po czym utworzono dwuniciowe biblioteki DNA metodą wg Meyera i Kirchera (2010) i sekwencjonowano z niskim docelowym pokryciem („sekwencjonowanie płytkie”) na platformie NextSeq 500 w Laboratorium Specjalistycznym Genomiki Centrum Nowych Technologii Uniwersytetu Warszawskiego.

Po ocenie stanu zachowania materiału na podstawie wyników powyżej opisanego sekwencjonowania, utworzono jednoniciowe biblioteki DNA metodą wg Gansauge i in. (2020), w celu zwiększenia liczby cząsteczek DNA dostępnych do analiz (stosowane dla silniej zdegradowanego materiału). Następnie poddano je ukierunkowanemu wzbogacaniu w diagnostyczne markery genetyczne, co pozwala na selektywne zwiększenie proporcji cząsteczek DNA zawierających informacje genetyczną informatywną dla analiz populacyjnych i ponownie poddano sekwencjonowaniu, tym razem o większej celowanej liczbie odczytów sekwencji fragmentów DNA („sekwencjonowanie głębokie”) na platformie NovaSeq 6000, ponownie w Laboratorium Genomiki.

Otrzymane odczyty sekwencji fragmentów DNA znajdujących się w poszczególnych bibliotekach, po usunięciu sekwencji adaptorów, zostały zmapowane do referencyjnego genomu ludzkiego (wersja hs37d5) algorytmem bwa mem, a sekwencje o jakości mapowania poniżej 30 zostały odfiltrowane (samtools view -q 30). Duplikatowe sekwencje, pochodzące naj-

prawdopodobniej od wspólnej źródłowej cząsteczki DNA i utworzone w procesie namnażania biblioteki DNA, zostały odfiltrowane z pomocą programu Picard MarkDuplicates (<https://broadinstitute.github.io/picard/>). Statystyki mapowania zostały obliczone przy pomocy programu samtools idxstats (Danecek i in. 2021).

Rozkład uszkodzeń (podstawień cytozyna→tymina) na końcach fragmentów DNA mapowanych do ludzkiego genomu referencyjnego, świadczących o autentycznie historycznym pochodzeniu badanego DNA, a więc wskazujących na niskie prawdopodobieństwo znaczącego udziału kontaminacji współczesnymi cząsteczkami DNA w bibliotece, został sprawdzony przy użyciu oprogramowania MapDamage 2.0 (Jónsson i in. 2013; Peyrégne i in. 2020). Poziom zanieczyszczenia nieendogennym DNA został ponadto oszacowany poprzez określenie częstości występowania miejsc heterozygotycznych w loci haploidalnych: mtDNA przy użyciu Schmutzi (Renaud i in. 2015) oraz contamMix (Fu i in. 2014) dla wszystkich próbek, a u mężczyzn także dla chromosomu X przy użyciu ANGSD (Korneliussen i in. 2014).

Płeć określono dla każdego osobnika na podstawie proporcji odczytów mapujących się do chromosomów płci i chromosomów autosomalnych (Mitnik i in. 2016; Skoglund i in. 2013) dla osobników, dla których uzyskana liczba unikalnych odczytów mapujących się do genomu ludzkiego wynosiła co najmniej 10 000. Dalsze analizy oparte były na analizie SNP (ang. *Single Nucleotide Polymorphisms*, polimorfizmy pojedynczego nukleotydu), tj. miejsc w genomie wykazujących zmienność w populacji, używanych do określania zróżnicowania genetycznego między osobnikami lub grupami osobników. W przypadku mężczyzn haplogrupę chromosomu Y określono za pomocą programu Yleaf (Ralf i in. 2018) przy użyciu zestawu 73 487 SNP z bazy danych International Society of Genetic Genealogy (isogg.org) oraz zestawu 263 555 SNP z bazy danych yfull.com, co daje łącznie ponad 337 000 SNP z chromosomu Y. Do określenia haplogrupy mitochondrialnego DNA użyto oprogramowania Haplogrep2 (Weissensteiner i in. 2016) na podstawie sekwencji konsensusowej uzyskanej dla każdego osobnika przy pomocy skryptów własnych opartych o narzędzie samtools i bcftools (Danecek i in. 2021)

oraz BEDTools (Quinlan 2014).

Unikalne odczyty ze wszystkich bibliotek użytych dla każdej próbki zostały zgenotypowane dla SNP panelu 1240k przy użyciu samtools mpileup i SequenceTools pileupCaller (<https://github.com/stschiff/sequenceTools>). Jedynie osobniki, dla których udało się określić allel dla minimum 10 000 SNP zostały włączone do analiz pokrewieństwa i populacyjnych. Pokrewieństwo między badanymi osobnikami sprawdzono na tle zbioru 66 losowych historycznych i prehistorycznych osobników z terenów współczesnej Polski (łączna liczba par osobników = 2278) za pomocą oprogramowania READ (Relationship Estimation from Ancient DNA) (Monroy i in. 2018).

W celu umiejscowienia badanych osobników na „mapie genetycznej” Europy, w kolejnym kroku przeprowadzono PCA (Principal Component Analysis) obejmujące współczesne populacje Europejskie z panelu Human Origins oraz dwa badane osobniki, przy pomocy programu smartpca z pakietu EIGENSOFT (Patterson i in. 2006), którego wyniki zwizualizowano przy użyciu pakietu R ggplot2 (Wickham 2009).

## Wyniki

Badania osteologiczne objęły szczątki ludzkie pochodzące z trzynastu kontekstów wyróżnionych w obrębie krypty. Analiza wykazała obecność osób obu płci, w różnym wieku, od noworodka po kobietę w wieku starczym. Najmniejsza liczba osobników (MNI) dorosłych w krypcie Wejherów wynosi 9 – oszacowana na podstawie lewych kości udowych (wszystkie zachowane powyżej 50%), dla porównania prawych kości udowych o tym stopniu zachowania było 6. Zachowało się również 9 kości piszczelowych (powyżej 50%), chociaż tutaj nie ma pewności, co do przypisania strony dwóch z nich. Różnica między najmniejszą liczbą dorosłych osobników a liczbą osób zidentyfikowanych może być wynikiem kolejnych prób uporządkowania krypty i pogrzebienia części szczątków ludzkich w innym miejscu.

W przypadku sześciu kontekstów zebrano szczątki ludzkie, które korespondowały z pozostawionymi

stałościami poszczególnych trumien, a kompletność szkieletu wskazywała, że możemy mieć do czynienia z pojedynczą osobą, z ewentualnymi domieszkami kości innych osób z sąsiadujących kontekstów. Ze względu na stwierdzone wymieszanie szczątków, będące prawdopodobnie wynikiem wspomnianych wielokrotnych ingerencji wewnątrz krypty, w większości przypadków nie można stwierdzić, czy dodatkowe kości pochodzą z sąsiadujących pochówków, czy też zostały przemieszane z dalej leżących szczątków.

W poszczególnych kontekstach udało się uchwycić szczątki następujących osób:

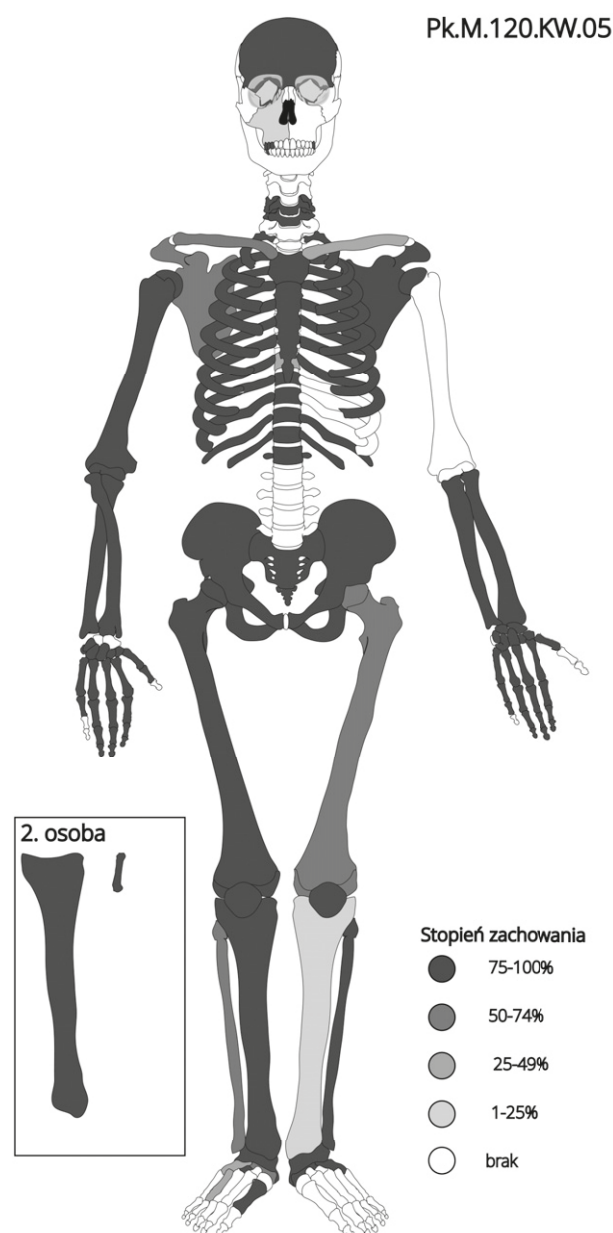
- Pk.M.120.KW.05: szczątki kobiety w wieku starczym (powyżej 60 roku życia) i jednej innej kobiety w podobnym wieku
- Pk.M.120.KW.06: szczątki mężczyzny w wieku dojrzałym, czyli między 35-55 lat (płeć potwierdzona genetycznie)
- Pk.M.120.KW.07: szczątki prawdopodobnie mężczyzny w wieku dojrzałym (między 35-55 lat)
- Pk.M.120.KW.09: szczątki kobiety w wieku dojrzałym (35-55 lat) oraz młodego dorosłego mężczyzny (20-35 lat)
- Pk.M.120.KW.10: szczątki dorosłego mężczyzny i dorosłej kobiety (płeć potwierdzona genetycznie)
- Pk.M.120.KW.11: szczątki mężczyzny w wieku dojrzałym (35-55 lat).

Szczałki dziecięce obecne w krypcie pochodzą z kontekstów, które nie były związane z pojedynczymi trumnami, rozmieszczone były w obrębie całej krypty i pochodzą przede wszystkim z kontekstów Pk.M.120.KW.01 do 04. Wśród szczątków trumien wyróżniono trzy (Pk.M.120.KW.04 i Pk.M.120.KW.09) niewielkich rozmiarów, odpowiednie dla dzieci. Najmniejsza liczba osobników niedorosłych wynosi 4, a oszacowana została na podstawie szczątków ludzkich w różnym wieku: jeden osobnik zmarł niedługo po urodzeniu (noworodek), starszy przed ukończeniem 1. roku życia, trzeci w wieku około 4 lat, najstarsze z dzieci w wieku około 13 lat. Płeć dwójki dzieci została określona genetycznie: dziecku w wieku około 4 lat przypisano płeć żeńską, a dziecku w wieku około 13 lat płeć męską.

## Próba identyfikacji poszczególnych osób

### Pk.M.120.KW.05

Stan zachowania szkieletu został przedstawiony na ryc. II.1. Pojedyncze kości w tym zbiorze były zniszczone działaniem wapna. Większość kości należała do pojedynczego osobnika – kobiety w wieku starczym. Płeć została określona na podstawie morfologii obu kości miednicznych, a w celu ustalenia wieku w chwili



**Ryc. II.1.** Stan zachowania szczątków ludzkich z kontekstu Pk.M.120.KW.05. Oprac. R. Fetner.

**Fig. II.1.** State of preservation of the human remains from the context of Pk.M.120.KW.05. Compiled by R. Fetner.

śmierci posłużono się metodami opartymi na morfologii spojenia łonowego i powierzchni uchowatej, ustalając prawdopodobny wiek jako starczy.

Na szkielecie odnotowano liczne zmiany degeneracyjne związane z zaawansowanym wiekiem, w tym obecność osteofitów świadczących o zmianach chorobowych w obrębie stawów. Zmiany zwyrodnieniowe stawów odnotowano w odcinku piersiowym kręgosłupa i na kości krzyżowej, powierzchniach stawowych mostka i kilku żebrach. W obrębie kończyny górnej zmiany widoczne są w prawym stawie barkowo-obojczykowym oraz stawach obu nadgarstków. W stawach kończyny dolnej zmiany objęły staw biodrowy, oba stawy kolanowe i piszczelowo-strzałkowe, jak również kości stępu.

Zaobserwowane zmiany mają charakter typowych zmian degeneracyjnych, postępujących z wiekiem, określanych w literaturze jako osteoartroza lub zwyrodnieniowe zapalenie stawów. Zaawansowane zmiany zwyrodnieniowe zapewne ograniczały mobilność objętych zmianami stawów i utrudniały aktywność fizyczną, w tym wykonywanie wielu codziennych czynności. Nawet niewielkie zmiany mogły być źródłem dolegliwości bólowych (Waldron 2008).

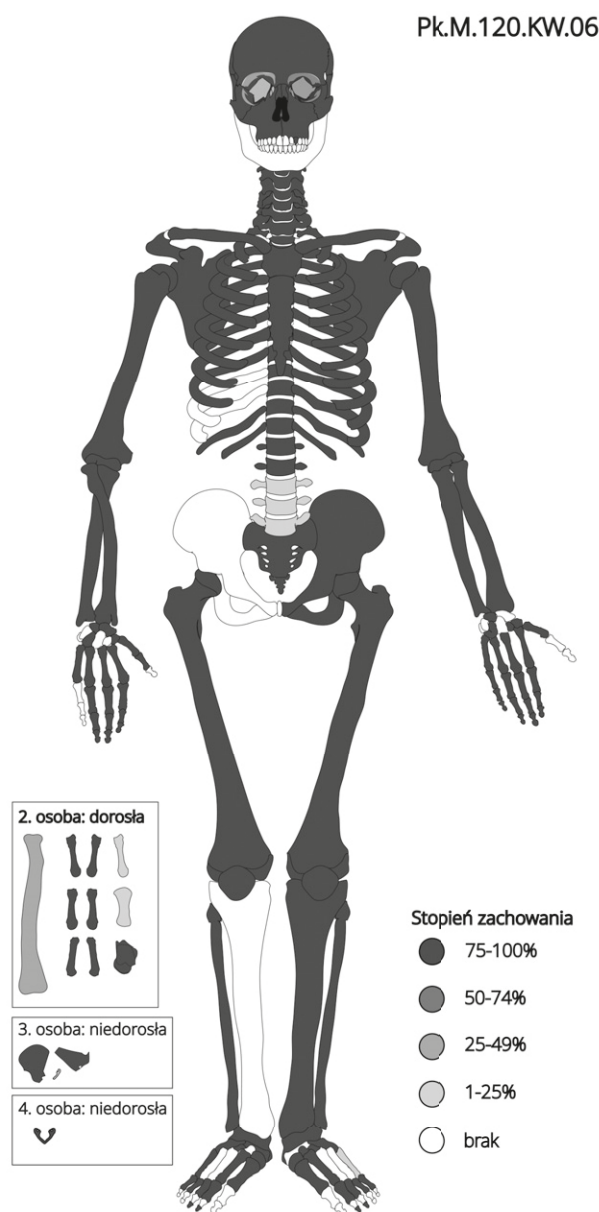
Wśród innych zmian patologicznych odnotowano ślady po cystach na powierzchni wewnętrznej jednego z żeber oraz przy powierzchni stawowej trzeciej kości śródreżca. Pojedyncze obserwacje tego typu są trudne w interpretacji, choć mogą być wynikiem miejscowych stanów zapalnych. Ze względu na ich lokalizację można je wiązać ze stanami zapalnymi płuc i okolicznych tkanek. Warto przy tym zauważyć, że nie jest to zmiana występująca w przypadku gruźlicy płuc, w której dominują procesy kościotwórcze i odkładanie nowej kości okostnowej na wewnętrznej stronie żeber (Roberts i in. 1998).

W obrębie prawej kości piszczelowej również odnotowano występowanie nowej kości okostnowej. Ponieważ zmiany o tym charakterze spowodowane są zintensyfikowaniem aktywności kościotwórczej we wskazanym regionie, należą do objawów nieswoistych o niemożliwej do ustalenia etiologii. Powstawanie zmian o tym charakterze w obrębie kości piszczelowej może wynikać z problemów o charakterze metabolicznym, wybranych chorób

zakaźnych, jak i może być konsekwencją lokalnego urazu. Analiza pozostałych części szkieletu nie pozwoliła na bardziej precyzyjne zdiagnozowanie przyczyn zaobserwowanych zmian.

Wysokość osobnika została oszacowana na podstawie największej długości kości udowej (444 mm) na około 163 cm.

Zestawienie zmian szkieletowych ze źródłami pisanymi pozwala na prawdopodobną identyfikację pochowanej tutaj osoby jako Anny Wejher, za czym przemawiałyby płeć oraz wiek osoby, a także zacho-



**Ryc. II.2.** Stan zachowania szczątków ludzkich z kontekstu Pk.M.120.KW.06. Oprac. R. Fetner.

**Fig. II.2.** State of preservation of the human remains from the context of Pk.M.120.KW.06. Compiled by R. Fetner.

wane pozostałości odzieży grobowej (por. Grupa, rozdział III w tym tomie). Anna Wejher, jako jedyna kobieta wśród potwierdzonych źródłowo osób złożonych w krypcie dożyła starości.

### *Pk.M.120.KW.06*

Stan zachowania szczątków ludzkich został zilustrowany na **ryc. II.2**. Pojedyncze kości w tym zbiorze były zniszczone działaniem wapna. Zbiór zawierał szczątki co najmniej 4 osobników: dwóch osób dorosłych oraz dwójki dzieci (noworodka oraz dziecka w wieku ok. 13 lat). Płeć osobnika dorosłego, którego szczątki przeważały w zbiorze, została określona na podstawie morfologii czaszki oraz kości miednicznej jako męska. Wiek w chwili śmierci został określony na podstawie morfo-



**Ryc. II.3.** Zmiany zaobserwowane na szkielecie osoby z kontekstu Pk.M.120.KW.06: zmiany wskazujące na autopsję w obrębie rękojeści i trzonu mostka (górną); zmiany widoczne w miejscu przyczepów mięśni na obu kościach udowych (dół). Oprac. R. Fetner.

**Fig. II.3.** Changes observed on the skeleton of the individual from the context of Pk.M.120.KW.06: lesions within the manubrium and body of the sternum possibly resulting from autopsy (above); muscle attachments on both femora (below). Compiled by R. Fetner.

logii żeber (pierwszych i czwartego), spojenia łonowego i powierzchni uchowatej jako dojrzały.

Na szkielecie osoby dorosłej odnotowano zmiany patologiczne typowe dla wieku zaawansowanego, przede wszystkim ślady wskazujące na zwyrodnieniową chorobę stawów. Objęte nią były kręgi szyjne (w tym szczytowy i jeden z typowych kręgów szyjnych) oraz większość z kręgów piersiowych. W jednym przypadku zmiany doprowadziły do zrośnięcia się dwóch sąsiadujących ze sobą trzonów kręgów piersiowych. Guzki Schmorla odnotowano na kręgach piersiowych oraz lędźwiowych. W odcinku lędźwiowym odnotowano również zmiany świadczące o spondylozie i zmianach zwyrodnieniowych powierzchni stawowych wyrostków górnych i dolnych. W odcinku krzyżowym odnotowano zmiany zwyrodnieniowe na powierzchni stawowej górnej.

Zmiany zwyrodnieniowe stawów w obrębie klatki piersiowej odnotowano na żebrach. Najczęściej obejmowały głowę i guzek żebra, a w jednym przypadku (pierwszego żebra) przybrały one formę wyświecenia. Odnotowano również zmiany mogące świadczyć o autopsji. Trzon mostka i rękojeść przedzielone są na pół wzdłuż płaszczyzny pośrodkowej (**ryc. II.3**). Krawędź zmiany jest ostra, nie nosi śladów gojenia (co oznaczałoby wykonanie przed śmiercią), ani też drobnych złamań typowych dla cięcia kości pozbawionej tkanek miękkich. Równa, ciągła krawędź przecięcia, przechodząca przez dwie kości sugeruje, że mógł to być efekt zabiegu chirurgicznego.

W obrębie kończyn górnych odnotowano osteoartrozę w stawach obojczykowo-łopatkowym, ramiennym, łokciowym oraz nadgarstka. Złamania odnotowano na pierwszej prawej kości śródreźca oraz na paliczku bliższym pierwszego palca prawej ręki. W obu przypadkach wiązało się to z powstaniem osteoartrozy. W obrębie kończyn dolnych osteoartroza została odnotowana w stawach: biodrowym, kolanowym, stępu oraz stawach kości śródstopia. Przy końcu dalszym prawego śródstopia odnotowano zmiany erozyjne.

Analiza uzębienia wykazała obecność próchnicy, przede wszystkim w górnej części korzeni zębów, co częściej występuje u starszych osób.

Cztery zęby zostały utracone przed śmiercią, prawdopodobnie w wyniku zaawansowanych zmian próchnicznych. W kilku przypadkach zauważono kamień nazębny. Z aparatem żucia związane są również zmiany zwyrodnieniowe odnotowane w dole zuchwowym kości skroniowej.

Wysokość osobnika została oszacowana na podstawie długości kości udowej (472 mm) – 171 cm, ramiennej (345 mm) – 174 cm, promieniowej (264 mm) – 176 cm. Co więcej, dla tego osobnika możliwe było oszacowanie wysokości anatomicznej na 170 cm.

Prawdopodobna identyfikacja to Ernest Wejher, który zmarł w wieku 81 lat, prowadząc intensywny tryb życia wojskowego, wiele czasu spędzając w siodle. Za taką identyfikacją przemawia określenie płci, a także liczne zmiany związane z zaawansowanym wiekiem i przeciążeniami (por. **ryc. II.3**), choć wiek w chwili śmierci określony został jako dojrzały. Niestety metody określania wieku na podstawie szczątków ludzkich nie są precyzyjne dla osób dojrzałych i starszych, co sprawia, że często osoby w wieku starszym są przypisywane do kategorii dojrzały dorosły, a uchwycenie osób powyżej 50 roku życia jest trudne (ostatnio m.in. ten problem określania wieku szczątków ludzkich został zreferowany przez Boldsen, Milner, Ousley 2022). Mimo przypisania do młodszej kategorii wiekowej jesteśmy skłonni wiązać szczątki z kontekstu Pk.M.120.KW.06 z Ernestem Wejherem.

#### **Pk.M.120.KW.07 i Pk.M.120.KW.08**

Zbiór zawierał szczątki co najmniej dwóch osobników dorosłych, pojedyncze kości mogą należeć do osobnika Pk.M.120.KW.06. Odnotowano również obecność szczątków dziecka (wiek określono na podstawie długości kości piszczelowej jako noworodek). Stan zachowania kości został przedstawiony na **ryc. II.4**. Większość kości w kontekście Pk.M.120.KW.07 była zniszczona działaniem wapna (por. **ryc. I.31**), w kontekście Pk.M.120.KW.08, wapno zniszczyło jedynie pojedyncze kości. Płeć osobnika dorosłego (Pk.M.120.KW.07) została określona na podstawie morfologii kości miednicznych i wymiarów kości długich jako męska. Wiek osobnika został określony na podstawie morfologii powierzchni uchowatych i spojenia łonowego jako dojrzały dorosły. Wśród zmian patologicznych zaobserwowano

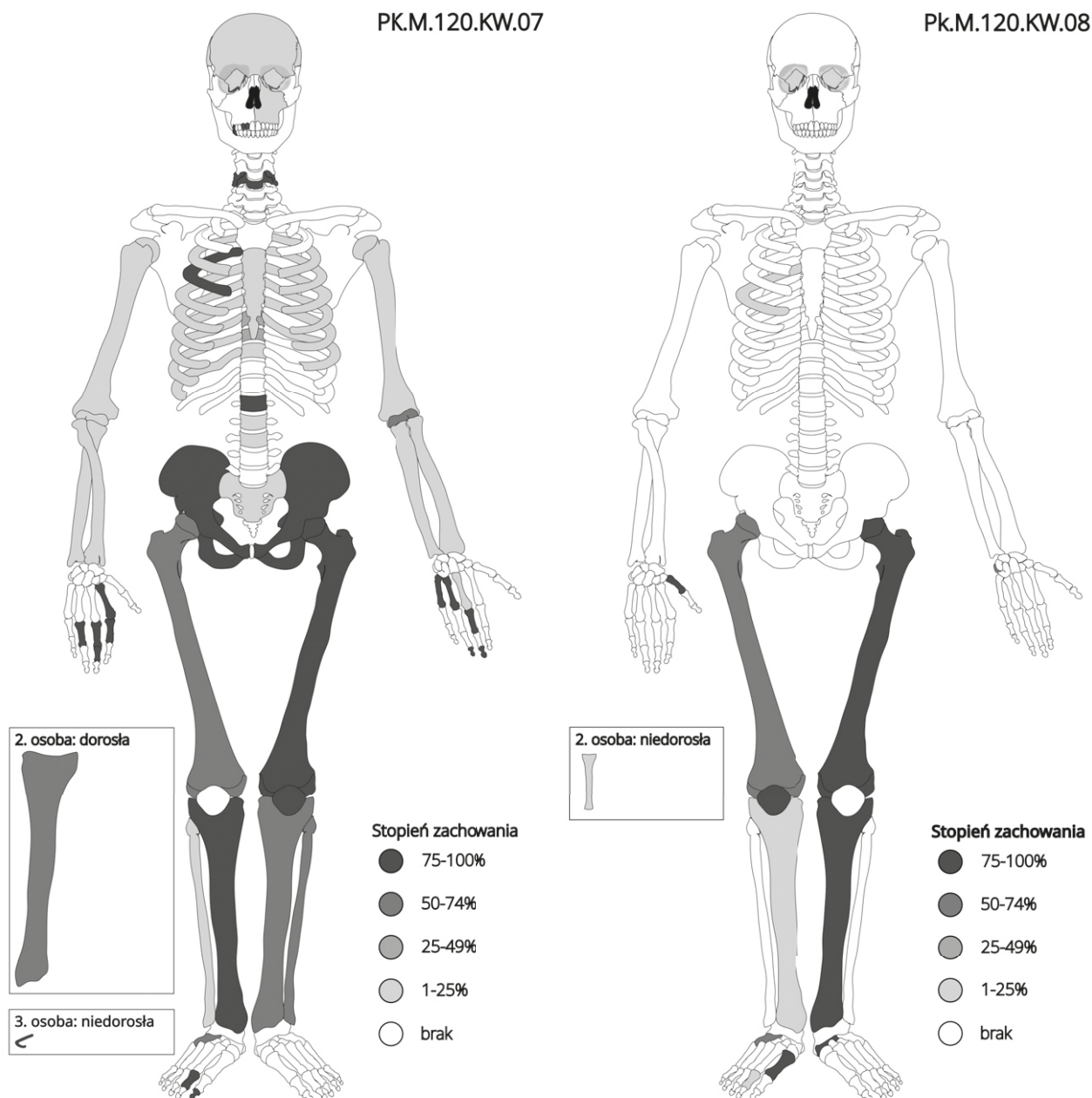
zmiany zwyrodnieniowe stawów, w tym w obrębie kręgu odcinka szyjnego. Kolejna zmiana, początek zrostu paliczków pierwszego palca stopy prawej, może być wynikiem choroby stawów, ale może być również związany z lokalnym urazem (Waldron 2008).

Prawdopodobna identyfikacja szczątków Pk.M.120.KW.07 to Kacper Szczawiński, który zmarł w wieku 37 lat. Oparta jest ona wyłącznie na podobieństwie płci i wieku osoby.

#### **Pk.M.120.KW.09**

Zbiór zawierał szczątki co najmniej dwóch dorosłych osobników, kobiety i mężczyzny. Stan zachowania kości ilustruje **ryc. II.5**. Pojedyncze kości były zniszczone działaniem wapna. Płeć kobiety została określona na podstawie morfologii obu kości miednicznych. Wiek w chwili śmierci oszacowano na podstawie morfologii obu powierzchni uchowatych jako dojrzały dorosły. Płeć mężczyzny została określona na podstawie morfologii obu kości miednicznych. Wiek w chwili śmierci oszacowany został na podstawie morfologii spojenia łonowego i powierzchni uchowatej prawej kości miednicznej jako młody dorosły. Ponadto w obrębie kręgów piersiowych i lędźwiowych widoczne były linie przyrostu pierścieni do trzonów kręgu, co zwykle jest obserwowane u osób poniżej 25 roku życia, podobnie jak widoczny w tym przypadku brak zrostu pierwszego i drugiego segmentu kości krzyżowej.

Ze względu na wymieszanie szczątków i problemy z identyfikacją kości należących do każdego ze wskazanych osobników, zmiany chorobowe zostaną opisane dla całego zbioru, nie dla pojedynczych osób. Różne schorzenia stawów odnotowano na kręgach pochodzących ze wszystkich odcinków kręgosłupa. Najczęściej występowały schorzenia krążków międzykręgowych, widoczne zarówno w formie choroby zwyrodnieniowej krążków (spondyloza), jak i śladów związanych z występowaniem guzków Schmorla. Oba typy schorzeń związane są z reguły ze zmianami struktury krążków międzykręgowych (popularnie: dysków kręgowych), najczęściej będącymi wynikiem nadmiernego obciążenia kręgosłupa (Waldron 2008). Oba typy zmian mogą, ale nie muszą być



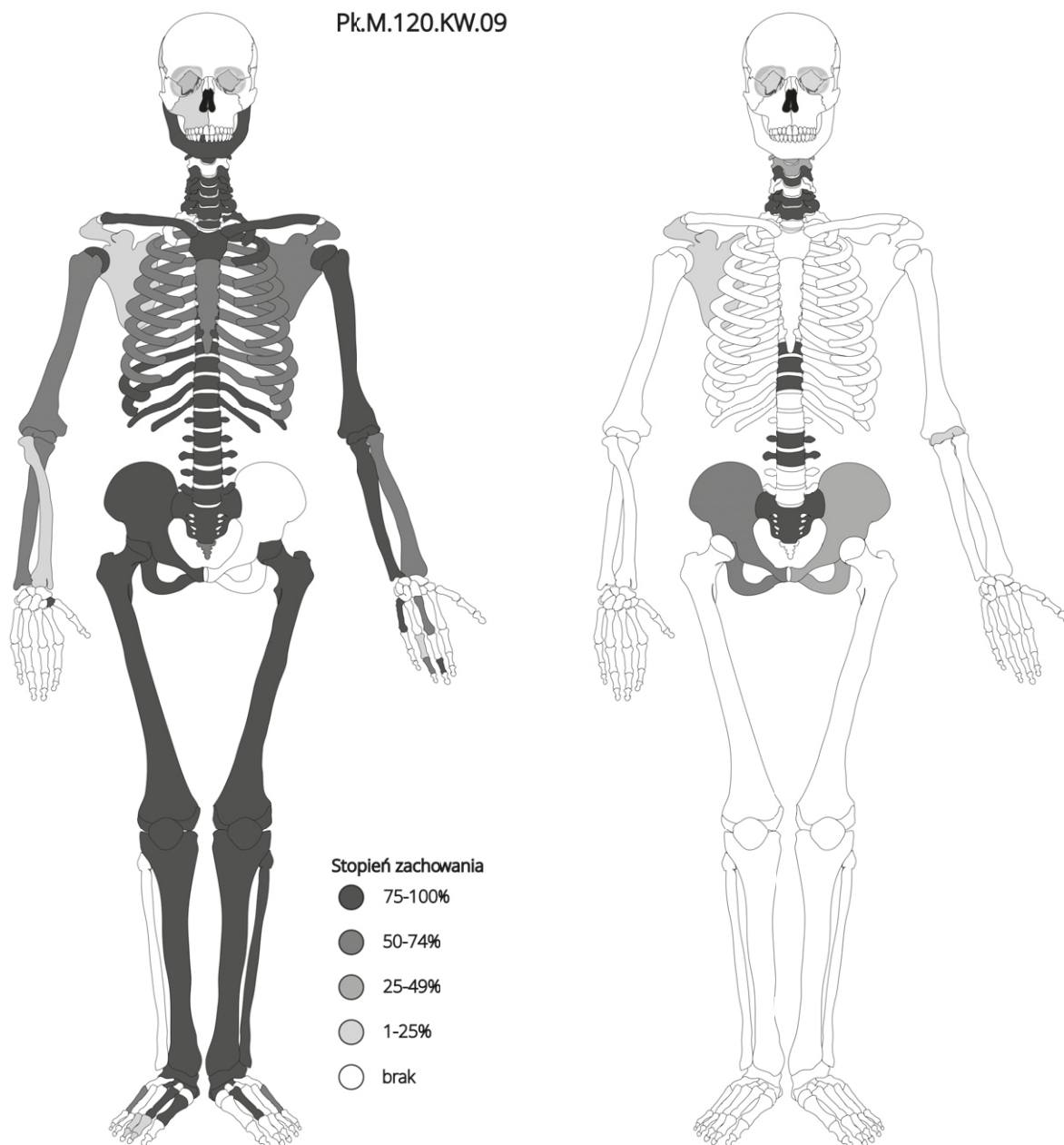
**Ryc. II.4.** Stan zachowania szczątków ludzkich z kontekstu Pk.M.120.KW.07 oraz Pk.M.120.KW.08. Oprac. R. Fetner.

**Fig. II.4.** State of preservation of the human remains from the contexts of Pk.M.120.KW.07 and Pk.M.120.KW.08. Compiled by R. Fetner.

przyczyną objawów bólowych i ograniczenia w ruchomości kręgosłupa (Faccia, Williams 2008). W obrębie klatki piersiowej zmiany o charakterze degeneracyjnym odnotowano również na głowach, rzadziej na guzkach żeber. Zmiany zwyrodnieniowe stawów odnotowano w obrębie prawego i lewego stawu ramiennego, obu stawów kolanowych i w stawach stopy. Zmiany te należą do niecharakterystycznych objawów chorób stawów.

Wśród innych zmian patologicznych odnotowano zapalenie i zwapnienie tkanki okostnej na powierzchni lewej kości piszczelowej. Zmiana ta świadczy o intensywnym lokalnym stanie zapalnym, nie jest jednak możliwe podanie jego przyczyny (Waldron 2008).

Na powierzchni dolnej wyrostka barkowego widoczna jest dodatkowa powierzchnia artykulacji z kością ramienną, a powierzchnia stawowa na kości ramiennej została prawdopodobnie powiększona.



**Ryc. II.5.** Stan zachowania szczątków ludzkich z kontekstu Pk.M.120.KW.09. Oprac. R. Fetner.

**Fig. II.5.** State of preservation of the human remains from the context of Pk.M.120.KW.09. Compiled by R. Fetner.

Zmiany o takim charakterze są zwykle wynikiem choroby stożka rotatorów, a w szczególności zespołu cieśni podbarkowej. Zmiany w strukturze mięśni, postępujące z wiekiem powodują destabilizację stawu barkowego, co może spowodować przesunięcie głowy kości ramiennej w płaszczyźnie pionowej i oparcie się jej na spodniej powierzchni wyrostka barkowego. Występowanie choroby stożka rotatorów jest bardzo powszechne i wskazuje się, że jest to jedna z najczęstszych przyczyn występowania bólu w stawie barkowym (Waldron 2008).

Unikalną zmianą paleopatologiczną w badanej kolekcji jest ślad po ranie ciętej zaobserwowany na prawym żebrze, bez widocznych śladów gojenia (**ryc. II.6**), co oznacza, że mogła zostać zadana w okresie około śmierci osobnika. Nie jest to prawdopodobnie jedyny uraz – ślad traumy odnotowano na kościach potylicznej i ciemieniowej, ale ze względu na znaczne zniszczenie wapnem obserwacja ta jest niepewna. Kolejną zmianą, która również została zadana okołośmiertnie jest cięcie widoczne na rękojeści mostka w płaszczyźnie





**Ryc. II.6.** Ślady rany ciętej na prawym żebrze u osoby z kontekstu Pk.M.120.KW.09. Oprac. R. Fetner.

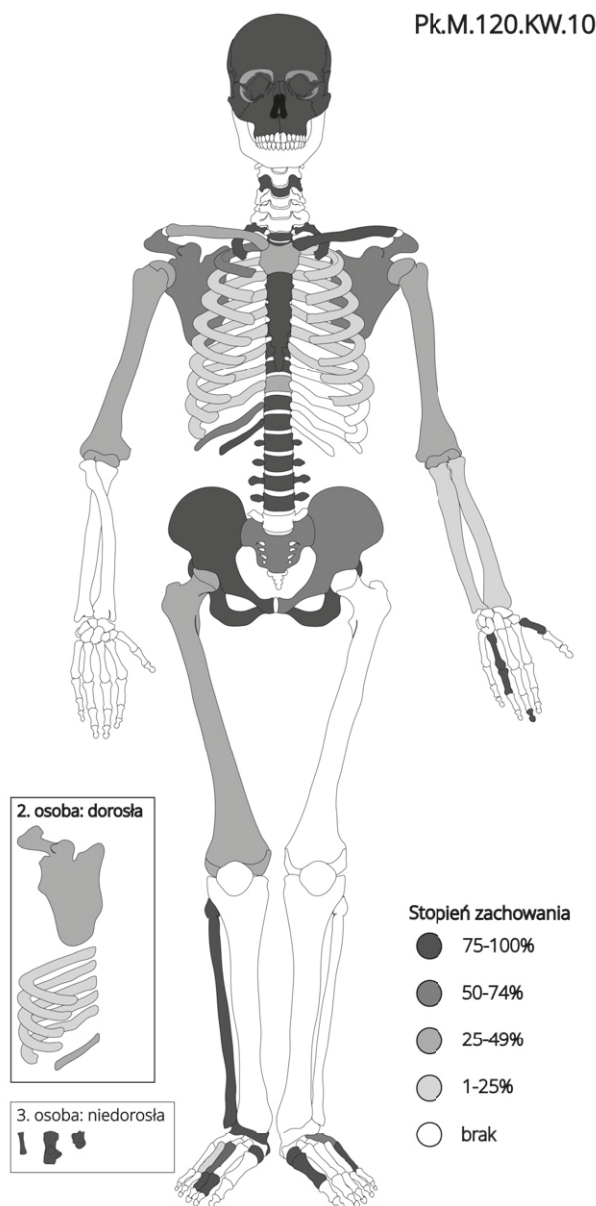
**Fig. II.6.** Cut wound lesions on the right rib of the individual from the context of Pk.M.120.KW.09. Compiled by R. Fetner.

pośrodkowej. Pochodzenie tej rany jest niejasne: może ona być wynikiem cięcia otrzymanego podczas walki albo być rezultatem pośmiertnej autopsji, podobnie jak w przypadku Pk.M.120.KW.06 (Waldron 2008).

Na zachowanych zębach sporadycznie występowała próchnica w obrębie szyjki zęba, co z reguły jest związane z chorobami przyzębia i związanym z nimi cofaniem się dziąseł. Zmiany te z reguły postępują z wiekiem (Waldron 2008). Na zębach odnotowano również niewielki depozyt kamienia nazębnego.

Wysokość ciała została oszacowana dla szczątków męskich na podstawie maksymalnej długości kości udowej oraz ramiennej na około 163 cm.

Prawdopodobna identyfikacja mężczyzny to Marcin Władysław Wejher, który zginął w wieku 24 lat od postrzału pod Carowym Zajmiszczem. Identyfikacja opierała się na zgodności płci, wieku szczątków oraz zmian patologicznych, z których część mogła powstać podczas walki. Kobieta nie została zidentyfikowana.



**Ryc. II.7.** Stan zachowania szczątków ludzkich z kontekstu Pk.M.120.KW.10. Oprac. R. Fetner.

**Fig. II.7.** State of preservation of the human remains from the context of Pk.M.120.KW.10. Compiled by R. Fetner.

### ***Pk.M.120.KW.10***

Zbiór zawierał szczątki dwóch dorosłych osobników i co najmniej jednego dziecka (por. **ryc. II.7**). Część kości z tego zbioru była zniszczona działaniem wapna. Płeć została określona na podstawie cech dymorficznych czaszki jako żeńska, co zostało potwierdzone badaniami genetycznymi. Cechy dymorficzne kości biodrowej nie pozwoliły na jednoznaczne określenie płci, ale znaczna średnica głowy kości udowej (48 mm) wskazuje, że szczątki

te prawdopodobnie należały do mężczyzny. Zatem mamy tutaj do czynienia z wymieszanymi szczątkami mężczyzny i kobiety.

Prawie wszystkie kości są silnie zniszczone przez depozyt wapna (por. **ryc. II.8**), który spowodował również, że miejscami zachowały się tkanki miękkie. Stopień zniszczenia uniemożliwiał identyfikację znajdujących się tutaj osób.

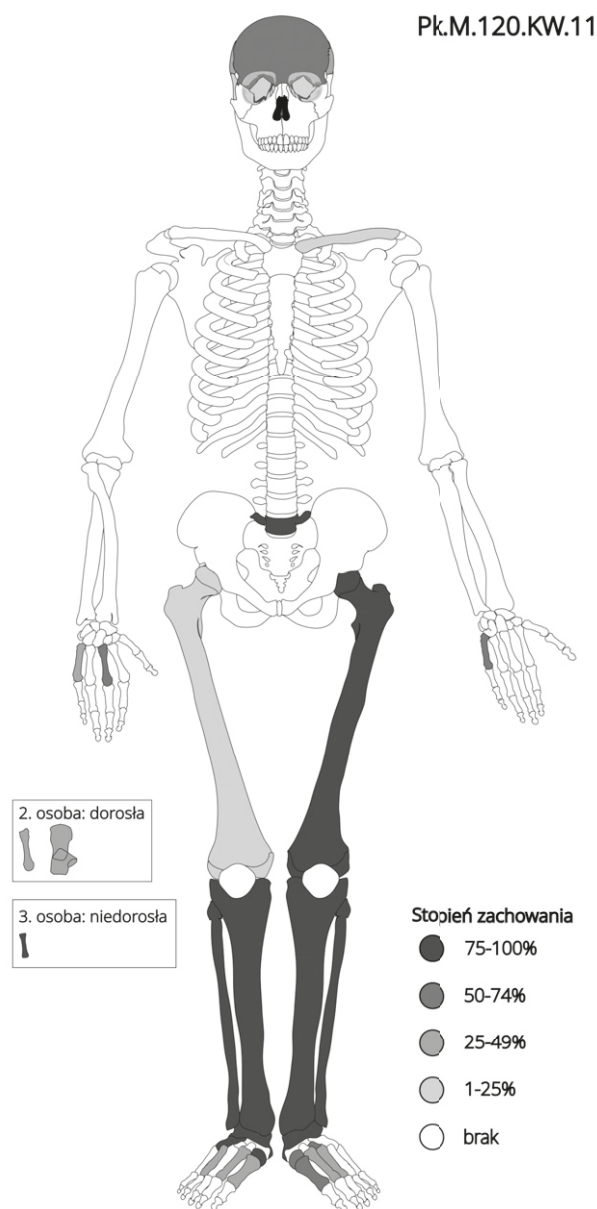


**Ryc. II.8.** Kości ludzkie zniszczone działaniem wapna: (od góry) czaszka, kość udowa oraz kość piszczelowa. Oprac. R. Fetner.

**Fig. II.8.** Human bones damaged with lime: (from top) skull, femur, and tibia. Compiled by R. Fetner.

### **Pk.M.120.KW.11**

Zbiór zawierał szczątki co najmniej 3 osobników: dwóch dorosłych i dziecka (por. **ryc. II.9**). Część kości w tym zbiorze była zniszczona działaniem wapna. Wiek starszego osobnika został określony na podstawie stopnia zrośnięcia się szwów czaszkowych jako dojrzały dorosły, a płeć na podstawie cech morfologicznych czaszki jako męska. Wiek młodszego osobnika został określony na podstawie braku przyrośnięcia końca mostkowego



**Ryc. II.9.** Stan zachowania szczątków ludzkich z kontekstu Pk.M.120.KW.11. Oprac. R. Fetner.

**Fig. II.9.** State of preservation of the human remains from the context of Pk.M.120.KW.11. Compiled by R. Fetner.

żebra do trzonu na poniżej 30. roku życia (prawdopodobnie młody dorosły), przy czym możliwe, że należą do osoby ze zbioru Pk.M.120.KW.10. Pojedyncze kości należały do dziecka poniżej 16. roku życia.

Wśród zmian chorobowych odnotowano zaleczone złamanie w obrębie prawego kolana. Patologiczne przekształcenie morfologii stawu będące wynikiem tego urazu spowodowało dalszą degenerację stawu kolanowego, jak również zmiany zwyrodnieniowe w okolicy lewego stawu skokowego. Zaobserwowane zmiany zapewne spowodowały stałe problemy z mobilnością, jednak zmiany wtórne świadczą, że kończyna była nadal dość intensywnie obciążana.

W obrębie kości potylicznej czaszki zauważono erozję kości w okolicy guzowatości potylicznej wewnętrznej, które przypomina dołeczek ziarenkowy. Przy braku dodatkowych obserwacji nie jest możliwe zdiagnozowanie przyczyny tej zmiany.

Najbardziej zaawansowane ślady procesów chorobowych odnotowano na kościach stóp: zmiany erozyjne i porowatość wokół powierzchni stawowych prawej kości skokowej, piętowej, sześciennej, trzech klinowatych oraz kościach śródstopia prawych i lewych (por. **ryc. II.10**). Zmiany te należy wiązać chorobą stawów o charakterze zanikowym. Najczęściej występującym



**Ryc. II.10.** Zmiany zwyrodnieniowe stawów kości stóp u osoby z kontekstu Pk.M.120.KW.11. Oprac. R. Fetner.

**Fig. II.10.** Degenerative changes on the foot joints of the individual from the context of Pk.M.120.KW.11. Compiled by R. Fetner.

rodzajem erozyjnej artropatii jest reumatoidalne zapalenie stawów. Należy raczej wykluczyć w tym przypadku dnę moczanową, ponieważ daje ona zmiany asymetryczne, obejmujące z reguły jedną kończynę (Waldron 2008). Warto jednak w tym miejscu podkreślić, że historyczne określenie „podagra” wiązane współcześnie ze stawowymi zmianami wywołanymi dną moczanową, mogło w przeszłości być stosowane w przypadku innych chorób, które objawiały się podobnymi symptomami, tj. opuchlizną, silnym bólem i tkliwością w obrębie stóp.

Zmiany zwyrodnieniowe stawów odnotowano również na końcach dalszych kości udowej lewej oraz na prawej kości strzałkowej, na obu jej końcach. Co więcej, na kości strzałkowej zauważono obecność nowej kości okostnowej. Być może te ślady należy również wiązać z reumatoidalnym zapaleniem stawów, choć może być to choroba wtórna, związana z postępującą destrukcją stawów stóp.

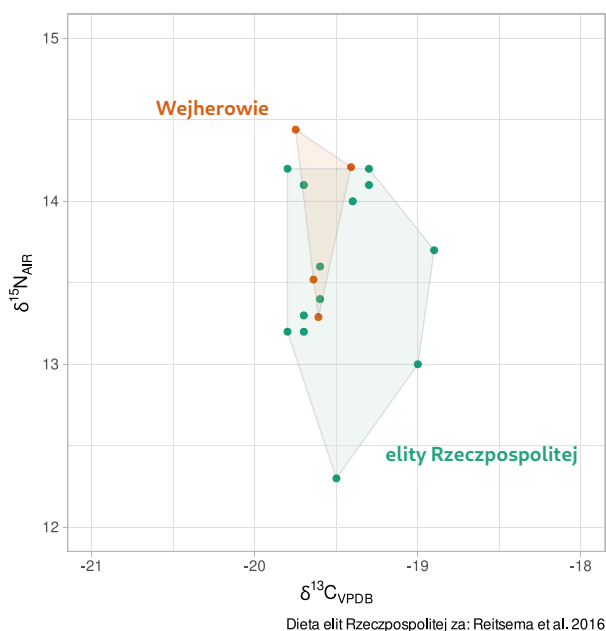
Na pojedynczym kręgu lędźwiowym odnotowano zmiany zwyrodnieniowe na powierzchni górnej i na powierzchni dolnej (guzek Schmorla).

Wysokość ciała została oszacowana dla szczątków starszego mężczyzny na podstawie długości piszczeli (384 mm) na 171 cm (Ruff i in. 2012).

Możliwa identyfikacja starszego mężczyzny to Jan Wejher, który zmarł w wieku 47 lat, w świetle źródeł pisanych złożony podagrą. Pogrzeb odbył się 2,5 miesiąca po jego śmierci. Za taką identyfikacją przemawia wiek, płeć, a także zmiany patologiczne obserwowane na szczątkach kostnych osobnika.

## Dieta

Dieta osób pochowanych w krypcie Wejherów została zestawiona z dostępnymi danymi dla pochówków elitarnych późnośredniowiecznej i wczesnonowożytnej Rzeczypospolitej (Reitsema i in. 2016). Zestawienie wyników przedstawione jest w **tabeli II.1** oraz zilustrowane na **ryc. II.11**. Osoby pochowane w krypcie Wejherów wpisują się w dietę lokalnych elit. Dieta oparta jest o rośliny  $C_3$  (czyli prawie wszystkie zboża, warzywa i owoce), brak tutaj istotnej konsumpcji prosa.

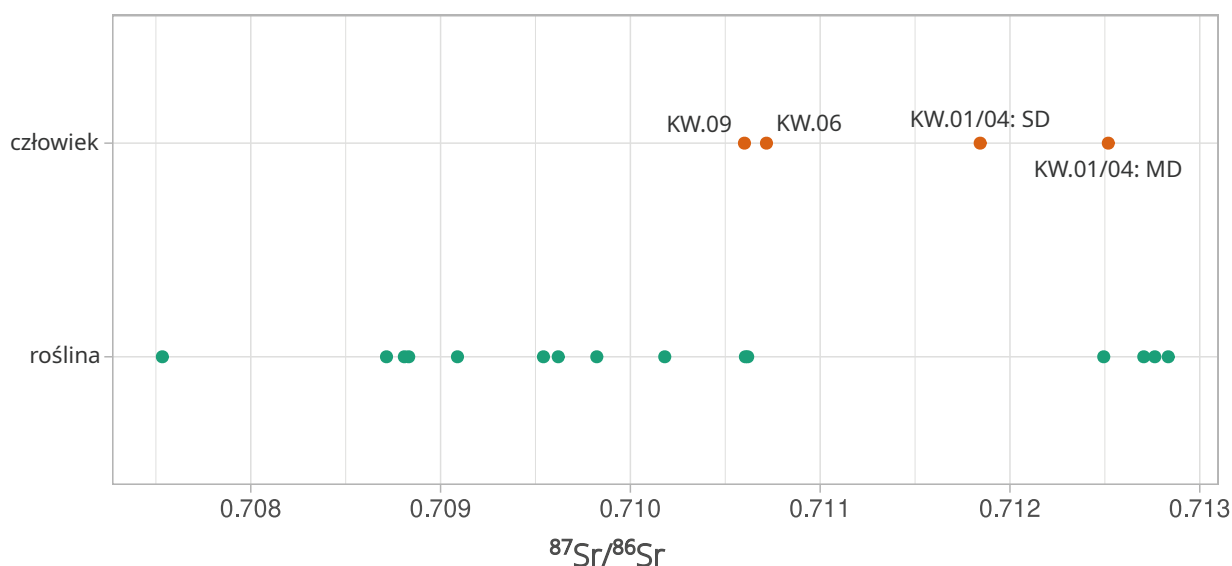


**Ryc. II.11.** Wyniki analizy proporcji izotopów trwałych węgla i azotu osób pochowanych w krypcie Wejherów w zestawieniu z wynikami przedstawicieli elity Rzeczypospolitej (dane za Reitsema i in. 2016). Oprac. R. Fetner.

**Fig. II.11.** Results of the analysis of the ratios of the stable isotopes of carbon and nitrogen in the individuals interred in the crypt of the Wejher family compared to representatives of the elite social strata of the Polish-Lithuanian Commonwealth (after: Reitsema et al. 2016). Compiled by R. Fetner.

Wartości proporcji izotopów trwałych azotu wskazują na regularną konsumpcję białka zwierzęcego, raczej pochodzenia lądowego lub z wód śródlądowych. Pomimo bliskości morza, osoby pochowane w krypcie Wejherów nie mają sygnatur wskazujących na regularną konsumpcję ryb morskich.

Z czterech prób trzy pochodzą od mężczyzn, jedna od kobiety. Wartości proporcji izotopów trwałych węgla wahają się u mężczyzn między  $-19,7\text{‰}$  a  $-19,4\text{‰}$ , wartość z próby szczątków kobiety wynosi  $-19,6\text{‰}$  i wpisuje się w zmienność widoczną wśród mężczyzn. Podobne obserwacje poczyniono w przypadku wartości proporcji izotopów azotu. Tutaj wartości proporcji z prób mężczyzn wahają się między  $13,3\text{‰}$  a  $14,4\text{‰}$ , kobiety zaś wynosi  $13,5\text{‰}$ . Dieta pochowanej tutaj kobiety nie różniła się od diety towarzyszących jej mężczyzn. Przykład ten oczywiście nie może zostać odniesiony do ogółu społeczeństwa, nawet elit ziem polskich, ale pozwala na postawienie pytań o rolę wieku i pozycji społecznej zmarłej w kreowaniu dostępnej jej diety.



**Ryc. II.12.** Wyniki pomiaru stosunków izotopów strontu w szkliwie osób pochowanych w krypcie Wejherów w odniesieniu do pomiarów wartości dla roślin z terenu Pomorza Gdańskiego (Fetner, badania własne). Skróty: SD - starsze dziecko, MD - młodsze dziecko. Oprac. R. Fetner.

**Fig. II.12.** Results of the measurements of the ratios of the strontium isotopes in the individuals interred in the crypt of the Wejher family compared to values measured for plants from Pomerania (Fetner, based on own research). Abbreviations: SD – older child; MD – younger child. Compiled by R. Fetner.

**Tabela II.1.** Wyniki analizy proporcji izotopów trwałych węgla i azotu szczątków osób pochowanych w krypcie Wejherów. Oprac. R. Fetner.

**Table II.1.** Results of the analysis of the ratios of stable isotopes of carbon and nitrogen in the individuals interred in the crypt of the Wejher family. Compiled by R. Fetner.

kontekst	płeć	wiek	$\delta^{13}\text{C}$	$\delta^{15}\text{N}$	C/N (atom)
Pk.M.120.KW.05	kobieta	starczy	-19,6	13,5	3,38
Pk.M.120.KW.06	mężczyzna	dojrzały	-19,4	14,2	3,30
Pk.M.120.KW.09	mężczyzna	młody dorosły	-19,7	14,4	3,31
Pk.M.120.KW.11	mężczyzna	dojrzały	-19,6	13,3	3,23

**Tabela II.2.** Wyniki pomiaru stosunków izotopów strontu w szkliwie osób pochowanych w krypcie Wejherów. Oprac. R. Fetner.

**Table II.2.** Results of the measurements of the ratios of the strontium isotopes in the tooth enamel in the individuals interred in the crypt of the Wejher family. Compiled by R. Fetner.

kontekst	płeć	wiek	$^{87}\text{Sr}/^{86}\text{Sr}$	błąd pomiaru (1 $\sigma$ )
Pk.M.120.KW.01/04	mężczyzna	ok. 13 lat	0,71184	$\pm 0,000012$
Pk.M.120.KW.01/04	kobieta	ok. 4 lat	0,71252	$\pm 0,000010$
Pk.M.120.KW.06	mężczyzna	dojrzały	0,71072	$\pm 0,000009$
Pk.M.120.KW.09	mężczyzna	młody dorosły	0,71060	$\pm 0,000010$

## Mobilność

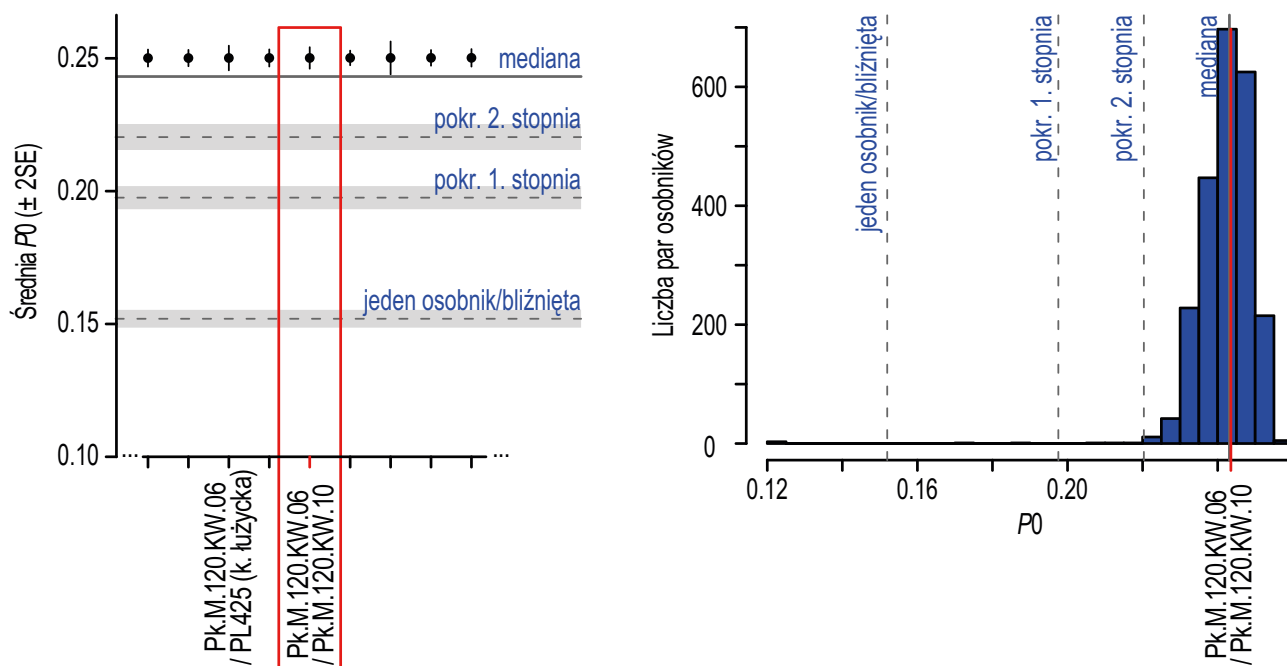
Analiza mobilności została wykonana dla czterech osób, w tym dwóch mężczyzn: Pk.M.120.KW.06 oraz Pk.M.120.KW.09 oraz dwójki osobników niedorosłych z kontekstu Pk.M.120.KW.01/04 w wieku około 4 lat oraz około 13 lat (**tab. II.2**). Wyniki odniesiono do wartości strontu obserwowanych na terenie Pomorza Gdańskiego, zamykających się w przedziale od 0,7075 do 0,7128 (Fetner, analizy własne, **ryc. II.12**). Wszystkie badane osoby mają lokalne wartości proporcji izotopów strontu, tj. w przedziale wartości spotykanych na obszarze Pomorza Gdańskiego, co wskazuje na lokalne pochodzenie. Interesujący jest fakt, że dwóch mężczyzn ma podobne wartości (Pk.M.120.KW.06: 0,71072 i Pk.M.120.KW.09: 0,71060), co oznacza, że mogą pochodzić z tego samego lub nieodległego od siebie miejsca. Wartości te są różne od tych odnotowanych u dzieci; kolejno u młodszego (0,71252) i starszego (0,71184) z dzieci. Po pierwsze wskazuje to, że urodziły się w różnych miejscach, po drugie, były to miejsca różne od miejsca urodzenia pochowanych tutaj mężczyzn.

## Genetyka

Dla badanych prób otrzymano od 3,2 do 36,1 milionów odczytów fragmentów DNA. Zawartość endogennego DNA (unikalnych cząsteczek mapujących się do genomu człowieka) w próbkach była bardzo zróżnicowana i wynosiła od 0,05% do 28,7%. We wszystkich próbkach zaobserwowano wzór uszkodzeń typowy dla cząsteczek kopalnego DNA, a analizy bioinformatyczne wykluczyły kontaminacje. Jedynie dwie próby (Pk.M.120.KW.06 i Pk.M.120.KW.10) wykazały wystarczająco dobry stan zachowania DNA, który pozwolił na dalsze analizy (poza określeniem płci genetycznej, które można było przeprowadzić również dla Pk.M.120.KW.01/04, młodsze dziecko ok. 4 lat oraz Pk.M.120.KW.01/04, dziecko ok. 13 lat). Dla Pk.M.120.KW.06 określono płeć jako męską, haplogrupę mitochondrialną N1a1a1a1 występującą z niską częstością w populacjach z terenów całej Eurazji, obecną co najmniej od neolitu na terenach obecnej Mongolii oraz co najmniej od wczesnej epoki brązu w Europie oraz haplogrupę chromosomu Y G-FGC962 (G2a2b2a1a1a1a1~), która najczęściej występuje wśród populacji zamieszkującej obszar współczesnych Niemiec i Wysp Brytyjskich.

**Tabela II.3.** Zestawienie wyników analizy genetycznej szczątków z krypty Wejherów. Oprac. M. Molak  
**Table II.3.** Results of the genetic analysis conducted on the remains from the crypt of the Wejher family. Compiled by M. Molak.

Nr inwentarza	Liczba odczytów sekwencji fragmentów DNA	Liczba odczytów mapujących się do genomu ludzkiego	Liczba unikalnych odczytów mapujących się do genomu ludzkiego	% duplikacji - sekwencjonowanie płytkie (sekw. głębokie)	% unikalnych zmapowanych odczytów - sekwencjonowanie płytkie (sekw. głębokie)	Proporcja odczytów na chr. X do X+Y z przedziałem ufności; proporcja pokrycia chr. X do autosomów	Płeć genetyczna	Haplogrupa mitochondrialna (l. odczytów mt)	Haplogrupa chrom. Y (l. odczytów chr. Y)
Pk.M.120. KW.01/04 Młodsze dziecko (ok. 4 lat)	7 491 487	31 506	13 779	0,01% (9,63%)	0,07% (4,80%)	0,013± 4,2×10 <sup>-5</sup> ; 0,840	K	- (14)	- (7)
Pk.M.120. KW.01/04 dziecko (ok. 13 lat)	7 646 801	435 597	66 723	0,06% (44,02%)	0,80% (1,48%)	0,569± 1,4×10 <sup>-4</sup> ; 0,432	M	- (73)	- (199)
Pk.M.120. KW.06	36 122 968	27 856 309	2 864 064	2,16% (87,62%)	28,70% (2,22%)	0,147± 3,1×10 <sup>-6</sup> ; 0,450	M	N1a1a1a1 (1694)	G2a2b- 2a1a1a1a1~ (6895)
Pk.M.120. KW.09	3 241 721	60 284	5 991	0,00% (63,98%)	0,05% (5,34%)	- /-	?	- (0)	- (1)
Pk.M.120. KW.10	16 879 835	11 728 781	2 230 149	1,32% (78,28%)	15,22% (12,41%)	0,002± 4,4×10 <sup>-8</sup> ; 0,925	K	H16+152 (641)	n/d (262)



**Ryc. II.13.** Analiza pokrewieństwa osobników Pk.M.120.KW.06 i Pk.M.120.KW.10 na tle zbioru 66 losowych osobników z historycznych i prehistorycznych mieszkańców terenów współczesnej Polski (liczba par = 2278). Prawy panel: Proporcja niezgodnych alleli (P0) w parze Pk.M.120.KW.06 i Pk.M.120.KW.10 oraz ośmiu innych parach w analizowanym zbiorze o zbliżonych wartościach P0 (w tym pary osobnika Pk.M.120.KW.06 z osobnikiem datowanym na Epokę Brązu, oznaczonym PL425). Szara prosta poprzeczna wyznacza medianę wartości P0 dla badanego zbioru par osobników. Szare przerywane proste wraz z szarym zacienieniem wyznaczają oczekiwaną wartość P0 dla, kolejno od góry, pokrewieństwa drugiego stopnia (np. rodzeństwo przyrodnie, siostrzeniec - ciotka, babcia - wnuk), pokrewieństwa pierwszego stopnia (np. rodzic - dziecko, rodzeństwo) oraz pary genotypów tego samego osobnika lub bliźnięt jednojajowych, wraz z przedziałami ufności (2x błąd standardowy (SE)). Panel prawy przedstawia rozkład wartości P0 w analizowanym zbiorze par osobników, tj. liczby par osobników dla których wartość P0 mieści się w przedziałach wartości na osi x zblokowanych po 0.005. Wartości oczekiwane dla poszczególnych typów relacji oznaczono szarymi prostymi. Wartość dla pary Pk.M.120.KW.06 i Pk.M.120.KW.10 oznaczono czerwoną prostą. Oprac. M. Molak

**Fig. II.13.** Kinship analysis conducted for the individuals from the contexts of Pk.M.120.KW.06 and Pk.M.120.KW.10 against a set of 66 individuals representing historical and prehistorical inhabitants of what is now Poland (number of pairs = 2278). The right panel: Proportion of mismatching alleles (P0) in the pair of Pk.M.120.KW.06 and Pk.M.120.KW.10 and another eight pairs from the analysed assemblage with similar P0 values (including the pair of the individual from Pk.M.120.KW.06 with the individual dated to the Bronze Age and marked as PL425). The grey transversal line shows the median for the P0 value for the investigated set of pairs of individuals. The grey dashed lines, together with the grey shading, indicate (in top-to-bottom order) the expected value of P0 for second degree kinship (e.g. step-siblings, nephew-aunt, or grandmother-grandson), first degree kinship (e.g. parent-child or siblings), and pairs of genotypes of the same individual or identical twins, along with the confidence intervals (2x standard error (SE)). The right panel shows the distribution of P0 values in the analysed set of pairs of individuals, i.e., the number of pairs for whom P0 fits in the range on the x axis binned by 0.005. Values expected for particular types of relations were marked with grey lines. The value for the pair of Pk.M.120.KW.06 and Pk.M.120.KW.10 was marked with a red line. Compiled by M. Molak.

Pk.M.120.KW.10 z kolei to kobieta o haplogrupie mitochondrialnej H16+152, występującej z niską częstością w populacjach z terenów całej Europy, obecną w Europie co najmniej od neolitu. Przynależność do różnych haplogrup mitochondrialnych wyklucza pokrewieństwo tych osobników w linii

żeńskej. Podsumowanie wyników znajduje się w **tabeli II.3**.

Przeprowadzona analiza na poziomie DNA jądrowego dodatkowo wykluczyła bliskie (1. lub 2. stopnia) pokrewieństwo pomiędzy osobnikami Pk.M.120.KW.06 i Pk.M.120.KW.10 (**ryc. II.13**).

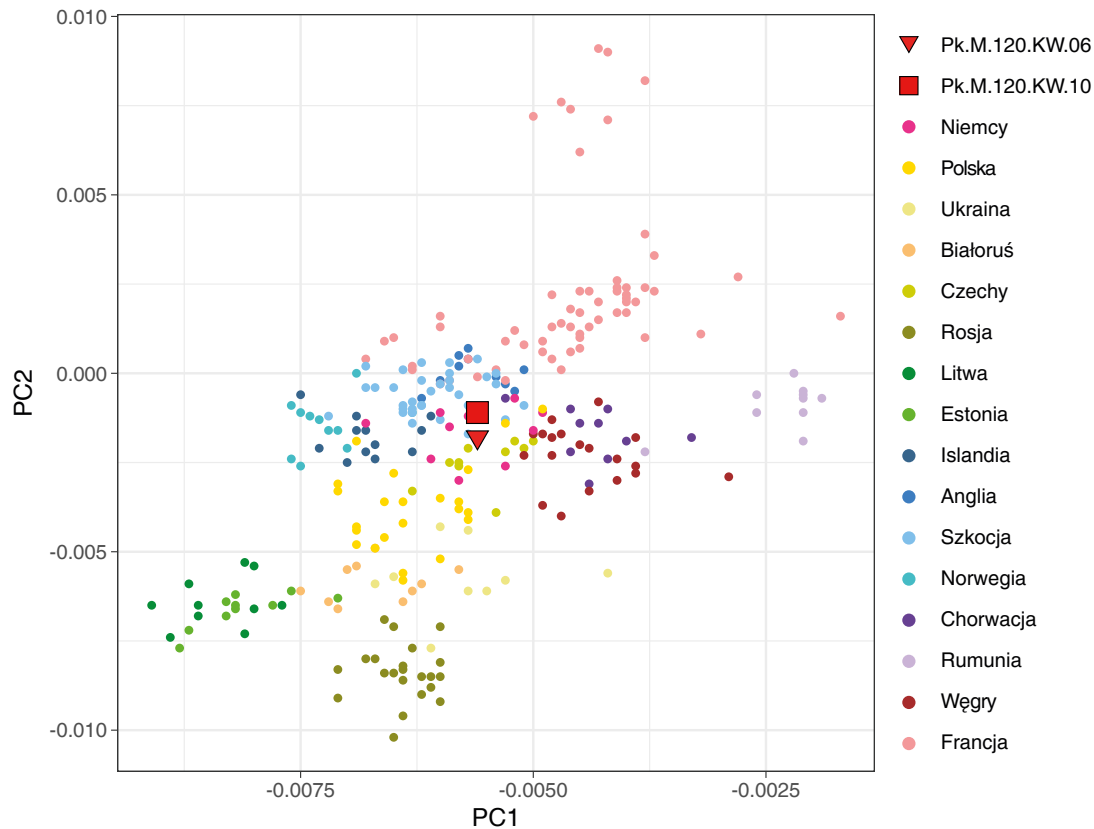
Poziom podobieństwa genetycznego między nimi jest bardzo bliski medianie wartości w całym przeanalizowanym zbiorze par osobników i bardzo zbliżony do np. wartości poziomu pokrewieństwa mężczyzny Pk.M.120.KW.06 z osobnikiem datowanym na Epokę Brązu (oznaczonym PL425) – z pewnością niebędącym jego bliskim krewnym. Wartości P0 dla obu tych par odbiegają znacznie od wartości dla bliskiego pokrewieństwa oczekiwanych dla analizowanego zbioru osobników.

Oboje, Pk.M.120.KW.06 i Pk.M.120.KW.10, prezentują pulę genetyczną bardziej typową dla współczesnych mieszkańców Europy Zachodniej niż Polski (ryc. II.14), choć niewykluczającą ich typowo “polskiego” pochodzenia.

## Podsumowanie

Podczas badań krypty Wejherów pozyskano szczątki co najmniej 9 dorosłych osób oraz co najmniej czwórki dzieci. Pochowane tutaj dzieci zmarły w wieku od noworodka po około 13 lat. Badania genetyczne pozwoliły na określenie płci nastolatka jako męskiej oraz młodszego dziecka jako żeńskiej. Wśród dorosłych znajdowały się osoby obu płci zmarłe młodo, ale również w wieku starczym.

Na podstawie danych historycznych i osteologicznych, podjęto próbę identyfikacji pochowanych tutaj osób. Na podstawie płci i wieku szczątki pozyskane w kontekście Pk.M.120.KW.05 przypisane zostały Annie Wejher. Osoba złożona w północno-



**Ryc. II.14.** Analiza Głównych Składowych (PCA, ang. Principal Component Analysis) obrazująca odległość genetyczną (podobieństwo we wzorze alleli w obrębie analizowanych markerów genetycznych) osobników Pk.M.120.KW.06 (czerwony trójkąt) i Pk.M.120.KW.10 (czerwony kwadrat) do osób reprezentujących współczesne populacje europejskie. Każdy punkt na wykresie reprezentuje jedną osobę. Pochodzenie osób oznaczone jest kolorami. Oś X reprezentuje Składową 1, wyjaśniającą 5,8% zmienności w analizowanym zbiorze; oś Y, Składową 2 - 2,7% zmienności. Oprac. M. Golubiński

**Fig. II.14.** Principal Component Analysis illustrating the genetic distance (similarity in the pattern of alleles among the analysed genetic markers) between Pk.M.120.KW.06 (red triangle) and Pk.M.120.KW.10 (red square), and individuals representing the contemporary European populations. Each point on the graph indicates a single individual. The place of origin of each individual was marked with colours. The x axis represents Principal Component 1 which explains 5.8% of the variance in the analysed assemblage; the y axis represents Principal Component 2 explaining 2.7% of the variance. Compiled by M. Golubiński.



-zachodnim narożniku krypty (Pk.M.120.KW.06) mogła być Ernestem Wejherem, na co wskazuje płeć, wiek oraz zmiany w obrębie przyczepów mięśni. W kontekście Pk.M.120.KW.07 i Pk.M.120.KW.08 znajdowały się prawdopodobnie szczątki Kacpra Szczawińskiego, na co wskazuje jednak jedynie podobieństwo wieku i płci. W kontekście Pk.M.120.KW.09 znajdowały się prawdopodobnie szczątki Marcina Władysława Wejhera, który w młodym wieku zginął podczas walki. Szczątki oprócz podobieństwa wieku i płci, noszą również ślady rany ciętej żebra powstałej w niedługo przed lub po śmierci. Ostatnia ze zidentyfikowanych tu osób to Jan Wejher, prawdopodobnie złożony przy południowej ścianie krypty (Pk.M.120.KW.11). Identyfikacja opierała się na podstawie podobieństwa wieku i płci oraz zmian patologicznych w obrębie stóp. Według opracowań historycznych Jan Wejher zmarł zmożony podagrą (por. Blusiewicz, rozdział I w tym tomie).

Badania biochemiczne i paleogenetyczne pozwoliły na próbę określenia pochodzenia i diety. Cztery z badanych osób urodziły się na terenie Pomorza Gdańskiego, prawdopodobnie w trzech różnych miejscach. Genetyczne określenie płci potwierdziło wyniki analiz osteologicznych dla dwóch osobników oraz na identyfikację płci dwóch osobników młodocianych. Genetycznie, dwie osoby o najlepszym

stanie zachowania DNA przynależą do populacji europejskiej, choć są nosicielami stosunkowo rzadko występującej, lecz niespecyficznej regionalnie, zmienności na poziomie mitochondrialnego DNA. Mężczyzna (Pk.M.120.KW.06) genetycznie w linii męskiej zbliżony jest bardziej do populacji współczesnych Niemiec i Wielkiej Brytanii. Dieta czterech innych dorosłych osób była zbliżona do diety elit ówczesnej Rzeczypospolitej.

Największym ograniczeniem w prowadzonych badaniach był stopień zachowania szczątków. W kilku trumnach zastosowano wapno, prawdopodobnie w celach higienicznych. W tych przypadkach obecność wapna doprowadziła do znacznego zniszczenia kości.

### **Podziękowania**

Opracowanie szczątków kostnych oraz badania biochemiczne zostały sfinansowane z programu rządowego "Ochrona zabytków archeologicznych" ze środków Ministra Kultury i Dziedzictwa Narodowego pochodzących z Funduszu Promocji Kultury – państwowego funduszu celowego

Analiza genetyczna sfinansowana została z grantu Narodowego Centrum Nauki nr 2018/31/B/HS3/01464.

## Bibliografia

- Boldsen J. L., Milner G. R., Ousley S. D. 2022. Paleodemography: From archaeology and skeletal age estimation to life in the past. *Yearbook Biological Anthropology* 178 (Suppl. 74), p. 115–150. <https://doi.org/10.1002/ajpa.24462>
- Brooks S., Suchey J. M. 1990. Skeletal age determination based on the os pubis: A comparison of the Acsádi-Nemeskéri and Suchey-Brooks methods. *Human Evolution* 5 (3), p. 227–238. <https://doi.org/10.1007/BF02437238>
- Buckberry J. L., Chamberlain A. T. 2002. Age estimation from the auricular surface of the ilium: A revised method, *American Journal of Physical Anthropology* 119 (3), p. 231–239. <https://doi.org/10.1002/ajpa.10130>
- Buikstra J. E., Ubelaker D. H. (eds) 1994. *Standards for Data Collection from Human Skeletal Remains*. Fayetteville: Arkansas Archeological Survey.
- Danecek P., Bonfield J. K., Liddle J., Marshall J., Ohan V., Pollard M. O., Whitwham A., Keane T., McCarthy S. A., Davies R. M., Li H. 2021. Twelve years of SAMtools and BCFtools. *Gigascience* 10 (2), p. 1–4. <https://doi.org/10.1093/gigascience/giab008>
- DiGangi E. A., Bethard J. D., Kimmerle E. H., Konigsberg L. W. 2009. A new method for estimating age-at-death from the first rib. *American Journal of Physical Anthropology* 138 (2), p. 164–176. <https://doi.org/10.1002/ajpa.20916>
- Dopieralska J. 2003. Neodymium Isotopic Composition of Conodonts as a Palaeoceanographic Proxy in the Variscan Oceanic System. PhD thesis, Giessen: Justus-Liebig-Universität Gießen.
- Dufour E., Holmden C., Van Neer W., Zazzo A., Patterson W. P., Degryse P., Keppens E. 2007. Oxygen and strontium isotopes as provenance indicators of fish at archaeological sites: the case study of Sagalassos, SW Turkey. *Journal of Archaeological Science* 34 (8), p. 1226–1239. <https://doi.org/10.1016/j.jas.2006.10.014>
- Faccia K. J., Williams R. C. 2008. Schmorl's Nodes: clinical significance and implications for the bioarchaeological record. *International Journal of Osteoarchaeology* 18 (1), p. 28–44. <https://doi.org/10.1002/oa.924>
- Fu Q., Li H., Moorjani P., Jay F., Slepchenko S. M., Bondarev A. A., Johnson P. L. F., Aximu-Petri A., Prüfer K., de Filippo C., Meyer M., Zwyns N., Salazar-García D. C., Kuzmin Y. V., Keates S. G., Kosintsev P. A., Razhev D. I., Richards M. P., Peristov N. V., Lachmann M., Douka K., Higham T. F. G., Slatkin M., Hublin J. J., Reich D., Kelso J., Bence Viola T., Pääbo S. 2014. Genome sequence of a 45,000-year-old modern human from western Siberia. *Nature* 514 (7523), p. 445–449. <https://doi.org/10.1038/nature13810>
- Gansauge M. T., Aximu-Petri A., Nagel S., Meyer M. 2020. Manual and automated preparation of single-stranded DNA libraries for the sequencing of DNA from ancient biological remains and other sources of highly degraded DNA. *Nature Protocols* 15, p. 2279–2300. <https://doi.org/10.1038/s41596-020-0338-0>
- Harney E., Cheronet O., Fernandes D. M., Sirak K., Mah M., Bernardos R., Adamski N. et al. 2021. A minimally destructive protocol for DNA extraction from ancient teeth. *Genome Research* 31 (3), p. 472–483. <https://doi.org/10.1101/gr.267534.120>
- İşcan M. Yaşar, Loth S. R., Wright R. K. 1984. Age Estimation from the Rib by Phase Analysis: White Males. *Journal of Forensic Sciences* 29 (4), p. 1094–1104. <https://doi.org/10.1520/JF-S11776J>
- İşcan M. Yaşar, Loth S. R., Wright R. K. 1985. Age Estimation from the Rib by Phase Analysis: White Females. *Journal of Forensic Sciences* 30 (3), p. 853–863. <https://doi.org/10.1520/JFS11018J>

- Jónsson H., Ginolhac A., Schubert M., Johnson P. L. F., Orlando L. 2013. mapDamage2.0: fast approximate Bayesian estimates of ancient DNA damage. *Bioinformatics* 29 (13), p. 1682–1684. <https://doi.org/10.1093/bioinformatics/btt193>
- Koch P. L. 2007. Isotopic Study of the Biology of Modern and Fossil Vertebrates. In: R. Michener, K. Lajtha (ed.). *Stable Isotopes in Ecology and Environmental Science*. John Wiley & Sons, Ltd., p. 99–154. <https://doi.org/10.1002/9780470691854.ch5>
- Korneliussen T. S., Albrechtsen A., Nielsen R. 2014. ANGSD: Analysis of Next Generation Sequencing Data, *BMC Bioinformatics* 15 (1), p. 356. <https://doi.org/10.1186/s12859-014-0356-4>
- Lee-Thorp J. A. 2008. On Isotopes and Old Bones. *Archaeometry* 50 (6), p. 925–950. <https://doi.org/10.1111/j.1475-4754.2008.00441.x>
- Longin R. 1971. New Method of Collagen Extraction for Radiocarbon Dating. *Nature* 230 (5291), p. 241–242. <https://doi.org/10.1038/230241a0>
- Lovejoy C. O., Meindl R. S., Pryzbeck T. R., Mensforth R. P. 1985. Chronological metamorphosis of the auricular surface of the ilium: A new method for the determination of adult skeletal age at death. *American Journal of Physical Anthropology* 68 (1), p. 15–28. <https://doi.org/10.1002/ajpa.1330680103>
- Meyer M., Kircher M. 2010. Illumina Sequencing Library Preparation for Highly Multiplexed Target Capture and Sequencing. *Cold Spring Harbor Protocols* 2010 (6): pdb.prot5448. <https://doi.org/10.1101/pdb.prot5448>
- Mitnik A., Wang C.C., Svoboda J., Krause J. 2016. A Molecular Approach to the Sexing of the Triple Burial at the Upper Paleolithic Site of Dolní Věstonice, *PLoS One* 11: e0163019. <https://doi.org/10.1371/journal.pone.0163019>
- Monroy Kuhn J. M., Jakobsson M., Günther T. 2018. Estimating genetic kin relationships in prehistoric populations. *PLoS One*, 13 (4): e0195491. <https://doi.org/10.1371/journal.pone.0195491>
- Ortner D. J. 2003. *Identification of Pathological Conditions in Human Skeletal Remains*. San Diego: Academic Press.
- Patterson N., Price A. L., Reich D. 2006. Population Structure and Eigenanalysis. *PLoS Genetics* 2 (12): e190. <https://doi.org/10.1371/journal.pgen.0020190>
- Peyrégne S., Prüfer K. 2020. Present-Day DNA Contamination in Ancient DNA Datasets. *BioEssays: News and Reviews in Molecular, Cellular and Developmental Biology* 42 (9): e2000081. <https://doi.org/10.1002/bies.202000081>
- Phenice T. W. 1969. A newly developed visual method of sexing the os pubis. *American Journal of Physical Anthropology* 30 (2), p. 297–301. <https://doi.org/10.1002/ajpa.1330300214>
- Pin C., Briot D., Bassin C., Poitrasson F. 1994. Concomitant separation of strontium and samarium-neodymium for isotopic analysis in silicate samples, based on specific extraction chromatography. *Analytica Chimica Acta* 298 (2), p. 209–217. [https://doi.org/10.1016/0003-2670\(94\)00274-6](https://doi.org/10.1016/0003-2670(94)00274-6)
- Quinlan A. R. 2014. BEDTools: The Swiss-Army Tool for Genome Feature Analysis. *Current Protocols in Bioinformatics* 47: 11.12.1-11.12.34. <https://doi.org/10.1002/0471250953.bi1112s47>
- Ralf A., González D. M., Zhong K., Kayser M. 2018. Yleaf: Software for human Y-chromosomal haplogroup inference from next-generation sequencing data. *Molecular Biology and Evolution* 35(5), p. 1291–1294. <https://doi.org/10.1093/molbev/msy032>
- Reitsema L. J., Kozłowski T., Jankauskas R., Drażkowska A., Krajewska M. 2016. Dieta przedstawicieli elit społecznych Rzeczypospolitej na podstawie analiz stabilnych izotopów węgla i azotu w szczątkach szkieletowych. W: *Kultura funeralna elit Rzeczypospolitej od XVI do XVIII wieku na terenie Korony i Wielkiego Księstwa Litewskiego*, Toruń: Wydawnictwo Naukowe Uniwersytetu Mikołaja Kopernika, s. 230-246.

- Renaud G., Slon V., Duggan A. T., Kelso J. 2015. Schmutzi: estimation of contamination and endogenous mitochondrial consensus calling for ancient DNA. *Genome Biology* 16, p. 224. <https://doi.org/10.1186/s13059-015-0776-0>
- Roberts C.A., Boylston A., Buckley L., Chamberlain A.C., Murphy E.M. 1998. Rib lesions and tuberculosis: the palaeopathological evidence. *Tubercle and Lung Disease* 79 (1), p. 55–60. <https://doi.org/10.1054/tuld.1998.0005>
- Rohland N., Glocke I., Aximu-Petri A., Meyer M. 2018. Extraction of highly degraded DNA from ancient bones, teeth and sediments for high-throughput sequencing. *Nature Protocols* 13 (11), p. 2447–2461. <https://doi.org/10.1038/s41596-018-0050-5>
- Ruff C. B., Holt B. M., Niskanen M., Sladěk V., Berner M., Garofalo E., Garvin H. M. i in. 2012. Stature and body mass estimation from skeletal remains in the European Holocene. *American Journal of Physical Anthropology* 148 (4), p. 601–617. <https://doi.org/10.1002/ajpa.22087>
- Schaefer M., Black S., Scheuer L. 2009. *Juvenile Osteology: A Laboratory and Field Manual*. London: Elsevier. <https://doi.org/10.1016/B978-0-12-374635-1.X0001-X>
- Skoglund P., Storå J., Götherström A., Jakobsson M. 2013. Accurate sex identification of ancient human remains using DNA shotgun sequencing. *Journal of Archaeological Science* 40 (12), p. 4477–4482. <http://dx.doi.org/10.1016/j.jas.2013.07.004>
- Šlaus M., Strinović D., Škavić J., Petrovečki V. 2003. Discriminant Function Sexing of Fragmentary and Complete Femora: Standards for Contemporary Croatia. *Journal of Forensic Science* 48 (3), p. 509–512. <https://doi.org/10.1520/JFS2002159>
- Steckel R. H., Larsen C. S., Sciulli P. W., Walker P. L. 2018. Data Collection Codebook. In: C. A. Roberts, C. S. Larsen, J. Baten, R. H. Steckel (ed.). *The Backbone of Europe: Health, Diet, Work and Violence over Two Millennia*. Cambridge: Cambridge University Press, p. 397–427. <https://doi.org/10.1017/9781108379830.016>
- Ubelaker D. H. 1989. *Human Skeletal Remains: Excavation, Analysis, Interpretation*. Washington: Taraxacum.
- Waldron T. 2008. *Palaeopathology*. Cambridge: Cambridge University Press. <https://doi.org/10.1017/CBO9780511812569>
- Weissensteiner H., Pacher D., Kloss-Brandstätter A., Forer L., Specht G., Bandelt H. J., Kronenberg F., Salas A., Schönherr S. 2016. HaploGrep 2: mitochondrial haplogroup classification in the era of high-throughput sequencing. *Nucleic Acids Research* 44 (W1), p. W58–W63. <https://doi.org/10.1093/nar/gkw233>
- Wickham H. 2009. *ggplot2: Elegant Graphics for Data Analysis*. Springer Science & Business Media. <https://doi.org/10.1007/978-3-319-24277-4>

*Rafał Fetner, Elżbieta Jaskulska, Michał Golubiński, Martyna Molak*

## HUMAN REMAINS FROM THE CRYPT OF THE WEJHER FAMILY IN THE SAINT APOSTLES PETER AND PAUL CHURCH IN PUCK – SUMMARY

Human remains subjected to the present analysis were discovered in 2021, during excavations in the crypt of the Wejher family in Puck. At the time of discovery, the remains lay dispersed on the crypt floor or mixed in clusters between fragmented coffins – such arrangement resulted presumably from multiple episodes of human activity within the crypt. The study aimed primarily at determining the number of interred individuals and identifying them based on the skeletal morphologies and through cross-comparing analyses of kinship, provenance, and diet against historical sources.

The state of preservation of the remains varied from very good to severely damaged. The decisive factor in that regard was the presence of lime in some coffins, dictated presumably by sanitary concerns. Whenever possible, age at death, biological sex, stature, and pathological lesions were determined for each individual. For several of them, biochemical analyses of stable isotopes of carbon and nitrogen could be conducted, based on samples of bone collagen, as well as measurements of strontium isotope ratios in the tooth enamel and palaeogenetic analyses. Results of these analyses are presented separately for particular studied bone assemblages collected in sectors marked out within the crypt.

Remains of at least four children were found in multiple contexts (primarily between

**Pk.M.120.KW.01** and **Pk.M.120.KW.04**). The youngest child died soon after birth, the second before the first birthday, the third around the age of four, and the oldest around the age of thirteen. The sex of two of the children was determined genetically: the individual aged four was identified as a female, whereas the thirteen-years-old as a male. The biochemical analyses indicated that two children (aged four and thirteen, approximately) were born in different places in Pomerania, differing also from two other adults studied for strontium isotope ratio (**Pk.M.120.KW.06** and **Pk.M.120.KW.09**).

The **Pk.M.120.KW.05** assemblage contained the remains of a woman who died in old age. Her stature was estimated to ca. 163 cm. The skeleton exhibited numerous degenerative traits related to senility, including osteophytes indicating pathologies in the joints. Such degenerative changes are typical and progress with age. Presumably, they restricted mobility in the affected joints and limited physical activity. Likely traces of local inflammations were observed on the ribs and metacarpi. The tibia showed non-specific and hard-to-interpret new periosteal bone formation. The biochemical analyses of collagen indicated that the woman's diet did not differ from that of the period's elite. Cross-comparison of the skeletal traits with historical sources allows for a possible identification of the interred individual as Anna

Wejher, which is corroborated by the sex and age at death determination based on the skeleton as well as preserved remains of grave garb. Anna Wejher was the only woman interred in the crypt who lived to a ripe old age.

The **Pk.M.120.KW.06** context yielded remains of an adult man as well as scattered single bones of another adult and two children. The stature of the man was estimated to ca. 170 cm. His skeleton exhibited pathological changes typical for advanced age, specifically including degenerative arthropathy as well as dental caries and ante-mortem tooth loss. A healed fracture of the right arm was also recorded. Beside the observed pathologies, significant changes were noted in muscle attachment areas, indicating considerable physical strain during life. The manubrium and body of the sternum exhibit changes possibly resulting from an autopsy. An evenly-edged and continuous cut runs through both bones, separating the left and right sides, suggesting that it may have been made by a surgeon, either peri- or shortly post-mortem. The analysis of diet indicates that the eating habits of the individual did not differ from those of the period's elite. The interred person was most likely born in Pomerania and belonged to the European genetic population, although with stronger ties to the contemporary populations from Germany and the British Isles than Poland. The individual can be identified as Ernest Wejher, who died at the age of 81 after an intensive life as a military man. Such identification is corroborated by the determined sex, age at death, as well as numerous lesions related to the advanced age and physical strain.

The assemblages of **Pk.M.120.KW.07** and **Pk.M.120.KW.08** contained the remains of a mature man mixed with the bones of two other adults and one newborn. Observed pathological changes affected the man's joints and were degenerative in nature. The main remains may be linked to Kacper Szczawiński, who died at the age of 37. However, such identification is based only on the similarities in sex and age of the individual.

The **Pk.M.120.KW.09** assemblage included remains of at least two adult individuals: a mature woman and a young man. The stature of the man was estimated to ca. 163 cm. Since the

remains were heavily mixed, thus complicating differentiation between bones belonging to the aforementioned individuals, observed lesions were described jointly. Most of them affected the spinal joints, causing pain and limiting mobility. Non-specific degenerative changes were found also on the heads of the ribs as well as in joints of the shoulders, knees, and feet. The left tibia exhibited superficial non-specific calcification of the periosteum. The left shoulder joint showed changes probably reflective of an affliction of the rotator cuff, especially the subacromial impingement syndrome, which is one of the most common causes of pain in the shoulder joint. A unique lesion in the discussed assemblage is a mark left by a cutting wound located on the right rib and bearing no signs of healing, thus suggesting that it was sustained around the time of death. Quite possibly it was not the only wound on this individual – traces of trauma were also found on the occipital and parietal bones, but this observation remains tentative, as the skeleton had been severely damaged with lime. Another lesion which originated around the time of death was a cut visible in the mediolateral plane on the manubrium sterni. The origin of this wound remains unclear: it may have been sustained in combat but could have just as well resulted from an autopsy. The preserved teeth showed infrequent presence of dental caries and dental calculus. The biochemical analyses confirmed that the man interred here was born in a place similar to that from **Pk.M.120.KW.06**. His diet did not differ from that of the period's elite. The man can be identified as Marcin Władysław Wejher, who died at the age of 24, shot at the Battle of Tsaryovo-Zaymishche. This identification was based on the congruent sex, skeletal age, and observed pathologies, some of which may have resulted from combat. The woman could not be identified.

The **Pk.M.120.KW.10** assemblage contained the remains of two adults – a woman and a man – and at least one child. Almost all the bones were severely damaged by a lime deposit which, at the same time, helped preserve soft tissues in some parts. The poor state of preservation precluded the identification of the interred individuals.

The palaeogenetic analysis confirmed the woman's sex and European ancestry. The woman is not closely related to **Pk.M.120.KW.06** according to nuclear DNA nor related to him in the maternal line according to mitochondrial DNA analysis.

The assemblage of **Pk.M.120.KW.11** consisted of the remains of a mature man, a young adult, and a child below the age of 16. The observed lesions included a healed fracture in the right knee, which caused further degeneration of the same joint and it can be a possible explanation for the osteoarthritic changes in the left ankle, which was consequently more loaded. In all likelihood, these changes resulted in impaired mobility. However, in spite of the affliction, the said limb continued to be intensively loaded. Apart from changes due to the trauma, the bones of both feet exhibited changes related

to erosion and porosity, which typically stem from rheumatoid arthritis. Gout, as a potential alternative diagnosis, seems unlikely due to the characteristics of lesions (further explanation in the main text). It cannot be excluded then that the accompanying arthrosis in the knee joints and the left ankle may be related to the progressive erosion of the joints of the feet, causing the pathological gait and intensive strain within the upper joints of both legs. Degenerative changes were also noted on the single lumbar vertebra. The biochemical analyses indicated that the elderly man's diet did not differ from that of the period's elite. He may be identified as Jan Wejher, who died of gout at the age of 47, according to historical sources. Such identification is supported by the age, sex, and skeletal pathologies determined for the individual.





Małgorzata Grupa, Dawid Grupa

## WYBRANE UBIORY GROBOWE Z KRYPTY WEJHERÓW W KOŚCIELE PW. ŚW. ŚW. APOSTOŁÓW PIOTRA I PAWŁA W PUCKU

W trakcie badań archeologicznych w krypcie Wejherów w kościele parafialnym w Pucku odkryto różnego rodzaju tkaniny jedwabne, będące pozostałościami odzieży grobowej (**ryc. III.1**) lub obić trumien (**ryc. III.2**). Niektóre z nich można było już przy wstępnych oględzinach przypisać do określonych rodzajów szat. Były to: suknia damska o kroju zachodnim, dziecięca suknia ze stanikiem o kroju wamsa, żupan, delia oraz workowata suknia grobowa<sup>1</sup>.

Znalezione w Pucku relikty tkanin są wyjątkowe w odniesieniu do kolekcji znajdujących na terenie Polski. Należą do rzadkich, bardzo wczesnych znalezisk z okresu nowożytnego, pochodzą bowiem z 1. połowy XVII wieku, z określonej imiennie krypty. Z dotychczas prowadzonych badań pozyskiwano zabytki z 2. połowy XVII wieku (Grupa M. 1998, 287–291; 2005, 69–70; Drązkowska i in. 2015, 129–165; Dudziński i in. 2015; Grupa M. i in., 2015a, 49–147; Grupa D. 2016, 173–180; Nowak 2017, 173–184; Kulpa i in. 2019a, 138–139; 2019b, 136–137; Nowosad i in. 2021a, 63–71; Drązkowska, Nowak 2022) i późniejsze (Drązkowska 2007; 2008; 2012, 173–180; 2016, 179–188; Grupa M. 2012a, 110–123; 2012c, 182–185; 2014b, 15–21; 2017, 205–207; 2018b, 33–41;

2021, 55–58; Grupa M., Wojciechowska, Dudziński 2013, 99–105; Majorek, Grupa M. 2014, 92–97; Grupa M., Nowosad 2018, 284–289; Nowosad, Grupa M. 2020, 247–252, 258–266). Starsze znaleziska pochodziły z ossuariów (Grupa M. i in. 2015a, 15–18; Kozłowski, Grupa M. 2019, 33–51; Dudziński i in. 2015; 2020, 241–246), a w takich przypadkach trudno jest przyporządkować je do ubioru którejkolwiek ze złożonych tam osób<sup>2</sup>.



**Ryc. III.1.** Tkaniny jedwabne przed konserwacją. Fot. D. Grupa.

**Fig. III.1.** Silk textiles before conservation. Photo by D. Grupa.

<sup>1</sup> Pewna część znalezisk ze względu na rozdrobnienie i stan zachowania wymaga znacznie bardziej czasochłonnnych zabiegów konserwatorskich i będzie przedmiotem dalszych opracowań.

<sup>2</sup> Tylko na podstawie odnalezionych fragmentów jedwabnych tkanin w krypcie południowej w kościele w Gniewie można było stwierdzić, że złożone szczątki ludzkie pochowano pod posadzką kościoła w XVII wieku (Grupa D. 2015, 193–197; Grupa M. i in. 2015a, 70–80).



**Ryc. III.2.** Atlasowe obicie trumny ozdobione koronkami klockowymi i mosiężnymi ćwiekami.  
Fot. D. Grupa.

**Fig. III.2.** Satin coffin upholstery decorated with bobbin lace and upholstery studs. Photo by  
D. Grupa.

### Stan zachowania i przyczyny zniszczeń tkanin

Tkaniny złożone wraz z pochówkami do krypty narażone były na działanie mikroorganizmów i procesów chemicznych zachodzących w środowisku sztucznie stworzonym przez człowieka. Intensywność tych procesów zależała od zmian wilgotnościowych i temperatury, rodzaju gleby, a także rodzaju surowców, z którymi miały kontakt. W takich przypadkach zachodzi zjawisko korozji biologicznej, a proces rozkładu ciała jest jednym z czynników przyspieszających destrukcję. Degradację tkanin intensyfikują również rozkładające się szczątki organiczne takie jak: kwiaty w bukietach i wiankach złożone do grobu ze zmarłym, deski trumien, pozostałości po owadach i larwach (odchody, wylinki), a także produkty korozji z ozdób wykonanych z metali kolorowych i żelaza, pozostawiające bardzo widoczne ślady przebarwień lub dziury w szatach. W efekcie tych połączonych działań włókna jedwabiu stają się rozpułchnione

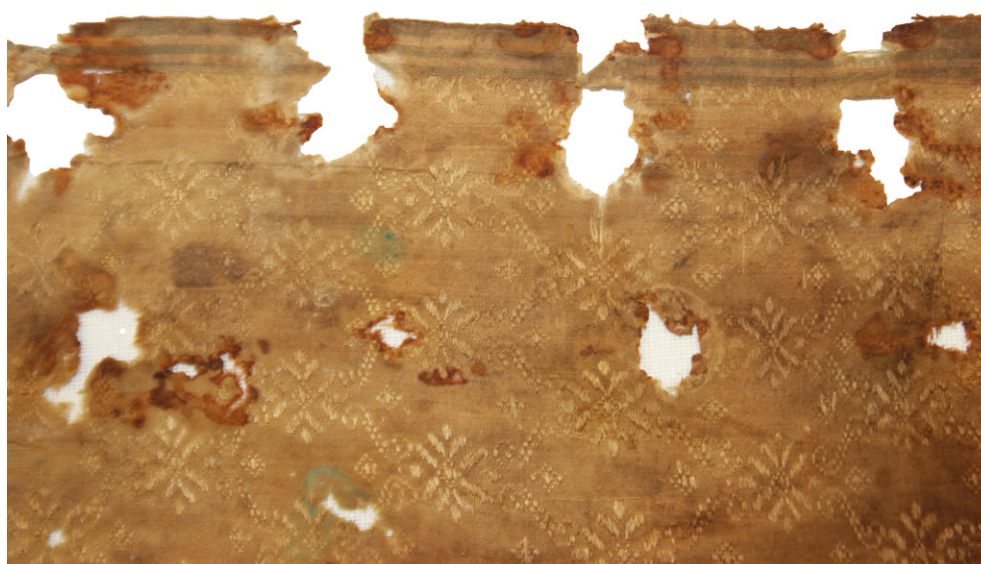
i niespójne, a tkaniny wełniane i lniane ulegają całkowitemu rozkładowi nawet w czasie 5-10 lat (Grupa M. 2007, 207–218; 2013a, 133–137; 2014a, 125–131; Grupa M. i in. 2015a, 43).

Budowa chemiczna tkaniny jedwabnej sprzyja wchłanianiu różnorodnych związków, które są wytwarzane przez wyżej wspomniane czynniki, a także powstają podczas procesów chemicznych zachodzących w glebie i kryptach. Powodują one usztywnienie włókien oraz inicjują rozkład barwników. Tkaniny zazwyczaj całkowicie tracą pierwotną barwę. Wszystkie są w kolorach żółtobrunatnych – w różnych odcieniach, z różnymi przebarwieniami, które zazwyczaj uzależnione są od pierwotnej barwy tkaniny i elementów znajdujących się na niej, takich jak kwiaty, dewocjonalia, deski ze smołą lub dziegiem (Miazga 2018, 163–165; Miazga, Grupa M., Grupa D. 2018, 68–74). W miejscach gdzie znajdowały się ozdoby przypięte mosiężnymi lub żelaznymi szpilkami pozostały na tkaninie ślady po korozji metali: zielone w przypadku brązów



**Ryc. III.3.** Tkanina jedwabna ze śladami po korozji szpilek krawieckich wykonanych ze stopu miedzi. Fot. D. Grupa.

**Fig. III.3.** Silk textile with traces of corrosion left by copper-alloy tailor's pins. Photo by D. Grupa.



**Ryc. III.4.** Rdzawe produkty korozji żelaza na tkaninie. Fot. D. Grupa.

**Fig. III.4.** Traces of iron rust on the textile. Photo by D. Grupa.

i mosiądzów (**ryc. III.3**) i rdzawe w przypadku żelaza<sup>3</sup> (**ryc. III.4**) (Grupa M. 2012c, 184; 2014a, 127–129; Grupa M. i in. 2015a, 44, 51, 56; Miazga 2017, 126–127; Nowosad, Grupa M., Grupa D. 2018, 68–73, Grupa M., Łukaszewicz 2019, 139–144), które na trwałe zabarwiły i usztywniły włókna oraz rozluźniły splot. Wszystkie pozyskane z krypty tekstylia zostały poddane zabiegom konserwatorskim, które obejmowały oczyszczanie, dezynfekcję i impregnację. Jeśli było to możliwe wykonano ich rekonstrukcje. Wiele relikwów tkanin było rozproszonych i znajdowano je w różnych miejscach krypty, co było zapewne efektem działalności zwierząt lub ludzi<sup>4</sup>.

W pierwszej fazie zabiegów konserwatorskich starano się uporządkować tkaniny w obrębie grup technologicznych. Przyporządkowanie tkanin z zachowanych częściowo ubiorów, tzn. damskiej sukni (**ryc. III.5**), żupana wykonanego z adamaszku (**ryc. III.6**) oraz fragmentów tkaniny aksamitowej z doszitymi pasamonami i kneflami (**ryc. III.7**) nie przysparzało większych problemów. Trudniejsze w klasyfikacji były mniejsze strzępki tkanin pozyskane luzem z przestrzeni krypty, których ocena była możliwa dopiero po zakończeniu procesu konserwacji.

Każdy wydobyty fragment tkaniny zanurzano w letniej kąpeli wodnej z dodatkiem środka powierzchniowoczynnego i pozostawiano przynajmniej na jedną godzinę w celu zmiękczenia zabrudzeń znajdujących się na ich powierzchni. Następnie wymieniano wodę i oczyszczano powierzchnię igłą preparacyjną i miękkim pędzlem z obydwu stron. Intensywność tych zabiegów zależała od kondycji poszczególnych fragmentów.



**Ryc. III.5.** Relikty sukni o kroju zachodnim przypisywanej Annie Wejher, bezpośrednio po wydobyciu. Fot. K. Blusiewicz.

**Fig. III.5.** Remains of the Western fashion dress attributable to Anna Wejher right after unearthing. Photo by K. Blusiewicz.

<sup>3</sup> W momencie, gdy metalowy przedmiot trafia do gleby czy krypty zaczyna się stopniowy rozkład i jego powierzchnia zostaje pokryta produktami korozji. Produktami procesu rozkładu są związki chemiczne, które powstały w wyniku oddziaływania na metal tlenu, siarki i innych jonów (Grupa M. 2013a, 133–135; 2014b, 18; 2023, 239; Grupa M. i in. 2015b, 41). Barwa zielona dostarcza informacji o dużej zawartości miedzi w stopie. Czasami informacji o przypinanych ozdobach dostarczają wyłącznie kości szkieletu, ponieważ tkanina wełniana lub lniana ulega rozkładowi, a produkty korozji zabarwiają kości w miejscu przypięcia ozdoby

(Grupa M. i in. 2015b, 39; Nowosad, Grupa M., Grupa D. 2018, 70).

<sup>4</sup> Zazwyczaj poszukiwano kosztowności, którymi ozdabiano zmarłego. Jednak złodziejom umykał fakt, że rodzina przed złożeniem ciała do grobu zdejmowała biżuterię z jego rąk. Te często stosowane zabiegi nie były ujawniane, co wprowadzało złodziei w błąd. W czasie przeszukiwania krypty po prostu kosztowności nie było, co musiało wprawiać w furję osoby liczące na łatwy łup. Badania archeologiczne często ujawniają takie fakty, które niestety niezbyt dobrze świadczą o poszanowaniu zmarłych przez następne pokolenia (Grupa D. 2019, 189–198).

Później tkaniny płukano aż do pozbycia się środka powierzchniowoczynnego. Kolejnym krokiem było rozłożenie każdego fragmentu na folii i maksymalne rozprostowanie wszystkich fałd i zagięć. Niektóre fragmenty były na tyle zniszczone, że ułożenie ich na płasko nie zawsze było możliwe i pozostawiano je bez manualnej interwencji. Po wykonaniu tych czynności nakładano pędzlem środek dezynfekujący i owijano folią. Tkaniny w tym środowisku pozostawały od 5 do 7 dni, po czym nasączano je impregnatem składającym się z następujących składników: poliglikol etylenowy 400 (PEG 400), Paraloid B-72 w metanolu i toluenie. Ponownie tkaniny zawijano w folię i pozostawiano na kolejne siedem dni. Tak przygotowane tekstylia układano pojedynczo na półkach komory próżniowej. W pierwszej kolejności obniżano we wnętrzu komory temperaturę do  $-20^{\circ}\text{C}$ , a po

włączeniu pompy stabilizowano proces impregnacyjny. Zazwyczaj w ciągu jednej doby można było wysuszyć jedwabie i przygotować do analiz technologicznych. Najpierw podzielono je makroskopowo, a następnie poddano analizom mikroskopowym określając splot i gęstość tkaniny. Dzięki temu można było określić liczbę rodzajów tkanin znalezionych w krypcie oraz wytypować określone zestawy do rekonstrukcji szat. Jak już wspomniano, część szat można było opisać zaraz po wydobyciu, jednak tkaniny w splocie płóciennym 1/1 nie dawały początkowo takich możliwości. W końcowej fazie analiz ustalono, że w opracowywanym zbiorze znajduje się ich sześć rodzajów. Wstępna ocena tych zestawów wskazuje, że uszyto z nich proste suknie grobowe w formie worka (zarówno dziecięce, jak i dla dorosłych osób), czapkę oraz przypuszczalnie poduszkę i materac.



**Ryc. III.6.** Relikty żupana bezpośrednio po wydobyciu.  
Fot. K. Blusiewicz

**Fig. III.6.** Remains of the *żupan* right after unearthing.  
Photo by K. Blusiewicz.



**Ryc. III.7.** Relikty delii bezpośrednio po wydobyciu.  
Fot. K. Blusiewicz.

**Fig. III.7.** Remains of the *delia* right after unearthing.  
Photo by K. Blusiewicz.

W dalszych pracach skupiono się na rekonstrukcji ubiorów. Dobrano kolorystycznie tkaninę dublażową i wycięto z niej podstawę według przygotowanych wykrojów. Niezależnie od tych działań na jednostronny papier silikonowy naniesiono mieszankę klejów Acrylkleber firmy Lascaux. Każdy fragment tkaniny archeologicznej nakładano na przesuszony już klej – lewą stronę tkaniny do płaszczyzny z klejem<sup>5</sup>. Tkaninę zespojono z klejem żelazkiem dublażowym. Na przygotowany element nałożono wilgotną tkaninę lnianą i przeprasowano gorącym żelazkiem, sprawdzając czy woda odparowała całkowicie, a lewa strona papieru pozostała sucha. Najtrudniejszym krokiem w tych działaniach było zdjęcie z papieru silikonowego tkaniny archeologicznej z klejem i nałożenie jej na przygotowaną tkaninę dublażową w odpowiednim miejscu wykroju<sup>6</sup>. Oczywiście znowu należało te elementy połączyć ze sobą, dlatego kolejny raz przeprasowano je przez mokrą tkaninę gorącym żelazkiem. Naniesienie tkaniny archeologicznej na wykroje przygotowane z tkaniny dublażowej jest konieczne w całym procesie rekonstrukcji, ponieważ przez dublaż wzmacniamy tkaninę archeologiczną, co pozwala na dalsze działania przy odtwarzaniu pierwotnego wyglądu szaty. Poszczególne elementy ubioru zszyto ze sobą ręcznie ścięgiem za igłą. Następnie dodano nową podszewkę (żupan) i wierzchnią stronę (delia). Efekt końcowy tych prac zaprezentowano poniżej.

## Odzież grobowa z krypty Wejherów

### *Suknia damska*

Jest to dwuczęściowa suknia, składająca się z dopasowanego stanika i mocno przymarszczonej, obszernej spódnicy o długości 107 cm. Uszyto ją z jednobarwnej, najprawdopodobniej czerwonej tkaniny jedwabnej z drobnym, roślinnym ornamentem w układzie alternującym (**ryc. III.8**), kształtowanym nićmi osnowy. Stanik miał dwudzielny przód o długości 35,5 cm. Do jego krawędzi po obu stronach doszyto po 11 żelaznych uszek<sup>7</sup> obszytych jedwabną nicią, przez które przeciągano pleciony sznurek w kolorze zbliżonym do sukni (**ryc. III.9**). Dekolt ozdobiono kołnierzem o wysokości 8,5 cm. Spód kołnierza wykonano z czterech fragmentów tej samej tkaniny, co suknię, natomiast wierzch z trzech fragmentów tkaniny w splocie atlasowym, w jaśniejszym kolorze. Pierwotnie kołnierz wypchano watą wełnianą, w taki sposób, aby był lekko odchylony od pionu<sup>8</sup>. Najprawdopodobniej był to podkład pod biały koronkowy kołnierz wymieniany w zależności od potrzeb (ze względu na zabrudzenia) lub upodobań (wymiana na wyższy lub niższy koronkowy kołnierz) właścicielki. Wąskie rękawy o długości 60 cm uszyto z dwóch części zszytych ze sobą. Każdy z nich dopasowano do kształtu górnej kończyny, od łokcia delikatnie je zakrzywiając i zwężając<sup>9</sup> (**ryc. III.10**). Obwód nadgarstka wynosi 18 cm. Doszyto do niego usztywniającą listwę z adamaszku o wysokości 2 cm.

<sup>5</sup> Nie zawsze można jednoznacznie określić lewą i prawą stronę tkaniny. Uwaga ta wynika z wielu doświadczeń, gdzie pomyłkowo nałożono tkaninę prawą stroną i dopiero w czasie rekonstrukcji zauważano ten błąd. W bardzo zniszczonych tekstyliach nie zawsze daje się tę pomyłkę naprawić.

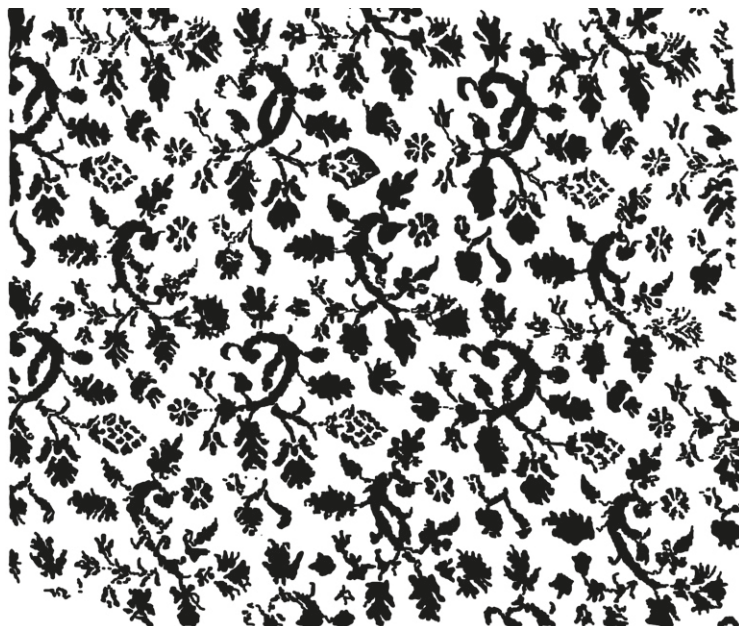
<sup>6</sup> Te działania muszą być przemyślane i odpowiednio wcześniej przygotowane na podstawie znajomości wykrojów odzieży z określonego wieku. Są to w dużym zakresie badania kostiumologiczne poparte praktyką, ponieważ krawiectwo w okresie nowożytnym rządziło się swoimi prawami i niewiele miało wspólnego z obecnymi wykrojami noszonej odzieży.

<sup>7</sup> Elementy żelazne bardzo intensywnie skorodowały w krypcie. Stworzyły się grube nawarstwienia, które ob-

ciążyły włókna zarówno tkaniny z sukni, jak i podszewki. Stąd zniszczenia tkaniny wokół nich – brak elastyczności włókien, dziury, zmiana kolorystyki.

<sup>8</sup> Drobinki waty znaleziono w szwie łączącym wierzch ze spodem kołnierza. Zarówno kołnierze damskie, jak i męskie wykonywano na różne sposoby: zszywając kilka warstw tkanin, wypychając odpowiednią ilością waty lub stosując oba te rozwiązania. Te sposoby miały w odpowiedni sposób kształtować i eksponować zewnętrzną część kołnierza wykonanego np. z cienkiej, przezroczystej tkaniny lnianej (Braun i in. 2016, 145–147) lub z koronki igłowej lub klockowej.

<sup>9</sup> Wykroj rękawa jest podobny do typowych z tego okresu, wykorzystywanych również w męskich wamsach, a później w szustokorach (Braun i in. 2016, 32, 36, 54, 59; Grupa M. 2005, 126, 133).



Ryc. III.8. Schemat raportu roślinnego tkaniny sukni o kroju zachodnim.  
Rys. D. Grupa, M. Grupa.

Fig. III.8. Silk textile report with floral ornament from the Western fashion dress. Drawing by D. Grupa and M. Grupa.

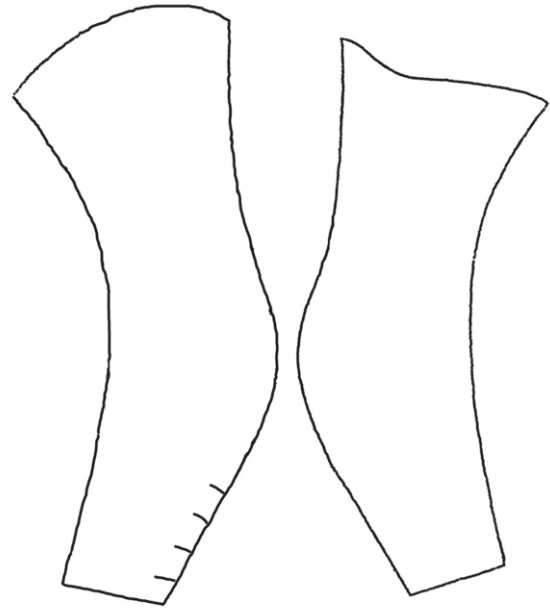


Ryc. III.9. Stanik sukni po konserwacji. Fot. D. Grupa.

Fig. III.9. Bodice of the dress after conservation. Photo by D. Grupa.

Na te wstawki wykorzystano dwa różne rodzaje adamaszków (**ryc. III.11a, b**). Od nadgarstka do wysokości 9 cm rękaw zapinano na 4 żelazne haftki, zwane w nowożytności kobyłkami (Grupa M., Nowak, Nowosad 2018, 119–130), których uszka obdziergano jedwabną nicią w kolorze tkaniny (**ryc. III.12**). Ta część rękawa podszyta była gładką tkaniną jedwabną w splocie płóciennym 1/1 (**ryc. III.13**). Rękawy zakończono na wysokości nadgarstka półokrągłymi baskinami o maksymalnej wysokości 4,2 cm (**ryc. III.14**) i podszyto podobnie, jak część z haftkami, tkaniną jedwabną w splocie płóciennym 1/1. W środku znajdowały się gałazki z liśćmi, poukładane po skosie<sup>10</sup>, utrzymujące mankiet w odpowiedniej pozycji – mankiet musiał sterczeć (**ryc. III.15**). Obszerny, marszczony dół sukni o dolnym obwodzie około 410 cm wykonano z różnej wielkości (10 szt.) fragmentów. Najszersze z nich miały 56,5 cm – była to szerokość tkaniny zdejmowanej z warsztatu tkackiego. Wzdłuż dolnej krawędzi spódnicy (18 cm powyżej) przyszyto ozdobę wykonaną z tej samej tkaniny co suknia – zmarszczoną w harmonijkę taśmę o szerokości 2 cm (**ryc. III.16**). Po bokach spódnicy w szwach znajdowały się wpuszczane kieszenie<sup>11</sup> o wysokości otworu 12 cm (**ryc. III.17**).

Rozłączone części sukni damskiej znalezione zostały w sektorach KW.04 i KW.05 – wewnątrz i na zewnątrz dobrze zachowanej trumny pod północną ścianą krypty, identyfikowanej z pochówkiem Anny Wejher (por. Fetner i in., rozdział III w tym tomie).



**Ryc. III.10.** Schemat rękawa sukni. Rys. M. Grupa.

**Fig. III.10.** Sleeve pattern of the dress. Drawing by M. Grupa.

<sup>10</sup> Jest to niezwykle ciekawy element w wykańczaniu odzieży, wskazujący, że wspomagano się właściwie najprostszymi surowcami znajdującymi się w przysłowiowym ogródku. W dotychczasowej literaturze kostiumologicznej brak informacji na temat tego typu wydawałoby się drobiazgow, co wynika z niedostatecznego jeszcze i wciąż powiększającego się zasobu wiedzy. Doskonałym przykładem może być znalezisko czechmana z Torunia. W publikacji M. Grupy (2005, 69) podano informację, że młodzieniec został pochowany w za dużym ubiorze. Jednak kolejne badania w kryptach pod prezbiterium kościoła Imienia NMP w Szczuczynie pozwoliły na zweryfikowanie tego zbyt pochopnego stwierdzenia (Grupa M. 2012a, 109; Dudziński, Krajewska, Grupa M. 2013, 14–17; Kozłowski, Krajewska 2013, 88–97). Otóż na zmumifikowanych naturalnie ciałach odnaleziono ubiory, które były watowane (wykorzystywano watę z włókien wełnianych lub lnianych) na grubość od 1 do 7 cm. Zapewne czechman z Torunia był również watowany. Ponieważ w materiałach toruńskich zarejestrowano tylko tkaniny jedwabne, należy przypuszczać, że watolinę wykonano z włókien wełnianych lub lnianych, które w szybkim tempie się rozłożyły i nie

pozostawiły śladów na wewnętrznej powierzchni ubioru. Do tego należy dodać, że tkanina jedwabna była pokryta drobnym wzorem kwiatowym i to również uniemożliwiło zaobserwowanie przeszyci wykonanych w czasie podszywania watoliny z podszewką do zewnętrznej (jedwabnej) warstwy ubioru. Odkrycie to pozwoliło na weryfikację materiałów znalezionych na terenie Polski, podczas gdy w archeologicznych publikacjach zachodnioeuropejskich brakuje na ten temat informacji. Jedynie publikacje dotyczące zbiorów muzealnych dają możliwości zapoznania się z szyciem wielowarstwowych ubrań lub watowanych (Braun i in. 2016, 26–30) i są niezwykle pomocne w analizie każdego detalu. Dotychczas nie znaleziono jednak wzmianki na temat wykorzystywania gałazek do usztywniania kołnierzy czy mankietów. Jak można zauważyć w tym przypadku każde kolejne odkrycie i drobiazgowo analiza przynosi nowe informacje. W związku z tym nasuwają się następujące pytania: czy roślinne materiały wykorzystywano w całej Europie? Czy był to tylko pojedynczy przypadek?

<sup>11</sup> Nie da się ustalić głębokości kieszeni, ponieważ nie zarejestrowano tkaniny, z której ją wykonano. Zapewne była to tkanina lniana, która się rozłożyła.





**Ryc. III.11.** Schematy raportów tkanin z wstawek w mankietach rękawów: a) mankiet prawy, b) mankiet lewy. Rys. D. Grupa, M. Grupa.

**Fig. III.11.** Silk textiles report from gussets in sleeve cuffs: a) right cuff; b) left cuff. Drawing by D. Grupa and M. Grupa.



**Ryc. III.12.** Prawy rękaw sukni z wszytym mankietem z adamaszku i metalowymi pętelkami obszytymi jedwabną nicią. Fot. D. Grupa.

**Fig. III.12.** Right sleeve of the dress with a sewn-in satin cuff and metal loops braided with a silk thread. Photo by D. Grupa.



**Ryc. III.13.** Lewa strona rękawa z widoczną jedwabną podszewką. Fot. D. Grupa.

**Fig. III.13.** Left side of the sleeve with visible silk lining. Photo by D. Grupa.



**Ryc. III.14.** Baskinka z rękawa. Fot. D. Grupa.

**Fig. III.14.** Baskin of the sleeve. Photo by D. Grupa.



**Ryc. III.15.** Baskinka wszyta w prawy rękaw sukni – po rekonstrukcji. Fot. D. Grupa.

**Fig. III.15.** Baskin sewn into the right sleeve of the dress after reconstruction. Photo by D. Grupa.



Ryc. III.16. Ozdoba dolnej części spódnicy. Fot. D. Grupa.

Fig. III.16. Decoration on the bottom part of the skirt. Photo by D. Grupa.



Ryc. III.17. Fragment spódnicy po konserwacji z widocznym otworem na kieszeń. Fot. D. Grupa.

Fig. III.17. Fragment of the skirt with a visible hole for a pocket after conservation. Photo by D. Grupa.

### Suknia dziecięca

Fragmety sukni dziecięcej w początkowym stadium opracowania były dość trudne w interpretacji ze względu na ich duże rozdrobnienie i rozproszenie poszczególnych elementów na obszarze krypty. Zebrano je z sektorów KW.09, KW.10 i KW.11 krypty (por. Blusiewicz, rozdział I w tym tomie). Dopiero po konserwacji możliwe było zgrupowanie fragmentów tkaniny atłasowej i koronki z sukni (**ryc. III.18**) z różnych numerów inwentarzowych, oddzielając je od szczątków atłasowego obicia jednej z trumien (**ryc. III.2**), również znajdujących w różnych miejscach krypty. Zachowana, zbliżona obecnie do złocistej kolorystyka obu tkanin utrudniała to zadanie<sup>12</sup>.

W pierwszej ocenie fragmenty sukni grobowej określono jako atłasowy wams<sup>13</sup> ozdobiony koronką klockową, wykonaną z jedwabnych nici z metalowym oplotem, w nomenklaturze pasamoników zwaną również galonem<sup>14</sup>. Dopiero po dopasowaniu każdej z części okazało się, że owszem, szata ma elementy kroju wamsa w górnej części przodu (**ryc. III.19**), ale pozostałe części wskazywały na nietypowy, dzwonołaty krój dołu sukni. Najważniejszym detalem były stosunkowo dobrze zachowane koronki o szerokości 0,9 cm, których oplot wykonano ze srebrnej, pozłacanej taśmy (szer. 0,25 mm; por. tab. I.3). Na ich podstawie można było określić pełną długość sukni na 71 cm, z czego wysokość stanika z przodu wynosiła tylko 9,2 cm. Był on zapinany na dziewięć mosiężnych haftek i zakończony prosto na całej szerokości (**ryc. III.19**). Dekolt sukni był półokrągły, liczący 37 cm w obwodzie. Dół stanika nosił ślady przesyć. Mogły być do niego doszyte trapezowate baskiny, których wymiary

10 x 12 cm określono na podstawie koronki przyszytej z trzech stron do reliktyw atłasowej tkaniny. Z analizy detali można domniemywać, że cztery baskinki były przyszyte z przodu. Wydaje się, że od stanika w dół, pod baskinami doszyto dolną część sukni, otwartą z przodu, której pionowe krawędzie nie były obszyte koronką (**ryc. III.20**). Trudno natomiast wnioskować o sposobie doczepienia baskin z tyłu, ponieważ nie ma pewności w jaki sposób ukształtowano plecy. Z tej części pozostała tylko koronka przszyta pośrodku w dwóch rzędach. Na podstawie analizy kroju ustalono, że koronka na plecach przszyta była od środka dekoltu aż po krawędź dolną, wskazując na jednolity, a nie dwuczęściowy krój tylnej części sukni. Niestety, na podstawie zachowanych fragmentów (104,5 cm) nie udało się ustalić obwodu dołu sukni, ale można założyć, że miał co najmniej 150 cm. Rękaw sukni miał długość 27 cm z rozcięciem pośrodku na wierzchniej stronie o długości 14 cm mierząc od nadgarstka w górę. Rękaw od spodu nie był zszyty, dlatego jego dolna część układała się swobodnie. Na całej długości ozdobiono go pośrodku dwoma rzędami koronki, tylko wokół otworu rozchodziła się ona na boki i ozdabiała jego krawędzie. Górę rękawów wykończono skrzydełkami o szerokości 1,2 cm. Na całej długości skrzydełek naszyto co 1 cm dwie równoległe do siebie koronki. Z zachowanych fragmentów można było uchwycić również szerokość ramienia sukni, która wynosiła 6,5 cm. Zachowane fragmenty wskazują na podszycie całej sukienki podszewką jedwabną w splocie płóciennym 1/1. Wszystkie elementy sukni połączono jedwabną nicią, szwem za igłą lub na okrętkę, łącząc podszewkę z tkaniną z sukni.

<sup>12</sup> Wydaje się jednak, że tkanina wykorzystana do uszycia sukni była czerwonego koloru, ponieważ w niektórych strefach pod koronką można było zauważyć taką barwę.

<sup>13</sup> Wams – kaftan męski dopasowany do torsu ciała, sięgający talii, na wysokości talii doszyte trapezowate baskiny. Prząd dwuczęściowy, zapinany na małe guziki metalowe lub szmuklerskie. Podkrój szyi półokrągły lub z wysoką stojką. Rękawy w miarę dopasowane, skrojone były z typowym dla tego okresu zakrzywionym kształtem, tzn. zgiętej w łokciu kończyny górnej. Nad główką rękawa często różnej wielkości skrzydełka. W skórzanych wamsach skrzydełka były wypchane np. filcem, układające się na półokrągło (Grupa M. 2012b, 164, 166; 2022, 261). Wamsy należące do

przedstawicieli wyższych sfer ozdabiano zazwyczaj w nadmiarze wstążkami i koronkami. Noszono je w zachodniej Europie już w końcu XV wieku aż po połowę XVII (Braun i in. 2016). Wzorowano na nich wiele kształtów gorsetów sukni damskich w XVII i XVIII wieku.

<sup>14</sup> Galonem nazywano wyrób pasmanteryjny (wstążki, koronki) z zawartością nici z metalowym oplotem (Grupa M., Grupa D. 2013, 43; Grupa M. i in. 2014, 81; 2015a, 60–64; Grupa M., Drązkowska 2014, 328–329; Grupa M. 2018b, 37). Wąskie koronki klockowe nazywano również forbotkami (Gutkowska-Rychlewska 1968, 422; Kowalkowski, Nowosad 2013, 164).



Ryc. III.18. Fragmenty sukni dziecięcej przed konserwacją. Fot. D. Grupa.

Fig. III.18. Fragments of the child's dress before conservation. Photo by D. Grupa.



Ryc. III.19. Stanik o kroju wamsa z sukni dziecięcej. Fot. D. Grupa.

Fig. III.19. Bodice resembling of a doublet from the child's dress. Photo by D. Grupa.



**Ryc. III.20.** Fragmenty dzwonowatej spódnicy z dziecięcej sukni, dół obszyty koronką. Fot. D. Grupa.

**Fig. III.20.** Fragments of the bell-shaped skirt of the child's dress, the bottom braided with lace. Photo by D. Grupa.

### *Żupan*

Żupan dorosłego mężczyzny zachował się tylko częściowo (**ryc. III.21**), dlatego jego długość została określona teoretycznie na około 133,5 cm (**ryc. III.22**). Uszyto go z jedwabnego adamaszku z ornamentem kwiatowym (**ryc. III.23**), w kolorze zbliżonym do czerwonego. Przód był dwudzielny, dopasowany, zapinany do pasa na 17 knefli wysokich na 1,5 cm (**ryc. III.24**). Knefle, zwane też guzikami pasmante-ryjnymi szmuklerskiej roboty wykonane były ze sznurka jedwabnego oplatanego na toczonych drewnianych podkładach, wykonanych najczęściej z miękkiego drewna liściastego<sup>15</sup>. Dekolt żupana wykończono wysoką stójką, o wysokości około 6 cm w środkowej części z tyłu szyi

i łagodnie zwężającą się do 2 cm przy zapięciu. Z przodu, poniżej pasa, umieszczono też kieszeń o wysokości otworu mniej więcej 19 cm. Należy przypuszczać, że z drugiej strony symetrycznie umieszczona była taka sama kieszeń, lecz ten fragment odzieży został zniszczony. Od pasa żupan był znacznie poszerzony przez wszycie po bokach trójkątnych klinów, co dawało około 40 cm poszerzenia na obwodzie dolnej części żupana z każdej strony. Kliny zszywano z dwóch lub trzech fragmentów (**ryc. III.25**), wykorzystując mniejsze kawałki tkaniny. Poza dodatkowymi trójkątnymi klinami wstawiono również klin o dość nietypowym kroju, wszywając go od pachy do dołu (**ryc. III.25**, fragment od lewej strony). Górna jego część posze-

<sup>15</sup> W bardzo nielicznych przypadkach znajduje się knefle całkowicie zachowane, tzn. z drewnianą podkładką, na której opleciono jedwabną nić lub nić jedwabną z metalowym opłotem. W przypadku żupana z Pucka knefle zachowane są w całej postaci. Jednak wykonanie analiz

drewna wiązałyby się z rozbiórką przynajmniej jednego z nich. W tym przypadku o gatunku drewna można wnioskować powołując się na badania podkładek drewnianych z Gdańska i Płonkowa (Grupa M., Nowak, Nowosad 2018, 127; Grupa M., Grupa D., Michalik 2020, 532–534).

rzała górną część żupana w prawym boku mniej więcej o 4 cm. Zakładając, że taki sam wszyto po drugiej stronie w lewym boku i po dodaniu kolejnych 4 cm obwód pasa wynosił 112 cm. Całkowity obwód dołu żupana miał około 325 cm. Szeroki rękaw o długości 62,5 cm zwężał się od łokcia do nadgarstka, a zakończony był mankietem w formie prostokąta o szerokości 16 cm i wysokości 5,5 cm. Mankiet ten częściowo zakrywał rękę do linii palców, a taki jego krój nazywany jest psim uchem (Drażkowska

2008, 50; Drażkowska i in. 2015, 156; Grupa M. 2022, 72 i nn.). Zarówno fragmenty stójki, jak i krawędzie rękawów nie nosiły śladów intensywnego użytkowania, dlatego można przypuszczać, że został on uszyty krótko przed śmiercią właściciela.

Pozostałości żupana znalezione zostały w zachodniej części krypty, w sektorze KW.10, obok trumny Pk.M.120.KW.11. Zostały zdjęte z ciała i zwinięte w kłęb wraz z innymi tkaninami, wśród których rozpoznano relikty delii.



Ryc. III.21. Relikty żupana po konserwacji. Fot. D. Grupa.

Fig. III.21. Remains of the *żupan* after conservation. Photo by D. Grupa.



Ryc. III.22. *Żupan* po rekonstrukcji. Fot. D. Grupa.

Fig. III.22. *Żupan* after reconstruction. Photo by D. Grupa.





Ryc. III.23. Schemat raportu jedwabnego adamaszku z żupana. Rys. D. Grupa, M. Grupa.

Fig. III.23. Damask with floral ornament of the *żupan*. Drawing by D. Grupa and M. Grupa.



Ryc. III.24. Knefel od żupana. Fot. D. Grupa.

Fig. III.24. Textile button from the *żupan*. Photo by D. Grupa.



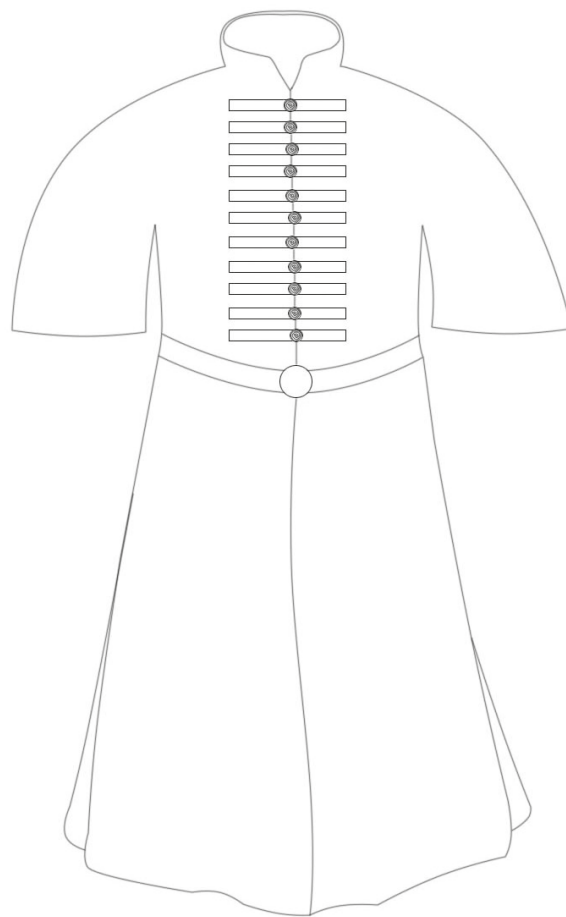
Ryc. III.25. Układ prawego przodu żupana po nałożeniu na tkaninę dublażową. Fot. D. Grupa.

Fig. III.25. Right frontal part of the *żupan* after placing on the doubling material. Photo by D. Grupa.

## Delia

Selekcja tkanin atłasowych pozwoliła na wydzielenie wielu fragmentów, które w ostateczności udało się ułożyć na podstawie znanych rycin przedstawiających delię (**ryc. III.26**). Jej przód był dwudzielny z krawędziami obszytymi plecionym, jedwabnym sznurkiem (**ryc. III.27**). Lewa poła o szerokości 53,5 cm skrojona była na całej długości (144 cm) z jednego kawałka tkaniny. Od wysokości pasa boki poszerzono dwoma klinami. Plecy natomiast zszyto przynajmniej z 16 różnej wielkości fragmentów tkaniny atłasowej<sup>16</sup>, a w dwóch miejscach wstawiono fragmenty kwiecistego adamaszku. W początkowej fazie pracy nad tym ubiorem uznano, że fragmenty adamaszku pochodzą z wyżej opisanego żupana. Dopiero po rozrysowaniu ornamentów okazało się, że były to podobne do siebie lecz dwa różne wzory adamaszków (**ryc. III.28a, b**). Analiza układu tkanin w podszewce pozwoliła na określenie formy rękawa. Ukształtowano go w ten sposób, że tkanina od podkroju szyi, przez ramię przechodziła łagodnie w rękaw sięgający okolic łokcia (**ryc. III.29**). Ta część miała długość 42 cm. Obwód rękawa wynosił mniej więcej 60 cm. Do krawędzi prawego przodu podszewki przyszytych było dziewięć knefli o długości 2,2 cm<sup>17</sup>, które doszyte były do pasamonów o szerokości 2,9 cm i długości 15,5 cm. Pasamony z jednej strony zakończone były kneflami, z drugiej frędzlą o długości 6 cm<sup>18</sup>. Według wszystkich ówczesnych zasad konstruowania strojów, po drugiej stronie znajdowały się analogiczne pasamony z pętelkami, które znalezione zostały luzem w krypcie (**ryc. III.7**). W toku rekonstrukcji niepokój wzbudzały nici pozostałe wzdłuż krawędzi szamerunku znalezionego

przy prawej pole delii, doczepione tylko do krawędzi tkaniny. Wzdłuż boków pasamonów nici nie były poprzerywane – zachowana nić była ciągła, lecz na przodach tkaniny atłasowej z delii nie było śladów po ich przyszyciu. W takiej sytuacji uznano, że szamerunek naszyto na tkaninę, która uległa rozłożeniu. Stąd wysnuto wniosek, że tkanina atłasowa była podszewką delii, a wierzch najprawdopodobniej był



**Ryc. III.26.** Suknia wierzchnia z ozdobnym szamerowaniem – delia. Rys. J. Grupa.

**Fig. III.26.** Outer dress with decorative braiding – delia. Drawing by J. Grupa.

<sup>16</sup> Tyle fragmentów udało się odnaleźć, natomiast biorąc pod uwagę rozmiary delii należy założyć, że wykorzystano przynajmniej drugie tyle. Można przyjąć, że wszystkie były tego samego koloru, jednak w tym przypadku nie było możliwe nawet przybliżone określenie ich barwy.

<sup>17</sup> Knefle z delii, a później z kontusza, były zawsze większe od przyszywanych do żupana. Jeśli delia z żupanem miała tworzyć komplet to przyszywano albo metalowe guzy (małe i duże w taki sam sposób zdobione) lub knefle wykonane w identyczny sposób (małe, duże).

<sup>18</sup> Już we wcześniejszych badaniach nad strojem polskim ustalono, że wyrabianie pasamonów do delii zaczynało się od uformowania odpowiedniej długości pętelki, następnie tkano galon z wszystkich nici osnowy wykorzystanych do jej ukształtowania. Szerokość galonu zależała od grubości i ilości owych nici. Było to bardzo pomysłowe rozwiązanie i gwarantowało dłuższą żywotność tego elementu. Z kneflami było inaczej, ponieważ były przyszywane i częściej się obrywały (Grupa M. 2022, 142–144).



Ryc. III.27. Jedwabny sznurek przyszyty do tkaniny atłasowej – obraz spod mikroskopu. Fot. D. Grupa.

Fig. III.27. Silk thread sewn into a satin cloth – microscopic view. Photo by D. Grupa.



Ryc. III.28. Schematy raportów tkanin z podszewki delii. Rys. D. Grupa, M. Grupa.

Fig. III.28. Silk textiles report from the lining of the *delia*. Drawing by D. Grupa and M. Grupa.



**Ryc. III.29.** Widok na rękaw delii: lewa strona – podszewka.  
Fot. D. Grupa.

**Fig. III.29.** Sleeve of the *delia*: the left side – lining. Photo by D. Grupa.

wykonany z tkaniny wełnianej, która uległa całkowitemu rozkładowi. To tłumaczyłoby również skonstruowanie pleców stroju z tak wielu fragmentów różnych tkanin.

### *Suknia grobowa*

Suknia ta została przygotowana specjalnie jako ubiór na ceremonię pogrzebową. Tkanina obecnie jest ciemnobrązowa, co może sugerować, że była farbowana na czerwony, a może fioletowy kolor, co wyróżniało ją z pozostałych gładkich tkanin odnalezionych w krypcie. Pozostałości ubioru składały się z kilku różnego kształtu fragmentów tkaniny jedwabnej w splocie płóciennym 1/1 (**ryc. III.30**), mocno przymarszczonych z jednej strony i wszytych w wąską listwę. Niestety, ze względu na stan zachowania nie można ustalić, czy był to karczek sukni, czy stanik. Spod listwy wystawały dość licznie pojedyncze nici jedwabne noszące ślady półokrągłych, cyklicznie występujących wgłębień, powstających po przejściu nici prostopadle do zachowanych. Były to zatem relikty drugiej tkaniny – półjedwabnej, której wątek lub osnowa uległy całkowitemu rozkładowi. Kłębowisko podobnych nici jedwabnych odnotowano w tym samym numerze inwentarza (Pk.M.130.KW.09) (**ryc. III.31**) i mogły pochodzić również od tej sukni. Z zachowanych relikwów tkanin wynika zatem, że suknia była dwuwarstwowa. Na wierzchu jedwabnej podszewki znajdowała się tkanina półjedwabna, która ozdabiała lub pokrywała całą jej powierzchnię, zarówno przód, jak i tył. Nie odnaleziono natomiast śladów tkaniny półjedwabnej na powierzchni długich rękawów, uszytych z wielu fragmentów. Rekonstrukcja podszewki dała możli-



**Ryc. III.30.** Fragmenty jedwabnej podszewki z workowatej sukni grobowej oraz nici z tkaniny półjedwabnej przed konserwacją. Fot. D. Grupa.

**Fig. III.30.** Fragments of the silk lining of the sacklike funeral dress and the threads from the fifty-percent silk textile before conservation. Photo by D. Grupa.



**Ryc. III.31.** Relikty półjedwabnej tkaniny po konserwacji. Fot. D. Grupa.

**Fig. III.31.** Remains of the fifty-percent silk textile after conservation. Photo by D. Grupa.

wość oceny jej rozmiarów, stąd uważa się, że była to suknia z długim rękawem uszyta właśnie dla dorosłej osoby. Fragmenty tkanin zszywano dwoma sposobami – fastrygą i ścięgiem za igłą.

## Odzież z krypty Wejherów a moda z przełomu XVI/XVII wieku

Z wcześniejszych opracowań w zakresie historii ubioru wiadomo, że tereny Rzeczypospolitej i Prus Królewskich były miejscem adaptowania wzorów mody wschodniej (męski ubiór polski) i zachodniej (suknie damskie) (Grupa M. 2005, 107–109; 2022, 226–227, 237–238, 248–250; Dudziński i in. 2015, 22–47; Sowina 2016, 175; Nowosad, Grupa M. 2020, 259; Nowosad i in. 2021b, 122–134). Wobec strojów damskich istnieje przekonanie, że największy wpływ na sposób ubierania się polskich szlachcianek w suknie o kroju zachodnim wywarły królowe Cecylia Renata Habsburżanka – żona Władysława IV i Ludwika Maria Gonzaga, żona dwóch królów polskich – Władysława IV i Jana Kazimierza (Bartkiewicz 1979, 236; Dudziński i in. 2015, 16).

W tych poszukiwaniach często zapomina się jednak o królowej Elżbiecie Łokietkównie<sup>19</sup> żonie Karola Roberta, pierwszego Andegawena na tronie węgierskim, czy też królowej Bonie i jej włoskim dworze, który dużo wcześniej oddziaływał intensywnie najpierw na społeczność Krakowa, a potem skutecznie na całe otoczenie związane z królową i jej działalnością w państwie (Gutkowska-Rychlewska 1968, 425; Bartkiewicz 1979, 236; Grupa M. 2018b, 260). W wyprawie ślubnej królowej Bony znajdowały się stroje uszyte z brokatu włoskiego, aksamitów i adamaszków. Były to suknie włoskie, a ich liczba 21 sztuk stanowiła materialne wzory do kopiowania. Wolne, ale pomimo wszystko postępujące przyswajanie elementów mody zachodniej z całym dobrodziejstwem dodatków przenikało do środowiska mieszczańskiego i na dwory szlacheckie oddalone od Krakowa<sup>20</sup>. Był to stały i nieuchronny proces w środowiskach dążących do demonstrowania

swojej pozycji w Rzeczypospolitej (Gutkowska-Rychlewska 1968, 424–426). Dwór niewątpliwie był wzorem dla pozostałych mieszkańców w każdym królestwie (Frankopan 2015, 136–152; Grupa M. 2005, 74–75; 2020, 373–376; Życiorys 2017, 243; Nowosad i in. 2021b, 131–134). Szlachcianki z otoczenia królowych nosiły suknie o podobnym kroju, a ich córki ubierano w taki sam sposób.

Znaleziona w krypte suknia przypisywana Annie Wejher jest typowa dla okresu końca XVI i pierwszych dekad XVII wieku. Potwierdza noszenie sukien zachodnich przez kobiety z terenów Rzeczypospolitej. Podobne znajdujemy na rysunkach i obrazach artystów tworzących chociażby w Gdańsku (Birecki 2020, 171). W przedstawieniach z życia wziętych lub moralizatorskich realizacjach ubiory modelek osadzone są w określonym czasie twórczości artystów (Tylicki 2005). Takie same wzory strojów były noszone przez kobiety wyznania protestanckiego i katolickiego. Nosiły one dwuczęściowe suknie – stanik przypominał klasyczny krój wamsa ze środkowymi baskinkami wydłużonymi w szpic (Grupa M. 2012b, 171), tylko różnej wielkości dekolty zakłócały podstawowy wykrój męskiego stroju. Dół sukni stanowiła mocno przymarszczana spódnica, noszona na licznych halkach, halce na stelażu lub wałku w pasie. Wydawałoby się, że tak ukształtowany model sukni będzie nieciekawym i nudnym, bo przecież powtarzany w ubiorze w nieskończoność. Jednak każda z sukien bogatych przedstawicielek ówczesnego społeczeństwa to właściwie dzieło sztuki. Różnicowały je przede wszystkim: wybór jedwabnej tkaniny (kolor, ornament), do tego wszelkiego rodzaju dodatki – wstążki, koronki (lniane i jedwabne), kamienie szlachetne i przede wszystkim perły, którymi ozdabiano nie tylko suknie, ale również pończochy, kapelusze, rękawiczki czy obuwie.

<sup>19</sup> Elżbieta Łokietkówna starała się sprawować rządy w Polsce za swego syna Ludwika Węgierskiego. Przebywając w Krakowie otaczała się w większości sługami (mężczyźni) węgierskimi noszącymi w dużej mierze stroje orientalne (Grupa M. 2022, 32), jednak dwórki nosiły stroje, które można określić już jako suknie o kroju zachodnim.

<sup>20</sup> Przybycie królowej z wraz dworem łączyło się również z przemieszczeniem się rzemieślników wyrabiających

różnego rodzaju przedmioty wzorowane na obiektach z macierzystego kraju władczyni. To dzięki działalności rzemieślniczej nowo przybyłych poszerzała się oferta wyrobów, jak również rozwijały się nowe technologie. Dużą popularność zyskały ozdoby wykonywane z pereł, zarówno w strojach damskich, jak i męskich. Sprawdzano je na tereny Rzeczypospolitej z Turcji. Duże okazy sprzedawano na sztuki, drobne – rzeczne na kilogramy (Dziubiński 1998, 196–197).

Ich obecność w klasycznej biżuterii tamtego okresu była niepodważalna (Gutkowska-Rychlewska 1968, 250; Turska 1987, 101–106; Dziubiński 1998, 196–197) i w świetle obecnej wiedzy kostiumologicznej dominowały one w europejskiej modzie. Nieodłącznym dodatkiem były też koronkowe mankiety i kołnierze wykonywane zazwyczaj z nici lnianych, które stanowiły dzieła sztuki wykonywane przez zręczne koronczarki<sup>21</sup>.

Nieznany dotychczas element wśród znalezisk sukien grobowych z terenu Polski jest stojący, usztywniony kołnierz, który do tej pory był czytelny tylko w dostępnej ikonografii (Tylicki 2005, 73). Relikty waty zaobserwowane we wnętrzu kołnierza i mankietów sukni Anny Wejher dają możliwość szerszego spojrzenia na te części stroju<sup>22</sup>. W charakterystyce odzieży z badań archeologicznych należy pamiętać o niezachowanych częściach ubioru wykonanych chociażby z lnianych nici. Staniki sukni w XVI i XVII wieku ozdabiano koronkami igłowymi lub klockowymi (Lefébure 1888; Grupa M. 2016, 187–190), albo lnianym, białym kołnierzem ozdobionym wokół koronką. W podobny sposób obszywano mankiety, które przeważnie tworzyły z kołnierzem komplet. Ozdabiano także spódnice, których ogromna płaszczyzna pozwalała na umieszczenie zarówno w pionie, jak i poziomie pasamonów w różnych kombinacjach. W najpopularniejszym układzie było to od 2 do 7 rzędów taśm naszytych wokół brzegu, a czasami prowadzono je też w pionie z przodu spódnicy. W miarę przyrostu

źródeł archeologicznych potwierdzają one wnioski z analizy przedstawień ikonograficznych. Opisywany układ pasamonów widniał na spódnicy znalezionej w krypcie kościoła Niepokalanego Poczęcia NMP w Dubnie (ryc. III.32). Dół sukni z Pucka ozdobiono natomiast bardzo starannie ułożoną taśmą przypominającą harmonijkę (ryc. III.16). Tego typu ozdoby, tylko przygotowane z tkanin wełnianych, znaleziono w Groningen i Gdańsku (ryc. III.33) (Zimmerman 2007, 136–137; Grupa M. 2012b, 93, 233–234).

Przykłady noszonych sukien można często znaleźć w popularnych w XVI i XVII wieku sztambuchach, w których, przy wpisach różnych osób, znajdują się miniatury ilustrujące życie codzienne lub różnego rodzaju uroczystości (Tylicki 2005, 50–51, 72–74; Grupa M. 2012b, 171). Sztambuchy są chyba najczytelniejszymi przekazami o życiu biednych i bogatych w różnych regionach Europy z tamtego czasu. Niektóre z nich odnoszą się do życia w Gdańsku i jego okolicach (Tomkiewicz 1957, 122), co daje możliwość porównania z materiałami archeologicznymi z krypty Wejherów. Ponadto drzeworyty Antona Möllera wydane w Gdańsku w 1601 r. doskonale przedstawiają kobiety z różnych środowisk i ich ubiory (Tylicki 1997, ryc. 1; 2005, tabl. XXIII, XXII, ryc. 41; tabl. XLIX, ryc. 95; tabl. LI, ryc. 98; Grupa M. 2012b, 171, 245–247). Kobiety należące do elity społecznej nosiły suknie zakrywające stopy, natomiast pracujące – nieco krótsze, sięgające nad kostkę lub do połowy łydki (Grupa M. 2012b, 63, 171).

<sup>21</sup> W tamtym czasie istniały dwa podstawowe rodzaje koronek – igłowa i klockowa. Jak same nazwy wskazują do wyrabiania igłowej służyła igła zazwyczaj metalowa – w większości żelazna, ale również posługiwano się igłami z brązu lub mosiądzu. Do produkcji koronki klockowej niezbędne były klocki, które wykonywano przede wszystkim z miękkiego drewna (iglastego, drzew owocowych, jałowca) lub z kości. W Europie zachodniej znane są klocki z palisandru, bukszpanu czy hebanu (Grupa M. Michalik 2020, 528). Wyrób koronek to jedyna gałąź wytwórczości nie przejęta przez mężczyzn w rzemiośle cechowym, chociaż pośmiertne spisy inwentarza niektórych pasamoników w Gdańsku wymieniają drewniane klocki, co świadczyłoby o wytwórczości koronek przez mężczyzn (Grupa M., Michalik 2020, 530). Obecność tych narzędzi można tłumaczyć w różny sposób – pasamonik mógł faktycznie wykonywać sam koronki lub

mogła tą gałęzią wytwórczości zajmować się córka czy żona. Nie ma możliwości rozstrzygnięcia tej kwestii, choć wiadomo, że w pobliskim Gdańsku wytwarzano również tego rodzaju ozdoby. Niestety ślady tej wytwórczości są czytelne właśnie przez obecność narzędzi. Koronek brakuje, a ich znaleziska są wyjątkowo rzadkie (Dudziński, Grupa M., Nowosad 2017, 121, 137; Grupa M., Michalik 2020, 527–529).

<sup>22</sup> Watą jedwabną, wełnianą lub lnianą ocieplano najczęściej odzież wierzchnią lub kaftany pod kołczugi i zbroje płytowe, co widoczne jest w ikonografii europejskiej. Watowane ubiory lub przesłanki do takiej interpretacji znaleziono w Szczuczynie i Lublinie (Grupa M. 2022, 46 i nn.). W odzieży damskiej nie odnotowano takich przypadków. Watowany kołnierz z Pucka jest pierwszym takim odkryciem, dlatego traktujemy go jako unikatowy w materiałach archeologicznych.



**Ryc. III.32.** Spódnica z krypty kościoła Niepokalanego Poczęcia NMP z Dubna po rekonstrukcji. Fot. D. Grupa.

**Fig. III.32.** Skirt from the crypt of the Immaculate Conception of the BVM in Dubno after reconstruction. Photo by D. Grupa.



**Ryc. III.33.** Ozdoby szat z Gdańska – harmonijki. Za Grupa M. 2012b, ryc. 122.

**Fig. III.33.** Decorative elements of the clothes from Gdańsk – concertinas. After Grupa M. 2012b, fig. 122.



**Ryc. III.34.** Suknia o kroju zachodnim przypisywana Annie Wejher – stan po rekonstrukcji. Fot. D. Grupa. ►

**Fig. III.34.** Western fashion dress attributable to Anna Wejher after reconstruction. Photo by D. Grupa.





Pewne jest, że długość prezentowanej sukni – 142,5 cm (**ryc. III.34**) odbiegała od długości sukien mieszczek i kobiet parających się pracą (Tylicki 2005, 199–204, tabl. XXVIII, XXXVI, LI; Grupa M. 2012b, 171). Przy rekonstruowanym wzroście Anny Wejher na około 163 cm długość spódnicy była wystarczająca do noszenia jej na szerokich halkach unoszących ją do góry, bez odkrywania stóp kobiety ją noszącej.

Sekretarz poselstwa francuskiego Karol Ogier pisał w 1635 r., że niektóre polskie szlachcianki nosiły króciutkie suknie, tzn. nad kostki, co według niego było nieprzyzwoitym ubiorem (Ogier 2010, 58; Nowosad, Grupa M. 2020, 236). Wskazywać to może jednak na pewne zróżnicowanie w codziennych ubiorach<sup>23</sup>. Te uwagi zapewne nie dotyczyły kobiet ze szlacheckich rodów należących do elity społecznej Rzeczypospolitej, czy krajów sąsiednich. Materialnym tego dowodem jest suknia grobowa szlachcianki Markety Lobkowicz (zm. 1617 r.) znajdująca się w Regionalnym Muzeum w czeskim Mikolovie (Edwards 2017, 36). Suknia ta również wzorowana była na modzie hiszpańskiej i francuskiej. Jej góra skrojona była jak wams, z wydłużonymi baskinami pośrodku. Wokół jedwabnego kołnierzyka zachowała się jedwabna, włoska koronka. Mocno przymarszczoną spódnice – po 22 zakładki z przodu i tyłu – noszono zapewne za życia na poszerzającej i unoszącej tkaninę halce i zakrywała ona stopy<sup>24</sup>.

Suknie o podobnym kroju widoczne są na wielu przedstawieniach ikonograficznych zachodnich arystokratek. Szlachcianki ze wschodniej Europy nie miały problemu z ich odwzorowaniem, a zapewne wiązało się to z chęcią dorównania wielkim dworom zachodnioeuropejskim, np. Habsburgów. Teza ta jeszcze raz podkreśla miejsca tworzenia wzorców w modzie i ich naśladowanie zarówno

przez inne dwory, jak i niższe warstwy społeczne, w których ubiór również podkreślał przynależność do określonej grupy społecznej, kulturowej. Zresztą już w XVI wieku nie ma możliwości jednoznaczego, definitywnego określenia, co było w modzie kobiecej ubiorem o cechach polskich, a co o zachodnich (Nowosad, Grupa M. 2020, 259). Na podstawie analizy źródeł archeologicznych, pisanych i ikonograficznych można stwierdzić, że ubiory noszone na terenie Prus Królewskich miały zawsze dwa oblicza. Najwyraźniej jest to czytelne w scenach zbiorowych. Obraz *Alegoria cnoty małżeńskiej* Hermana Hana z 1600 r. jest tego najlepszym przykładem. Ubiory męskie reprezentują dwa światy – zachodni i polski, natomiast kobiety niezależnie od ubioru partnera zawsze są w sukniach charakterystycznych dla świata zachodniego (Grupa M. 2005, 98; Nowosad, Grupa M. 2020, 259).

Skąpa ilość informacji na temat kobiecych ubiorów szlacheckich w Prusach Królewskich w XVII wieku wynika zarówno z małej liczby badań archeologicznych rejestrujących pochówki z XVI i XVII wieku, jak również ze skromnej na ten temat literatury historycznej – publikacji źródłowych w postaci inwentarzy majątku kobiecego, który opisywałyby zawartość skrzyń i szaf kobiecych<sup>25</sup> (Nowosad, Grupa M. 2020, 235). Tylko analiza porównawcza z portretami, portretami trumiennymi, epitafiami i nagrobkami, a także z pozostałościami strojów pozyskanymi z grobów podczas wykopalisk prowadzonych przez archeologów na obszarze dawnych Prus Królewskich i nie tylko, da możliwość opisanie ubiorów noszonych w XVI i XVII wieku.

Z analizy źródeł ikonograficznych i archeologicznych wynika, że dzieci obojga płci należące do elit chodziły ubrane w miniaturowe stroje do-

<sup>23</sup> W testamentach znany różne zapisy na temat sukien. W niektórych wymienia się przede wszystkim rodzaj tkaniny i ozdób w innych występują konkretne nazwy, jak np. „alamoda”. Określenie to niewątpliwie odnosiło się do sukien kroju zachodniego, sprowadzanych najczęściej z Francji lub szytych na miejscu w oparciu o wzory zachodnie. Była to suknia dwuczęściowa, ze stanikiem skrojonym jak męski wams i ozdobiony koronką (Nowosad, Grupa M. 2020, 251).

<sup>24</sup> Suknię odrestaurowano w 2003 r. Wydaje się, że spódnice skonstruowano z ośmiu fragmentów o szerokości około 56–58 cm.

<sup>25</sup> Należy jednak zauważyć, że nawet znane testamenty nie rozwiązują tych problemów, ponieważ zawarte w nich opisy i nazwy nie do końca są czytelne dla obecnych badaczy. Niestety opis ubiorów stworzony przez Ł. Gołębiowskiego (1830 r.) nie rozwiązuje problemów z właściwą charakterystyką odzieży z przełomu XVI/XVII wieku.

rosłych (Grupa M. 2005, 59–60; 2012b, 222–224; Drązkowska 2007, 92–96; 2019, 202–209; Drązkowska, Grupa M. 2012, 322, 326; Dziubkova 2012, ryc. 38; Sieradzka 2019, 220, 224–233; Jervis i in. 2021, 230, ryc. 11.5). W tym czasie nie istniały wzory określające ubiór dziecięcy (Grupa M. 2005, 88; 2018b, 38; 2022, 215; Drązkowska 2019, 184–209; Tołysz 2019, 42, 45, 59; Nowosad i in. 2021b, 131). Jednak należy zauważyć, że chłopcy najczęściej do 5–7 roku życia mogli być ubierani w suknie podobne do sukien matek, co widoczne jest w ikonografii<sup>26</sup>, i to nie tylko w malarstwie portretowym (Drązkowska 2007, 57–65; Boucher 2012, 182, 201, 211, 214–215, 224; Grupa M. i in. 2015a, 163; Grupa M. 2018b, 38), ale również na wielu przedstawieniach epitafijnych (Johannsen 1988, 39; Grupa M. i in. 2015a, 163; Grupa M. 2022, 56–57). Chyba najbardziej zbliżoną krojem odzieżą do sukni dziecięcej z Pucka jest suknia księcia Baltazara Carlosa (syna Filipa IV i Elżbiety Burbońskiej) na przedstawieniu z 1632 r. Mały książę ubrany jest w wams z koronkowym kołnierzem i spódnicę zasłaniającą stopy. Granatowa tkanina ozdobiona była najprawdopodobniej haftem kładzionym wykonanym złotą nicią (Harris 2003, 18; Velázquez 2006, 64). Towarzyszący mu karzeł ubrany jest w podobny zestaw: wams i spódnicę, jednak atrakcyjność tego ubioru jest dużo niższa ze względu na wykorzystanie tańszych tkanin i ozdób. Malarz dokładnie oddał kontrast pomiędzy ubiorem księcia – połyskujący jedwab – i karła – dość mocno już zużyta matowa tkanina wełniana. Drugi wizerunek księcia, malowany rok później, również ukazuje go w typowym wamsie ozdobionym pasamonami i dzwonowatej spódnicy (Brown 1986, 83; Harris 2003, 18). Ale już portret z 1638 r. przedstawia go w wamsie i pludrach<sup>27</sup>, a więc dziewięcio-

letni chłopiec nosił już typową szatę męską, zastępując spódnicę pludrami. W ten sposób podkreślano koniec wieku dziecięcego i wkroczenie w świat dorosłych, a w przypadku księcia – czas przygotowań do sprawowania rządów<sup>28</sup>. Podobny zestaw portretów dziecięcych istnieje dla królewicza Władysława IV. Portret Marcina Kobera z 1596 r. przedstawia jednorocznego chłopca w dworskiej, dzwonowatej sukni uszytej z czerwonego adamaszku, ozdobionej złotymi galonami (**ryc. III.35**). Natomiast portret z 1605 r. (nieznanego malarza) to młodzieniec w typowym męskim ubiorze tego okresu (wams i pludry) (**ryc. III.36**) uszytego ze srebrzystej tkaniny jedwabnej z kolorowymi motywami kwiatów i ptaków. Odzież ozdobiono złotą pasmanterią, a drobne guziczki wykonano z jedwabnej przędzy w złotym metalowym oplocie<sup>29</sup>. Królewicz u lewego boku trzyma szablę przymocowaną do ozdobnego (w kolorze złotym) opasania. Na ramionach królewicza znajduje się płaszczyk z wykładanym kołnierzem, uszyty z czarnego, jedwabnego aksamitu. Obszyto go u dołu złotą pasmanterią. Podszewkę wykonano z tej samej tkaniny co wams i pludry. Na podstawie analizy ubioru i detali znajdujących się na portretach demonstrowano etapy życia chłopców z rodzin królewskich i magnackich. To właśnie portrety przekazywały informacje o zmianach zachodzących w życiu książąt i królewiczów, nie była to tylko chęć portretowania, ale jasny przekaz polityczny.

Wracając do samego ubioru i sposobu postrzegania go na terenach Rzeczypospolitej, to najczęściej w polskich testamentach zestaw wams z pludrami nazywano suknią niemiecką (Kowalkowski, Nowosad 2013, 263), jednak model ten ma swoje korzenie w Hiszpanii i zgodnie z pochodzeniem powinien być nazywany

<sup>26</sup> Najwięcej takich przykładów odnajdujemy w twórczości Rubensa i van Dycka.

<sup>27</sup> Źródło: [https://commons.wikimedia.org/wiki/File:Velazquez-taller-principe\\_baltasar\\_carlos-prado.jpg](https://commons.wikimedia.org/wiki/File:Velazquez-taller-principe_baltasar_carlos-prado.jpg), dostęp z dn. 03.11.2023 r.

<sup>28</sup> Wydawałoby się obecnie, że zmiana niektórych elementów ubioru księcia nie była istotna dla otoczenia, ale w tamtych czasach był to wyraźny sygnał, symbol, że młody książę

wszedł w nowy etap życia i przygotowuje się do dziedziczenia schedy rodzinnej.

<sup>29</sup> Zapewne była to pozłacana srebrna taśma. Przykłady takich zabytków znajduje się również w materiałach archeologicznych zarówno w grobach, jak i w nawarstwie niach miejskich oraz skarbach (Miazga 2018, 161–165; Miazga, Grupa M., Grupa D. 2018, 68–76; Jabłońska-Dyrda 2021, 406; Jarzęcki 2022, 125–140).

hiszpańskim<sup>30</sup> (Gutkowska-Rychlewska 1968, 357–367; Boucher 2012, 186–190). W ikonografii zachodniej z XVI i XVII wieku wams przedstawiany jest jako odzież używana przez cesarzy i królów oraz ich dworzan (Grupa M. 2005, 75; Dudziński i in. 2015, 22), lecz wzory te w szybkim tempie przejmowane były przez niższe grupy społeczne. Różnica polegała tylko na rodzajach wykorzystywanych do ich uszycia tkanin (jedwab, wełna, len) i ozdobach lub ich braku. Na terenie Rzeczypospolitej rzadko występowały w odzieży grobowej wamsy. Jak dotąd tylko w materiałach z kościoła św. Mikołaja w Toruniu udało się wyróżnić atłasowy wams ozdobiony koronką klockową i guzikami szmuklerskiej roboty. Jego konstrukcja i zachowane fragmenty szwów prostych (fastryga) pozwoliły na stwierdzenie, że był przygotowany tylko jako jednorazowa odzież grobowa (Drażkowska 2008, 137–138).

Nieco inaczej należy spojrzeć na dziecięcą suknię ze stanikiem o kroju wamsa z Pucka. Jest to unikatowe znalezisko nie tylko na terenie Polski, ale również w Europie. Zazwyczaj wams kojarzony jest z pludrami jako ubiór męski lub mocno przymarszczoną spódnicą jako ubiór damski. W każdym przypadku mowa jest o dwuczęściowym ubiorze. Dziecięca suknia z Pucka to jednoczęściowy ubiór z zapinanym z przodu stanikiem na haftki. Sposób wykonania każdego detalu: krój, szwy za igłą i podszycie całości jedwabną podszewką, ozdoby z koronki klockowej oraz wielkość każdego elementu wskazują na ubiór noszony za życia przez dziecko w wieku 5–6 lat. Lewa strona dekoltu (podszewka) i mankietów nie nosi śladów intensywnego użytkowania<sup>31</sup> (Grupa M. 2007, 210), a więc należy założyć, że była to suknia uszyta właśnie dla dziecka pochowanego w krypcie i noszącego ubiór przez stosunkowo krótki czas. Jedwabna tkanina, wyjątkowy krój i ozdoby wykonane z połączanej

koronki wskazują na dziecko, którego wysoki status społeczny był jednoznacznie określony przez wytworny i kosztowny strój. Śmiało można założyć, że koronkowy galon był jednym z najdroższych elementów odzieży znalezionych w krypcie, tym bardziej nobilitując jego właściciela.

Nie wiadomo oczywiście jaki ubiór byłby preferowany przez niego w dorosłym życiu. W końcu losy rodziny Wejherów z Pucka związane były ściśle z Rzeczpospolitą. Jeśli męski potomek sprawowałby wysokie stanowisko w państwie, jego zachodnia odzież mogłaby zostać zamieniona na strój polski.



**Ryc. III.35.** Portret Królewicza Władysława z 1596 r., Marcin Kober, w zbiorach Patrimonio Nacional, klasztor Las Descalzas Reales w Madrycie (źródło: Wikimedia Commons)

**Fig. III.35.** Portrait of Prince Władysław from the year 1596, Marcin Kober, held by the Patrimonio Nacional, monastery of Las Descalzas Reales in Madrid (source: Wikimedia Commons).

<sup>30</sup> Obecnie kostiumolodzy rozróżniają detale pomiędzy ubiorem hiszpańskim, włoskim czy francuskim, jednak na terenie Rzeczypospolitej nie miało to absolutnie znaczenia. Późniejszy szustokor, który królował na dworze Ludwika XIV nazywano także suknią niemiecką. Czasami wams na terenach Rzeczypospolitej nazywano kitlikiem (Bartkiewicz

1979, 166–170; Dudziński i in. 2015, 22; Grupa M. 2022, 261). Ta różnorodność nazw jest niejednokrotnie myląca i utrudnia analizę identyfikacyjną ze źródłami pisanymi, dlatego archeolodzy używają określenia wams.

<sup>31</sup> Zazwyczaj te części, jeśli noszono suknię długo, noszą ślady przetarć, a nawet dziury na wylot.

Być może było tak w przypadku mężczyzny ubranego do grobu w delię i żupan. Jest to jedno z pierwszych znalezisk męskiego ubioru polskiego datowanego na 1. połowę XVII wieku, nie pochodzącego z ossuarium (Grupa M. i in. 2015a, 17; Grupa M., Kozłowski 2019, 35–48). Z dużą ostrożnością należy podchodzić do identyfikacji mężczyzny z rodziny Wejherów, który mógłby być pochowany w stroju polskim. Jednak źródła pisane wskazują na Jana Jakuba Wejhera – wojewodę chełmińskiego, który został senatorem Rzeczypospolitej (Mikulski 1990, 236). Przedstawienia ikonograficzne jego ojca Ernesta i syna Jakuba – założyciela Wejherowa pochowanego w krypcie kościoła oo. franciszkanów św. Anny (Czaplewski 1921, 109) wyraźnie wskazują na preferowanie zachodniego stroju. Jan z racji piastowania godności senatora mógł nosić w dorosłym życiu stroje polskie<sup>32</sup> (Grupa M. 2005, 82–83; Gutowska-Dudek 2012, 33, 92; Sieradzka 2013, 104–105; Dudziński i in. 2015, 16–17). Również jego trzech synowie Jakub, Ludwik i Mikołaj jako dzieci nosili stroje polskie. Na obrazie autorstwa Hermana Hana *Koronacja NMP i adoracja Baranka Mistycznego* znajdującego się w kościele parafialnym w Wielkim Buczku przedstawieni są w czerwonych deliach z rękawami do łokcia (ryc. III.37), a pod spodem mają czarne żupany z niską stójką w części przedniej (tylna jest nieczytelna). Wizerunek uzupełnia charakterystyczna, podgolona fryzura. Natomiast wujowie Melchior i Dymitr są przedstawieni w strojach o kroju zachodnim, o czym świadczą białe, wykładane kołnierze na czarnym ubiorze (Włodarski 2016). Herman Han obraz namalował przed 1623 r. Jan Wejher zmarł w 1626 r. i zapewne do tego czasu synowie oficjalnie nosili stroje polskie. Całkiem też możliwe, że po jego śmierci zmienili je na ubiór zachodni, taki jak wujowie. Potwierdza to wizerunek Jakuba w dorosłym życiu. To mężczyzna z włosami do ramion, w ubiorze o kroju zachodnim – w czarnej

szacie (zapewne wamsie) z wykładanym, białym kołnierzem<sup>33</sup>.

Znaleziony w krypcie żupan należał do tradycyjnie krojonych w Rzeczypospolitej męskich szat. Miał dwudzielny, dopasowany przód zapinany na knefle, tył zaś wykrojono z jednego kawałka tkaniny. Jak zawsze, od pasa w dół wstawiono kliny poszerzające obwód dołu sukni. Nietypowym rozwiązaniem było wstawienie dodatkowego klina od wysokości podkroju pachy. Jest to jedyny taki przypadek rozpoznany w materiałach archeologicznych. Pozostałe elementy nie różniły się istotnie od wcześniej znalezionych



Ryc. III.36. Portret królewicza Władysława z 1605 r., autor nieznany, Zamek Królewski w Warszawie.

Fig. III.36. Portrait of Prince Władysław from the year 1605, author unknown, held by the Royal Castle in Warsaw.

<sup>32</sup> Być może Jan Jakub Wejher jako dziecko i młodzieniec nosił zachodnie stroje, tak jak jego ojciec Ernest Wejher. Przypuszczenia te potwierdzają inne badania związane z działalnością polityczną polskich magnatów. Podobny schemat zmian ubioru można prześledzić w garderobie Janusza XI Radziwiłła. Książę, zmarły w 1655 r., w czasie młodszych podróży preferował stroje o kroju zachod-

nim, tzn. wamsy i pludry. Po powrocie do kraju zmienił odzież na strój polski i został mu wierny aż do śmierci. Pochowano go w Kiejdanach w jedwabnym żupanie (Dudziński i in. 2015, 16–17; Grupa M. 2022, 74).

<sup>33</sup> [https://commons.wikimedia.org/wiki/File:Jakub\\_Wejher;](https://commons.wikimedia.org/wiki/File:Jakub_Wejher;) obraz nieznanego malarza z 1657 r.

i zrekonstruowanych żupanów (Grupa M. 1998, 288–289; 2005, 59, 82–87, 161–163; 2022, 71–92; Grupa M. i in. 2015a, 97–98). Jak większość siedemnastowiecznych żupanów wykonano go z kwiecistego adamaszku i obszyto krawędzie plecionym jedwabnym sznurkiem (zwanym również stroką), co było raczej standardem w ozdabianiu szat z zestawu stroju polskiego (Grupa M. 2022, 73). Czasami obszywano wszystkie krawędzie żupana czy delii, a czasami tylko niektóre ich części, co zależało zapewne od indywidualnego zamówienia.

Źródła archeologiczne potwierdzają spostrzeżenia poczynione w czasie analizy wizerunków polskich arystokratów z XVI i XVII wieku. Jeśli żupan uszyto z tkaniny ornamentowanej, to odzież wierzchnią szyto z gładkiej (Grupa M. 2022, 77–80). Odnaleziony komplet stroju polskiego z Pucka wpisuje się w te obserwacje, ponieważ delię zapewne uszyto z tkaniny wełnianej podszywając ją podszewką uszytą z wielu fragmentów atłasu i dwóch, różnych fragmentów kwiecistego adamaszku. Najprawdopodobniej na potrzeby uszycia delii wykorzystano wszystkie fragmenty tkanin jedwabnych znajdujących się w gospodarstwie domowym Wejherów. Można założyć, że gdyby liczba fragmentów tkanin atłasowych była wystarczająca, to całość uszyto by właśnie z nich, bez dodatkowych wstawek z adamaszków. Przód delii wykrojono z dwóch jednolitych fragmentów (**ryc. III.38**), chociaż bardzo szerokich. Poruszanie się w niej było zatem dość swobodne i nie krępowało ruchów. Rozchylające się poły delii ukazywały gładką, błyszczącą, atłasową podszew-

kę. Plecy były niewidoczne, więc skonstruowanie ich w opisany powyżej sposób nie ujawniało oszczędności i wykorzystywania mniejszych fragmentów różnych tkanin do konstruowania części tylnej podszewki.

Krawędzie delii obszyto plecionym, jedwabnym sznurkiem (**ryc. III.27**), a dwudzielny przód zapinany był na zestaw szamerunków wykonanych z pasamonów (**ryc. III.38**). Choć nie zachowały się one w całości, rekonstrukcję taką można było wykonać na podstawie dotychczasowych badań nad strojem polskim. Szamerunki kupowano w kompletach dostępnych również na gdańskich jarmarkach (Grupa M. 2022, 144), co potwierdzają źródła cechowe i informacje zawarte w dziennikach z podróży szlacheckich do największego miasta Prus Królewskich. Wyrabiane były przez pasamoników jako komplety, a krawcy szyjąc określone ubrania korzystali z zakupionych wcześniej zestawów. Analogicznie do znalezionych w krypcie pasamonów z kneflami, te po lewej stronie delii powinny być tej samej szerokości i długości, z pętelką zamiast knefla i frędzlem na drugim końcu.

Jak już wcześniej wspomniano, pełen zestaw stroju polskiego jako ubioru grobowego należy do rzadkości. Z XVII wieku znane są tylko dwa pełne ubiory dziecięce z katedry lubelskiej. W pierwszym komplecie żupan był uszyty z kwiecistego adamaszku, a delia z atłasu (Grupa M. 2022, 77, 78, 137–139). W drugim to żupan uszyto z atłasu, a delię z adamaszku (Grupa M. 2022, 77, 80, 137, 138). W obu przypadkach krawędzie delii obszyte były jedwabnym sznur-



**Ryc. III.37.** Fragment obrazu *Koronacja NMP i Adoracja Baranka Mistycznego*, Herman Han przed 1623 r., kościół parafialny w Wielkim Buczku. Po lewej: Jan, Melchior i Dymitr Wejherowie, po prawej synowie Jana: Jakub, Ludwik i Mikołaj (źródło: [http://zabytkidrewniane.pl/kosciol/kosciol-pw-sw-trojcy/#zabytek\\_1](http://zabytkidrewniane.pl/kosciol/kosciol-pw-sw-trojcy/#zabytek_1))

**Fig. III.37.** Fragment of the painting *Koronacja NMP i Adoracja Baranka Mistycznego*, Herman Han, before the year 1623, parish church in Wielki Buczek. Left – Jan, Melchior, and Dymitr Wejher. Right – Sons of Jan: Jakub, Ludwik, and Mikołaj (source: [http://zabytkidrewniane.pl/kosciol/kosciol-pw-sw-trojcy/#zabytek\\_1](http://zabytkidrewniane.pl/kosciol/kosciol-pw-sw-trojcy/#zabytek_1)).

kiem, a pod niektórymi niemi zachowane były włókna wełnianej przędzy. Galony składające się na szamerunek delii naszyte były na tkaniny jedwabne, dlatego uznano, że podszewką była tkanina wełniana. Tylko w materiałach z kościoła św. Katarzyny w Warszawie odnotowano również jedwabną podszewkę delii. Początkowo błędnie sądzono, że pochowanego tam mężczyznę ubrano w podszewkę, przyjmując, że oszczędzano na fragmentach ubioru. Jednak jak zawsze, żmudne obserwacje mikroskopowe ujawniły w późniejszym czasie wełniane włókna zachowane w pętelkach szwów, dlatego rekonstrukcja tego ubioru została uzupełniona, a błędna interpretacja zweryfikowana (Grupa M. 2022, 140–141).

Przedstawione powyżej doświadczenia dowodzą konieczności prowadzenia wnikliwych poszukiwań pozostałości tekstyliów zachowanych w mikroskopowych wielkościach. Dopiero zestawienie wszystkich pozyskanych informacji pozwala na zbliżoną do rzeczywistości rekonstrukcję (**ryc. III.38, III.39**).

Nieczęsto spotykane pozostałości delii w zestawie z żupanami potwierdzają przypuszczenia, że w stroju grobowym starano się odtworzyć sposób ubierania się poszczególnych osób za życia i podkreślenia strojem ich godności. Jednak część z nich szyto z tkanin wełnianych, które uległy rozkładowi i fakt ten w dużym stopniu zaburza właściwe postrzeganie ubioru grobowego szlachty polskiej (Dudziński i in. 2015, 84–95; Dudziński, Nowosad, Grupa M. 2017, 123–148; Grupa M. i in. 2014, 111–132; Grupa M. 2022, 191–196). Dlatego tak istotne okazały się badania w kryptach pod prezbiterium kościoła w Szczuczynie, ponieważ na podstawie analizowanych pochówków można było określić poszczególne egzemplarze odzieży grobowej. Do świadomości ekipy badawczej dotarło, że jeżeli mamy do czynienia z odzieżą wykonaną z tkaniny jedwabnej, to opisujemy tylko około 1/3 zestawu odzieży grobowej (Grupa M. i in. 2014, 75–77). Wszystkie szaty wykonane z tkanin lnianych i wełnianych uległy rozłożeniu. Oczywiście w każdym przypadku można domniemywać, jakie części ubioru grobowego trafiły ze zmarłym do grobu. Jednak zawsze jest to tylko

przypuszczenie. Można założyć, że najprostszym zestawem odzieży grobowej była suknia wełniana lub jedwabna, pod suknią dwie koszule lniane, na kończynach dolnych znajdowały się dziane pończochy, a u mężczyzn pończochy lub onuce z płótna (Dudziński, Nowosad, Grupa M. 2017, 52 i nn.; Grupa M. 2022, 196).

Zupełnie odmienną kategorią odzieży są suknie uszyte tylko do grobu. Ze względu na sposób wykonania można je określić jako worek przymarszczony wokół szyi lub suknie pozbawione pleców. Szyto je zarówno dla dzieci, jak i dorosłych (Grupa M. 2005, 54–55; 2016, 175–186; Drązkowska 2007, 221; Grupa M. i in. 2015a, 99–100; 2022, 53–56).

Wśród tekstyliów z krypty Wejherów także znaleziono pozostałości takiej sukni grobowej, przygotowanej specjalnie na ceremonię pogrzebową. Od innych znanych tego rodzaju sukien odróżnia się tym, że była dwuwarstwowa. Wierzchnia część uszyta była z tkaniny półjedwabnej, której osnowa lub wątek, prawdopodobnie z przędzy lnianej lub wełnianej, uległy rozkładowi. Z tkaniny tej zostało tylko kłębowisko jedwabnych nici (**ryc. III.31**). Drugą warstwę stanowiła jedwabna podszewka. Dopasowanie tej tkaniny do jedwabnej podszewki było dość proste, ponieważ wokół listwy dekoltu pozostały wszyte pierwotnie jej fragmenty. Rekonstrukcja podszewki dowiodła, że była to suknia z długimi rękawami uszyta dla osoby dorosłej, nie ma jednak możliwości wskazania płci. W większości tego rodzaju workowate suknie były szyte dla dzieci i znane są z terenów całej Europy (Johannsen 1988, 35–49; Grupa M. 2005, 54–55, 79–81, 144–145; Drązkowska 2004, 71–75; 2007, 216, 221; 2012, 178–180; Bedeker 2010, 252–256; Grupa M. i in. 2014, 66–72, 74; 2015a, 99; 2022, 53–55), a w mniejszym zakresie również dla dorosłych (Grupa M. 2005, 52–53, 62–65, 114–115, 142–143, 164–172; Grupa M. i in. 2015a, 100–101). Ozdabiane były przede wszystkim różnie formowanymi kokardami wykonanymi ze wstążek gładkich i ornamentowanych oraz różnej szerokości galonów (Grupa M., Grupa D. 2013, 46–51; Grupa M. i in. 2015a, 49–57; Grupa M. i in. 2022, 53–54). Uszycie dwuwarstwowej sukni workowatej jest chyba jedynym znanym obecnie przykładem w materiałach archeologicznych.



Ryc. III.38. Rekonstrukcja delii – prawa strona. Fot. D. Grupa.

Fig. III.38. Reconstruction of the *delia* – right side. Photo by D. Grupa.





Ryc. III.39. Rekonstrukcja delii – lewa strona. Fot. D. Grupa.

Fig. III.39. Reconstruction of the *delia* – left side. Photo by D. Grupa.

Wykorzystywanie tkaniny półjedwabnej czytelne jest w pochówkach z XVII i XVIII wieku, jednak sztyto z nich zazwyczaj żupany i habity (Dudziński i in. 2015, 69; Grupa M. 2015a, 92–93). Zastosowanie tej tkaniny obniżało koszty zakupu, ponieważ użyte rodzaje włókien (zazwyczaj było to 50% w strukturze tkaniny) lniane, bawełniane i wełniane były tańsze od jedwabnych. Czy taka tkanina mogła być tańsza przynajmniej o połowę, to już inna kwestia, która wymaga odrębnych badań archiwalnych. Chociaż w tym przypadku nie ma mowy o jakichkolwiek oszczędnościach, ponieważ uszyto dwuwarstwową suknię składającą się z tkaniny jedwabnej (podszewka) i tkaniny półjedwabnej – część wierzchnia.

## Podsumowanie

Przedstawiona kolekcja ubiorów wydobytych z krypty Wejherów w kościele pw. św. św. Apostołów Piotra i Pawła w Pucku jest niezwykle interesująca, chociażby ze względu na jej datowanie. Tak wczesne znaleziska z końca XVI i 1. połowy XVII wieku dały możliwość poszerzenia bazy źródłowej w zakresie wiedzy kostiumologicznej i obyczajów funeralnych doby nowożytnej.

W pozyskanych z krypty Wejherów tkaninach znajdują się zarówno relikty odzieży o kroju zachodnim – suknia damska i suknia dziecięca z górą o kroju wamsa, jak również strój polski składający się z żupana i delii oraz suknia uszyta specjalnie na potrzeby pogrzebu. Wszystkie te szaty nazywamy grobowymi (Grupa M. 2005, 68, 70), choć cztery z nich noszone były przez właścicieli za życia, a jedynie ostatnia

uszyta została na ostatnią drogę ku wieczności. Tylko źródła archeologiczne dają możliwość szerszego spojrzenia na problem związany z wykorzystywaniem różnych rodzajów odzieży w ceremonii pogrzebowej. To właśnie w odzieży z badań krypt zidentyfikowano suknie, które nie miały pleców, co wydatnie czyniło taką odzież tańszą, a nie ujawniało poczynionych oszczędności przez rodzinę (Grupa M. 2005, 5–55; Drażkowska 2007, 132–134; Grupa M. 2016, 176–177; Grupa M. i in. 2022, 53–55).

Analiza każdego z detali i możliwość wykonania rekonstrukcji potwierdziła już wcześniejsze spostrzeżenia, że na terenach Rzeczypospolitej moda męska rozwijała się pod wpływem nowinek ze Wschodu i Zachodu, a kobieca chłonęła coraz więcej cech zachodnich, powoli wypierając lokalne cechy sukien noszonych przez polskie szlachcianki. Jak już zostało zauważone, trudno do końca określić cechy sukni polskiej, ponieważ nie były one tak wyraźne, jak w męskim stroju polskim. Wydaje się, że moda damska zawsze była mariażem cech wschodnich, zachodnich i lokalnych, a nowinki przywożone z Zachodu przyspieszyły tylko wyodrębnienie się mody o cechach zachodnich. Stwierdzenie to wymaga wielu poszukiwań w źródłach pisanych i ikonograficznych, a każdy nowo pozyskany materiał archeologiczny może poszerzyć tę wiedzę, przyczyniając się do zanegowania lub potwierdzenia wcześniejszych przypuszczeń. Jedna z tych tez została potwierdzona. W polskich rodzinach szlacheckich w okresie nowożytnym spotykały się dwa światy, które tolerowały wpływy zachodnie i wschodnie oraz dążenie do demonstracji przynależności do najwyższej grupy społecznej przez ubiór (Grupa M. 2005, 107).

## Bibliografia

- Bartkiewicz M. 1979. *Polski ubiór do 1864 roku*. Wrocław–Warszawa–Kraków–Gdańsk.
- Birecki P. 2020. Kobieta w sztuce nowożytnej Prus Królewskich. Szkic do portretu. W: W. Zawadzki (red.). *Kobiety w Prusach Królewskich*. Pelplin, s. 167–182.
- Boucher F. 2012. *Historia mody. Dzieje ubiorów od czasów prehistorycznych do końca XX wieku*. Warszawa.
- Braun M., Costigliolo L., North S., Thorton C., Tiramani J. 2016. *17-th Century Men's Dress Patterns 1600 1630*. London.
- Brown J. 1986. *Velazquez: Painter and Courtier*, Yale University Press.
- Czaplewski P. 1921. *Senatorowie świeccy, podskarbiowie i starostowie Prus Królewskich: 1454–1772*. Toruń.
- Drażkowska A. 2004. Dziecięca odzież grobowa z krypty kościoła NMP w Kostrzynie nad Odrą. *Lubuskie Materiały Konserwatorskie 2*, s. 31–39.
- Drażkowska A. 2007. *Odzież dziecięca w Polsce w XVII i XVIII wieku*, Toruń.
- Drażkowska A. 2008. *Odzież grobowa w Rzeczypospolitej w XVII i XVIII wieku*, Toruń.
- Drażkowska A. 2012. Dziecięca odzież grobowa z kościoła św. Jana w Gdańsku – analiza kostiumologiczna. W: J. Szczepański (red.). *Kościół św. Jana w Gdańsku w kręgu kultury sepulkralnej*. Gdańsk, s. 173–180.
- Drażkowska A. 2016. Charakterystyka ubiorów znalezionych w kryptach. W: A. Buko, S. Gołub (red.). *Od cerkwi katedralnej króla Daniela Romanowicza do Bazyliki pw. Narodzenia NMP w Chełmie, wyniki badań interdyscyplinarnych sezonu 2013–2014*. Chełm, s. 179–189.
- Drażkowska A. 2019. Odzież dziecięca od powijaków do piątego roku życia w XVII – XIX wieku. W: M. Janisz (red.). *Dziecko i jego świat. Ubiory dziecięce od XVII do XIX wieku*. Warszawa, s. 179–219.
- Drażkowska A., Grupa M. 2012. Odzież grobowa z krypt grobowych archikatedry w Lublinie. Analiza kostiumologiczna. *Kwartalnik Historii Kultury Materialnej* 60 (2), s. 315–324.
- Drażkowska A., Niedźwiadek R., Matuzevičiūtė S., Grupa M. 2015. Odzież grobowa z badań archeologicznych z wybranych stanowisk z Polski, Ukrainy i Litwy. W: A. Drażkowska (red.). *Kultura funeralna elit Rzeczypospolitej od XVI do XVIII wieku na terenie Korony i Wielkiego Księstwa Litewskiego: próba analizy interdyscyplinarnej*. Toruń, s. 129–165.
- Drażkowska A., Nowak M. 2022. *Katalog wyposażenia pochówków z kościoła św. Franciszka z Asyżu w Krakowie*, Toruń.
- Drażkowska A., Siemińska D., Grupa M. 2015. Konserwacja zabytków archeologicznych. W: A. Drażkowska (red.). *Kultura funeralna elit Rzeczypospolitej od XVI do XVIII wieku na terenie Korony i Wielkiego Księstwa Litewskiego: próba analizy interdyscyplinarnej*. Toruń, s. 355–378.
- Dudziński T., Grupa M., Grupa D., Krajewska M., Majorek M., Nowak M., Nowak S., Przymorska-Sztuczka M., Wojciechowska A. 2015. *Tajemnice szczuczyńskich krypt (tom III)*, Grajewo–Toruń.
- Dudziński T., Grupa D., Grupa M., Nowak M. 2020. Badania w krypcie pod prezbiterium kościoła pw. Narodzenia Najświętszej Maryi Panny w Piasiecznie, gm. Gniew, woj. pomorskie. *Raport* 15, s. 243–255.
- Dudziński T., Grupa M., Nowosad W. 2017. *Tajemnice szczuczyńskich krypt (tom IV- pochówki pijarów)*. Grajewo–Toruń.
- Dudziński T., Krajewska M., Grupa M. 2013. Krypty kościoła p.w. Imienia NMP w Szczuczynie źródłem do badań historycznych. W: T. Dudziński, M. Grupa (red.). *Tajemnice szczuczyńskich krypt*. Grajewo, s. 9–20.
- Dziubiński A. 1998. *Na szlakach Orientu. Handel między Polską a Imperium Osmańskim w XVI–XVIII wieku*. Wrocław.

- Dziubkova J. 2012. Samuel Fryderyk Lauterbach i szlachetnie urodzeni różnych wyznań. Portrety trumienne z Ziemi Wschowskiej. W: P. Klint, M. Markus, K. Szymańska (red.). *Kościół Imienia Żłobka Chrystusa (Kripplein Christi) we Wschowie na tle procesu konfesjonalizacji w krajach Europy Środkowej*. Wschowa, s. 54–169.
- Edwards L. 2017. *How to Read a Dress. A Guide to Changing Fashion from the 16th to the 20th Century*. Bloomsbury Academic.
- Frankopan P. 2013. *Jedwabne szlaki. Nowa historia świata*, Warszawa.
- Gołębiowski Ł. 1830. *Ubiór w Polsce od najdawniejszych czasów aż do chwil obecnych sposobem dykcjonarza ułożone przez Łukasza Gołębiowskiego*. Warszawa.
- Grupa D. 2010. Silk ribbons from post-medieval graves in Poland. In: E. Andersson Strand, M. Gleba, U. Mannering, Ch. Munkholt, M. Ringgaard (eds). *X North European Symposium for Archaeological Textiles X*. Ancient Textiles Series 5, Oxford, p. 91–94.
- Grupa D. 2015. Silk liturgical garments from priests' graves, excavated in St. Nicolas parish church in Gniew. In: K. Grömer, F. Pritchard (eds). *Aspects of the design, production and use of textiles and clothing from the Bronze Age to the Early Modern Era: NESAT XII. The North European Symposium for Archaeological Textiles, 21st–24th May 2014 in Hallstatt, Austria*. Budapest, p. 193–199.
- Grupa D. 2016. Grave gowns from children burials from the 16th–18th centuries. *Archaeologia Polona* 51–52 (2013–2014), s. 173–181.
- Grupa D. 2018. Pochówki księży w kościele pw. św. Mikołaja w Gniewie – badania archeologiczne 2014 r. W: M. Fudziński (red.). *II i III Pomorska Sesja Sprawozdawcza za rok 2012 i 2014*. Gdańsk–Łódź, s. 217–224.
- Grupa D. 2019. Laying waste in archaeological sites. The problems of damage to historical sacred objects as result of human activity. *Fasciculi Archaeologiae Historicae* 32, s. 189–199.
- Grupa M. 1998. Textiles from the 16th–18th century from the benedictine in Lubiń, Leszno voivodeship. W: L. Bender Jørgensen, Ch. Rinaldo (eds). *Textiles in European Archaeology*, Gotarc Series A, Vol. 1, Goteborg, p. 277–281.
- Grupa M. 2005. *Ubiór mieszczan i szlachty z XVI–XVIII wieku z kościoła p.w. Wniebowzięcia Najświętszej Marii Panny w Toruniu*, Toruń.
- Grupa M. 2007. Konserwacja jedwabnych tkanin i rekonstrukcja szat. *Prace i Materiały Muzeum Archeologicznego i Etnograficznego w Łodzi. Seria Numizmatyczna i Konserwatorska* 13 (2004–2007), s. 207–218.
- Grupa M. 2012a. Pochówki w krypcie grobowej kościoła p.w. Imienia NMP w Szczuczynie jako źródło do lokalnych badań kostiumologicznych. W: T. Dudziński (red.). *Pozaarchiwalne materiały źródłowe do dziejów powiatu szczuczynskiego w XIX wieku*. Grajewo, s. 109–125.
- Grupa M. 2012b. *Wełniane tekstylia pospólstwa i plebsu gdańskiego (XIV–XVII w.) i ich konserwacja*. Toruń.
- Grupa M. 2012c. Zespół zabytków tekstylnych z kościoła św. Jana w Gdańsku – analiza technologiczna tkanin. W: J. Szczepański (red.). *Kościół św. Jana w Gdańsku w kręgu kultury sepulkralnej*. Gdańsk, s. 181–188.
- Grupa M. 2013a. Analiza próbek pobranych w trakcie badań w Zakrzewskiej Osadzie, powiat sępoleński. W: Szalkowska-Łoś J., Łoś J. (red.). *Zakrzewska Osada, cmentarzyska kultury pomorskiej i wielbarskiej na Pojezierzu Krajeńskim*, Ocalone Dziedzictwo Archeologiczne 2, Bydgoszcz-Pękowice, s. 133–137.
- Grupa M. 2013b. Ubiory mieszczan i szlachty z kościoła p.w. Wniebowzięcia NMP świadectwem kontaktów między Wschodem a Zachodem. W: J. Raczkowski (red.). *Stare i nowe dziedzictwo Torunia*, Studia i Materiały z Dziedzictwa Kulturowego Torunia i Regionu 1, s. 272–280.

- Grupa M. 2014a. Suche czy mokre, problematyka konserwatorska na stanowiskach archeologicznych w kontekście badań na Reducie Ordon. W: W. Borkowski, N. Kasperek (red.). *Badania archeologiczne na Reducie Ordon, t. 1*, Warszawskie Materiały Archeologiczne 11, Warszawa, s. 125–131.
- Grupa M. 2014b. Zabytki tekstylne ze Śliwic. *Zeszyty Chojnickie* 30, s. 15–24.
- Grupa M. 2015. Preliminary analyses of silk flowers from modern graves in Poland. *Archaeological Textiles Review* 57, s. 41–47.
- Grupa M. 2016. Koronki i wstążki – moda czy prestiż? W: E. Wólkiewicz, M. Saczyńska, M. R. Pauk (red.). *Habitus facit hominem. Społeczne funkcje ubioru w średniowieczu i w epoce nowożytnej*. Warszawa, s. 179–190.
- Grupa M. 2017. Pochówki z kościoła Trójcy Świętej w Gdańsku, XVII – XVIII wiek. W: P. Paluchowski, A. Larczyńska, M. Płuciennik (red.). *Gdańsk protestancki w epoce nowożytnej w 500-lecie wystąpienia Marcina Lutera, t. 2*. Katalog. Gdańsk, s. 204–207.
- Grupa M. 2018a. Elementy orientalne w kulturze materialnej we wczesnym średniowieczu na ziemiach polskich. W: A. S. Nalborczyk, M. Swiat, J. Tyszkiewicz (red.). *Transfer kultury arabskiej w dziejach Polski, t. 1. Pierwsze kontakty polsko-arabskie*. Warszawa, s. 245–266.
- Grupa M. 2018b. Kultura materialna w świetle badań archeologicznych w sanktuarium w Piasecznie. W: W. Pikor (red.). *Kultura materialna i duchowa sanktuarium w Piasecznie*. Pelplin, s. 33–43.
- Grupa M. 2019. Not only socks were darned – secondary textile usage as a source of material culture studies. *Fasciculi Archaeologiae Historicae* 32, s. 165–187.
- Grupa M. 2020. Tkaniny z cmentarzyska w Pniu, gm. Dąbrowa Chełmińska / Textiles from burial site in Pień, Dąbrowa Chełmińska commune. W: D. Poliński (red.). *Wczesnośredniowieczne i nowożytne cmentarzysko w Pniu / Early medieval and early modern burial site in Pień*. Toruń, s. 367–382.
- Grupa M. 2021. Problematyka konserwatorska zabytków pozyskanych z krypty rodziny Bontemps. W: T. Kordala (red.). *Piotr Karol Franciszek Bontemps*. Płock, s. 57–66.
- Grupa M. 2022. *Czas żupanów, czas czechmanów. Strój polski w źródłach archeologicznych, ikonograficznych i pisanych*. Toruń.
- Grupa M. 2021. Relikty nowożytnych modlitewników z badań archeologicznych w kościele św. Mikołaja w Gniewie. W: W. Zawadzki (red.). *Książka w Prusach Królewskich*. Pelplin, s. 231–257.
- Grupa M., Dobek M., Gawroński J., Tomaszewska-Szewczyk A. 2021. Guziki metalowe z Długich Ogrodów/Szafarni w Gdańsku z okresu nowożytności i współczesności. W: B. Kościński (red.). *Archeologia Gdańska* 8. Gdańsk, s. 73–91.
- Grupa M., Drażkowska A. 2014. Kilka uwag na temat koronek klockowych z odzieży grobowej. W: M. Bis, W. Bis (red.). *Rzeczy i ludzie. Kultura materialna w późnym średniowieczu i w okresie nowożytnym*. Warszawa, s. 325–334.
- Grupa M., Grupa D. 2013. Wstążki, wstążeczki z krypt kościoła p.w. Imienia NMP w Szczuczynie. W: M. Grupa, T. Dudziński (red.). *Tajemnice szczuczyńskich krypt*. Grajewo, s. 41–52.
- Grupa M., Grupa D., Kozłowski T., Krajewska M., Majorek M., Nowak M., Nowak S., Przymorska-Sztuczka M., Wojciechowska A., Dudziński T. 2014. *Tajemnice szczuczyńskich krypt (tom II)*. Grajewo–Toruń.
- Grupa M., Grupa D., Majorek M. 2014. Selected silk coffin upholstery from 17th and 18th centuries on Polish lands. *Sprawozdania Archeologiczne* 66, s. 165–182.
- Grupa M., Grupa D., Michalik J. 2020. Drewniane podkładki do guzików. W: B. Kościński (red.). *Lastadia – najstarsza stocznia Gdańska w świetle badań archeologicznych*. *Archeologia Gdańska* 7, Gdańsk, s. 532–534.
- Grupa M., Jasiak K., Grupa D., Nalaskowski F. 2022. Child's grave robe from the northern crypt of St Anne's Church in Konotop, Lubuskie Province, Poland. *Analecta Archaeologica Ressoviensia* 17, s. 51–59.

- Grupa M., Jasiak K., Kozłowski T. 2022. Wyniki prac porządkowo-inwentaryzacyjnych w krypcie zewnętrznej – północnej kościoła filialnego pw. św. Anny w Konotopie w gminie Kolsko, pow. nowosolski, woj. lubuskie. *Lubuskie Materiały Konserwatorskie* 19, s. 128–138.
- Grupa M., Kozłowski T., Jankauskas R., Grupa D., Krajewska M., Krakowska S., Majorek M., Mosiejczyk J., Nowak M., Nowak S., Przymorska-Sztuczka M., Wojciechowska A. 2015. *Tajemnice krypty w kaplicy św. Anny*. Gniew.
- Grupa M., Kozłowski T., Krajewska M., Grupa d., Janowska N., Jarzęcki K., Kurzawa D., Mucha N., Nowak M., Nowak S., Przymorska-Sztuczka M., Słomczewska M., Wojciechowska A., Majorek M. 2015. *Historia kościoła św. Oswalda w Płonkowie – tom 1*. Płonkowie.
- Grupa M., Łukaszewicz J. W. 2019. Silk band and metal appliqués of a child bonnet from the northern crypt of the parish church in Gniew. *Annalecta Archaeologica Ressoiviensia* 14, s. 137–153.
- Grupa M., Michalik J. 2020. Drewniane klocki do koronek. W: B. Kościński (red.). *Lastadia – najstarsza stocznia Gdańska w świetle badań archeologicznych*. Archeologia Gdańska 7, Gdańsk, s. 527–531.
- Grupa M., Nowak S., Nowosad W. 2018. Wams, szustokor i żupan – co „mówią” guziki i haftki. W: M. Grupa, K. Jarzęcki, W. Nowosad (red.). *Historia kościoła św. Oswalda w Płonkowie 2*. Płonkowie, s. 119–130.
- Grupa M., Nowosad W. 2018. Pochówki w krypcie kościoła pw. Podwyższenia Krzyża Św. w Tczewie – próba interpretacji źródeł archeologicznych i pisanych. *Pomorania Antiqua* 27, s. 281–294.
- Grupa M., Wojciechowska A., Dudziński T. 2013. W czym do trumny – żupany, kontusze, dezabilki i inne ubiory pochowanych w szczuczyńskich kryptach. W: T. Dudziński, M. Grupa (red.). *Tajemnice szczuczyńskich krypt*. Grajewo, s. 99–108.
- Gutkowska-Rychlewska M. 1968. *Historia ubiorów*. Wrocław–Warszawa–Kraków.
- Gutowska-Dudek K. 2012. *Portret polski. Tradycja i świadomość historyczna. Pamiątka Galerii Portretu Polskiego udostępnionej w 1963 roku w pałacu w Wilanowie*. Warszawa.
- Harris E. 2003. *Velázquez*. Madrid.
- Jabłońska-Dyrda J. 2021. Wstążka. W: B. Ceynowa (red.). *Spichlerz Błękitny Baranek. Katalog Wystawy*. Gdańsk, s. 406.
- Jarzęcki K. 2022. Skarb bydgoski. *Ziemia Kujawska* 30, s. 123–143.
- Jervis B., Cembrzyński P., Fleisher F., Wynne-Jones S. 2021. The Archaeology of Emptiness? Understanding Open Urban Spaces in the Medieval World. *Journal of Urban archaeology* 4, s. 221–246.
- Johannsen B. B. 1988. Om kongelige begravelseskikke på Christian IV's tid. In: B. B. Johannsen, A. Kruse, Ch. Paludan, L. Warburg, E. Østergård (eds). *Fru Kirsten Børn. To kongebørns begravelser i Roskilde Domkirke*. København, s. 35–64.
- Kozłowski T., Krajewska M. 2013. Mumifikacja ciała ludzkiego – wstępne wyniki badań antropologicznych pochówków w kryptach kościoła p.w. Imienia NMP w Szczuczynie. W: T. Dudziński, M. Grupa (red.). *Tajemnice szczuczyńskich krypt*. Grajewo, s. 83–98.
- Kowalkowski J., Nowosad W. 2013. *Testamenty szlachty Prus Królewskich z XVII wieku*. Warszawa.
- Kozłowski T., Grupa M. 2019. Cognitive values of ossuaries from the cemetery and the church of St. Nicolas in Gniew. *Fasciculi Archaeologiae Historicae* 32, s. 33–51.
- Kulpa S., Furmanek M., Głąb H., Grupa M., Grupa D., Podgórski A., Sady A. 2019a. Wyniki badań sarkofagów nr 5 i 12 z krypty rodu Promnitz w kościele Wszystkich Świętych w Pszczynie. W: M. Cendrowska, M. Kopec, M. Mackiewicz, M. Masojć (red.). *XXI Śląskie Sympozjum Archeologiczne, Śląsk i ziemie ościenne w pradziejach, średniowieczu i czasach nowożytnych*. Wrocław, s. 138–139.

- Kulpa S., Furmanek M., Głąb H., Grupa M., Kuzio-Podrucki A., Podgórski A., Sady A. 2019b. Badania sarkofagów nr 1 i 2 z krypty rodu Hochbergów w kościele pw. św. Mikołaja w Świebodzicach. W: M. Cendrowska, M. Kopec, M. Mackiewicz, M. Masojć (red.). *XXI Śląskie Sympozjum Archeologiczne, Śląsk i ziemie ościennie w pradziejach, średniowieczu i czasach nowożytnych*. Wrocław, s. 136–137.
- Lefébure E. 1888. *Embroidery and lace: their manufacture and history*. London.
- Majorek M., Grupa M. 2014. Kościół p.w. św. Konstancji i św. Mikołaja w Gniewkowie: w świetle badań archeologicznych. W: T. Łaszkiwicz (red.). *Pamięć, tradycja, trwanie: szkice z dziejów Gniewkowa i okolic*. Inowrocław, s. 91–105.
- Miazga B. 2017. *Zabytek archeologiczny jako źródło informacji o przeszłości. Badania specjalistyczne śladów produkcji, użytkowania i depozycji artefaktów*. Wrocław.
- Miazga B. 2018. Metal-Decorated Textiles in Non-Destructive Archaeometric Studies. Examples from Poland. *Fasciculi archaeologiae Historicae* 31, s. 161–167.
- Miazga B., Grupa M. 2022. Non-invasive archaeometric studies of silk thread with metal braiding coming from two kontush sashes from Szczuczyn excavations (Poland). *Acta Archeologica* 92 (2021), s. 175–184.
- Miazga B., Grupa M., Grupa D. 2018. Wyniki nieniszczących badań mikroskopowych i spektralnych galonów grobowych z Torunia i Gdańska. The Results of Non-destructive Microscopic and Spectral Examinations of Grave Galloons from Toruń and Gdańsk. *Wiadomości Archeologiczne* 69, s. 67–78.
- Michalik J., Kolaska K., Zamorowska A. 2020. Badania archeologiczne w krypcie kościoła pw. Podwyższenia Krzyża Świętego w Łukowie, woj. Lubelskie, sezon 2019. *Raport* 15, s. 229–245.
- Mikulski K. 1990. *Urzednicy Prus Królewskich XV – XVIII wieku*. Wrocław–Warszawa–Kraków.
- Nowak S. 2017. Czechman – element polskiego stroju narodowego. *Acta Universitatis Nicolai Copernici. Archeologia* 35, s. 173–185.
- Nowosad W., Grupa M. 2020. *Ubiory kobiece z terenu Prus Królewskich z XVI–XVIII w. – źródła pisane i archeologiczne*. W: W. Zawadzki (red.). *Kobiety w Prusach Królewskich*. Pelplin, s. 235–267.
- Nowosad W., Grupa M., Grupa D. 2018. Relikty odzieży świeckiej, Secular clothes relics. W: M. Grupa, K. Jarzęcki, W. Nowosad (red.). *Historia kościoła św. Oswalda w Płonkowie 2*, Płonkovo, s. 65–78.
- Nowosad W., Grupa M., Kozłowski T., Nalaskowski F., Grupa D., Kulesz A., Openkowski R., Dobek M., Majorek M., Michalik J. 2021a. *W źródłach utrwalone – krypty w Końskowoli*. Końskowola–Łódź.
- Nowosad W., Grupa M., Nalaskowski F., Grupa D. 2021b. Polnische Nationalidentität im Spiegel der traditionellen polnischen und westlichen Trachten. Das Phänomen der intergenerationellen Wandlung des Modestils in der ersten Hälfte des 18. Jahrhunderts. W: B. Dybaś, J. Bojarski (red.). *Gruppenidentitäten in Ostmitteleuropa, auf der Suche nach Identität, Geschichte im mitteleuropäischen Kontext 2*. Göttingen, s. 117–142.
- Ogier Ch. 2010. *Dziennik podróży do Polski 1635 – 1636*. Gdańsk.
- Sieradzka A. 2013. *Kostiumologia polska jako nauka pomocnicza historii*. Warszawa.
- Sieradzka A. 2019. Ubiory na dziecięcych portretach trumiennych z drugiej połowy XVII wieku. W: M. Janisz (red.). *Dziecko i jego świat. Ubiory dziecięce od XVII do XIX wieku*. Warszawa, s. 220–235.
- Sowina U. 2016. *Ubiór mieszczanek krakowskich w świetle inwentarzy rzeczy z przełomu średniowiecza i nowożytności*. W: E. Wólkiewicz, M. Saczyńska, M. R. Pauk (red.). *Habitus facit hominem. Społeczne funkcje ubioru w średniowieczu i w epoce nowożytnej*. Warszawa, s. 163–177.

- Tołysz K.K. 2019. Od uroków i dla ozdoby. Biżuteria dziecięca XVII – XIX wieku. W: M. Janisz (red.) *Dziecko i jego świat. Ubiory dziecięce od XVII do XIX wieku*. Warszawa, s. 37–61.
- Tomkiewicz W. 1957. *Realizm w malarstwie gdańskim przełomu XVI i XVII wieku*. W: M. Walicki (red.). *Studia Pomorskie 2*, s. 113–216.
- Turska K. 1987. *Ubiór dworski w Polsce w dobie Jagiellonów*. Wrocław–Warszawa–Kraków.
- Tylicki J. 1997. Obraz „Alegoria cnoty małżeńskiej”. Klucz do drugiego oblicza sztuki Hermanna Hana. *Biuletyn Historii Sztuki* 59 (1–2), s. 38–59.
- Tylicki J. 2005. *Rysunek gdański ostatniej ćwiertci XVI i pierwszej połowy XVII wieku*, Toruń.
- Vedeler M. 2010. Dressing the dead: traditions of burrial costume in rural Norway. In: E. Andersson Strand, M. Gleba, U. Mannering, Ch. Munkholt, M. Ringgaard (eds). *X North European Symposium for Archaeological Textiles X*. Ancient Textiles Series 5. Oxbow Books, p. 252–256.
- Włodarski J. 2016. *Jakub, Mikołaj i Ludwik Wejherowie*. Gdańsk.
- Zimmerman H. 2007. *Textiel in context. Een analyse van archeologische textielvondsten uit 16e-eeuws Groningen*. Groningen.
- Życiorys. 2017. Życiorys księcia pomorskiego Bogusława XIII z kazania pogrzebowego wygłoszonego na jego pogrzebie 9 kwietnia 1606 roku. W: M. Łopuch (red.). *Pompa funebris książąt z dynastii Gryfitów*. Szczecin.



*Małgorzata Grupa, Dawid Grupa*

## SELECTED FUNERAL DRESSES FROM THE CRYPT OF THE WEJHER FAMILY IN THE SAINT APOSTLES PETER AND PAUL CHURCH IN PUCK – SUMMARY

In the course of rescue excavations in the crypt of the Wejher family in Puck numerous silk textile fragments were found and identified as remains of funeral attire and other grave goods, such as pillows and padding of coffins (Figs. III.1–2). Other kinds of textiles, presumably linen and wool, must have decomposed entirely. Early on in the examination of the preserved fragments was it possible to identify a female dress (Fig. III.5), a child's dress resembling of a doublet, a *zupan* (Fig. III.6), a *delia* (Fig. III.7), and a sacklike funeral dress of an adult person. The remaining textiles were scattered and seriously damaged, suggesting animal and human interference in the crypt deposit, or formed conglomerations of pieces coming from different items. Attempts were made to break the latter up into separate parts during cleaning. All the finds were disinfected and straightened as much as possible. Such preparation facilitated stabilisation in the vacuum chamber and the subsequent technological analysis. After conservation, the textiles were divided according to types, which provided further information on the funeral attire given to the people interred at the site. The majority were disposable funeral dresses for children made of silk in 1/1 weave.

The first stage of analysis involved reconstruction of those pieces of clothing from Puck which exhibited features associated with the attire from the late 16th to the mid-17th centuries and could be identified as worn by the living.

The female dress presumed to belong to Anna Wejher matched the type considered as Western by Polish scholars. It consisted of a closely-fitting bodice resembling of a doublet (Fig. III.9) and a strongly-gathered wide skirt (Fig. III.34). It was sewn from a unicolour, most likely red, silk fabric with fine floral ornament arranged in an alternating pattern (Fig. III.8). The dress features the first reinforced stand-up collar and cuffs with baskins found in Poland to date. The effect of the stand-off collar and cuffs with the stand-off baskins was achieved by stuffing these elements with wool batting, and the baskins additionally used twigs, which were arranged diagonally in different directions. The bottom of the skirt was decorated with a concertina folded band made of the same fabric as the dress. The sides of the dress had in-seam pockets.

Another unique find was a one-piece child's dress with a bodice resembling of a doublet and an open, bell-shaped skirt (Figs. III.19–20).

The dress could be reconstructed thanks to decorative bobbin lace applications made of silk threads with metal braid. Judging from the size of the dress, the age of the child wearing it could be estimated to four or five years. Sex determination was not possible, however, because all upper-class children in the period would typically wear clothes similar to those of their mothers. It is known, however, that the crypt contained remains of a girl aged around four.

The Polish national dress is represented in the assemblage by a *zupan* and a *delia*. The *zupan* was a male dress traditionally manufactured in the Polish-Lithuanian Commonwealth. The discussed find was made of damask silk, reddish in colour, with floral ornamentation and edges braided with plaited silk thread (Fig. III.22). The front consisted of two parts, both closely-fitting and attached to the belt with seventeen textile buttons with a wooden core [*knefel*] (Fig. III.24). From waist up, the *zupan* was widened at the sides with sewn-in wedges. The lack of wear on the sleeve endings indicates that the attire was made shortly before the death of its wearer. The *delia* proved quite problematic at the early stage of reconstruction. Its remains consisted of numerous fragments of satin cloth and two pieces of floral damask silk. A scrupulous analysis revealed that haberdashers with textile buttons were stitched to the thread of the edging and one edge of the dress. However, no traces of attaching were found on the satin cloth, suggesting that the preserved

silk fabric had come from a lining made of smaller fragments sewn together. Therefore, it was concluded that the outer side of the *delia* must have been made of wool which decomposed entirely (Figs. III.38–37). Analogous cases have been reported during reconstructions of funeral attire in Lublin (cathedral) and Warsaw (St. Catherine Church in the Służew district). Remains of *delia* are seldom found together with a *zupan*, which indicates that the grave garb was meant to reflect the clothing worn by the living and, thus, their social standing. However, the fact that some clothes or elements had been made of woollen fabrics which did not survive distorts contemporary perspective on the funeral attire of Polish nobility.

The most modest dress, sewn specifically for the funeral of an adult person, took the form of a sack with simple sleeves. Even though many similar dresses have been found during archaeological investigations the discussed specimen is still unique, because it was made of two parts joined together. The first part was a lining – a silk fabric in 1/1 weave. The other one was a fifty-percent silk mixture, of which only tangled silk threads survived (Fig. III.30-31).

The archaeological funeral attire from Puck provided new insights on the clothing worn in the Polish-Lithuanian Commonwealth. These clothes exhibited formal characteristics of both Western and Polish origin, reflecting the situation of families in which the West encountered the East.

Monika Badura, Agnieszka M. Noryskiewicz

## ROLA ROŚLIN W POCHÓWKACH TRUMIENNYCH Z KRYPTY RODZINY WEJHERÓW W KOŚCIELE PW. ŚW. ŚW. APOSTOŁÓW PIOTRA I PAWŁA W PUCKU

### Wstęp

Ród Wejherów jest niezwykle silnie związany z Pomorzem Gdańskim i takimi miastami, jak Puck czy Wejherowo. Poznanie jego dziejów jest ważnym elementem odkrywania historii i kultury omawianego regionu. Oprócz informacji dotyczących działalności politycznej czy gospodarczej interesującym zagadnieniem pozostaje życie codzienne członków rodu, w tym ich praktyka religijna. Nieodłącznym elementem wiary jest śmierć i obrządek związany z chowaniem zmarłych, które połączone są z wyznaniem, statusem społecznym czy też zwykłą troską o zmarłego. W tej *Pompa funebris* oprócz rzeczy materialnych ważną rolę odgrywały rośliny. Badania archeologiczne krypty Wejherów w kościele parafialnym pw. św. św. Apostołów Piotra i Pawła w Pucku dały unikalną szansę na opisanie znaczenia roślin wykorzystanych w obrzędzie pogrzebowym tego znamienitego rodu w 1. połowie XVII wieku.

### Materiał i metody

Materiał archeobotaniczny zebrany został z czterech sektorów wydzielonych podczas eksploracji w obrębie krypty rodziny Wejherów

w kościele parafialnym w Pucku (por. Blusiewicz, rozdział I w tym tomie) i przypuszczalnie pochodzi z czterech złożonych tam pochówków (**tab. IV.1**). Ilość zabezpieczonego materiału zależała od stopnia zniszczenia poszczególnych trumien. Łącznie zebrano dziewięć prób zawierających szczątki roślin. Najwięcej materiału (pięć prób) pobrano z trumny o nr inw. Pk.M.120.KW.05, w której najprawdopodobniej znajdowały się szczątki Anny Wejher z Mortęskich (**ryc. IV.1**). Trumna zachowała się w bardzo dobrym stanie, a jej dno wyściełane było grubą warstwą zespolonych szczątków roślin. Mimo, że wstępny ogląd sugerował jeden typ rośliny użyty do wypełnienia trumny, zdecydowano się na zebranie prób w nawiązaniu do anatomicznego ułożenia zwłok: głowa/poduszka, tułów, uda, łydki, stopy. Tylko w tym przypadku szczątki roślin zachowały się *in situ*. W przypadku pozostałych, bardzo zniszczonych i częściowo przemieszanych pochówków pobrano pojedyncze próby, które jedynie poprzez przypisanie do sektora można łączyć z pochówkami konkretnych osób.

W skład wszystkich prób wchodziły wysuszone, w różnym stopniu zachowane fragmenty roślin. Najbardziej rozdrobniony był materiał zinwentaryzowany pod nr Pk.M.120.KW.06. W laboratorium, dla każdej z prób została wy-

**Tabela IV.1.** Lista prób archeobotanicznych pobranych z krypty rodziny Wejherów w kościele pw. św. św. Apostołów Piotra i Pawła w Pucku (informacja archeologiczna za K. Blusiewicz; identyfikacja antropologiczna za Fetner i in., w tym tomie). Rozmieszczenie prób 1–6 zgodnie z ryc. IV.1. Oprac. M. Badura.

**Table IV.1.** List of archaeobotanical samples collected in the crypt of the Wejher family in the Saint Apostles Peter and Paul Church in Puck (archaeological information after K. Blusiewicz; anthropological identification after Fetner et al., in this volume). Spatial distribution of the samples 1–6 as in Figure IV.1. Compiled by M. Badura.

Lp.	Nr. inw. próby	Pochówek	Miejsce zebrania próby	Datowanie	Waga próby (g)	Palinologia
1.	Pk.M.120.KW.05a	Anna Wejher z Mortęskich	głowa	1 ćw. XVII w. (zmarła po 1606 r.; w 1616 r. wg Ciara 1980)	36	+
2.	Pk.M.120.KW.05b		głowa		921	+
3.	Pk.M.120.KW.05c		plecy		32	+
4.	Pk.M.120.KW.05d		uda		286	+
5.	Pk.M.120.KW.05e		łydki		21	+
6.	Pk.M.120.KW.05f		stopy		97	+
7.	Pk.M.120.KW.06	prawdopodobnie Ernest Wejher	materiał organiczny z powierzchni trumny	XVI/XVII w. (zm. 1598 r.)	1	-
8.	Pk.M.120.KW.07	prawdopodobnie Kacper Szczawiński	fragment tkaniny z poduszki widocznymi pozostałościami roślin	1 ćw. XVII w. (zm. 1617 r.)	226	+
9.	Pk.M.120.KW.10	wymieszane szczątki dorosłej kobiety oraz dziecka	materiał organiczny zebrany między szczątkami ludzkimi	XVII w.	21	+

konana dokumentacja fotograficzna (**ryc. IV.2**) oraz pobrano materiał do analizy palinologicznej. Ze względu na niewielką ilość materiału z próbki z sektora KW.06 odstąpiono od pobierania próby palinologicznej (**tab. IV.1**).

Próby przeznaczone do analizy makroskopowej delikatnie przesiano na sucho na dwóch sitach o średnicy oczek 0,5 i 0,2 mm. Uzyskane frakcje segregowano pod mikroskopem stereoskopowym (Nikon SMZ1500) przy powiększeniach do 10x. Wybrane pozostałości roślin (nasiona, owoce, kwiaty, kwiatostany, przykładowe fragmenty łydy) przechowywano na sucho w odpowiednich pojemnikach i woreczkach. Identyfikację materiału przeprowadzano w oparciu o opisy zawarte w atlasach i kluczach karpologicznych/florystycznych

(Kulpa 1974; Szafer i in. 1988; Cappers i in. 2006), a poprawność oznaczeń konfrontowano z okazami współczesnymi zdeponowanymi w Herbarium Universitatis Gedanensis UGDA oraz kolekcji karpologicznej Pracowni Paleoekologii i Archeobotaniki, Katedry Ekologii Roślin UG (CRefCool-UGDA). Nazwy taksonów przyjęto za Mirek i in. (2002).

Do analizy palinologicznej wytypowano osiem próbek (**tab. IV.1**) do których zastosowano standardową dla badań palinologicznych metodę (Berglund, Ralska-Jasiewiczowa 1986). Przygotowanie laboratoryjne osadu do analizy mikroskopowej w pierwszej kolejności polegało na potraktowaniu go 10% roztworem kwasu solnego w celu pozbawienia węglanów. Następnym etapem było zagotowanie osadu z 10% roztworem



**Ryc. IV.1.** Wnętrze trumny Pk.M.120.KW.05 z krypty Wejherów w Pucku z oznaczeniem miejsc zebrania prób do analiz archeobotanicznych (fot. M. Miścicki). Numeracja prób jak w tabeli IV.1.

**Fig. IV.1.** Inside of the coffin Pk.M.120.KW.05 from the crypt of the Wejher family in Puck with marked places where samples were collected for archaeobotanical analyses (photo by M. Miścicki, edited). Numbering of samples as in Table IV.1.



**Ryc. IV.2.** Próba archeobotaniczna nr 6 przed segregacją (dolna część trumny Anny Wejher). Fot. M. Badura.

**Fig. IV.2.** Archaeobotanical sample no. 6 before segregation (bottom part of the coffin of Anna Wejher). Photo by M. Badura.

wodorotlenku potasu KOH oraz macerowanie standardową dla palinologii metodą acetolizy Erdtmanna (Berglund, Ralska-Jasiewiczowa 1986). Ze względu na dużą zawartość substancji mineralnej próby poddano również działaniu kwasu fluorowodorowego w celu rozpuszczenia frakcji ilastej (materiał w kwasie pozostawiono na 72 godziny). Próby przeglądano pod mikroskopem optycznym Axioskop 2 przy powiększeniu

400-630x, a fotografie wykonywano kamerą AxioCam ICc 3 firmy Zeiss i Jenoptik. Identyfikację oparto na atlasach i kluczach (Punt i in. 2003; Beug 2004) oraz materiale porównawczym. Materiały badawcze (zawiesina w glicerynie) uzyskane po acetolizie przechowywane są w Katedrze Archeologii Środowiskowej i Paleoekologii Człowieka Instytutu Archeologii na Uniwersytecie Mikołaja Kopernika w Toruniu.

**Tabela IV.2.** Lista taksonów szczątków makroskopowych odnotowanych w próbach pobranych z krypty rodziny Wejherów w kościele pw. św. św. Apostołów Piotra i Pawła w Pucku; numeracja próbek jak w tab. IV.1: + - pojedyncze znalezisko; +++ - nagromadzenie szczątków rośliny. Oprac. M. Badura.

**Table IV.2.** List of taxa of macroremains registered in the samples collected in the crypt of the Wejher family in the Saint Apostles Peter and Paul Church in Puck; numbering of samples as in Table IV.1: + - single find; +++ - cluster of vegetal finds. Compiled by M. Badura.

Takson	Typ szczątków roślinnych	pochówek								
		5					6	7	8	
		próba								
		1	2	3	4	5	6	7	8	9
<b>Asteraceae</b>										
<i>Artemisia</i> sp. bylica	koszyczek	-	-	-	-	-	-	-	2	-
Asteraceae indet. astrowate	kwiaty	-	-	-	-	-	-	-	6	-
<i>Centaurea</i> sp. chaber	owoc	-	1	-	-	-	-	-	-	-
<i>Leontodon autumnalis</i> L. brodawnik jesienny	owoc	-	1	-	-	-	-	-	-	-
<i>Sonchus arvensis</i> L. mlecz polny	owoc	-	-	-	-	-	-	-	2	1
<b>Boraginaceae</b>										
<i>Myosotis arvensis</i> (L.) Hill niezapominajka polna	owoc	-	-	-	-	-	-	-	2,5	-
<b>Brassicaceae</b>										
<i>Brassica rapa</i> L. kapusta (rzepa) właściwa	nasiona	-	-	-	-	-	-	-	2	-
<b>Cannabaceae</b>										
<i>Humulus lupulus</i> L. chmiel zwyczajny	owoc	1	5	-	7	-	-	-	-	-
	szyszki	-	-	+++	-	+++	+++	-	-	-
<b>Carophyllaceae</b>										
<i>Arenaria serpyllifolia</i> L. piaskowiec macierzankowy	nasiona	-	-	-	-	-	-	-	5	-
<i>Spergula arvensis</i> s.l. L. sporek polny	nasiono	-	2	-	-	-	-	-	-	-
<b>Chenopodiaceae</b>										
<i>Chenopodium album</i> L. komosa biała	owoc	-	3	-	-	-	-	-	-	-
<i>Chenopodium</i> sp. komosa	owoc	-	2	-	-	-	-	-	-	-







## Wyniki

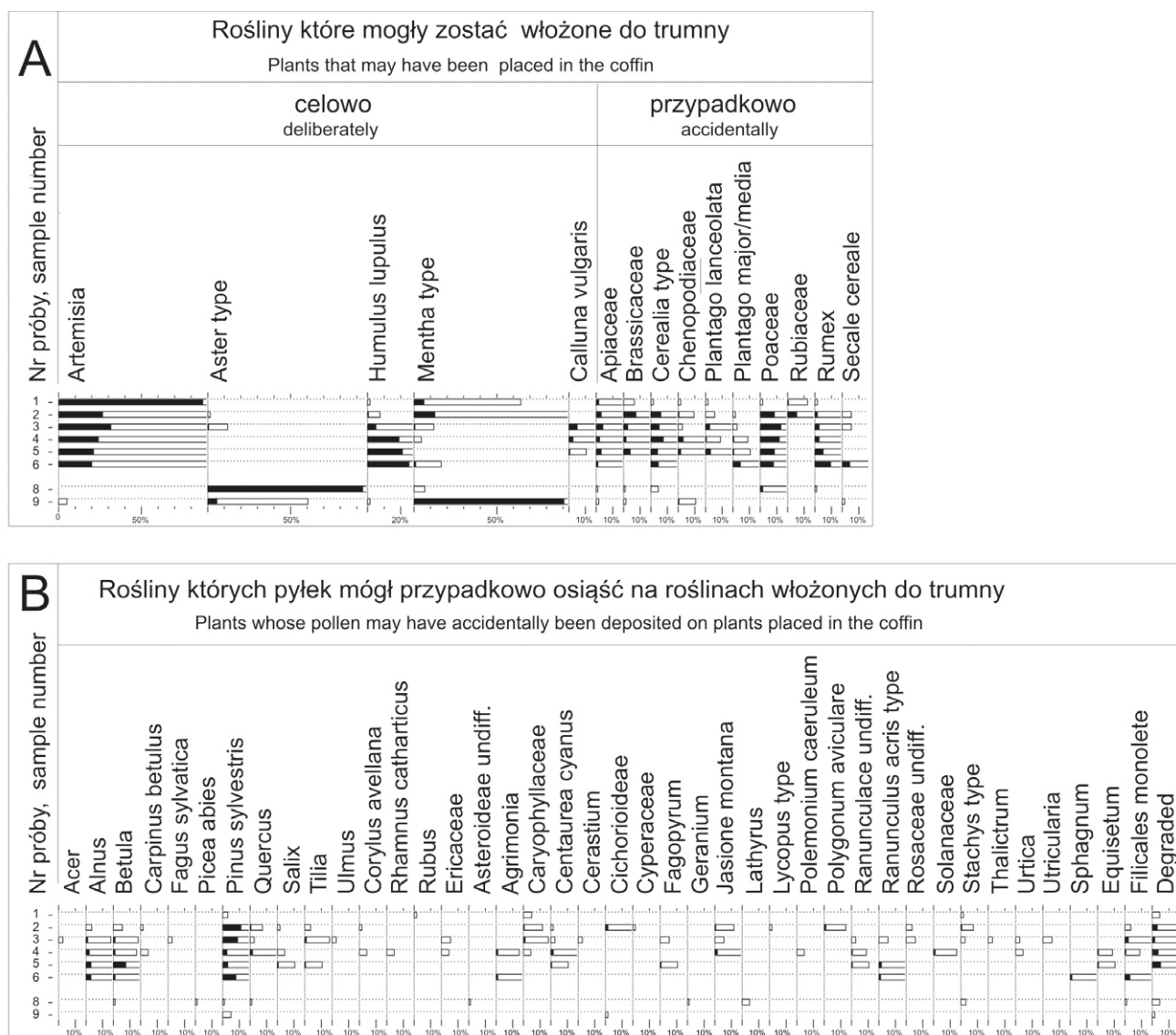
*Pk.M.120.KW.05*

*Próby 1 i 2 – górna część trumny*

W górnej części trumny zaobserwowano bardzo zniszczony materiał organiczny uformowany w rodzaj wyniesienia, którego zewnętrzna część przyjęła formę twardej skorupy. Próby pobrano po ściągnięciu zbitej organiki. W pierwszej z nich znaleziono jedynie jeden owocek chmielu zwyczajnego *Humulus lupulus* oraz dwa niezidentyfikowane fragmenty kwiatów (tab. IV.2). W drugiej próbie opisano przede wszystkim

owoczek rdestu szczawiolistnego *Polygonum lapathifolium* i rdestu ptasiego *P. aviculare*. Mogły im towarzyszyć komosa biała *Chenopodium album*, sporek polny *Spergula arvensis* s.l. i szczaw kędzierzawy *Rumex crispus*. Ślady tych roślin zachowały się w postaci pojedynczych diaspor. Dodatkowo wśród roślin złożonych w górnej części trumny musiały znajdować się okazy chmielu zwyczajnego *H. lupulus* oraz prosa zwyczajnego *Panicum miliaceum*.

Obraz palinologiczny obu próbek (ryc. IV.3) jest bardzo odmienny od wyników analizy szczątków makroskopowych. W spektrum pyłkowym pierwszej z nich stwierdzono 18 taksonów, przy czym tylko



**Ryc. IV.3.** Procentowy diagram pyłkowy prób pobranych z krypty rodziny Wejherów w kościele pw. św. św. Apostołów Piotra i Pawła w Pucku; numeracja próbek jak w tabeli IV.1. Oprac. A. M. Noryśkiewicz.

**Fig. IV.3.** Percentage pollen diagram for the samples collected in the crypt of the Wejher family in the Saint Apostles Peter and Paul Church in Puck. Numbering of samples as in Table IV.1. Compiled by A. M. Noryśkiewicz.

jeden – bylica *Artemisia* wyraźnie dominuje pod względem udziału sporomorf. Pyłek z tego rodzaju osiąga w omawianej próbie 88% udziału (500 ziaren na 571 wszystkich naliczonych w tej próbie). Dodatkowo jest to pyłek, który reprezentuje różne etapy rozwoju (**ryc. IV.4:11-12**). Znaczący jest jeszcze tylko udział pyłku z rodziny jasnotowatych *Lamiaceae* *Mentha* type; 6,5% (**ryc. IV.4:10**). Pozostałe taksony nie osiągają wartości wyższej niż 2% (**ryc. IV.3**). Druga próbka charakteryzuje się dużo wyższą różnorodnością taksonomiczną w stosunku do próbki pierwszej. Oznaczono tu 33 taksony, a pyłek dziewięciu z nich osiąga udział powyżej 2% (bylica *Artemisia* – 27%, typ mięta *Mentha* type – 12%, sosna zwyczajna *Pinus sylvestris* – 11,5% (**ryc. IV.4:16**), trawy *Poaceae* – 9%, kapustowate *Brassicaceae* – 8%; typ zboża *Cerealia* type – 6,5%, marzanowate *Rubiaceae* – 6%, baldaszkowate *Apiaceae* – 3,5%, jęczminkowate *Cichorioideae* – 2,2%). Obok licznych ziaren pyłku z rodziny jasnotowatych *Lamiaceae* (*Mentha* type) obecne są również liczne włoski gruczołowe typu *Lamiaceae* (w ramach pozostałości pozapyłkowych). Stosunkowo dużo sporomorf nosi ślady zniszczenia.

### Próba nr 3 – plecy

Próba pobrana w okolicy pleców w ocenie makroskopowej składała się wyłącznie ze zbitych pozostałości chmielu zwyczajnego *H. lupulus*. Mimo znacznej kompaktacji materiału, można było dostrzec w nim całe szyszki chmielu (**ryc. IV.4:1**). Na błoniastych łuskach, jak również na owockach zachowały się dobrze widoczne, żółtawe gruczoły z lupuliną.

Obraz palinologiczny tej próby jest znacznie bogatszy taksonomicznie niż wynik analizy szczątków makroskopowych. Oznaczono tu 36 taksonów (**ryc. IV.3**), a 11 z nich osiąga wartość powyżej 2% (bylica *Artemisia* 31%, trawy *Poaceae* 11%, sosna zwyczajna *Pinus sylvestris* 10%, wrzos pospolity *Calluna vulgaris* 5,5%, typ zboża *Cerealia* type 5,5%, chmiel zwyczajny *H. lupulus* 5,5%, kapustowate *Brassicaceae* 3,5%, baldaszkowate *Apiaceae* 3,5%, babka lancetowata *Plantago lanceolata* 3%, szczaw *Rumex* 3%, paprocie *Filicales* monolete 2,3%).

### Próby 4-6 – górna oraz dolna część nóg

Materiał roślinny złożony w okolicach dolnej części nóg (łydki – próba 5, stopy – próba 6), podobnie jak ten z okolicy pleców składał się niemal wyłącznie z szyszek chmielu (**ryc. IV.3, ryc. IV.4:1-2**). Interesującym jest fakt, że w próbie reprezentującej materiał organiczny złożony w okolicy ud (próba nr 4) nie stwierdzono widocznych śladów chmielu *H. lupulus*. Znaleziono zaledwie kilka orzeszków. Wśród niezidentyfikowanych części wegetatywnych zanotowano jeszcze kłoski owsa zwyczajnego *Avena sativa* (**ryc. IV.4:5**).

Zróznicowanie w składzie botanicznym prób z okolicy górnej i dolnej części nóg jest zauważalne również w obrazie palinologicznym. Próbka nr 4 charakteryzuje się wysoką różnorodnością taksonomiczną (32 taksony) i ponownie pyłek aż 10 z nich osiąga udział powyżej 2% (**ryc. IV.3**) (bylica *Artemisia* – 24%, chmiel zwyczajny *H. lupulus* – 19%, trawy *Poaceae* – 12%, typ zboża *Cerealia* type – 8%, komosowate *Chenopodiaceae* – 3,5%, wrzos pospolity *Calluna vulgaris* – 3%; sosna zwyczajna *P. sylvestris* – 3%, szczaw *Rumex* – 3%, olsza *Alnus* – 2,5%, baldaszkowate *Apiaceae* – 2,5%). Próbki numer 5 i 6 wyraźnie wyróżniały się już na etapie obróbki laboratoryjnej – ich konsystencja była bardzo kleista. Różny jest też ich obraz mikroskopowy, w którym mało jest ziaren pyłku, a stosunkowo dużo niemożliwych do zidentyfikowania pozostałości tkanek roślinnych. W obu przypadkach koniecznym było przejście kilku preparatów, a naliczono mniej niż 100 sporomorf (odpowiednio 89 i 59). W tej małej ilości pyłku dominują dwa taksony: bylica *Artemisia* 20–21% i chmiel zwyczajny *H. lupulus* 21–25%.

### Pk.M.120.KW.06 – próba nr 7

W trakcie eksploracji zebrano niewielką ilość (ok. 1 g) znacznie rozłożonych szczątków organicznych<sup>1</sup>. Wśród nich znaleziono pojedyncze nasiona koniczyny białej *Trifolium repens*.

<sup>1</sup> Ze względu na niewielką ilość materiału nie pobrano próby palinologicznej.

### **Pk.M.120.KW.07 – próba nr 8**

Próbkę nr 8 stanowi materiał roślinny zebrany z tkaniny, prawdopodobnie wyścielającej górną część trumny. Charakteryzował się on znacznym zróżnicowaniem taksonomicznym szczątków makroskopowych. Zasadniczym elementem próby były liczne owocki (372) lebiodki pospolitej *Origanum vulgare* (ryc. IV.4:4). Z tej samej rodziny pochodzi mięta polna *Mentha arvensis*, która zachowała się w postaci kilku owocków (ryc. IV.4:9). Dodatkowy składnik stanowiły pojedyncze kwiatki oraz nasiona koniczyny łąkowej *Trifolium pratense* oraz nasiona koniczyny białej *T. repens*. Oprócz wymienionych gatunków w próbie stwierdzono inne, ale reprezentowane przez pojedyncze diaspory. Należały one do roślin, które powszechnie występują w zbiorowiskach ruderalnych i segetalnych (np. rdestówka powojowata *Fallopia convolvulus*, niezapominajka polna *Myosotis arvensis*, rdest szczawiolistny *P. lapathifolium*, szczaw polny *Rumex acetosella*), na świeżych i wilgotnych łąkach (np. kozłek lekarski *Valeriana officinalis*, pięciornik gęsi *Potentilla anserina*, jaskier ostry *Ranunculus acris*, jaskier rozłogowy *R. repens*, sitowie leśne *Scirpus sylvaticus*), a nawet nad brzegami zbiorników wodnych i w pobliżu torfowisk (ponikło błotne/jednoprzysadkowe *Eleocharis palustris/uniglumis*, gnidosz błotny *Pedicularis palustris*).

Zupełnie odmienny jest obraz palinologiczny opisywanej próby. Aż 94% oznaczonych w niej sporomorf stanowił pyłek z rodziny astrowatych (539 pyłku typ aster *Aster* type na 572 ziaren łącznie naliczonych w tej próbie) i jedynie pyłek traw Poaceae osiągnął udział powyżej 2%. Pozostałe ziarna pyłku były sporadyczne (ryc. IV.3). Obok czterech ziaren pyłku w typie mięty *Mentha* type, co stanowi zaledwie 0,7%, obecne były również włoski gruczołowe typu jasnotowate Lamiaceae (Balcerek 2019).

### **Pk.M.120.KW.10 – próba nr 9**

Cechą charakterystyczną materiału jest dominacja szczątków roślin z rodziny jasnotowatych Lamiaceae. Ślady owocków z częścią okwiatu świadczą o tym, że szalwia lekarska *Salvia of-*

*ficinalis* czy hyzop lekarski *Hyssopus officinalis* zostały włożone do trumny w formie ziela z przekwitniętymi kwiatami (ryc. IV.4:8). Interesującym znaleziskiem są pozostałości pszczelnika mołdawskiego *Dracocephalum moldavicum* (ryc. IV.4:7). Dodatkowo w próbie zachowały się pojedyncze owocki roślin z rodzin: astrowate Asteraceae, ciborowate Cyperaceae czy kozłkowate Valerianaceae.

Obraz palinologiczny omawianej próby wydaje się być bardzo spójny z wynikami analizy szczątków makroskopowych. Materiał charakteryzuje się dominacją pyłku z rodziny jasnotowatych Lamiaceae (typ mięta *Mentha* type – 91%). Obecne są również, oznaczone w ramach pozostałości pozapyłkowych, liczne włoski gruczołowe typu jasnotowate Lamiaceae.

## **Rola roślin w pochówkach rodu Wejherów**

Rośliny jako element wyposażenia trumien są znajdowane w Polsce w pochówkach zarówno zamożnych zmarłych, jak i tych z niższych sfer społecznych. W przypadku krypty w Pucku mamy do czynienia z osobami wywodzącymi się ze znamienitego rodu wyznania katolickiego. Ten ostatni element ma znaczny wpływ na oprawę ceremonii pogrzebowej i rodzaj wykorzystanych roślin (Badura i in. 2023). W trakcie badań archeobotanicznych w krypcie rodu Wejherów najwięcej informacji uzyskano odnośnie do pochówku Anny Wejher z Mortęskich, żony Ernesta Wejhera, zmarłej po 1606 r., prawdopodobnie w 1616 r. (Ciara 1980, 22). Z całą pewnością jej trumna została wypełniona szyszkami chmielu *Humulus lupulus*. Świadczą o tym wyniki analizy szczątków makroskopowych. Szyszki chmielu najlepiej zachowały się w dolnej części trumny, co może mieć związek z innym przebiegiem procesu rozkładu ciała w przypadku nóg oraz stóp zmarłej. Niewielki udział lub wręcz brak rozpoznawalnych części chmielu w próbach z górnej części trumny może być spowodowany znacznym stopniem zniszczenia materiału organicznego, co może mieć miejsce w przypadku, jeżeli ciało nie zostało wcześniej poddane procesowi balsamowania. We wszystkich próbach z pochówku Anny Wejher



- ◀ **Ryc. IV.4.** Szczątki archeobotaniczne z krypty rodziny Wejherów w kościele pw. św. św. Apostołów Piotra i Pawła w Pucku: 1-3 *Humulus lupulus*: 1 - fragment zachowanych szyszek chmielu, 2 - ziarno pyłku, 3 - owoc z resztkami błoniastych łusek szyszki; 4 - owocki *Origanum vulgare*; 5-6 - *Avena sativa*: 5 - kłosek, 6 - ziarno pyłku; 7 - owocek *Dracocephalum moldavica*; 8 - fragment okwiatu (kielich) *Hyssopus officinalis* zachowany na szczytowej części pędu; 9 - owocek *Mentha arvensis*, 10 - ziarna pyłku *Mentha* type; 11-12 - *Artemisia*: 11 - zlepione ziarna pyłku, 12 - pojedyncze ziarno pyłku; 13 - owocek *Satureja hortensis*; 14 - ziarno pyłku Caryophyllaceae; 15 - zlepione ziarna pyłku Asteroideae; 16 - ziarno pyłku *Pinus sylvestris*; 17 - ziarno pyłku *Tilia*. Fot. M. Badura, A. M. Noryskiewicz, Z. Grunt; skala: makroszczałki - 1 mm, pyłek - 20 µm

**Fig. IV.4.** Archaeobotanical remains from the crypt of the Wejher family in the Saint Apostles Peter and Paul Church in Puck: 1-3 - *Humulus lupulus* (1 - preserved fragment of a hop cone; 2 - pollen; 3 - fruit with remains of the membranous cone scales); 4 - fruits of *Origanum vulgare*; 5-6 - *Avena sativa* (5 - spikelet; 6 - pollen); 7 - fruit of *Dracocephalum moldavica*; 8 - fragment of the perianth (cup) of *Hyssopus officinalis* preserved on the top part of the sprig; 9 - fruit of *Mentha arvensis*; 10 - pollen of the *Mentha* type; 11-12 - *Artemisia* (11 - clumped pollen; 12 - single pollen); 13 - fruit of *Satureja hortensis*; 14 - pollen of Caryophyllaceae; 15 - clumped pollen of Asteroideae; 16 - pollen of *Pinus sylvestris*; 17 - pollen of *Tilia*. Photos by M. Badura, A. M. Noryskiewicz, Z. Grunt: scale: macroremains - 1mm, pollen - 20 µm

obecny jest również pyłek chmielu i podobnie jak w przypadku analizy szczątków makroskopowych, jego większy udział notowany jest w dolnej części trumny. Ogólnie niska reprezentacja pyłku *H. lupulus* wynika zapewne z dwupienności tego taksonu i celowego wykorzystywania do wyłożenia trumny jedynie okazów żeńskich. Zapewne rośliny męskie zostały zebrane przypadkiem, przy okazji zrywania tych bardziej pożądaných, ze względu na właściwości, okazów żeńskich. Obecność chmielu w pochówkach jest częstym zjawiskiem (Jarosińska i in. 2019). Głównym zadaniem szyszek chmielu było opóźnienie rozkładu zwłok. Te części rośliny są pokryte gruczołami wydzielającymi żółtą, gorzką substancję o charakterystycznym zapachu zwaną lupuliną. Zarówno same szyszki, jak i lupulina wykazują działanie antybakteryjne i przeciwgrzybicze (Mielczarek i in. 2010). Co interesujące – według podań ludowych poduszka wypchana chmielem zapewniała spokojny sen i w podobnym celu, szczególnie na wsiach wkładano szyszki chmielu do trumien (Jarosińska i in. 2019). W przypadku pochówku Anny Wejher wydaje się, że chmielem wypełnione było całe dno trumny. Mógł on stanowić pewnym stopniu rodzaj materaca, na którym spoczywało ciało. Prawdopodobnie w górnej części trumny znajdowała się poduszka. Wypchanie jej roślinami zapewniało odpowiedni sposób eksponowania głowy zmarłej. Niestety zachowały się one w formie silnie rozłożonych części, wśród których mogą być pozostałości chmielu. Wskazuje na to

m.in. jeden owoc chmielu. Niewykluczone jednak, że to przypadkowe zanieczyszczenie z dolnej części trumny. Dodatkowo w miejscu poduszki stwierdzono ślady nasion i owoców należących do typowych roślin ruderalnych.

Uzyskany obraz botaniczny byłby w zasadzie bardzo prosty, gdyby nie zastosowanie analizy palinologicznej. Wykazała ona, że obie próby pobrane z poduszki charakteryzują się stosunkowo dużym udziałem zróżnicowanego pyłku, co wskazuje, że w okolicy głowy Anny Wejher złożono prawdopodobnie kwitnące okazy roślin. Wśród opisanych sporomorf wystąpiło stosunkowo dużo okazów bylica *Artemisia*. W badaniach palinologicznych bylicę rozpoznaje się tylko do rodzaju, ponieważ jej pyłek wykazuje stosunkowo dużą zmienność w obrębie zarówno poszczególnych gatunków, a nawet lokalizacji w samym kwiatostanie (Beug 2004; Bogawski i in. 2015). Na terenie Polski występuje kilkanaście gatunków bylic, wśród których są zarówno formy rodzime, jak i obce (Mirek i in. 2002). Dane etnobotaniczne wskazują na wykorzystywanie w obrzędach pogrzebowych bylicy piołun *Artemisia absinthium* czy bylicy boże drzewko *A. abrotanum* (Paluch 1988; Kujawska i in. 2016). Oba gatunki posiadają charakterystyczny, dosyć intensywny aromat, który mógł tłumić zapach rozkładającego się ciała. O powszechnym zastosowaniu bylic w obrzędach pogrzebowych świadczą ich znaleziska w wielu pochówkach z terenu Polski (Pińska i in. 2015; Pińska, Drązkowska 2020; Badura i in. 2023).

W podobnym celu do poduszki lub wokół głowy mogły zostać złożone rośliny z rodziny Lamiaceae, których obecność została zarejestrowana tylko dzięki analizie palinologicznej. Większość przedstawicieli jasnotowatych zawiera olejki eteryczne wydzielane i gromadzone we włoskach gruczołowych, znajdujących się przeważnie na liściach oraz działkach kielicha (Skrzypczak-Pietraszak, Grzybek 1997). W górnej części trumny Anny Wejher wystąpił pyłek *Mentha* typ, który można wiązać z różnymi gatunkami mięty lub np. tymiankiem (Beug 2004). Ponadto stwierdzono tam stosunkowo duży udział ziaren pyłku sosny zwyczajnej *Pinus sylvestris*. Wysoki udział jej sporomorfa może być spowodowany tym, że kwiaty, które zostały złożone do grobu, zrywane były w okolicach czerwca, czyli w okresie kwitnienia sosny. Zapewne pyłek sosny dostał się do trumny przypadkowo, jako naprószone na inne kwiaty czy zioła. Jego obecność z pewnością nie jest związana z drewnem z którego wykonano trumnę, która wykonana została z drewna dębowego.

Materiał roślinny zebrany w okolicy tułowia zmarłej (próbą 3) poza chmielem *H. lupulus* nie zawierał identyfikowalnych pozostałości roślin. Obraz palinologiczny jest bardziej zróżnicowany i wskazuje, że okolice pleców mogły zostać wyszczelnione nie tylko okazami chmielu *H. lupulus*, ale również wrzosem *Calluna vulgaris* i być może bylicą *Artemisia*. Jednak nie można wykluczyć, że bylica została złożona jedynie wokół głowy, a jej pyłek przemieścił się wtórnie już w trumnie w okolice pleców. Pozostały pyłek z próby nr 3 prawdopodobnie dostał się do pochówku przypadkowo, podobnie jak sosna, naprószone na okazach chmielu lub bylicy. Może on świadczyć o okresie oraz o środowisku i okolicy z jakiej te zebrane celowo rośliny były pozyskiwane.

Niewykluczone, że na wysokości ud zmarłej zostały złożone bukietki kwiatów. W spektrum palinologicznym próby 4 i 5 mamy do czynienia z dużym zróżnicowaniem pyłku, głównie roślin zielnych, jednak brakuje tu jakiegoś przewodniego taksonu. Ślady makroskopowe roślin niestety nie oddają tego obrazu. W próbie z tej części trumny zidentyfikowano tylko chmiel.

Podsumowując wyniki obu analiz, w przypadku trumny Anny Wejher możemy stwierdzić,

że intencjonalnie zostały tam złożone na pewno chmiel, bylica, rośliny z rodziny jasnotowatych i być może wrzos. Ogólny obraz pyłkowy wskazuje, że te główne rośliny zostały zerwane na przełomie czerwca i lipca. Wskazywałyby na to obecność dość licznego pyłku brzozy *Betula*, olszy *Alnus*, sosny zwyczajnej *P. sylvestris*, zbóż *Cerealia* oraz mniej liczny pyłek lipy *Tilia* (ryc. IV.4), czyli roślin kwitnących właśnie w tym okresie.

Pozostałe trumny nie zachowały się w tak dobrym stanie, jak trumna żony starosty puckiego. Z dwóch z nich uzyskano materiał roślinny, który może reprezentować wypełnienia, przy czym próba nr 7 (Pk.M.120.KW.06) zawierała niewielką ilość bardzo zniszczonych resztek. Uzyskany wynik (jeden takson) nie upoważnia do wyciągnięcia dalszych wniosków.

W próbie archeobotanicznej pobranej z tkaniny jedwabnej stanowiącej poszewkę poduszki (Pk.M.120.KW.07, próba nr 8) niemal całe spektrum pyłkowe dotyczyło roślin z rodziny astrowatych Asteraceae (podrodziny rurkowate Asteroideae w tym *Aster* type). Kwiaty musiały być włożone do trumny na różnym etapie rozwoju: zarówno w pełni rozwinięte, jak i w formie pąków. Świadczy o tym obecność, obok w pełni rozwiniętego pyłku, również takiego niedojrzałego, zamkniętego w pylnikach. Obraz może sugerować, że w okolicy głowy złożony był bukiet składający się z kwiatów z rodziny astrowatych. Wydaje się to być prawdopodobne, ponieważ wiele kwiatów z tego rodzaju ma charakter ozdobny i do teraz są składane na grobach. Analiza szczątków makroskopowych z omawianej próby wskazuje jednak, że obok kwiatów z rodziny astrowatych wystąpiły również inne gatunki. Z pewnością na tkaninie położono lebidkę pospolitą *Origanum vulgare*. Liczne owocki, zachowane z resztkami okwiatów, wskazują, że były to rośliny na etapie przekwitania. Lebidka to typowy przedstawiciel rodziny jasnotowatych Lamiaceae, który tak jak pozostałe gatunki z tej grupy odznacza się intensywnym zapachem związanym z obecnością licznych składników biologicznie czynnych, w tym olejków eterycznych. Mają one działanie antybakteryjne, jak również przeciwgrzybiczne. Można założyć, że wykorzystane

w Pucku okazy pochodziły z lokalnych upraw, ponieważ lebiodka w stanie dzikim występuje głównie w rejonach południowo-wschodniej Polski (Wójcik-Stopczyńska 2016).

Omawiany fragment tkaniny musiał mieć styczność z okazami koniczyn - łąkowej *Trifolium pratense* i białej *T. repens*. Pierwszy gatunek jest charakterystycznym składnikiem łąk kośnych. Może występować również na miejscach ruderalnych, podobnie, jak drugi gatunek (Mowszowicz 1986; Matuszkiewicz 2018). W podobnych miejscach występują jaskry *Ranunculus* spp. czy rdesty *Polygonum* spp., które również odnaleziono w próbie (tab. IV.2). Obok nich zanotowano stosunkowo liczne pozostałości ponikła błotnego lub jedno-przysadkowego *Eleocharis palustris/uniglumis*, typowego przedstawiciela zbiorowisk miejsc podmokłych. Z tego typu miejscami są również związane dwa gatunki mszaków, których gałązki znaleziono na tkaninie. Ich obecność z całą pewnością jest przypadkowa. Mogły zostać zerwane podczas zbierania innych okazów roślin naczyniowych. Możliwe, że rośliny związane z półnaturalnymi zbiorowiskami miejsc wilgotnych (wilgotne łąki, brzeg jeziora/rzeki, torfowiska) zostały zebrane w celu wypełnienia i uformowania poduszki przed wyłożeniem tkaniną, a lebiódkę dołożono, jako środek maskujący zapach rozkładu.

Duże znaczenie w obrzędzie funeralnym roślin z rodziny jasnotowatych Lamiaceae potwierdza skład botaniczny (zarówno mikro-, jak i makroszczątkowy) próby 9 (Pk.M.120. KW.10). Znaleziono tam pozostałości aż czterech roślin z tej grupy: cząbrzu ogrodowego *Satureja hortensis*, hyzopu lekarskiego *Hyssopus officinalis*, pszczelnika mołdawskiego *Dracocephalum moldavicum* oraz szaławii lekarskiej *Salvia officinalis*. Wszystkie te rośliny to znane w XVII wieku zioła, które charakteryzują się intensywnym aromatem i były stosowane jako leki lub przyprawy (Kujawska i in. 2016). Interesującym gatunkiem jest pszczelnik mołdawski. Charakteryzuje się pięknymi, niebieskimi kwiatami i cytrusowym smakiem, przypominający melisę lekarską czy kocimiętkę. Ze względu na malowniczy wygląd pszczelnik mołdawski jest

uprawiany w ogrodach. Z kolei występujące w nim substancje czynne, w tym olejki aromatyczne, powodują, że pszczelnik jest stosowany jako roślina przyprawowa, kosmetyczna i lecznicza (Aćimović i in. 2019). Z punktu fitogeografii czy ekologii mamy do czynienia z gatunkiem obcym dla terenów Polski. Roślina pochodzi z Azji, skąd rozprzestrzeniła się w wielu regionach Europy. Opracowania dotyczące gatunków obcych w Polsce podają, że pszczelnik mołdawski przybył na tereny naszego kraju w XIX wieku (Tokarska-Guzik i in. 2012). Dane archeobotaniczne z Pucka wskazują jednak, że roślina mogła być znana w Polsce już wcześniej. Świadczą o tym również znaleziska pszczelnika mołdawskiego w innych pochówkach z terenu Polski, datowanych na XVIII wiek, m.in. z Krakowa (Badura, analizy niepublikowane) i Byszewa (Szopa 2023).

## Podsumowanie

Badania archeobotaniczne prób pobranych z krypty rodu Wejherów potwierdzają, że niewątpliwie rośliny stanowiły ważny element obrządku pogrzebowego członków rodziny. Mimo, że lista oznaczonych taksonów jest stosunkowo długa, zestaw wykorzystanych roślin musiał być o wiele szerszy niż ten, który udało się odtworzyć w oparciu o analizę palinologiczną i szczątki makroskopowe. Tak znaczna różnorodność botaniczna może wynikać z faktu, że część chowanych osób należała do katolickiej linii Wejherów, w związku z czym obrządek religijny, w tym pogrzebowy, pozwalał na znacznie większy przepych. Bogactwo mogło być wyrażone także w formie różnorodnych kwiatów składanych do trumien. Część z nich stanowiła zapewne ozdobę, a część mogła być łączona z wierzeniami i przesadami. Oczywiście, niezmiennym pozostaje aspekt praktyczny. Obok chmielu, większość odnalezionych szczątków reprezentuje rośliny z rodziny jasnotowatych. Wszystkie one charakteryzują się przyjemnym aromatem i mają właściwości konserwujące. Użycie ich opóźniało rozkład ciała i tłumiło nieprzyjemny zapach.

## Bibliografia

- Aćimović M., Sikora V., Brdar-Jokanović M., Kiprović B., Popović V., Koren A., Puvača N. 2019. *Dracocephalum moldovica*: cultivation, chemical composition and biological activity. *Journal of Agronomy, Technology and Engineering Management* 2 (1), p. 153-167.
- Badura M., Jarosińska M., Noryskiewicz A. M., Kosmaczewska A., Sady-Bugajska A., Święta-Musznicka J., Pińska K., Latałowa M. 2023. Archaeobotanical evidence and ethnobotanical interpretation of plants used as coffin pillow fillings in burials in Poland (17th-18/19th centuries). *Vegetation History and Archaeobotany* 32, p. 85-103.
- Balcerek M. 2019. *Atlas sproszkowanych substancji roślinnych*. Warszawa: Państwowy Zakład Wydawnictw Lekarskich.
- Berglund B. E., Ralska-Jasiewiczowa M. 1986. Pollen analysis and pollen diagrams. W: B. E. Berglund (ed.). *Handbook of Holocene palaeoecology and palaeohydrology*. Chichester: Wiley, p. 455-484.
- Beug H. 2004. *Leitfaden der Pollenbestimmung für Mitteleuropa und angrenzende Gebiete*. München: Pfeil.
- Bogawski P., Grewling Ł., Frątczak A. 2016. Flowering phenology and potential pollen emission of tree *Artemisia* species in relation airborne pollen data in Poznań (Western Poland). *Aerobiologia* 32, p. 265-276.
- Cappers R. T. J., Bekker R. M., Jans J. E. A. 2006. *Digital Seed Atlas of the Netherlands*. Groningen Archaeological Studies 4. Eelde: Barkhuis Publishing.
- Ciara S. 1980. *Kariera rodu Wejherów*. Warszawa: Wydawnictwo Uniwersytetu Warszawskiego.
- Jarosińska M., Nowak S., Noryskiewicz A. M., Badura M. 2019. Plant identification and significance in funeral traditions exemplified by pillow filling from a child crypt burial in Byszewo (18th/19th centuries). *Analecta Archaeologica Ressoviensia* 14, p. 187-197.
- Kujawska M., Łuczaj Ł., Sosnowska J., Klepacki P. 2016. *Rośliny w wierzeniach i zwyczajach ludowych: słownik Adama Fischera*. Wrocław: Polskie Towarzystwo Ludoznawcze.
- Kulpa W. 1974. *Nasionoznawstwo chwastów*. Warszawa: Powszechne Wydawnictwo Rolnicze i Leśne.
- Mielczarek M., Kołodziejczyk J., Olasgis B. 2010. Właściwości lecznicze chmielu zwyczajnego (*Humulus lupulus* L.). *Postępy Fitoterapii* 4, s. 205-210.
- Matuszkiewicz W. 2018. *Przewodnik do oznaczania zbiorowisk roślinnych Polski*. Warszawa: Wydawnictwo Naukowe PWN.
- Mirek Z., Piękoś-Mirkowa H., Zając M. 2002. *Flowering plants and Pteridophytes of Poland. A checklist*. Kraków: Polska Akademia Nauk.
- Mowszowicz J. 1986. *Pospolite rośliny naczyniowe Polski*. Warszawa: Państwowe Wydawnictwo Naukowe.
- Paluch A. 1988. Świat roślin w tradycyjnych praktykach leczniczych wsi polskiej. *Acta Universitatis Wratislaviensis* 752. Wrocław: Wydawnictwo Uniwersytetu Wrocławskiego.
- Pińska K., Drązkowska A. 2020. Szczątki roślin odnalezione w kryptach. W: A. Drązkowska (red.). *Krypty grobowe kościoła pw. św. Franciszka z Asyżu w Krakowie w świetle badań interdyscyplinarnych*. Toruń: Wydawnictwo Naukowe Uniwersytetu Mikołaja Kopernika, s. 81-120.
- Pińska K., Sady A., Drązkowska A. 2015. Szczątki roślin z badań archeologicznych z wybranych stanowisk z Polski i Litwy. W: A. Drązkowska (red.). *Kultura funeralna elit Rzeczypospolitej od XVI do XVIII wieku na terenie Korony i Wielkiego Księstwa Litewskiego*. Toruń: Wydawnictwo Naukowe Uniwersytetu Mikołaja Kopernika, s. 267-324.
- Punt W., Blackmore S., Hoen P., Stafford P. 2003. *Northwest European Pollen Flora* (Volumes I959 VIII). Amsterdam: Elsevier.



- Skrzypczak-Pietraszak E., Grzybek J. 1997. Metabolity wtórne kultur tkankowych gatunków roślin z rodziny Lamiaceae. *Biotechnologia* 2 (37), s. 93–110.
- Szafer W., Kulczyński S., Pawłowski B. 1988. *Rośliny polskie. Cz. I-II*. Warszawa: Państwowe Wydawnictwo Naukowe.
- Szopa A. 2023. Skład botaniczny wybranych XVIII-wiecznych pochówków kryptowych z Byszewa. Maszynopis pracy licencjackiej. Gdańsk: Uniwersytet Gdański.
- Tokarska-Guzik B., Dajdok Z., Zając M., Zając A., Urbisz A., Danielewicz W., Hołdyński C. 2012. *Rośliny obcego pochodzenia w Polsce ze szczególnym uwzględnieniem gatunków inwazyjnych*. Warszawa: Generalna Dyrekcja Ochrony Środowiska.
- Wójcik-Stopczyńska B. 2016. Siła oregano. *Panaceae* 54, s. 30–32.



Monika Badura, Agnieszka M. Noryskiewicz

**PLANTS AND THEIR ROLE IN COFFIN BURIALS  
IN THE CRYPT OF THE WEJHER FAMILY  
IN THE SAINT APOSTLES PETER AND PAUL CHURCH IN PUCK  
– SUMMARY**

Apart from human remains of members of the Wejher family (Ernest Wejher's line, ca. 16th to mid-17th cent.), the archaeological excavations in the parish church of Saint Apostles Peter and Paul in Puck revealed numerous plant remains. Botanical finds in sepulchral contexts are not uncommon and often excite considerable interest. It is due to the fact that traces of plants offer a unique opportunity to investigate the pragmatic and religious meanings attached to plants by particular persons or whole families.

In the case of the parish church in Puck the archaeobotanical evidence was retrieved from four sectors marked out during exploration of the crypt of the Wejher family which likely originated from four separate burials. In total, nine of the collected samples contained plant remains and were checked for residual pollen (and non-pollen palynomorphs) and macroscopic elements (seeds, fruits, and vegetative parts).

The list of taxa includes 56 palynological and 40 macroscopic indications. The information was most abundant for the burial of Anna Wejher, née Mortęska (samples 1–5). Beyond any doubt, her coffin had been filled with hop cones (*Humulus lupulus*). The cones could have served as a sort of mattress, but their main purpose was to delay the decomposition of the body. Apart from the

hop, the coffin was intentionally filled also with mugwort (*Artemisia*), plants representing the mint (Lamiaceae) family or heather (*Calluna vulgaris*). It cannot be ruled out that bouquets of flowers were placed near the thighs of the interred woman.

The majority of other study materials were retrieved from a sample of a textile removed from a pillowcase (sample 8). The botanical traces found on it may be related to remains of plants placed on top of the pillow, but it is also possible that plant-based products were put inside. The palynological spectrum obtained for this sample revealed traces of the sunflower (Asteraceae) family (*Aster* type). The state of preservation of the sporomorphs varied, which indicates that the flowers must have been placed on the textile in different developmental stages: from fully developed flowers to flower buds. This suggests, in turn, that a bouquet of flowers from the Asteraceae family was laid near the head of the woman. It seems all the more probable, since many flowers of this family are considered decorative. Without any doubts, the textile was covered also with origanum (*Origanum vulgare*). Numerous fruits, preserved with remains of perianths, and scarce appearance of pollen indicate that the plant was used when it already finished blossoming.

The presence of many vegetal remains linked to damp meadows, lakeshores/riverbanks, or peatlands suggest that they were collected deliberately with the aim to fill and form the pillow before it was covered with the textile, whereas the organum was added to mask the smell of decay.

A prominent role in the Puck crypt burials was played by plants of the Lamiaceae family. Apart from the organum, remains of summer savory (*Satureja hortensis*), hyssop (*Hyssopus officinalis*), Moldavian dragonhead (*Dracocephalum moldavicum*), and sage (*Salvia officinalis*) were recorded. All these plants were recognised in the 17th century as strong-scented herbs.

The archaeobotanical analyses of the botanical samples collected in the crypt of the wealthy Wejher family undeniably confirm the important role of flowers as elements of family burial rites. The proud ancestry and family wealth were certainly factors influencing the sepulchral ceremonies and the kind of plants used. Although the list of registered taxa is relatively long, the range of plants participating in the burials must have

been much wider than what could be traced through palynological analysis and macroscopic examination. It has to be noted, however, that for many taxa the palynological identification was limited to the family and genus levels which could include many different species. Such botanical diversity traceable in the investigated burials may have resulted from the fact that some of the interred persons belonged to the Catholic line of the Wejher family – in their case the religious rite allowed for much more lavish burial ceremonies. Wealth could be expressed also in the form of various flowers put inside the coffins. Some of them likely served decorative functions, whereas others may have referenced certain beliefs or superstitions. Of course, this does not preclude their pragmatic aspect. Except for the hop, *Artemisia* and *Aster* type, the majority of the registered remains represent flowers of the Lamiaceae family. All of them are characterised with a pleasant scent and preservative qualities. Their presence delayed decomposition of the bodies and masked unpleasant odours.

*Karolina Blusiewicz*

## INTERPRETACJA POCHÓWKÓW ZŁOŻONYCH W KRYPCIE WEJHERÓW W KOŚCIELE PW. ŚW. ŚW. APOSTOŁÓW PIOTRA I PAWŁA W PUCKU

Identyfikacja osób pochowanych w krypcie Wejherów w kościele parafialnym w Pucku od dłuższego czasu stanowi przedmiot zainteresowania badaczy dziejów rodu oraz historii miasta i regionu. Przy dość skąpych wskazówkach pozyskanych z różnego rodzaju źródeł, w otwarciu krypty i przebadaniu zachowanych szczątków upatrywali oni możliwość wskazania członków rodu w niej złożonych (Kowalski 1998, 183; Dettlaff 2019). Nie wzięli jednak pod uwagę komplikacji, jakie w tego rodzaju badaniach stwarza przede wszystkim destrukcyjne działanie czasu i warunków środowiskowych, powodujące rozkład szczątków organicznych, a także w znaczącym stopniu działania ludzi i zwierząt. W przedstawionym wyżej sprawozdaniu i analizach specjalistycznych wskazane już zostały główne problemy z jakimi borykali się archeolodzy, z trudem dokumentujący zachowane w bardzo złym stanie relikty pochówków, rozdrobnionych i rozproszonych w komorze krypty (por. Blusiewicz, rozdział I w tym tomie; Fetner i in. rozdział II w tym tomie). Praca ta polegała w dużej mierze na drobiazgowym rejestrowaniu skromnych śladów indywidualnych pochówków w skupisku przemieszanych szczątków. Połącze-

nie w spójny obraz uzyskanych informacji jest zadaniem karkołomnym, opartym jedynie na przesłankach, jednak próba taka wydaje się warta podjęcia. Przedstawione poniżej wnioski oparte są na wynikach badań archeologicznych oraz analiz specjalistycznych: osteologicznych, archeobotanicznych i kostiumologicznych, zestawionych ze źródłami pisanymi oraz zasobem wiedzy, jaki dotychczas zgromadzony został w odniesieniu do kultury funeralnej czasów nowożytnych. Niemniej jednak, ze względu na stan zachowania szczątków, stanowią one jedynie ustalenia o różnym stopniu prawdopodobieństwa. Przedstawiona poniżej identyfikacja i rekonstrukcja pochówków złożonych w krypcie, ze względów oczywistych niepełna, jest jedynie hipotezą, opartą na dostępnych źródłach i otwartą na weryfikację.

Kluczową rolę w identyfikacji pochówków odegrały analizy osteologiczne, przeprowadzone przez zespół bioarcheologów<sup>1</sup>. Analiza pozyskanych szczątków kostnych wykazała, że minimalna liczba osób (MNI) złożonych w krypcie Wejherów to dziewięcioro dorosłych oraz czwórka niedorosłych – dzieci w różnym wieku. Zaznaczyć jednak należy, że ich szczątki były niekompletne i wymieszane. Znaleziska pojedynczych szcząt-

<sup>1</sup> Patrz Fetner i in., rozdział II w tym tomie. Wszystkie przytaczane poniżej informacje dotyczące identyfikacji szczątków kostnych pochodzą z tego opracowania.

ków kostnych z odrębnych szkieletów mogą być wynikiem różnych działań. Mogą być one świadectwem tymczasowego złożenia zmarłych w krypcie i ostatecznego ich pochówku w innym miejscu, jak również wynikiem prowadzenia w bliżej nieokreślonym czasie prac porządkowych lub renowacyjnych w świątyni, związanych z przenoszeniem pochówków, tymczasowym przechowywaniem ich w krypcie Wejherów lub deponowaniem w krypcie szczątków kostnych wydobywanych przypadkowo, na przykład przy wymianie posadzki lub pracach na cmentarzu przykościelnym<sup>2</sup>. Tego rodzaju prace i wynikające z nich problemy rejestrowane są często w toku badań tych specyficznych obiektów (Grupa M. i in. 2015; Niedźwiadek i in. 2015, 23; 2018, 308-316; Grupa D. 2019; Kozłowski, Grupa M. 2019).

W rezultacie analiz osteologicznych oraz oceny rozmieszczenia szczątków w obszarze krypty możliwe było wyróżnienie pochówków sześciu osób dorosłych o określonej płci i wieku – czterech mężczyzn i dwóch kobiet – oraz czwórki dzieci. Na podstawie informacji ze źródeł pisanych<sup>3</sup> oraz wykluczeniu osób z rodu, których inne miejsce pochówku jest znane, podjęto próbę przypisania tożsamości niektórym z pochowanych w krypcie osób.

Krypta rodowa Wejherów ufundowana została w 1597 r. w celu złożenia doczesnych szczątków nestora rodu, starosty puckiego Ernesta Wejhera. Zmarł on w 1598 roku w wieku 81 lat, po długim i burzliwym życiu poświęconym służbie wojskowej. Miejsce jego złożenia w komorze grobowej nie było oczywiste, jednak w północno-zachodnim narożniku krypty zidentyfikowano szczątki dorosłego mężczyzny w wieku dojrzałym o wzroście około 170 cm (Pk.M.120.KW.06; **ryc. I.29**). Na szkielecie oraz uzębieniu odnotowano zmiany typowe dla wieku zaawansowanego oraz zmiany przeciążeniowe. Są to jedyne szczątki zachowane w krypcie, które odpowiadają charakterystyce Ernesta Wejhera.

Mniej problemów przysporzył pochówek w najlepiej zachowanej trumnie, umieszczonej osobno przy północnej ścianie krypty (Pk.M.120.KW.05; **ryc. I.8; I.19**). Zidentyfikowano tu szczątki kostne starszej kobiety, zmarłej po sześćdziesiątym roku życia, o wzroście zrekonstruowanym na 163 cm. Z dużym prawdopodobieństwem można przyjąć, że jest to pochówek Anny Wejher, żony Ernesta Wejhera i fundatorki krypty. Według badacza rodu Stefana Ciary zmarła ona w podeszłym wieku w 1616 roku (Ciara 1980, 22), a według informacji Małgorzaty Borkowskiej miałyby wówczas około 65 lat<sup>4</sup>. Są to jedyne znalezione w krypcie szczątki starszej kobiety, a identyfikację uprawdopodobniają szczegóły pochówku.

Z różnego rodzaju przekazów historycznych wynika, że miejsce ostatecznego spoczynku w krypcie znaleźli także synowie Ernesta i Anny: Jan i Marcin Władysław. Jan Wejher, dziedzic dóbr rzucewskich, starosta pucki i pierwszy senator w rodzie zmarł 14 stycznia 1626 r. w wieku 46 lat. Pochowany został w krypcie rodowej 31 marca tego roku. Z zachowanej korespondencji wiadomo, że pod koniec życia Jan cierpiał na silne dolegliwości bólowe w obrębie stóp, określone jako podagra (Ciara 1980, 48). W jednej z trumien w południowo-zachodnim narożniku krypty złożono szczątki dojrzałego mężczyzny (**ryc. I.45**; Pk.M.120.KW.11) ze śladami zaawansowanych procesów chorobowych w obrębie stóp. Wiek oraz zmiany patologiczne odnotowane na kościach wskazują, że jest to prawdopodobnie pochówek Jana, a za taką identyfikacją przemawiać mogą pozostałości stroju polskiego, znalezione w pobliżu szczątków. Charakterystyce Marcina Władysława Wejhera, który zginął w wieku 24 lat, odpowiadają szczątki młodego mężczyzny (20-35 lat) znalezione w obrębie sektora Pk.M.120.KW.09. Marcin Władysław zginął pod Carowym Zajmiszczem w 1610 roku, a jego ciało sprowadzone zostało do Pucka przez braci.

<sup>2</sup> W trakcie badań archeologicznych cmentarza przykościelnego w Pucku w latach 2020-2022 odnotowano liczne przypadki dokładania do pochówków nadmiarowych kości, wydobytych w trakcie kopania jam grobowych.

<sup>3</sup> Patrz Blusiewicz, rozdział I w tym tomie: Dzieje kaplicy i rodu Wejherów.

<sup>4</sup> Źródło: <https://www.benedyktynki-zarnowiec.pl/bratanice-i-siostrzenice/> dostęp z dn. 26.11.2023 r.

Dyskusyjną kwestią jest identyfikacja szczątków ostatniego mężczyzny w wieku dojrzałym, co do którego brak bardziej szczegółowych wskazówek. Być może jest to Kacper Szczawiński, brat Anny Szczawińskiej, żony Jana. Zmarł w 1617 r., w wieku 37 lat. Na pochowanie go w krypcie wskazuje jedynie epitafium, umieszczone wśród epitafiów Wejherów (Kowalski 1998, 197; Dettlaff 2019, 89; Szybkowski 2020, 71), a także czas śmierci oraz zgodność płci i wieku zmarłej osoby.

Nie można niestety zidentyfikować imiennie dorosłej kobiety w wieku dojrzałym, której szczątki znaleziono w krypcie (Pk.M.120.KW.09/10). Niewiele wiadomo o córkach Ernesta – ich daty narodzin, śmierci i miejsca pochówku, a nawet imiona, pozostają nieznane (Ciara 1980, 25). Prawdopodobnie pochowane zostały w dobrach męzkowskich lub – w przypadku norbertanki Doroty zmarłej w 1622 r. – na cmentarzu klasztornym. Nie wiadomo gdzie została pochowana lakonicznie wzmiankowana i nieznana z imienia trzecia z kolei córka. Wykluczać ją może młody wiek w momencie śmierci, co stoi w sprzeczności z oceną wieku pochowanej kobiety. Istotnych wskazówek dostarczają przeprowadzone badania DNA, które wykluczają pokrewieństwo 1. i 2. stopnia pochowanej kobiety z osobą, której szczątki zidentyfikowano jako Ernesta Wejhera. Jeśli identyfikacja jest prawidłowa, to wskazywałoby to na kobietę spowinowaconą z rodziną Wejherów. Podejrzenia kierowane są zatem w stronę Gertrudy Konarskiej, pierwszej żony Dymitra Wejhera. Zmarła ona w drugiej dekadzie XVII wieku, przed 1619 r., w czasie gdy krypta Wejherów była funkcjonującym grobem rodzinnym, a Wejherowie zaangażowani byli w budowanie rodowego majątku w starostwie puckim.

Informacje zawarte w opracowaniach związanych z rodem Wejherów pozwalają także na próbę identyfikacji tożsamości nastoletniego chłopca (wiek oceniony na ok. 13 lat), najstarszego z dzieci złożonych w krypcie. Prawdopodobnie w 1617 r. w wyniku gorączki zmarł pierworodny syn Jana Wejhera, Ernest. Nie znamy daty jego

narodzin – musiało to nastąpić w pierwszych latach XVII wieku, po zawarciu małżeństwa Jana z Anną Szczawińską (Ciara 1980, 82; Włodarski 2016, 34–35). Ernest uczył się w kolegium jezuickim w Braniewie, a jego śmierć upamiętniona została w zbiorze wierszy żałobnych *Planctus sepulchralis Eheu Ernestus Weiher, Pallatinides Marienburgensis obiit* (Kotarski 1990, 289). Poza zgodnością wieku chłopca wydaje się słuszne, by urzędujący starosta pucki złożył szczątki pierworodnego syna w kościele parafialnym dziedzicznego majątku rzucewskiego, w krypcie rodowej, w której od niedawna spoczywały szczątki osób z jego najbliższej rodziny.

Brak podobnych wskazówek nie pozwala na identyfikację tożsamości pozostałych dzieci pochowanych w krypcie. Rozpoznano tu szczątki dziewczynki w wieku około 4 lat<sup>5</sup>, młodszego dziecka, które zmarło przed ukończeniem 1. roku życia oraz noworodka. Wedle przypuszczeń Jacka Kowalkowskiego złożona być tu mogła półtoraroczna córka Jakuba Wejhera i Anny Schaffgotsch – Urszula Zuzanna, zmarła w 1644 r. w Rzucewie (Kowalkowski 2011, 182–184). Niestety, podany wiek Urszuli w momencie śmierci nie pokrywa się z oceną wieku dziecka, którego szczątki znaleziono w krypcie.

Zdaje się, że najbardziej intensywny okres używania krypty jako rodzinnego grobu Wejherów przypada na pierwsze ćwierćwiecze XVII wieku – od momentu złożenia w niej Ernesta w 1599 r., przez okres piastowania przez Jana urzędu starosty puckiego, do jego uroczystego pogrzebu w 1626 r. W tym czasie, według powyższej interpretacji, w krypcie złożono Marcina Władysława (1610 r.), Annę (1616 r.), Ernesta juniora (1617 r.), Kacpra Szczawińskiego (1617 r.) i przypuszczalnie Gertrudę (przed 1619 r.). Dzieci Jana oraz jego bracia, którzy zmarli w późniejszym czasie, chowani byli już w innych kościołach, w miejscach z którymi związani byli urzędem lub własnymi fundacjami. Do krypty nadal jednak dokładano pochówki. Niedługo po śmierci Jana złożono w niej ciało dziecka, o czym świadczy

<sup>5</sup> Płeć potwierdzona genetycznie.

trumna dziecięca, która w świetle badań dendrochronologicznych nie mogła być wykonana wcześniej niż w 1633 r. (**tab. I.2:9**). Kryptę otwierano również później, czego świadectwem jest trumna dziecięca datowana napisem na 1708 rok. Używano jej zatem już po tym, jak wygasła gałąź rodu Wejherów w linii Ernesta<sup>6</sup>. Wskazówką, kto pochował dziecko w krypcie Wejherów może być herb na bocznej ścianie trumny (**ryc. I.24**), przypominający odmianę herbu Leliwa lub rozpowszechnionego na Kaszubach herbu Księży<sup>7</sup>.

Rozplanowanie szczątków kostnych oraz reliktyw trumien pozwala na próbę rekonstrukcji rozmieszczenia pochówków w komorze krypty (**ryc. V.1**). Zapewne nie jest to jednak ustawienie oryginalne, jak też umieszczenie trumien na żelaznych sztabach, wmurowanych w ściany boczne krypty jest najprawdopodobniej wtórne. Pochówki w kryptach były przemieszczane, porządkowane, co z pewnością miało także miejsce w końcu XIX wieku, przy wielkiej renowacji świątyni puckiej. Dzienna data tego wydarzenia – 26 kwietnia 1894 r. – umieszczona została na ścianie komory grobowej (**ryc. V.2**). Już wówczas zapewne zatarto część śladów związanych z nowożytną *pompa funebris* – ceremoniałem pogrzebowym, którego skąpe ślady zarejestrowano także w krypcie Wejherów.

Rozbudowana dekoracyjność ceremonii pogrzebowych w czasach nowożytnych znana jest z przekazów źródłowych i dość szczegółowo opisana (m.in. Bystroń 1933, 90-109; Chrościcki 1974; Kizik 1998; Labudda 2014, 117-206). Przygotowanie pogrzebu musiało odzwierciedlać status społeczny oraz majątkowy zmarłego i jego rodziny. Jak pisał Jan Stanisław Bystroń „[...] nietyle śmierć, jak raczej pogrzeb jest ruiną niejednego gospodarstwa. Bywały też rozmaite ustawy, które ograniczały zbytek ceremonij

pogrzebowych; nie dotyczyły one, rzecz prosta, szlachty, której prawem i obowiązkiem było występować z przepychem [...]” (Bystroń 1933, 90). Znaczna część elementów związanych z pogrzebem – takich jak powiadamianie i liczba gości, przygotowanie i przebieg uroczystości pogrzebowych, okazjonalna dekoracja domu zmarłego i kościoła, uroczysta konsolacja – możliwa jest do uchwycenia jedynie w źródłach pisanych, m.in. rachunkowych, pamiętnikarskich, ordynacjach miejskich oraz drukowanych mowach pogrzebowych. Źródła archeologiczne dostarczają natomiast rzadko przytaczanych szczegółów dotyczących przygotowania ciała i sposobu jego złożenia w miejscu ostatecznego spoczynku. Mimo złego stanu zachowania szczątków część tych informacji uzyskano także dla pochówków w krypcie Wejherów. Ponownie jednak należy zaznaczyć i mieć stale w pamięci, że zarówno identyfikacja szczątków, jak przypisane im stroje i trumny są interpretacją, stworzoną na podstawie zachowanych śladów.

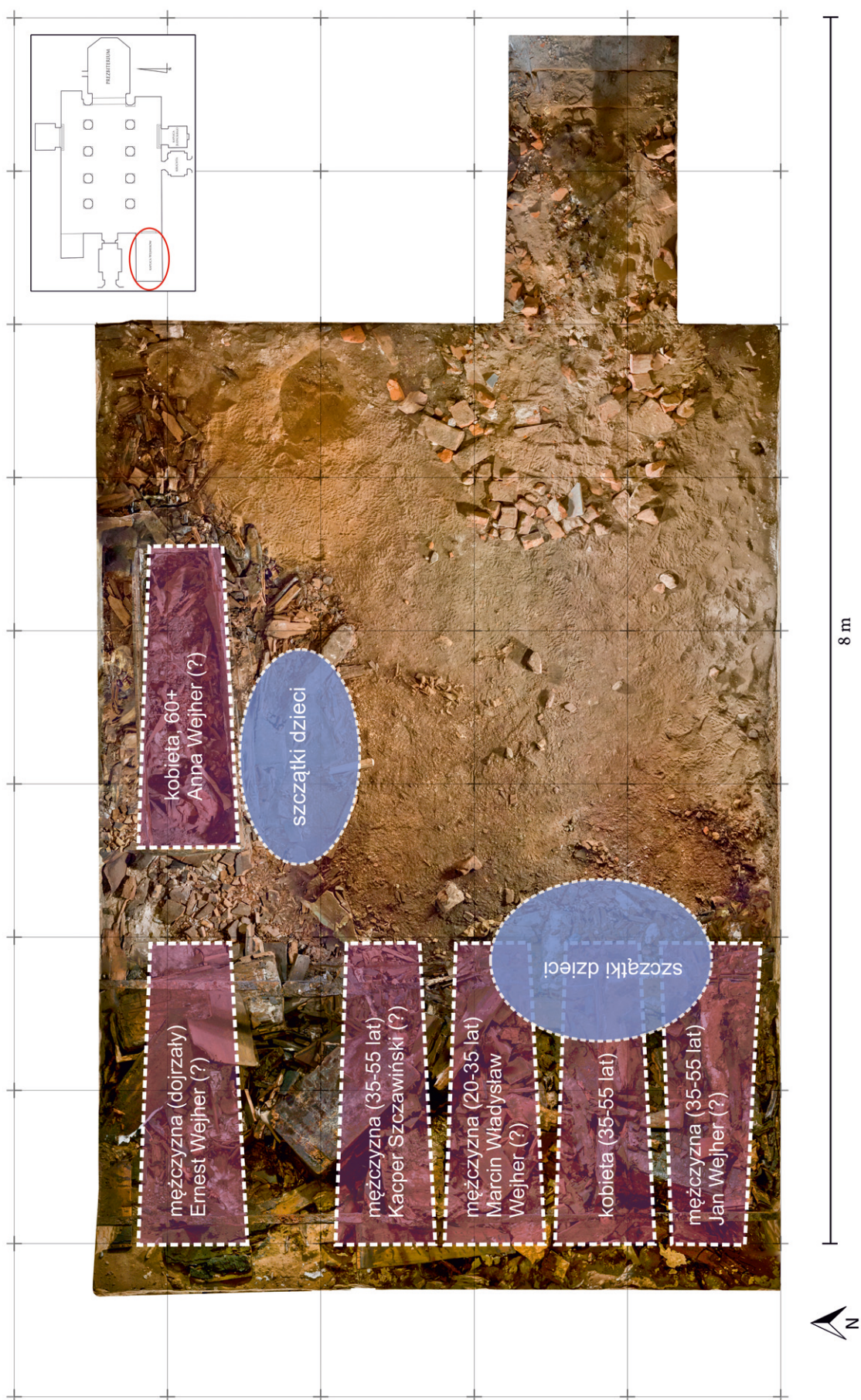
W świetle przeprowadzonych badań nestora rodu Ernesta Wejhera złożono w trumnie o przekroju czworokątnym, wykonanej z drewna iglastego, a następnie umieszczonej w sarkofagu (Pk.M.120.KW.06; **ryc. I.28**). Sarkofag, również o przekroju czworokąta, wykonano z desek jesionowych, a w jego płaskim wieku umieszczono sporą prostokątną szybę. Niewykluczone, że również trumna wewnątrz sarkofagu miała przeszklenie. Byłoby to uzasadnione wyjaśnienie dla znalezionej obok okrągłej szyby (**ryc. I.33**), jednak nie ma podstaw, aby definitywnie łączyć ją z konkretną ze znalezionych w krypcie trumien. Umieszczanie przesłoniętych szybami otworów w trumnach do oglądania zmarłego notowane jest w obyczajach staropolskich (Chrościcki 1974, 48), jednak należą one raczej do rzadkości.

<sup>6</sup> Takie przypadki znane są również z innych stanowisk archeologicznych. Konstancja Potocka Szczuczyna została pochowana w krypcie południowej w Radzynie Podlaskim z wyraźnym poleceniem dla potomnych, że ma spoczywać sama. Jednak już pod koniec XVIII wieku zaczęto w tej krypcie chować urzędników miasta i ich dzieci (Dabralet i in. 2022).

<sup>7</sup> Zbliżony układ półksiężycy z gwiazdą pod koroną opi-

sywany jest jako odmiana herbu Gliszczyński IV. Znany jest m.in. z malowidła na szkle z 1720 r. umieszczonego w kościele w Swarzewie (odległym zaledwie o 6 km od Pucka). Napis pod nim wskazuje na Marcina Gliszczyńskiego, pisarza Dworu Starzyńskiego. Niewykluczone, że herb z półksiężycem i gwiazdą, identyczny co do wizerunku z herbem Leliwa, jest właściwym herbem Szpotów-Gliszczyńskich (Pragert 2007, 66).





Ryc. V.1. Rekonstrukcja rozmieszczenia pochówków w krypcie Wejherów. Oprac. M. Truszkowski, K. Blusiewicz.

Fig. V.1. Reconstruction of the arrangement of burials in the crypt of the Wejher family. Compiled by M. Truszkowski, K. Blusiewicz.

Okienka w trumnach rodzeństwa Oświęcimów w kościele franciszkańskim w Krośnie wzmiankuje J. S. Bystron (1933, 94). Przytacza także powód ich umieszczenia, odnotowany w diariuszu Stanisława Oświęcimsa w 1647 r., w zapisie odnoszącym się do śmierci siostry Anny: „którzy jako za życia przystojność jej i urodę kochali tak i po śmierci bez przestanku ciało nawiedzając, życząc ją jeszcze i umarłą widzieć, dla czego i okno się musiało w trumnie wyrznąć.” (Bystron 1933, 94–95). Te nietypowe rozwiązania stosowano niewątpliwie w pochówkach osób bliskich i kochanych oraz otaczanych szacunkiem, o dużym znaczenia dla rodu i państwa. Trumny z przeszklonym wiekiem odkryte zostały w archikatedrze pw. św. Janów w Lublinie i w archikatedrze pw. św. Jana Chrzciciela w Warszawie (Niedźwiadek i in. 2015, 35, 66, ryc. 43). Przeszklone otwory znajdowały się również na wiekach trumien (w tym jednej dębunki) z siedemnastowiecznych krypt bazyliki jasnogórskiej (Młodkowska-Przepiórkowska, Przepiórkowski 2013, 53–74).

Nie zachowały się pozostałości szaty grobowej Ernesta – prawdopodobnie pochowano go w stroju wykonanym z lnu i wełny, który uległ całkowitemu rozłożeniu, co w takich warunkach może nastąpić w bardzo krótkim czasie (Grupa M. i in. 2015, 43). Dość rozpowszechnionym zwyczajem było także składanie zmarłych do grobu w samych koszulach, bądź noszonych za życia, bądź specjalnie przygotowanych na ceremonię pogrzebową (Drażkowska 2008, 131 i nn.). Jedyne osobiste przedmioty związane z pochówkiem Ernesta stanowią pozostałości bursztynowego różańca, którego pokruszone paciorki wydobyto wraz ze szczątkami kostnymi (**ryc. I.30**). Ciało w trumnie umieszczono na wapiennej podsypce i zapewne w otoczeniu aromatycznych ziół i kwiatów, których relikty przywarły do dna w okolicy głowy. Zarówno wewnętrzna trumna, jak i sarkofag pokryte były z obu stron uszczelnieniem – smołą lub dziegiem. Pokryta nią była także zewnętrzna powierzchnia sarkofagu, nadając mu czarną barwę. Nie odnotowano resztek obicia lub śladów jego mocowania.

Anna Wejher złożona została w trumnie o przekroju czworokątnym, wykonanej z drewna dębowego (**ryc. I.19–20**). Pochowana została w sukni, którą nosiła za życia, z tkaniny jedwabnej z drobnym wzorem kwiatowym, najprawdopodobniej w czerwonym kolorze<sup>8</sup>. Suknia uszyta była według kanonu mody zachodniej i składała się z dopasowanego, sznurowanego z przodu stanika oraz szerokiej, marszczonanej spódnicy (**ryc. III.34**). Przepuszczalnie depozycji w krypcie nie przetrwały pozostałe elementy sukni, jak lniany kołnierz i mankiety, tradycyjnie zdobiące te części odzieży. Ciało Anny złożono w trumnie wyściełanej materacem z szyszek chmielu, a wokół głowy i ciała umieszczono kwiaty o intensywnym aromacie. Analizy palinologiczne wskazują na rośliny z rodzaju bylic oraz rodziny jasnotowatych, zebrane w czerwcu (por. Badura, Noryśkiewicz w tym tomie). Trumna została starannie uszczelniona kilkoma warstwami tkanin nasączonych dziegiem lub smołą, które od strony zewnętrznej tworzyły grubą, nieprzepuszczalną powłokę i skutecznie zabezpieczyły drewno przed rozkładem (**ryc. I.21**). Osłonięta została w niespotykany jak dotąd sposób pokryciem z grubego filcu, z odpowiednio przyciętych i łączonych szyciem fragmentów (**ryc. I.22**).

Jan Wejher pochowany został w trumnie z drewna iglastego, czworobocznej w przekroju poprzecznym, z płaskim wiekiem. Zachowana była w bardzo złym stanie, utrzymując się jedynie dzięki wielu warstwom tkanin nasączonych smołą lub dziegiem, które pokrywały ją grubą warstwą z obu stron (**ryc. I.45**). W wnętrzu także odnotowano fragmenty płócien utrwalonych jakimś rodzajem masy klejącej oraz dużą ilość podsypki wapiennej (**ryc. I.46**).

Z pochówkiem Jana wiązać należy relikty stroju polskiego, znalezione obok trumny w kłębowisku innych tkanin (**ryc. I. 48; III.6–7**). Przemawia za tym także fakt, że w trumnie w pobliżu stóp zmarłego znajdowały się pozostałości skórzanych butów odpowiednich do tego rodzaju odzienia o dużym, męskim rozmiarze (**ryc. I.47**).

<sup>8</sup> Patrz Grupa M., Grupa D., rozdział III w tym tomie. Wszystkie przytaczane poniżej informacje dotyczące odzieży grobowej pochodzą z tego opracowania.



Ryc. V.2. Widok południowej ściany krypty Wejherów. Fot. K. Blusiewicz.

Fig. V.2. View of the southern wall of the crypt of the Wejher family. Photo by Blusiewicz.

Choć zachowany wizerunek Jana na obrazie autorstwa Hermana Hana z 1623 r. *Koronacja NMP i adoracja Baranka Mistycznego* (ryc. III.37) przedstawia go w stroju zachodnim, to jako senator Rzeczypospolitej w sytuacjach oficjalnych i uroczystych nosił zapewne strój polski. Taki strój był symbolem polskości, podkreślał rangę sprawowanych funkcji, pozycję społeczną oraz manifestował poglądy polityczne (Turnau 1991, 44–56). Jan Wejher w trakcie misji dyplomatycznej w 1617 r. na audiencji u księcia szczecińskiego Filipa II stawił się „in schwarzen polnischen Habit und stattlichen Reigerbuch auf seine Maioritthen” (cyt. za Ciara 1980, 44), co badacz dziejów rodu interpretuje także jako wyraz polonizacji<sup>9</sup>. Taką uroczystą sytuacją był także niewątpliwie pogrzeb, który miał charakter wydarzenia publicznego,

a godność senatora i znaczenie rodu magnackiego musiały być stosownie reprezentowane i zaznaczone odpowiednim strojem.

Źródła archeologiczne dostarczają także skromnej podstawy do wyobrażenia na temat wyglądu Jana u schyłku życia. Jego wzrost rekonstruowany jest na 170 cm, zaś wymiary żupana, o specjalnie poszerzonym kroju pozwalają stwierdzić, że miał około 112 cm w pasie (ryc. III.22; III.25). Był więc niewątpliwie potężnym mężczyzną, co potwierdza także rozmiar jego obuwia. Być może do niego też należała masywna obrączka o średnicy 2 cm, przeznaczona raczej na palec dużej męskiej ręki. Pochowany został w czerwonym żupanie z kwiecistego adamaszku, delii z jedwabną podszewką (ryc. III.21–22, 38–39) oraz butach z ciemnoczerwonej skóry.

<sup>9</sup> Również trzej synowie Jana: Jakub, Ludwik i Mikołaj jako dzieci nosili stroje polskie oraz odpowiednią do niego, charakterystyczną podgoloną fryzurę (ryc. III.37).

Mimo, iż był przedstawicielem jednego z najmniejszych w Prusach Królewskich rodów, jego strój grobowy, choć reprezentacyjny, nie zdradza ostentacji, a wręcz wskazuje na pragmatyzm. Dowodem tego jest jedwabna podszewka delii, w której niewidoczna część pleców uszyta została z niewielkich fragmentów różnych tkanin jedwabnych.

Niewiele można powiedzieć o oprawie pozostałych pochówków osób dorosłych. Kacpra Szczawińskiego złożono w trumnie z drewna świerkowego, obficie zasypanej wapnem. Jej dno pokrywało kilka warstw tkanin lnianych, nasączonych nieokreśloną żółtokremową substancją (**ryc. I.32**). Nie ma pewności, w której trumnie złożono Marcina Władysława, choć istnieją przesłanki, takie jak lokalizacja szczątków, aby przypisywać mu pochówek w trumnie dłubance – drążonej w kłodzie drewna dębowego. Jego ciało sprowadzono ze wschodnich rubieży Rzeczypospolitej, gdzie tradycja trumien drążonych utrzymywała się jeszcze w XIX wieku (Vasilieva 2016). Przemawia za tym także datowanie dendrochronologiczne drewna, zawężające czas ścięcia drzewa do lat 1603-1617 (**tab. I.2:10, 20**).

Jednym z interesujących szczegółów rejestrowanych jedynie w trakcie badań archeologicznych jest sposób wykonania trumien. Rozpoznane w krypcie trumny osób dorosłych wykonano z desek łączonych drewnianymi kołkami ze sobą i z dnem, a w narożnikach przy użyciu wpustowych łączy stolarskich. Niektóre z nich wzmocnione były solidnymi żelaznymi okuciami płaskimi i narożnymi, wykonanymi z żelaznych sztab (**ryc. I.43**). W przypadku węższych, delikatniejszych i wachlarzowato zakończonych okuć można przypisać im funkcję dekoracyjną, pozostałe jednak, znacznie masywniejsze i z resztkami zmineralizowanych tkanin po stronie zewnętrznej, musiały mieć przede wszystkim znaczenie konstrukcyjne. Trumny dziecięce wykonywano natomiast z pojedynczych desek, łączonych ze sobą i z dnem stykowo, za pomocą drewnianych kołków. Gwoździe w znalezionych egzemplarzach służyły jedynie do przybijania płaskiego wieka oraz mocowania okuć.

Wśród nielicznych pochówków w krypcie Wejherów odnotowano dużą różnorodność form trumien. Co najmniej trzy (trumna i sarkofag Ernesta, Anny i Jana) były w przekroju poprzecznym czworokątne, o nieznacznie tylko wychylnych ścianach, nakryte płaskim wiekiem. Miały prostą formę, notowaną w pochówkach z XVII wieku, m.in. w późniejszej o około pół wieku krypcie Judyckich w Pucku (Grabarczyk, Kajzer 1978), wśród siedemnastowiecznych pochówków w kryptach bazyliki jasnogórskiej (Młodkowska-Przepiórkowska, Przepiórkowski 2013), a także archikatedry lubelskiej i warszawskiej (Niedźwiadek i in. 2015, ryc. 43). W badanych archeologicznie kryptach powszechną i długotrwałą formą były trumny sześciokątne w przekroju, ze skrzynią i wiekiem o przekroju trapezu, znajdowane licznie zarówno na terenie Prus, jak i Korony i Litwy (Niedźwiadek i in. 2015, 66). W krypcie Wejherów taką formę udokumentowano jedynie w przypadku trzech trumien dziecięcych, jednak w pozostałych zniszczonych trumnach ustalenie przekroju wiek nie było możliwe. Natomiast trumny drążone w kłodzie drewna, zwane w literaturze trumnami kładowymi lub dłubankami nie są częstymi znaleziskami w nowożytnych kryptach i uznawane są za formę archaiczną, choć stosowaną w pochówkach staropolskich (Bystroń 1933, 91). Dwie wydrążone w pniu i pokryte nasmołowaną tkaniną trumny dłubanki odkryte zostały w siedemnastowiecznej krypcie Skotnickich w kościele parafialnym w Krośnie (Łopatkiewicz 1997, 153). Zupełnie unikatowy zespół takich trumien z XVII wieku odkryto w kryptach pod prezbiterium bazyliki jasnogórskiej (Młodkowska-Przepiórkowska, Przepiórkowski 2013). W dwóch kryptach odnotowano łącznie dziewięć trumien dłubanek (oraz dwie skrzyniowe o przekroju czworokątnym), które przybliżają sposób ich konstrukcji. Każda wydrążona została w kłodzie drewna o różnej długości i przykryta płaskim, lekko sfazowanym wiekiem. Ich szerokość w części przy głowie była o kilka centymetrów większa, niż w części stóp. Dodatkowo, w dnie jednej z nich wykonano specjalne zagłębienie na stopy. Trumny obłożone były od strony zewnętrznej dwuwarstwową okleiną złożoną z płótna i grubego czarnego sukna

przypominającego filc. Przyklejone były bliżej nieokreślonym lepiszczem, a w kilku przypadkach zamocowane także ćwiekami. We wnętrzu niektórych trumien również odnotowano obecność płócien na dnach i wiekach. We wszystkich zachowały się także ślady wapna oraz zasuszone szczątki roślinne – relikty materacy, poduszek i bukietów. W trumnach tych pochowano kobiety i mężczyzn w różnym wieku, a jedną, maleńką i obitą jedwabiem dłubankę przygotowano specjalnie dla półrocznego dziecka (Młodkowska-Przepiórkowska, Przepiórkowski 2013).

Przytoczone przykłady potwierdzają, że współwystępowanie różnych form trumien w jednym miejscu i czasie nie jest zjawiskiem wyjątkowym. Fragmenty trumny dłubanki z krypty Wejherów wskazują, że była to starannie wykonana skrzynia o płaskim dnie i równych ściankach, pokrytych od strony wewnętrznej i zewnętrznej tkaninami lnianymi w splocie płóciennym, nasączonymi jakiegoś rodzaju masą klejącą o żółtokremowej barwie (**ryc. I.40**). Niestety, nie można określić jej wymiarów ani dokładnego kształtu, ale mogła przypominać egzemplarze z bazyliki jasnogórskiej. W podobny sposób ukształtowane zostały boki krótkie o dużej grubości, a także zbliżony był sposób jej uszczelnienia.

Trumny wykonano z różnych gatunków drewna. Odnotowano co najmniej cztery wykonane w różny sposób z drewna dębowego. Cztery inne wykonano z drewna drzew iglastych (w tym jedną ze świerkowego), a jedną z nich umieszczono w jesionowym sarkofagu (**tab. I.2**). Przeważnie do obijania trumien stosowano techniki tapicerskie. Wyjątkowe jest natomiast okrycie, którego relikty odnotowano przy pozostałościach trumny Anny Wejher. Wykonane zostało z grubego filcu, który był poprzycinany do wymiarów trumny i łączony w narożnikach szwem tzw. na okrętkę. Relikty filcu przyklejone były do zewnętrznego uszczelnienia, co jednoznacznie pozwala przypisać do opisanej trumny znajdowane luzem duże

fragmenty (**ryc. I.22**). Nie odnotowano śladów gwoździ ani ćwieków tapicerskich. Jest to wyjątkowy, niespotykany sposób okrywania trumny<sup>10</sup>. Częściej rejestrowany sposób ozdabiania reprezentują natomiast relikty trumny dębowej, której nie można jednoznacznie przypisać do konkretnej osoby (Pk.M.120.KW.10; **ryc. I.41**). Brak zachowanych wymiarów nie pozwala na precyzyjne określenie, wydaje się jednak, że była to trumna większych rozmiarów, odpowiednia dla młodzieży lub osoby dorosłej. Została ona obita jedwabnym aksamitem, oryginalnie prawdopodobnie w kolorze ciemnoczerwonym i ozdobiona wzdłuż krawędzi jedwabną pasmanterią mocowaną dużymi ćwiekami tapicerskimi ze złożonymi główkami. Tego rodzaju obicia trumien datowanych na wiek XVII spotykane są stosunkowo często. Z najbliższych przykładów można przywołać trumny z odrestaurowanej krypty w kościele św. Anny w Wejherowie<sup>11</sup>, zawierającej pochówki fundatora Jakuba Wejhera i jego rodziny. Trumny te mają przekrój sześciokątny i analogiczny sposób obicia. Strzyżony aksamit wymieniany jest także wśród obić w archikatedrze lubelskiej (Niedźwiadek 2016, 358). Obijanie trumien gładkimi lub wzorzystymi tkaninami jedwabnymi było popularne w siedemnastowiecznej kulturze funeralnej, nie tylko w Rzeczypospolitej, ale również na terenie całej Europy (Grupa M., Grupa D., Majorek 2014; Niedźwiadek i in. 2015, 67). Trumnę pucką dodatkowo wzmocniono i jednocześnie ozdobiono żelaznymi okuciami o rozszerzonych, dekoracyjnych zakończeniach. Niewykluczone także, że to z niej pochodzi któraś z dwóch par zachowanych luzem antab.

Uwagę niewątpliwie zwraca sposób ozdabiania pochówków dziecięcych. Trzy rozpoznane trumny dziecięce obite zostały delikatnym jedwabnym atłasem, obecnie w kolorze złocistym i herbacianym. Na skutek rozkładu barwników nie jest możliwe ustalenie ich oryginalnego koloru, jednak z dotychczasowych badań wynika, że

<sup>10</sup> Gruby filc jako tkaninę obiciową wymienia R. Niedźwiadek w opisie znalezisk z archikatedry lubelskiej, nie podając jednak bliższych szczegółów (Niedźwiadek 2016, 358). Podobne do filcu obicie pojawia się także w opisie trumien z bazyliki jasnogórskiej, jednak nie wiadomo,

czy mamy do czynienia z grubym sukniem czy filcem (Młodkowska-Przepiórkowska, Przepiórkowski 2013, 66, 70).

<sup>11</sup> <https://turystyka.wejherowo.pl/s/23-klasztor>, dostęp z dnia 12.12.2023 r.

trumny dziecięce były malowane lub pokrywane tkaninami w jaśniejszych barwach: bieli, błękitów i czerwieni, zaś osób dorosłych objane były przeważnie ciemniejszymi czerwonymi lub czarnymi tkaninami (Drażkowska 2005, 22; Grupa M. i in. 2014, 42). Dwie z trumien puckich ozdobiono wzdłuż wszystkich krawędzi galonami z nici jedwabnej w metalowym oplocie (**ryc. I.36–39**). Były one zamocowane wraz z obiciem niewielkimi, gęsto umieszczonymi mosiężnymi ćwiekami tapicerskimi. Wartość tych ozdób była znaczna ze względu na użycie koronek i pasmanterii z oplotem ze srebrnych taśm pokrywanych złoceniem oraz ćwieków z pozłacanymi główkami. Takie kosztowne obicia przeznaczone były dla najzamożniejszych lub najbardziej znaczących osób (Niedźwiadek i in. 2015). Dla porównania, w przypadku 31 trumien dziecięcych z krypt kościoła pw. Imienia NMP w Szczuczynie tylko dwie obite zostały jedwabiem<sup>12</sup> (Grupa M. i in. 2014, 37). I choć uważa się, że pogrzeby dzieci były skromniejsze i mniej kosztowne (Drażkowska 2008, 32), to w przypadku dwóch trumien z krypty Wejherów zdecydowanie były one manifestem wysokiego statusu i zamożności pogrążonej w żałobie rodziny. Badania nad wyposażeniem grobów dziecięcych wskazują, że w pochówkach dziecięcych dbano także o jedność stylistyczną: elementy dekoracyjne trumien i obić dobierano tak, by stanowiły rodzaj kompletu ze strojem (Drażkowska 2005, 24). Na tej podstawie możliwe było połączenie reliktyw grobowej koszuli dziecięcej z jedwabnego rypsu z reliktywami trumny obitej aksamitnym jedwabiem. W obu przypadkach do dekoracji użyto tej samej koronki klockowej z nici jedwabnych w oplocie z pozłacanej srebrnej taśmy (**ryc. I.38**). Pozwala to stwierdzić, że w ten sposób pochowano najmłodsze ze zidentyfikowanych w krypcie dzieci – noworodka. Wymiary drugiej bogato dekorowanej trumny wskazują, że być może pochowano w niej starsze dziecko,

którego wiek określono na około 12 miesięcy. Nie można stwierdzić w jakiej trumnie pochowano około czteroletnią dziewczynkę, której być może należy przypisać rozpoznane relikty stroju grobowego w postaci sukni dziecięcej ze stanikiem w kroju wamsa, obszytej złocnym galonem (**ryc. III.19–20**). Wyróżniono wprawdzie relikty trzeciej trumny z początku XVIII wieku, jednak brak innych (poza liczbą) przesłanek do łączenia jej ze szczątkami tego dziecka<sup>13</sup>. Do jej dekoracji użyto jedwabnej taśmy pasmanteryjnej, a ściany skrzyni i wieka ozdobiono ćwiekami, ułożonymi w rok śmierci 1708, symbol IHS oraz wspomniany już herb rodowy (**ryc. I.19**). Jako jedyna umieszczona była na czterech toczonech podporach, większych pod szerszą częścią trumny i nieco mniejszych przy stopach.

Tekstylii zachowane w krypcie, zarówno pochodzące ze strojów grobowych i wyposażenia trumien, to niemal wyłącznie jedwabie, które są znacznie bardziej odporne na czynniki destrukcyjne związane z mikroklimatem krypt i rozkładem ciała, niż inne surowce. Nie należy jednak zapominać o przeważającej części tekstyliów z włókien lnianych lub wełnianych, z których wykonane były koronki, elementy odzieży grobowej, bielizny, wewnętrzne obicia trumien, prześcieradła, poszewki poduszek i materacy itp., a które nie przetrwały do naszych czasów<sup>14</sup>. Ich obecności możemy się jedynie domyślać, a skromnym ich śladem są płótna zachowane na dnach trumien, utrwalone nieokreślonym klejstrem oraz zmineralizowane fragmenty przywarte do skorodowanych żelaznych okuć.

Zbytkowny element wyposażenia grobowego stanowią także zachowane w krypcie Wejherów pozostałości misternie wykonanych sztucznych kwiatów, prawdopodobnie z jednego lub kilku wianków (**ryc. I.52–56**). Wieńce, wyplatane z naturalnych kwiatów i ziół, a także z kwiatów sztucznych i różnego rodzaju ozdób miały szcze-

<sup>12</sup> Były to trumny dzieci – Augusta Michała (zm. 1703) i Marii Anny (zm. 1705) – założyciela i właściciela Szczuczyna podkomorzego litewskiego Stanisława Antoniego Szczuki. Pozostałe dziecięce trumny były malowane na żółto, niebiesko i czerwono.

<sup>13</sup> W krypcie zalegała znaczna liczba spróchniałych desek, których ze względu na stan zachowania nie dało się

połączyć z rozpoznanymi trumnami ani szerzej opisać. Część z nich mogła stanowić relikty nie opisanych wyżej, innych trumien.

<sup>14</sup> Odnotowywane są jednak w innych kryptach, np. w pochówkach dziecięcych w Szczuczynie (Grupa M. i in. 2014, 34).

gólny wydzźwięk w obrzędowości pogrzebowej. Przyjmuje się, że były one umieszczane w pochówkach dzieci i młodych osób stanu wolnego – panien i kawalerów. Potwierdzają to coraz liczniejsze badania krypt i cmentarzy, dostarczające wielu dobrze zachowanych wianków lub bukietów ze sztucznych i naturalnych kwiatów pochodzących z pochówków dzieci i młodych dorosłych<sup>15</sup> (m.in. Petrycka 2003; Drązkowska 2006; Lippok 2011; Niedźwiadek i in. 2015, 121; Grupa M., Nowak 2017; Witkowska 2018; tam dalsza literatura). Wianki umieszczane w grobie miały wiele przenikających się znaczeń. Podobnie jak obecnie, symbolizowały czystość, cnotę i niewinność młodych, bezżennie zmarłych osób. W tym kontekście mogły także stanowić symboliczne zaślubiny z Bogiem, jako dopełnienie ważnej życiowej powinności i zadośćuczynienie za śmierć w młodym wieku. Natomiast poprzez formę kręgu bez początku i końca mogły również symbolizować życie wieczne oraz stanowić nagrodę za wierność Bogu (Kizik 1998, 88–89; Petrycka 2003, 19–23). Wieńce wkładano zmarłym na głowę, bądź też układano na ciele lub przyozdabiano nimi trumny (Petrycka 2003, 23; Drązkowska 2006, 212). Okazała forma wianków-koron wykonywanych ze sztucznych i naturalnych kwiatów oraz drogiej pasmanterii podkreślała również status i zamożność rodziny pochowanej osoby, a zwyczaj ich ofiarowania rozkwitł w XVII i XVIII wieku (Lippok 2011, 121). Ostentacja w tym zakresie ograniczana była przez ordynacje pogrzebowe. W trosce o nadmierne wydatki związane z przepychem uroczystości pogrzebowych podkreślano

w nich, iż każdy powinien wyposażać zmarłego zgodnie ze swoim stanem (Kizik 1998, 89–90; 2001, 198–199; Grupa M., Nowak 2017). Kwiaty, których relikty znaleziono w krypcie Wejherów z pewnością należały do przedmiotów bardzo kosztownych i stanowiły małe rękodzieła<sup>16</sup>. Wykonano je z bardzo cienkiego (nawet 0,1 mm), misternie wplecionego i spiralnie skręconego pozłacanego drutu miedzianego, jedwabiu, białego i czerwonego papieru oraz kleju lub żywicy (?), uzyskując spektakularny efekt połyskujących w blasku świec ozdób. Demonstrowały one wysoki status i pochodzenie dziecka z zamożnego rodu, a zapewne też były wyrazem uczuć pogrążonej w żałobie rodziny. Niestety, wtórny kontekst i rozproszenie ozdób w przestrzeni krypty nie pozwala stwierdzić, z ilu wianków pochodzą oraz które z dzieci pochowano z wiankiem. Można jedynie przypuszczać, że umieszczono je przy opisanych już bardzo bogato zdobionych trumnach. Możliwe również, że znajdowały się tam także wianki z naturalnych kwiatów i ziół, które wykorzystywano jeśli były dostępne, a których pozostałości nie przetrwały do naszych czasów<sup>17</sup> (Kizik 1998, 88; Drązkowska 2006).

Rodzina zmarłego umieszczała w trumnach także drobne przedmioty osobiste, wśród których przeważały dewocjalia. Wydaje się, że trzy osoby pochowane w krypcie Wejherów wyposażono w różańce. Dość dobrze zachowany, skromny różaniec z drewnianych paciorków nanizanych na jedwabny sznurek, znaleziony został w rejonie, w którym znajdowały się również szczątki niezidentyfikowanej kobiety oraz przypuszczalnie

<sup>15</sup> W przypadku analiz Juliane Lippok znalezisk z obszaru północno-wschodnich Niemiec wynika, że 76% osób pochowanych z wiankami-koronami w momencie śmierci miało nie więcej niż 12 lat, a większość z nich stanowiły noworodki i dzieci do 6 roku życia (Lippok 2011, 122)..

<sup>16</sup> Zdanie to należy w zasadzie odnieść do wszystkich zachowanych relikwii sztucznych wianków. W większości wykorzystywano różnej grubości drut lub taśmę miedzianą (złożoną lub posrebrzaną), przędzę i tkaniny jedwabne oraz papier; rzadziej zaś paciorki szklane, perły i szlachetne kamienie. Sposób wykonywania poszczególnych kwiatów i całych wianków był bardzo zróżnicowany i indywidualny, niejednokrotnie zaś wymagał stosowania zaawansowanych technik jubilerskich. Technologię produkcji koron na podstawie analiz archeometrycznych zaprezentowała

obszernie J. Lippok (2013), a w mniejszym zakresie zagadnienia takie podejmowane są również dla znalezisk z ziem polskich (Grupa M., Łukaszewicz 2019).

<sup>17</sup> Często przytaczanym lecz niezwykle wymownym tego przykładem są wizerunki dzieci Jetřicha z Žerotína i Kateřiny Žampachové z Potštejna wykonane w 1. ćwierci XVII wieku (Bukolská 1985, 92). Jest to galeria czterech przedstawień, na których ciała dzieci spoczywają na katafalkach, w tym trójka z nich na białych prześcieradłach pokrytych gałązkami, z wiankami umieszczonymi wokół i na ciele (Bukolská 1985, ryc. 27, 28, 30). Na jednym z przedstawień publikowanych w kolorze na głowie Karla Zdeňka widnieje wieniec z naprzemiennie wplecionych białych i czerwonych kwiatów. Źródło: <https://www.esbirky.cz/predmet/24676347>, dostęp z dnia 12.12.2023 r.

Marcina Władysława Wejhera (**ryc. I.51**). Choć nie jest kompletny, można stwierdzić, że na pętle różańcową składało się co najmniej sześć dziesiątek paciorków *Ave Maria*, rozdzielonych paciorkami *Pater Noster*, wydzielonych dodatkowo najmniejszymi separatorami. Paciorki *Pater Noster* poza większą średnicą wyróżniały także potrójne żłobienia. Oderwany od pętli sznur składał się z trzech paciorków *Ave Maria*, zakończonych krzyżykiem. Liczba paciorków może zatem wskazywać, że jest to sznur do odmawiania specyficznej wersji modlitwy różańcowej, nawiązującej do apokryficznego wieku Marii – 63 lat. W taki sposób zinterpretowane zostały analogiczne różańce z krypt kościoła oo. Franciszkanów w Krakowie (Nowak, Drązkowska, Łyczak 2020, 209, 217). Stan zachowania nie pozwala jednak na pełną rekonstrukcję – pętla mogła być spięta medalikiem, do którego przymocowany był sznur z krzyżykiem na końcu (Niedźwiadek i in. 2015, 119). Niewykluczone także, że medalik umieszczony był na samym końcu pod krzyżykiem. Zbliżony pod względem budowy drewniany różaniec znaleziony został w krypcie Judyckich, również mieszczącej się w farze puckiej, a użytkowanej od około połowy XVII po koniec XIX wieku. Oryginalnie miał on sześć dziesiątek paciorków *Ave Maria* rozdzielonych zdobionymi żłobkami paciorkami *Pater Noster*. Na sznurze zachowały się trzy paciorki i drewniany krzyżyk, do którego zamocowany był zachowany fragmentarycznie mosiężny medalion (Grabarczyk, Kajzer 1978, 9–93, 105–106). Podobny różaniec z paciorków kościanych, zakończony dużym medalikiem, znaleziony został w grobie młodej osoby na siedemnastowiecznym cmentarzu przy kościele św. Piotra i Pawła we Wrocławiu (Pankiewicz, Marcinkiewicz 2012, 26; Pankiewicz, Witkowski, 2012, ryc. 1c). Pod względem surowca i dekoracji drewniany różaniec z krypty Wejherów nie wyróżnia się spośród powszechnie odnajdowanych nowożytnych różańców.

Drobne, bursztynowe paciorki, odnotowane w dwóch rozmiarach i kształtach były najprawdopodobniej pozostałościami drugiego różańca, lecz ze względu na ich zły stan zachowania nie jest możliwa rekonstrukcja wyglądu i układu sznura modlitewnego. Znalezione zostały pod-

czas przesiewania podłoża w miejscu, w którym spoczywały szczątki kostne identyfikowane jako należące do Ernesta Wejhera (**ryc. I.30**). Różańce wykonane z bursztynu spotykane są sporadycznie (por. Kołyszko 2013, 283–287). Paciorki bursztynowe w dwóch rozmiarach nanizane na sznurek jedwabny znalezione zostały w krypcie Judyckich, w tej samej farze puckiej. Przez autorów badań określane są jako kolie, a łączone są z dwoma pochówkami kobiet (Grabarczyk, Kajzer 1978). Pojedyncze paciorki bursztynowe znalezione zostały w kryptach kościoła pw. św. Franciszka z Asyżu w Krakowie (Nowak Drązkowska Łyczak 2020, 206, 213).

Wydaje się, że jako relikty różańca należy także zaklasyfikować zachowany fragmentarycznie sznur bardzo małych paciorków z zabarwionej na czerwono glinki, nanizanych na jedwabny sznurek (**ryc. I.27:1**). Bardzo mały rozmiar oraz nietrwałość surowiec może wskazywać, że jest to pozostałość jednorazowego różańca, umieszczonego w trumnie dziecięcej.

Różańce znajdowane *in situ* oplatały zazwyczaj ręce zmarłego złożone na ciele. Są one stosunkowo często znajdowane w grobach, niezależnie od płci i wieku pochowanej osoby, jednoznacznie wskazując na jej katolickie wyznanie (por. m.in. Kołyszko 2013, 168–169; Niedźwiadek i in. 2015, 119–120; Grupa M., Warecka 2018). Wkładanie różańców w dłonie dzieci poświadczają także wspomniane *castrum doloris* dzieci Jetřicha z Žerotína z 1. ćwierci XVII wieku (Bukolská 1985, 250, ryc. 27-28).

W pochówkach z krypty Wejherów wyraziła jest także duża dbałość o kwestie sanitarne – niemal na każdym kroku widoczne są ślady zabiegów mających na celu spowolnienie rozkładu ciała i zniwelowanie towarzyszących mu odorów, a także zapobieganie przedostaniu się produktów rozkładu na zewnątrz trumny.

W świetle źródeł pisanych problem przechowywania ciał do zakończenia uroczystości pogrzebowych rozwiązywano stosując zabiegi balsamowania (Kizik 1998, 83; Pietrzak 2020). Prosty zabieg balsamacyjny, który skutecznie spowalniał rozkład tkanek miękkich było zanurzenie ciała w wapnie. Stosowano go, jeśli w grę wchodziło przetransportowanie ciała lub



dłgie przygotowania do oficjalnego pochówku. Ciało Zygmunta Starego na jego życzenie po śmierci wymyto octem i winem, a następnie zakonserwowano w wapnie i zasypano chmielem oraz popiołem. Ciało Barbary Radziwiłłówny zawapnowano zgodnie z wolą zmarłej, a następnie przewieziono z Krakowa do Wilna (Pietrzak 2020, 147, 166). Zastosowanie wapna potwierdzone zostało także archeologicznie, m.in. w pochówku Kazimierza Jagiellończyka złożonego w krypcie kaplicy Świętokrzyskiej w katedrze wawelskiej (Kozieł 1978, 441–447; Kozłowski 1978, 462, 503–504).

Zniszczenia spowodowane kontaktem z wapnem nosi większość zdeponowanych w krypcie Wejherów szczątków kostnych. Z pewnością wapno wypełniało trumny Jana Wejhera i Kacpra Szczawińskiego (ryc. V.3), zalegało w miejscu znalezienia sarkofagu i szczątków Ernesta Wejhera, zaś jego obecność zarejestrowano właściwie w całej przestrzeni krypty. Śladów wapna nie odnotowano jednak w trumnie Anny Wejher oraz trumienkach dziecięcych, co może wskazywać na krótszy okres oczekiwania na pogrzeb. W przypadku Anny rolę sanitarną pełnił wspomniany wyżej materac z szyszek chmielu, w której zawarta jest lupulina o działaniu antybakteryjnym i przeciwgrzybicznym. Wyściełanie to opóźniać miało rozkład ciała oraz wchłaniać jego produkty.

Od XVI wieku upowszechniały się także zabiegi sekcji i balsamowania ciał monarchów i członków ich rodzin, które zapewniały dłuższą i bezpośrednią obecność monarchy wśród swoich poddanych na czas uroczystości funeralnych<sup>18</sup>. Z czasem stały się one elementem kultury pogrzebowej magnaterii i średniozamożnej szlachty (Pietrzak 2020, 167–169). Co najmniej od połowy XVII wieku notowane są przypadki takich zabiegów przeprowadzone na ciałach wysoko postawionych urzędników państwowych, w tym członków rodów Działyńskich i Radziwiłłów (Pietrzak 2020, 167).



**Ryc. V.3.** Szczątki kostne Pk.M.120.KW.07 (Kacpra Szczawińskiego?) zniszczone działaniem wapna. Fot. K. Blusiewicz.

**Fig. V.3.** Bone remains Pk.M.120.KW.07 (Kacper Szczawiński?) damaged with lime. Photo by K. Blusiewicz.

Sekcję rozpoczynano od upuszczenia krwi, a następnie rozcinano ciało. Pierwszego cięcia dokonywano wzdłuż powłok brzusznych do spojenia łonowego, dwa kolejne poprzeczne – na wysokości rękojeści mostka i nerek. Następnie oceniano i usuwano organy wewnętrzne oraz serce, które przenoszono do osobnych naczyń. Czasem wykonywano także trepanację czaszki i usuwano tkankę mózgową. Przed balsamacją ciało płukano roztworem soli lub w winie z wywarem ziołowym, następnie wypychano je ziołami, słomą, trocinami i końskim włosiem. Po zaszcyciu ciała posypywano je chmielem i sproszkowanymi ziołami i nacierano terpentyną lub kamforą

<sup>18</sup> Poza potrzebami sanitarnymi miały one także oczywiście odpowiedzieć na pytanie o przyczynę zgonu (Pietrzak 2020, 155-164).

zmieszaną z pachnącymi olejkami, a następnie przyodziewano i wykonywano zabiegi toaletowe (Pietrzak 2020, 155–166).

Wydaje się, że śladami takich zabiegów są nacięcia odnotowane na trzonie i rękojeści mostka dwóch pochowanych w krypcie osób: Ernesta (**ryc. II.3**) i Marcina Władysława Wejherów (por. Fetner i in. w tym tomie). Niewątpliwie, w obu przypadkach od momentu zgonu do ostatecznego złożenia szczątków w krypcie minął dłuższy czas. W przypadku Ernesta Wejhera, zmarłego na początku 1598 r. z pochówkiem oczekiwano do momentu ukończenia budowy krypty. Ciało Marcina Władysława Wejhera musiało zaś być sprowadzone z miejsca odległego o ponad 1200 km w linii prostej od Pucka.

W większości trumien zastosowano także uszczelnienia, zapobiegające wydostawaniu się produktów rozkładu ciała na zewnątrz. W przypadku trumien dziecięcych odnotowano jedynie ślady uszczelniania łączy skrzyni, poprzez wklejanie w nie pasów nasączonej lepiszczem tkaniny. Jednak w przypadku trumien Anny i Jana Wejherów przybrały one postać grubych powłok, złożonych z wielu warstw tkanin nasączonych brunatno-czarną substancją o żywicznym zapachu, pokrywających trumnę od wnętrza i na zewnątrz (**ryc. I.21**). Warstwą czarnego lepiszcza pokryty był także sarkofag i trumna Ernesta Wejhera. Tego rodzaju zabezpieczenie odnotowano także w trumnie Kazimierza Jagiellończyka, wydrążonej w kłodzie drewna sosnowego. Od strony zewnętrznej była ona pokryta nawet ośmioma warstwami zaimpregnowanych płócien. Ich specjalistyczne analizy dowiodły, że

surowcem, który posłużył do sklejenia tkanin była najprawdopodobniej gęsta smoła drzewna z drzew iglastych, niewykluczone, że ze szlachetnych gatunków drzew, jak modrzew lub cis (Kozłowski 1978, 462, 504). Użycie smoły do zabezpieczenia trumien i zwłok potwierdzone jest także źródłowo. Ciało króla Władysława Jagiełły według Jana Długosza „[...] włożone do drewnianej skrzyni posmarowanej smołą i żywicą, ubrane w szaty królewskie i koronę, wieziono [z Gródka] do Krakowa celem pogrzebania [...]” (Długosz 2009, 133). W czasach nowożytnych użycie smoły poświadcza opis konduktu pogrzebowego księcia Jeremiego Wiśniowieckiego z 1651 r.: „[...] prowadzili ciało w trumnę włożone, smołą zalane, ubrane w żupan atłasowy karmazynowy, ferezyą axamitną włosianego koloru, kołpak axamitny koloru pomarańczowego.” (Grabowski 1840, 286–287). W świetle badań archeologicznych tego rodzaju zabezpieczenia były powszechnie stosowane.

Przeprowadzone w krypcie Wejherów prace, choć obarczone licznymi problemami wynikającymi ze stanu zachowania szczątków, dostarczyły niewątpliwie nowych źródeł do badań nad kulturą funeralną w czasach nowożytnych oraz przyczynków do dalszych studiów nad dziejami rodu Wejherów i ich rodzinnego grobowca. Niewykluczone, że dalsze poszukiwania archiwaliów i pogłębione studia historyczne, a także nowe metody analiz pozwolą w przyszłości na uzupełnienie białych plam i identyfikację osób, które znalazły w krypcie Wejherów miejsce ostatniego spoczynku. Ich szczątki pozostawione zostały w krypcie i oczekują na powtórny pochówek.

**Bibliografia:**

- Bukolská E. 1985. Malovaný portrét v Čechách v období renesance. W: *Seminaria Niedzické II. Portrét typu sarmackiego w wieku XVII w Polsce, Czechach, na Słowacji i na Węgrzech*. Kraków, s. 85–95.
- Bystron J. S. 1933. *Dzieje obyczajów w dawnej Polsce: wiek XIV-XVIII, t. 2*. Warszawa.
- Chrościcki J. A. 1974. *Pompa funebris. Z dziejów kultury staropolskiej*. Warszawa.
- Ciara S. 1980. *Kariera rodu Weiherów 1560–1657*. Warszawa.
- Dabralet, I., Michalik, J., Grupa, M., Gałka, B. 2022. A Double Child Coffin from the Southern Crypt of the Holy Trinity Church in Radzyń Podlaski (19th Century). *Analecta Archaeologica Resso- viensia* 17, s. 89–100. <https://doi.org/10.15584/anarres.2022.17.8>
- Dettlaff D. 2019. *Morska Fara Rzeczypospolitej*. Bydgoszcz-Puck.
- Długosz J. 2009. *Jana Długosza Roczniki czyli Kroniki sławnego Królestwa Polskiego. Ks. 11 i 12, 1431-1444*. Warszawa.
- Drązkowska A. 2005. Wyposażenie XVII- i XVIII-wiecznych grobów dziecięcych zlokalizowanych wewnątrz kościołów. W: M. Opęchowski, A. Łazowski (red.). *Nekropolie, kirkuty, cmentarze. Materiały konferencyjne*. Szczecin, 19–40.
- Drązkowska A., 2006. Wianki wydobyte z krypty grobowej w kościele pw. Wniebowzięcia Najświętszej Marii Panny w Toruniu. *Rocznik Toruński* 33, s. 209–217.
- Drązkowska A. 2008. *Odzież grobowa w Rzeczypospolitej w XVII i XVIII wieku*. Toruń.
- Grabarczyk T., Kajzer L. 1978. Badania archeologiczno-architektoniczne krypty Judyckich w kościele pw. św. Piotra i Pawła w Pucku w 1977 roku. *Studia Pelplińskie*, s. 85–101.
- Grabowski A. 1840. *Starożytności historyczne polskie czyli Pisma i pamiątniki do dziejów dawnej Polski, listy królów i znakomitych mężów, przypowieści, przysłowia i t.p. z rękopismów zebr. i przydał żywoty uczonych Polaków Ambrożego Grabowski. T.1*. Kraków.
- Grupa, D. 2019. Laying Waste in Archaeological Sites. The Problems of Damage to Historical Sacred Objects as a Result of Human Activity. *Fasciculi Archaeologiae Historicae* 32, p. 189–199. doi: 10.23858/FAH32.2019.012
- Grupa M., Grupa D., Kozłowski T., Krajewska M., Majorek M., Nowak M., Nowak S., Przymorska-Sztuczka M., Wojciechowska A., Dudziński T. 2014. *Tajemnice szczuczyńskich krypt (tom 2)*. Grajewo-Toruń.
- Grupa M., Grupa D., Majorek M. 2014. Selected silk coffin upholstery from 17th and 18th centuries on Polish lands / Wybrane jedwabne obicia trumien z XVII i XVIII wieku na ziemiach polskich, *Sprawozdania Archeologiczne* 66, s. 165–182.
- Grupa M., Kozłowski T., Jankauskas R., Grupa D., Krajewska M., Krakowska S., Majorek M., Mosiejczyk J., Nowak M., Nowak S., Przymorska-Sztuczka M., Wojciechowska A. 2015. *Tajemnice krypty w kaplicy św. Anny / Secrets of the crypt in St. Ann chapel*, Gniew.
- Grupa M., Łukaszewicz J. W. 2019. Silk band and metal appliqués of a child bonnet from the northern crypt of the parish church in Gniew, *Analecta Archaeologica Resso- viensia* 14, 137–153.
- Grupa M., Nowak M. 2017. Wianki jako element wyposażenia grobowego. *Acta Universitatis Nicolai Copernici. Archeologia* 35, s. 159–172, [http://dx.doi.org/10.12775/AUNC\\_ARCH.2017.008](http://dx.doi.org/10.12775/AUNC_ARCH.2017.008)
- Grupa M., Warecka O. 2018. Wybrane rózańce z badań w kościele parafialnym pw. św. Mikołaja w Gniewie. *Rydwan* 13, s. 31–42.
- Kizik E. 1998. *Śmierć w mieście hanzeatyckim w XVI-XVIII wieku. Studium z nowożytnej kultury funeralnej*. Gdańsk.

- Kołyшко M. 2013. *Dewocjonalia z końca XVI-XVIII wieku pochodzące z badań archeologicznych na terenie Polski (stan zachowania, identyfikacja, zagadnienia konserwatorskie)*. Toruń.
- Kowalski K.M. 1998. Czasy Rzeczypospolitej szlacheckiej. W: A. Groth (red.). *Historia Pucka*. Gdańsk, s. 91–207.
- Kowalkowski J. 2011. Spisy pochowanych w kościele klasztorным franciszkanów reformatów w Wejherowie. *Studia Pelplińskie* 44, s. 177–214.
- Kozieł S. Badania archeologiczne w kaplicy Świętokrzyskiej w latach 1972–1973. *Studia do dziejów Wawelu* IV. Kraków, s. 441–459.
- Kozłowski R. 1978. Badanie i konserwacja przedmiotów z grobu Kazimierza Jagiellończyka. *Studia do dziejów Wawelu* IV. Kraków, s. 460–506.
- Kozłowski T., Grupa M. 2019. Cognitive values of ossuaries from the cemetery and the church of St. Nicolas in Gniew, *Fasciculi Archaeologiae Historicae* 32, s. 33–51.
- Labudda A. 2014. *Liturgia pogrzebu w Polsce do wydania Rytuału piotrkowskiego (1631). Studium historyczno-liturgiczne*. Piastów.
- Lippok, J. 2011. Corona Funebri Zur Problematik neuzeitlicher Totenkronen aus archäologischer Sicht. *Religiosität in Mittelalter Und Neuzeit, Mitteilungen Der Deutschen Gesellschaft Für Archäologie Des Mittelalters Und Der Neuzeit* 23, s. 113–124.
- Lippok J. 2013. Neuzeitliche Totenkronen in Deutschland. Untersuchungen zum Erkenntnispotenzial von Materialanalysen unter besonderer Berücksichtigung von Datierungsfragen. *Praehistorische Zeitschrift* 88 (1–2), pp. 180–207. <https://doi.org/10.1515/pz-2013-0006>
- Łopatkiewicz T. 1997. Kościół farny w Krośnie - najstarsza nekropolia miasta. W: P. Łopatkiewicz (red.). *Kościół farny w Krośnie - pomnik kultury artystycznej miasta*. Materiały z sesji naukowej Krosno, listopad 1996. Krosno: Muzeum Rzemiosła w Krośnie, s. 141–162.
- Młodkowska-Przepiórkowska I., Przepiórkowski Z. 2013. Wyniki prac archeologicznych przeprowadzonych w Bazylice Jasnogórskiej w 2009 roku. W: J. Golonka (red.). *Tajemnice bazyliki jasnogórskiej. Studium do dziejów*. Częstochowa, s. 37–135.
- Niedźwiadek R. 2016. Pochówki w kryptach pod południową nawą kościoła pojezuickiego pw. św. Jana w Lublinie. *Materiały i Sprawozdania Rzeszowskiego Ośrodka Archeologicznego* 37, s. 333–368. DOI: 10.15584/misroa.2016.37.19
- Niedźwiadek R. 2018. Od cmentarza rządowego do krypt – przestrzeń sepulkralna Lublina w późnym średniowieczu i okresie nowożytnym w świetle badań archeologicznych. Maszynopis pracy doktorskiej w repozytorium Uniwersytetu Rzeszowskiego.
- Niedźwiadek R., Drązkowska A., Hupało W., Przymorska-Sztuczka M. 2015. Wyposażenie nowożytnych pochówków na podstawie wybranych stanowisk z Polski, Ukrainy i Litwy. W: A. Drązkowska (red.). *Kultura funeralna elit Rzeczypospolitej od XVI do XVIII wieku na terenie Korony i Wielkiego Księstwa Litewskiego. Próba analizy interdyscyplinarnej*. Toruń, s. 70–125.
- Niedźwiadek R., Drązkowska A., Majorek M. 2015. Nowożytny trumny z badań archeologicznych z wybranych stanowisk z Polski, Litwy i Ukrainy. W: A. Drązkowska (red.), *Kultura funeralna elit I Rzeczypospolitej w XVI-XVIII wieku na terenie Korony i Wielkiego Księstwa Litewskiego. Próba analizy interdyscyplinarnej*. Toruń, s. 19–70.
- Nowak M., Drązkowska A., Łyczak M. 2020. Wyposażenie grobowe. W: A. Drązkowska (red.). *Krypty grobowe kościoła pw. Św. Franciszka z Asyżu w Krakowie w świetle badań interdyscyplinarnych. Tom 1: Archeologia – Historia – Kostiumologia*. Toruń, s. 117–279
- Pankiewicz A., Marcinkiewicz K. 2012 Cmentarz przy kościele św. Piotra i Pawła we Wrocławiu. W: A. Pankiewicz (red.). *Nowożytny cmentarz przy kościele Św. Piotra i Pawła na Ostrowie Tumskim we Wrocławiu (lata 1621-1670)*. *Wratislavia Antiqua* 17. Wrocław, s. 13–46.

- Pankiewicz A., Witkowski J. 2012. Dewocjonalia barokowe odkryte na cmentarzysku przy kościele św. Piotra i Pawła na Ostrowie Tumskim we Wrocławiu. W: A. Pankiewicz (red.). *Nowożytny cmentarz przy kościele Św. Piotra i Pawła na Ostrowie Tumskim we Wrocławiu (lata 1621-1670)*. Wratislavia Antiqua 17. Wrocław, s. 49–68.
- Pietrzak J. 2020. „Ciało umarłe większego wymaga opatrzenia” – sekcja zwłok polskich królów i królowych od XVI do XVIII wieku w kontekście przygotowań do ceremonii pogrzebowej. W: H. Rajfura, P. Szewdo, B. Świadek, M. Walczak, P. Węcowski (red.). *Śmierć, pogrzeb i upamiętnienie władców w dawnej Polsce*. Warszawa, s. 142–170.
- Pragert P. 2007. *Herbarz szlachty kaszubskiej, tom II*. Gdańsk.
- Szybkowski S. 2020. Pochodzenie Szczawińskich herbu Dąbrowa z Prus Królewskich. W: S. Kościelak, S. Szybkowski, T. Rembalski (red.). *Genealogia, prozopografia i dzieje społeczeństw na historycznych obszarach Pomorza w okresie przedindustrialnym (od średniowiecza po wiek XIX)*. Gdańsk, s. 61–76.
- Turnau I. 1991. *Ubiór narodowy w dawnej Rzeczypospolitej*. Warszawa.
- Vasilieva E. E. 2016. Wooden Coffins Discovered During Excavations in Moscow Theological Academy in 2014. *Povolzhskaya Arkheologiya* 4 (18), s. 296–308.
- Ważny T., Elzanowska A. 2022. Analiza dendrochronologiczna i identyfikacja gatunkowa próbek pochodzących z krypty Wejherów w kościele parafialnym pw. Św. Apostołów Piotra i Pawła w Pucku, maszynopis w archiwum Wydziału Archeologii UW
- Witkowska A. 2018. Rośliny w nowożytnych wiankach i koronach pogrzebowych. *Śląskie Sprawozdania Archeologiczne* 60 (2), s. 285-303. DOI: 10.34616/ssa.2018.60.2.285.303
- Włodarski J. 2016. *Jakub, Mikołaj i Ludwik Wejherowie. Mężowie stanu Prus Królewskich i dowódcy wojskowi Rzeczypospolitej*. Gdańsk.



*Karolina Blusiewicz*

## INTERPRETATION OF THE BURIALS FROM THE CRYPT OF THE WEJHER FAMILY IN THE SAINT APOSTLES PETER AND PAUL CHURCH IN PUCK – SUMMARY

The question of identification of the individuals interred in the crypt of the Wejher family in the parish church in Puck has long attracted attention of scholars researching the history of the family and the town. Archaeological excavations conducted in 2021 were fruitful, but the destructive impact of time and environmental factors, including humans and animals, significantly limited insights related to the question. The conclusions presented below are nevertheless based on the results of the said archaeological investigation, supplemented with specialist analyses, with the caveat that they are but hypotheses.

Crucial for the identification of the individuals were osteological analyses performed by a team of bioarchaeologists (Fetner et al., in this volume). They succeeded in distinguishing six burials of adults with known sex and age – four men and two women – as well as four children. By including information from written sources, and excluding those members of the Wejher family whose resting places are known, it was possible to infer the identity of some of the individuals interred in the crypt.

The ancestral tomb of the Wejher family was founded in 1597 as a place of repose for Ernest Wejher, the nector of the family and the starost of Puck. He died in 1598, at the age of 81, after a life of a military man. The north-western corner of the crypt contained

remains of a mature male approximately 170 centimetres tall (Pk.M.120.KW.06; Fig. I.29), whose skeleton and teeth showed changes typical of advanced age. These are the only remains matching the profile of Ernest Wejher. He was laid to rest in a pine wood coffin with a tetragonal cross-section which was then placed inside a sarcophagus (Pk.M.120.KW.06; Fig. I.28). The sarcophagus was made of ashwood planks and a large rectangular glass pane was mounted in its flat lid. It is possible that the coffin inside the sarcophagus was also glazed in a similar way. This would explain the presence of a round glass pane found nearby (Fig. I.33), but there is no evidence linking it unambiguously to any of the coffins discovered in the crypt. Coffins with glass openings for looking at the deceased person were not entirely unknown in the Old Polish times, but remained rather rare. The funeral attire of Ernest did not survive – most likely he had been buried in a dress made of linen and wool, which could have rotten away completely in a very short time given the conditions in the crypt. The only personal item related to Ernest's burial is an amber rosary, whose remains, in the form of crushed beads, were retrieved together with the bones (Fig. I.30). The body in the coffin was placed on a lime substrate and presumably surrounded with aromatic herbs and flowers, as suggested by remains found on the bottom, near the head.

The inside of the coffin, as well as the sarcophagus, were sealed from both sides with wood tar. Similar sealing was also applied on the outside of the sarcophagus, giving it its black colour. No traces of upholstery were registered.

In the best-preserved coffin, standing alone by the northern wall of the crypt (Pk.M.120.KW.05; Figs. I.8; I.19), skeletal remains of an elderly woman were found. The woman died at the age of 60 or more, and is estimated to have been 163 centimetres tall. The burial may be identified with significant confidence as that of Anna Wejher († 1616), wife of Ernest Wejher and the founder of the crypt. She was buried in a Western-fashion dress of red damask silk which she used to wear when alive (Fig. III.34). Anna's body was placed in an oak wood coffin with a tetragonal cross-section (Figs. I.19–20) and padded with a mattress of hop cones. Her head and body were surrounded with blooming plants of aromatic species. The coffin was carefully sealed with several layers of fabric soaked in birch tar or pitch, which created an impermeable external coating and efficiently protected the wood from decaying (Fig. I.21). From the outside, it was upholstered in precisely-cut pieces of thick felt sewn together (Fig. I.22).

According to the historical sources, the crypt was also used to bury the sons of Ernest and Anna: Jan and Marcin Władysław. Jan Wejher, heir of the Rzućewo estate, starost of Puck, and the first senator from the family, died on 14 January 1626 at age of 46. He was buried in the ancestral tomb on 31 March of the same year. It is known that late in life Jan would suffer from strong pain in his feet, traditionally referred to as gout. One of the coffins in the south-western corner of the crypt contained remains of a mature man (Pk.M.120.KW.11; Fig. I.45) with signs of advanced lesions in the feet. His age and the pathological changes in the skeleton suggest that the burial was likely that of Jan. He was buried in a pine wood coffin with a tetragonal cross-section and flat lid. The coffin survived in a very poor state, staying together only thanks to thick layers of fabric soaked in wood tar which covered it from the outside. It was also padded from the inside, as indicated by fragments of fabrics solidified with some sort of glue or copious amounts of lime.

Remains of the Polish national dress found in a bundle of different textiles next to Jan's coffin should be associated with his burial (Figs. I.48; III.6–7). This association is supported by the fact that fragments of large, male-sized leather shoes compatible with this type of dress were found inside the coffin, near the feet (Fig. I.47). The interred individual was buried in a red *żupan* of flowery damask silk, a *delia* lined with silk (Figs. III.22, 38–39), and shoes of dark-red leather. Such a dress served to emphasise affinity to Polish heritage, highlight the prestige of the senatorial rank, manifest the social standing, and express political allegiance. Based on his bones, Jan is estimated to have been 170 centimetres tall, while his *żupan*, custom-made to be wider than usual, indicated that he was a big man, with the waist size of approximately 112 centimetres (Figs. III.22; III.25).

The profile of Marcin Władysław Wejher, killed at the age of 24, is matched by the remains of a young man (aged 20–35) found in the sector Pk.M.120.KW.09. Marcin Władysław was shot at the Battle of Tsaryovo-Zaymishche in 1610 and his body was transported back to Puck by his brothers. There is no certainty in which coffin he was laid to rest, although there is some evidence, such as the location of the remains within the crypt, linking him with a remains of oak log coffin (Fig. I.40). The dendrochronological dating of the wood supports this identification, as it narrows down the time of the felling of the tree to between 1603 and 1617 (Tab. I.2).

It is more difficult to identify the remains of the last mature man, for whom there are no reliable indicators. It may have been Kacper Szczawiński, brother of Anna Szczawińska, Jan's wife. He died in 1617 at the age of 37. His burial in the crypt is confirmed only by an epitaph, inscribed among the epitaphs of the Wejhers. His presumed coffin was made of spruce and covered with copious amounts of lime (Figs. I.31; V.3).

It proved impossible to determine the identity of the mature woman whose remains were found in the crypt (Pk.M.120.KW.09/10). However, important information was obtained from DNA analyses, which excluded first- and second-degree consanguinity between the woman and the individual identified as Ernest Wejher. This would suggest that she was



related to the Wejher family by marriage. In effect, she may have been Gertruda Konarska, the first wife of Dymitr Wejher. Gertruda died in the second decade of the 17th century, before 1618, when the Wejher crypt still functioned as the family tomb and the Wejhers were preoccupied with developing their house's fortune and managing the local affairs of the Puck land.

Information from the literature on the Wejher family enables a tentative identification of the oldest child buried in the crypt – a boy estimated to have died at the age of 13. It is likely that he was Ernest Wejher, son of Jan Wejher, who died in 1617 because of fever. At the time, he was studying at the Jesuit College in Braniewo.

The lack of similar indicators precluded identification of the other children buried in the crypt. These include remains of a girl, approximately 4 years old, a younger child who died in the first year of life, and a newborn baby.

It seems that the most intensive period of use of the crypt was the first quarter of the 17th century – starting from the burial of Ernest in 1599, through Jan's term as the Puck starost, and up to his ceremonial funeral in 1626. Jan's brothers and children deceased after this period were laid to rest in other churches, closer to places linked to their offices or foundations. However, new burials would still be added to the crypt. Soon after Jan's death, a child was interred there, as evidenced by a small-sized coffin which, according to the dendrochronological analysis, could not have been manufactured before 1633 (Tab. I.1:9). The crypt was opened also later, which is attested most explicitly by another child coffin, bearing the date of 1708 marked with studs. Therefore, the tomb was used at a time when the Ernest's line of the Wejher family had already died out. The identity of the family that added the child's burial to the Wejher crypt can possibly be inferred from the coat-of-arms displayed on the side wall of the coffin (Fig. I.24).

Attention is drawn to the way children's burials were decorated. The three recognised children's coffins were upholstered in silk satin, with two of them additionally embellished along the edges with galons made of silk threads braided with gilded silver ribbons. They were attached with small and densely-arranged brass upholstery studs with

gilded heads (Figs. I.36–37). It was an expensive type of upholstery, affordable for but the richest or most prominent persons. In one case, a coffin was decorated with the same bobbin lace which was used for the child's funeral dress (Fig. I.38). The youngest of the identified children from the crypt – the newborn baby – was buried in this manner. The dimensions of the second richly-decorated coffin indicate that an older toddler, estimated to have been 12 months old at the time of death, was laid to rest in it. The four-year-old girl could not be reliably linked to any coffin, even though remains of funeral attire, in the form of a child's dress with a bodice resembling of a doublet lined with gilded galon, clearly belonged to her (Figs. III.19–20). The fact that fragments of a third coffin from the early 18th century were recorded is inconclusive here, because there is no indication (other than the number) for its connection with this child burial. The coffin was decorated with silk haberdashery ribbon and non-gilded studs arranged on its walls and lid in the year of death 1708, the *IHS* symbol and, the aforementioned family coat-of-arms (Fig. I.24).

The grave goods in the child's burials included also remains of finely-crafted artificial flowers, presumably from one or more wreaths (Figs. I.52–56). Made of very thin (even 0.1 mm), intricately woven, and spirally twisted gilded wire as well as silk, white and red paper, and resin (?), they were undoubtedly expensive embellishments. Their function was to manifest the high social standing and lineage of the child from a powerful family, but they could have also expressed authentic grief experienced by the relatives. Unfortunately, the secondary context and the scattering of artificial flowers in the crypt precluded determining how many wreaths they came from and which children had been buried with a wreath.

The relatives of the deceased person would place also smaller personal items in the coffins. Three individuals buried in the crypt of the Wejher family were equipped with rosaries. A fairly well-preserved, modest rosary of wooden beads threaded on a silk string was found in the same region as the remains of the unidentified woman and, supposedly, those of Marcin Władysław Wejher. The loop of the rosary consisted of no less than sixty *Ave Maria* beads separated with *Pater Noster* beads, the latter of

which were additionally divided with the smallest separators. The string, torn away from the loop, consisted of three *Ave Maria* beads and a cross (Fig. I.51). Therefore, the number of beads may indicate that the string came from a specific kind of rosary, referencing the apocryphal age of Mary – 63 years. Small amber beads, found in two sizes and shapes, were most likely remains of another rosary, but the appearance and structure of the praying string could not be reconstructed, due to their poor condition (Fig. I.30). They were found during the sieving of the substrate in the spot where the skeletal remains identified as belonging to Ernest Wejher were buried. Another fragmentarily-preserved silk string with threaded small beads of red-coloured clay should also be interpreted as a rosary (Fig. I.27:1). Its tiny size and perishable material may indicate that it was a disposable, single-use rosary placed in the child's coffin.

The burials from the crypt of the Wejher family reflect clear concern for the sanitary matters – traces of procedures meant to prevent decay of the bodies and mask their odour are ubiquitous. A simple embalment method efficiently slowing down the decay of soft tissues was to cover the body with lime. Damage caused by contact with lime is visible of the majority of human remains retrieved from the Wejher crypt. Beyond doubt, lime filled the coffins of Jan Wejher and Kacper Szczawiński (Fig. V.3). Obvious traces of lime were registered also at the findspots of the sarcophagus and the remains of Ernest Wejher, but its presence could be detected almost everywhere in the crypt. Meanwhile, the bodies and manubria of the sterna of two individuals interred in the crypt – Ernest (Fig. II.3) and Marcin Władysław (cf. Fetner et al., in this volume) – had been cut, possibly when internal organs were being removed from

the bodies during the embalming procedures. Post-mortem examinations and embalment of bodies of members of royal families were growing in popularity since the 16th century, becoming gradually incorporated as parts of the funerary customs of the magnates and middle-tier nobility. Undoubtedly, in both cases a long time must have passed before the death and the burial. The body of Ernest Wejher, who passed away at the beginning of 1598, had to wait until the crypt's construction was finished. Marcin Władysław Wejher, on the other hand, had to be transported from a place more than 1200 kilometres away from Puck.

The spatial arrangement of the skeletal remains and relics of the coffins enables reconstruction of the internal layout of the crypt (Fig. V.1). However, this layout is likely not the original one, since the placement of the coffins on iron bars embedded in the walls is most likely a later modification. The burials in the crypts would be moved and re-organised occasionally, which certainly happened as late as at the end of the 19th century, during the 'great renovation' of the Puck temple. The exact date of this event – 26 April 1894 – was inscribed on the wall of the burial chamber (Fig. V.2).

The archaeological works conducted in the crypt of the Wejher family, although not free from limitations stemming from the state of preservation of the human remains, provided a wealth of new sources for the studies on funeral culture in the post-medieval period, as well as important primers for future research on the history of the Wejher family and their ancestral tomb. It is possible that further archival research and in-depth historical studies, as well as application of new bioarchaeological methods, will fill the remaining gaps and identify the people who found their final resting place in the Wejher crypt.





ISBN: 978-83-66210-38-7